Ropeginterferon alfa-2b ベスレミ皮下注 250 μ g シリンジ ベスレミ皮下注 500 μ g シリンジ

- 第1部 申請書等行政情報及び添付文書に関する情報
 - 1.5 起原又は発見の経緯及び開発の経緯

ファーマエッセンシアジャパン株式会社

略号一覧表

四勺 見久		
略語・用語	内容	
AE	adverse event:有害事象	
ALT	alanine aminotransferase:アラニンアミノトランスフェラーゼ	
AUC	area under the curve:濃度-時間曲線下面積	
AUC ₀ -∞	AUC from time 0 to infinite time: 0時間から無限時間まで外挿した AUC	
AUC _{last}	AUC from time 0 to the time of last quantifiable concentration: 0時間から最	
	終濃度測定可能時間までの AUC	
BAT	best available treatment:利用可能な最良の治療法	
CHR	complete hematological response:血液学的完全奏効	
CI	confidence interval:信頼区間	
Cmax	maximum serum concentration:最高血清中濃度	
HU	hydroxyurea: ヒドロキシウレア	
ICH	International Council for Harmonisation of Technical Requirements for	
	Pharmaceuticals for Human Use: 医薬品規制調和国際会議	
IFN	interferon: インターフェロン	
JAK	Janus kinase: ヤヌスキナーゼ	
mPEG	methoxypolyethylene glycol:メトキシポリエチレングリコール	
MPN	myeloproliferative neoplasms: 骨髄増殖性腫瘍	
MTD	maximum tolerated dose:最大耐容量	
OAS	2',5' oligoadenylate synthetase: 2',5'-オリゴアデニル酸合成酵素	
PD	pharmacodynamic(s): 薬力学	
PEG	polyethylene glycol: ポリエチレングリコール	
PK	pharmacokinetic(s): 薬物動態	
PPK	population pharmacokinetics: 母集団薬物動態	
PT	preferred term:基本語	
PV	polycythemia vera:真性多血症	
SD	standard deviation:標準偏差	
STAT	signal transducer and activator of transcription	
t _{1/2}	half-life: 半減期	
TEAE	treatment emergent adverse event:治験薬投与下に発現した有害事象	

目次

	貝
略号一覧表	2
1.5 起原又は発見の経緯及び開発の経緯	4
1.5.1 起原又は発見の経緯	4
1.5.2 PV の疫学	4
1.5.3 遺伝性	5
1.5.4 PV の治療法	5
1.5.5 開発の経緯	6
1.5.5.1 品質に関する試験の概略	6
1.5.5.2 非臨床試験成績の概略	6
1.5.5.2.1 薬理試験	6
1.5.5.2.2 薬物動態試験	7
1.5.5.2.3 毒性試験	7
1.5.5.3 臨床試験成績の概略	7
1.5.5.3.1 第 I 相試験の概要	8
1.5.5.3.1.1 A09-102 試験(海外第 I 相試験)	8
1.5.5.3.1.2 A17-101 試験(海外第 I 相試験)	8
1.5.5.3.1.3 A17-102 試験(国内第 I 相試験)	8
1.5.5.3.2 第 Ⅱ 相試験の概要	8
1.5.5.3.2.1 PEGINVERA 試験(海外第 I/II 相試験)	
1.5.5.3.2.2 A19-201 試験(国内第 II 相試験)	9
1.5.5.3.2.3 第 III 相試験の概要	
1.5.5.3.2.3.1 PROUD-PV 試験(海外第 III 相試験)	
1.5.5.3.2.3.2 CONTINUATION-PV 試験(海外第 IIIb 相試験)	
1.5.5.4 特徴および有用性	9
1.5.6 参考文献	11

1.5 起原又は発見の経緯及び開発の経緯

1.5.1 起原又は発見の経緯

ロペグインターフェロンアルファ-2b(以下、本剤)は、PharmaEssentia Corporation で創製されたモノペグ化インターフェロンであり、真性多血症(PV)の治療を目的として開発された。

本剤は、インターフェロンアルファ-2b(遺伝子組換え)誘導体であり、N 末端にプロリンが付加され、2 分岐型のメトキシポリエチレングリコール (mPEG) 鎖がリンカーを介して結合している(図 1)。本剤の分子式は $C_{876}H_{1376}N_{232}O_{260}S_9$ ・(C_2H_4O)n ($n=864\sim1044$)、分子量は約 60~kDa である。

$$H_3C$$
 O NH H H N Protein $*$ Pro1のアミノ基

図 11.5 インターフェロン N 末端プロリンと mPEG の結合

PV は、本態性血小板血症(ET)及び原発性骨髄線維症(PMF)と共に、フィラデルフィア染色体陰性(古典的)骨髄増殖性腫瘍(MPN)と総称される造血系疾患群に属するクローン性幹細胞疾患である[National Comprehensive Cancer Network, 2019]。PV は、赤血球量(すなわち、ヘマトクリット値)の上昇を特徴とし、血栓性及び出血性合併症のリスク上昇に加え、骨髄線維症又は急性骨髄性白血病(AML)へ進行する長期リスクが生じる[Griesshammer et al., 2019; Mascarenhas et al., 2018; Tefferi, 2013]。PV では、赤血球数の過剰な増加に加えて巨核球/顆粒球系統のさまざまな過形成が生じる[Tefferi and Pardanani, 2015]。

インターフェロン、特にインターフェロンアルファの細胞増殖抑制作用、血管新生抑制作用、 免疫調節作用は、数十年前から知られている。インターフェロンアルファによって MPN での生 理状態が変化し、免疫監視機能障害が部分的に回復する可能性を示す所見がある。

本剤は第三世代のペグ化インターフェロンであり、半減期が比較的短い他のペグ化インターフェロンアルファ剤と比較して血中濃度が大きく変動することが避けられるため、忍容性と有効性が増加することが示唆されている。

1.5.2 PV の疫学

PV の有病率は、2008~2010 年の米国(US)人口 100,000 名あたり 44~57 例[Mehta et al., 2014] と推定された。このとき年間発生率は 100,000 名あたり 1.1 例[Srour et al., 2016]であった。世界中の文献を対象とした系統的レビューでは、PV の年間粗発生率は 100,000 名あたり 0.01~2.61 例であった[Titmarsh et al., 2014]。

日本人を含むアジア系民族における有病率が諸外国のそれと大きな隔たりがあるという報告はないため、上記の有病率を基に日本における日本人の PV 患者数を推定した場合、約 2~3 万人程度と推定できると考える。

なお、厚生労働省が 2017 年 10 月に実施した患者調査では「真性赤血球増加症〈多血症〉」の国内患者数は 3 千人、がん登録等の推進に関する法律(法律第 111 号、平成 25 年 12 月 13 日公布)に基づく全国がん登録の 2016 年報告では「真性赤血球増加症」の国内患者数は 894 人と報告されている。また、日本血液学会統計調査委員会の 2019 年血液疾患症例登録集計解析結果では、「真性赤血球増加症」の登録数は 778 人となっている。

PV は高齢者における発症を特徴とし、診断時の年齢中央値は約 $60\sim62$ 歳と報告されている [Szuber et al., 2019; Tefferi et al., 2013]。40 歳未満で発症する PV 患者は 5%にとどまり、25 歳未満では 1%、20 歳未満ではわずか 0.1%と推定されている [Cario, 2005; Cario et al., 2009]。20 歳未満の患者における年間発生率は、100,000 名あたり約 0.02 例と推定されている [Teofili et al., 2008]。最近のレビューによると、小児及び若年成人の年間発生率は 100,000 名あたり 0.18 例と推定されている [Ianotto et al., 2019]。PV の年間発生率は年齢とともに指数関数的に増加し、70 歳以降の総発生率は 100,000 名あたり 10 例超となる [Srour et al., 2016]。

患者は女性よりも男性に多い。世界中の文献を対象とした系統的レビューで、性別による発生率を報告している研究 10 件を検討したところ、粗発生率は男性 100,000 名あたり 0.64 例(95% CI、0.28~1.45)、女性 100,000 名あたり 0.51 例(95% CI、0.21-1.23)であった[Titmarsh et al., 2014]。米国では、年齢調整年間発生率は男性で 100,000 名あたり 1.37 例、女性で 100,000 名あたり 0.84 例であり、男女比は 1.64(95% CI 1.57~1.70)[Srour et al., 2016]であった。ミネソタ州オルムステッド郡では、70~79 歳の年齢層の発生率は男性 100,000 名あたり 23.5 例、女性 100,000 名あたり 5.7 例と報告された[Ania et al., 1994]。

1.5.3 遺伝性

MPN の病態は、リン酸化酵素であるヤヌスキナーゼ及びシグナル伝達兼転写活性化因子(JAKSTAT)シグナル伝達の恒常的活性化が原因となる。JAK2V617F、MPLW515L/K、CALR エクソン 9 のインデル変異、その他稀な JAK/STAT シグナル伝達分子の変異を含むさまざまなドライバー変異が引き金となってこの経路の恒常的活性化が引き起こされ、炎症が発生し、骨髄細胞の異常増殖、血栓形成、脾臓腫大が生じる[Perner et al., 2019; Rampal et al., 2014]。PV 患者のほぼ全例がJAK2 変異を有する。このうち約 96%がエクソン 14 活性化体細胞変異(JAK2V617F)を有し、約 3%が JAK2 のエクソン 12 に変異を有する[Pardanani et al., 2007; Stein et al., 2015; Vannucchi et al., 2008]。JAK2V617F 変異は PV 患者の造血幹細胞で生じ、これにより細胞系統が変化し赤血球数が異常に増加する[Jamieson et al., 2006]。PV 患者では、他にも多くのまれな変異が認められるが、疾患進行におけるこれらの役割は不明である。

JAK2V617F アレルの発がんドライバー遺伝子機能は、単一コピーの変異アレルによって PV の疾患表現型が伝達できたとするトランスジェニック動物モデルを用いた研究[Mullally et al., 2010] によって裏付けられている。JAK2V617F 変異を有する造血幹細胞をマウスに移植したところ、疾患のイニシエーションが生じた[Mullally et al., 2010]。このことは、JAK2V617F 変異を有する造血幹細胞を特異的に標的とすることで、長期的な治療的利益が得られることを意味している。

1.5.4 PV の治療法

PV を対象とした Cytoreductive Therapy in Polycythemia Vera(CYTO-PV)試験で、全ての PV 患者に対して 45%未満とするヘマトクリット目標が確立された[Marchioli et al., 2013]。疾患関連症状のコントロールに加えて、National Comprehensive Cancer Network(NCCN)のガイドラインでは

PV の主要な治療目標として血栓症の発生と再発の予防を重視している[National Comprehensive Cancer Network, 2019]。年齢が 60 歳以上であること及び血栓症の既往歴があることの 2 因子を主要因子として血栓症のリスクを判定する[Bose and Verstovsek, 2019; Tefferi and Barbui, 2019]。上記の特性を片方又は両方を有する患者を高リスクに分類し、初回治療としてアスピリン(81~100 mg/日)を併用しながら細胞減少療法(HU 又はインターフェロン)を行うことが推奨される。インターフェロンアルファ-2b、ペグインターフェロンアルファ-2a、ペグインターフェロンアルファ-2b 又は JAK2 阻害薬が、細胞減少療法を必要とする若年患者、妊娠患者又は細胞減少療法が必要なものの HU による治療を保留している患者に推奨される。どちらのリスク因子も持たない患者は低リスクとし、通常瀉血とアスピリンのみで管理される。

新たな血栓症又は出血に対するモニタリングに加えて、心血管リスク因子の管理が全ての患者に推奨される[National Comprehensive Cancer Network, 2019]。低用量アスピリン及び瀉血の開始後、本ガイドラインでは、骨髄増殖性腫瘍症状評価フォーム総症状スコアを用いた症状の状態のモニタリング、疾患進行の徴候や症状のモニタリングに加え細胞減少療法の適応となりうるかどうかの評価を 3~6 カ月ごと又は臨床上必要があればより頻繁に行うことを推奨している。臨床的に必要とされる場合には、骨髄穿刺及び生検を実施すべきである(増悪の症状及び徴候の増加により支持される場合)。新たな血栓症又は疾患関連の大出血の発現、瀉血が頻繁に又は長期にわたり必要になる場合、脾腫、血小板増加症、白血球増加症、及び疾患関連症状は、細胞減少療法が適応となる可能性がある。初回治療として細胞減少療法を受ける高リスク患者は、HU に対する不耐容又は抵抗性についてモニタリングする。

国内のガイドライン(日本血液学会「造血器腫瘍診療ガイドライン 2018 年版」)においても血栓症の予防を主目的に血栓症のリスク分類が提唱され、それに基づいて低リスク群に対しては瀉血+低用量アスピリン投与、高リスク群に対しては瀉血療法、アスピリン療法に加えて細胞減少療法が推奨されている。

なお、既存の治療法では、病勢進行の抑制又は忍容性に課題があり、より高い有効性が得られ、 且つ患者のコンプライアンス及び忍容性が向上する製剤が期待されている。

1.5.5 開発の経緯

1.5.5.1 品質に関する試験の概略

原薬、製剤に関する試験は、外国で実施された。

原薬については、構造及び物理化学的性質、規格及び試験方法、さらに安定性について、各種 ICH ガイドラインに準拠した試験を実施した。その成績に基づき設定された外国の規格及び試験 方法を、国内の記載要領に従って整備した。

製剤については、注射剤(プレフィルドシリンジ製剤)として開発し、規格及び試験方法、さらに安定性について、各種 ICH ガイドラインに準拠した試験を実施した。その成績に基づき設定された外国の規格及び試験方法を、国内の記載要領に従って整備した。

1.5.5.2 非臨床試験成績の概略

1.5.5.2.1 薬理試験

PV 治療における IFN α の作用については既に多くの報告があることから、PV モデルを用いた本剤の薬効評価試験は実施せず、本剤の生物活性をカニクイザルで確認し、ペガシス®と比較した (PD/PK 複合試験: 44104-08-242 試験)。

安全性薬理試験として、in vitro hERG 試験 (Covance Study No.7975-106)、カニクイザルの心血管試験 (Study No.2872-001) 並びにラットの CNS 試験及び呼吸器系試験 (それぞれ Study No.2872/002 及び No.2872/004) を実施した。

1.5.5.2.2 薬物動態試験

本剤を用いた単独での薬物動態(PK)試験は実施しなかった。本剤を単回投与後の血清中濃度プロファイルは、カニクイザルを用いた PK/PD 複合試験の一部として検討し、ペガシスのそれと比較した(4.2.3.2.xStudy No. 44104-08-242)。本試験において、本剤及びペガシスの皮下投与により、2',5'-オリゴアデニル酸合成酵素(OAS)(IFN に反応して誘導される酵素で抗ウイルス防御に影響を及ぼす)の最大血清活性は同程度であった。本剤は 14 日間プラトーが持続する耐久性のある OAS 活性増加反応を誘発したのに対して、ペガシスでは、OAS 活性は投与後 6 日以降徐々に低下した。この差は、本剤及びペガシスの活性成分、すなわち、それぞれ IFN α -2b 及びIFN α -2a の PD 効果の違いに起因する。両被験物質の PK プロファイルは非常に類似しており、 C_{max} 、終末相消失半減期及び全身暴露の違いは 20%未満である。したがって、PD 反応の違いが薬物動態の違いに起因する可能性は低いと考えられる。

1.5.5.2.3 毒性試験

本邦での第Ⅱ相臨床試験(A19-201 試験)の開始までに、主要な毒性試験として、単回投与毒性を評価したラットを用いた非 GLP 用量設定試験(Study No. 7975-100)(2.6.7.6.1 項)、ラットを用いた 13 週間皮下投与毒性及びトキシコキネティクス、並びに 4 週間回復試験(Study No.511-20060035)、カニクイザルを用いた 4 週間皮下投与毒性及びトキシコキネティクス、並びに 4 週間回復試験(Study No.7975-101)、カニクイザルを用いた 14 日間反復皮下投与毒性、トキシコキネティクス及び免疫原性試験(Study No. 44103-08-300)、ネズミチフス菌及び大腸菌を用いた復帰突然変異試験(Study No. 7975-104)、In Vitro 遺伝毒性試験のチャイニーズハムスター卵巣(CHO)細胞を用いた染色体異常試験(Study No. 7975-105)を完了した。20 年 月 日の独立行政法人医薬品医療機器総合機構(機構)新薬審査第四部(第 4 分野)との

との意見を受けて、カニクイザルを用いた胚・胎児発生に関する試験 (Study No. SBL462-004)を実施した。またラットを用いた13週間反復投与毒性試験(Study No. 511-20060035)を実施した。重要な毒性試験はいずれも、米国食品医薬品庁 (FDA) の非臨床試験 GLP に準拠して、またカニクイザルを用いた胚・胎児発生に関する試験は、医薬品の安全性に関する非臨床試験の実施の基準に関する省令に準拠して実施した。

1.5.5.3 臨床試験成績の概略

本邦での本剤の臨床開発について、20 年 月 日 日の独立行政法人医薬品医療機器総合機構 (機構)新薬審査第四部(第4分野)との について助言を得た。これを踏まえ、日本人真性多血症患 者を対象とした本剤の有効性及び安全性を検討する多施設共同、単群、非盲検、第Ⅱ相試験(A19-201 試験)を実施した。A19-201 試験及びその他の主要な臨床試験の概要を、以下に要約する。

1.5.5.3.1 第 | 相試験の概要

海外で2つの第I相試験、国内で1つの第I相試験をそれぞれ実施した。以下に試験の概要を示す。

1.5.5.3.1.1 A09-102 試験(海外第 I 相試験)

健康男性被験者を対象に、本剤の単回用量漸増皮下投与時の安全性及び忍容性を検討し、本剤の PK を明らかにした。合計 48 例の被験者が登録され、PEGASYS®群に 12 名、本剤群に 36 例が無作為に割り付けられた。本剤の単回皮下投与(24~270 μ g)及び PEGASYS®の単回皮下投与(180 μ g)の忍容性は良好であり、安全性プロファイルも同様であった。本剤の PK パラメータ(C_{max} 、AU $C_{0-\infty}$ 及び AU C_{last})の用量依存的な増加が認められたが、用量比例的な増加は認められなかった。

1.5.5.3.1.2 A17-101 試験(海外第 I 相試験)

中国人の健康成人男女被験者 40 例を対象に、本剤の用量漸増単回皮下投与したときの安全性、忍容性及び PK 特性を、PEGASYS®180 μ g 投与を実薬対照として比較・評価した。SAE が 1 例に 1 件発現した (本剤 270 μ g 投与群、パートナーが流産を見逃した)。また、試験中止に至った SAE 及び AE・副作用は認められず、死亡例もなかった。健康被験者に本剤 90、180 及び 270 μ g 又は PEGASYS®180 μ g を単回皮下投与しても、忍容性は良好であった。

1.5.5.3.1.3 A17-102 試験(国内第 I 相試験)

日本人及び白人健康被験者を対象に、本剤の4用量の単回漸増投与量を皮下投与したときの安全性、忍容性及び薬物動態(PK)を比較・検討した。合計36例の健康被験者(日本人18例、白人18例)が試験に参加し、35例が試験を完了した。本剤を100、200及び300μgの用量で単回皮下投与したときの安全性及び忍容性は、日本人と白人の被験者で同様であった。これまでのインターフェロンの使用経験と比較して、予期せぬ安全性上の知見は認められなかった。

1.5.5.3.2 第 Ⅱ 相試験の概要

海外で 1 つの第 I/II 相試験、国内で 1 つの第 II 相臨床試験をそれぞれ実施した。以下に試験の概略を示す。

1.5.5.3.2.1 PEGINVERA 試験(海外第 / III 相試験)

ヒドロキシウレア未治療及び現在治療中の真性多血症患者 25 例を対象とした本剤の最大耐量 (MTD) を決定し、その安全性及び有効性を評価する多施設共同、非盲検、プロスペクティブ、第 I/II 相用量漸増試験を実施した。TMD を評価する第 I 相試験のステージでは、本剤の MTD を最大用量の 540 μ g とした。有効性を評価する第 II 相試験のステージでは、投与期間 12 τ 月時点の血液学的効果は、試験期間中の最大値で 90%(完全奏効 47%、部分奏効 43%)の被験者に有効性が認められ、1 例に対しては効果が無く、4 例では最初の評価時(10 週)以前に投与を中止した。分子遺伝学的効果については、試験期間中の最大値で 68%(完全奏効 21%、部分奏効 47%)の被験者に有効性が認められた。

1.5.5.3.2.2 A19-201 試験(国内第Ⅱ相試験)

A19-201 試験は、現在の標準治療の適用が困難な成人日本人 PV 患者を対象として本剤の有効性、安全性を検討するための多施設共同、単群、非盲検、第 II 相試験であり、治験薬を投与した29 例中、27 例が試験を完了し、2 例は有害事象発現、同意撤回(各 1 例 [3.1%])により試験を中止した。主要評価項目である、9 及び 12 ヵ月両方で CHR を達成した症例の割合は 27.59% (95% CI, $12.73\sim47.24$) であった。全 29 例(100.0%)に計 292 件の TEAE が発現した。そのうち、185 件の TEAE が「治験薬との関連あり」と評価された。比較的よくみられた治験薬と関連のある TEAE (PT:発現率 20%超)は、脱毛症、疲労、インフルエンザ様疾患、尿中 β 2 ミクログロブリン増加、アラニンアミノトランスフェラーゼ(ALT)増加であった。重度の TEAE の発現はなく、いずれの TEAE もグレード 2 以下であった(軽度又は中等度)。

1.5.5.3.2.3 第 Ⅲ 相試験の概要

海外で3つの第III 相臨床試験を実施した。以下に主要な2試験の概略を示す。

1.5.5.3.2.3.1 PROUD-PV 試験(海外第 III 相試験)

ヒドロキシウレア (HU) 未治療又は現在治療中の真性多血症 (PV) 患者を対象とした HU を対照とする本剤の有効性及び安全性を検討する多施設共同、非盲検、無作為化、並行群間比較を実施した。254 例の被験者について有効性と安全性の評価を行った。本剤群では122 例中26 例(21%)、HU 群では123 例中34 例(28%)が複合主要評価項目(12ヵ月時点で脾臓サイズが正常かつ血液学的完全奏効)を達成した。治療反応性における差の95% CI は-17.23-4.09で非劣性は証明されなかった (p=0.23)。治験薬投与下での有害事象(TEAE)は本剤群(N=127)で104 例(81.9%)に813 件、HU 群(N=127)で111 例(87.4%)に747件発現した。重篤な有害事象は全体で25 例(9.8%)に36件発現し、本剤群では14 例(11.0%)に20 件、HU 群では11 例(8.7%)に16 件発現した。

1.5.5.3.2.3.2 CONTINUATION-PV 試験(海外第 IIIb 相試験)

過去に PROUD-PV 試験に組み入れられ、試験を完了した PV 患者を対象に、疾患奏効率を用いて本剤又は標準的一次治療(ヒドロキシウレア [HU] 又は利用可能な最良の治療 [BAT]:対照)の長期有効性を評価した。PROUD-PV 試験では 217 例が試験を完了し、うち 171 例がCONTINUATION-PV 試験に移行した。血液学的完全奏効を示した被験者数は、本剤群では 24 ヵ月時点で増加し(95 例中 67 例 [71%])、36 ヵ月まで維持された(95 例 67 例 [71%])。一方、BAT 群では、PROUD-PV 試験終了時の 12 ヵ月時点が最も多く(76 例中 57 例 [75%])、その後は減少した(24 ヵ月時点:67 例中 33 例 [49%]、36 ヵ月時点:74 例中 38 例 [51%])。36 ヵ月時点での両治療群間の治療反応性における差は有意であった。治験薬投与下の有害事象(TEAE)は171 例中 157 例(91.8%)に 1,721 件発現し、本剤群(N=95)が 87 例(91.6%)に 1,097 件、BAT群(N=76)が 70 例(92.1%)に 624 件であった。新規のさらなる安全性のシグナルはCONTINUATION-PV試験で検出されず、TEAE の発現割合も PROUD-PV試験と同程度であった。

1.5.5.4 特徴および有用性

本剤の有意なベネフィットは以下の通りである。

● 本剤で得られた所見は、PV に対するインターフェロンの有するベネフィットとして既に

知られている以下のものを反映している。

- 瀉血頻度の減少に伴う高率の治療奏効割合、血液パラメータの正常化、疾患による主 な病的状態の長期的な低減に関連した転帰
- ほとんどの患者で脾臓サイズの増大を予防できる
- 治療に対する高い奏効率の維持
- ドライバー変異のアレルバーデンの減少を伴う高い分子遺伝学的奏効率
- 従来の非ペグ化インターフェロン及びペグ化インターフェロンに関する文献報告と比較して忍容性が高いことから脱落率が低くなること
- 他のインターフェロンレジメンと比較して投与回数が少なくなることで高いコンプライアンス率が得られること
- 安全性プロファイル:本剤は忍容性が高く、安全であり、重篤な感染症や二次がんは認められなかった。

血液学的完全寛解が3年以上持続することが、本剤のベネフィットとして最も意義が大きい。 CONTINUATION-PV 試験で、大部分の被験者に対し追跡期間を3年よりも大幅に延長したことで、真性赤血球増加症の長期治療に本剤を投与することの妥当性を確実に示すことができた。

骨髄性、慢性・BCR-ABL 陽性の白血病、多発性骨髄腫、カルチノイド腫瘍、有毛細胞白血病、濾胞性リンパ腫、黒色腫などの異常な細胞生殖に関連する多発性腫瘍の治療に遺伝子組換えインターフェロンアルファの投与が有効であることが報告されている。全体を通して、本剤が PV 患者に対する治療選択肢として価値があることが今回の試験結果より確認された。臨床的意義のある改善は有効性パラメータ及び安全性の面で対照との比較の有無にかかわらず極めて明確であった。インターフェロンアルファの使用によって、現在までのところ白血病誘発性又は催奇形性がみられていないことから、細胞減少療法を必要とする若年患者(60 歳未満)にとって好ましいことがわかる。インターフェロンアルファによる治療によって、PV 患者で最終的に分子遺伝学的完全奏効(JAK2 が変異した悪性クローンの根絶)が得られると考えられる。集団レベルのモデルにおける JAK2V617F アレルバーデンの動態解析から、本剤による早期介入の費用対効果が高いことが示唆されたことは重要な点であり、可能な限り早い時点で治療を開始すれば分子遺伝学的奏効を達成するためのインターフェロンアルファ-2b の投与期間が短くなる[Pedersen et al., 2020]。

以上のデータに加え、PPK解析や曝露量-反応解析、ドライバー変異アレルバーデンの経時的な減少による高い分子遺伝学的奏効率により、本剤の用法、用量が安全かつ有効であること、また、現在有効な治療選択肢が限られている PV 患者の治療において重要な臨床的ベネフィットが得られることが明らかになった。

以上より、本剤は標準治療の適用が困難な PV 患者に対する治療薬として、製造販売承認申請を行うこととした。

1.5.6 参考文献

Ania BJ, Suman VJ, Sobell JL, et al. Trends in the incidence of polycythemia vera among Olmsted County, Minnesota residents, 1935-1989. Am J Hematol. 1994; 47(2):89-93.

Bose P and Verstovsek S. Updates in the management of polycythemia vera and essential thrombocythemia. Ther Adv Hematol. 2019; 10:2040620719870052.

Griesshammer M, Kiladjian J-J and Besses C. Thromboembolic events in polycythemia vera. Ann Hematol. 2019; 98(5):1071-1082.

Ianotto JC, Curto-Garcia N, Lauermanova M, et al. Characteristics and outcomes of patients with essential thrombocythemia or polycythemia vera diagnosed before 20 years of age: a systematic review. Haematologica. 2019; 104(8):1580-1588.

Jamieson CH, Gotlib J, Durocher JA, et al. The JAK2 V617F mutation occurs in hematopoietic stem cells in polycythemia vera and predisposes toward erythroid differentiation. Proc Natl Acad Sci USA. 2006; 103(16):6224-6229.

Marchioli R, Finazzi G, Specchia G, et al. Cardiovascular events and intensity of treatment in polycythemia vera. N Engl J Med. 2013; 368(1):22-33.

Mascarenhas J, Kosiorek HE, Prchal JT, et al. Results of the Myeloproliferative Neoplasms - Research Consortium (MPN-RC) 112 Randomized Trial of Pegylated Interferon Alfa-2a (PEG) Versus Hydroxyurea (HU) Therapy for the Treatment of High Risk Polycythemia Vera (PV) and High Risk Essential Thrombocythemia (ET) (Poster presentation). Blood. 2018; 132:Abst 577.

Mehta J, Wang H, Iqbal SU, et al. Epidemiology of myeloproliferative neoplasms in the United States. Leuk Lymphoma. 2014; 55(3):595-600.

Mullally A, Lane SW, Ball B, et al. Physiological Jak2V617F expression causes a lethal myeloproliferative neoplasm with differential effects on hematopoietic stem and progenitor cells. Cancer Cell. 2010; 17(6):584-596.

National Comprehensive Cancer Network. NCCN Clinical Practice Guidelines in Oncology: Myeloproliferative Neoplasms Version 2.2019.

Pardanani A, Lasho TL, Finke C, et al. Prevalence and clinicopathologic correlates of JAK2 exon 12 mutations in JAK2V617F-negative polycythemia vera. Leukemia. 2007; 21(9):1960-1963.

Pedersen RK, Andersen M, Knudsen TA, et al. Data-driven analysis of JAK2V617F kinetics during interferon-alpha2 treatment of patients with polycythemia vera and related neoplasms. Cancer Med. 2020; 9(6):2039-2051.

Perner F, Perner C, Ernst T, et al. Roles of JAK2 in Aging, Inflammation, Hematopoiesis and Malignant Transformation. Cells. 2019; 8(8):854.

Rampal R, Al-Shahrour F, Abdel-Wahab O, et al. Integrated genomic analysis illustrates the central role of JAK-STAT pathway activation in myeloproliferative neoplasm pathogenesis. Blood. 2014; 123(22):e123-e133.

Srour SA, Devesa SS, Morton LM, et al. Incidence and patient survival of myeloproliferative neoplasms and

1.5 起原又は発見の経緯及び開発の経緯

Ropeginterferon alfa-2b

myelodysplastic/myeloproliferative neoplasms in the United States, 2001-12. Br J Haematol. 2016; 174(3):382-396.

Stein BL, Oh ST, Berenzon D, et al. Polycythemia vera: An appraisal of the Biology and Management 10 Years After the Discovery of JAK2 V617F. J Clin Oncol. 2015; 33(33):3953-3960.

Szuber N, Mudireddy M, Nicolosi M, et al. 3023 Mayo Clinic Patients with Myeloproliferative Neoplasms: Risk-Stratified Comparison of Survival and Outcomes Data Among Disease Subgroups. Mayo Clin Proc. 2019; 94(4):599-610.

Tefferi A and Barbui T. Polycythemia vera and essential thrombocythemia: 2019 update on diagnosis, risk-stratification and management. Am J Hematol. 2019; 94(1):133-143.

Tefferi A and Pardanani A. Myeloproliferative Neoplasms: A Contemporary Review. JAMA Oncol. 2015; 1(1):97-105.

Tefferi A, Rumi E, Finazzi G, et al. Survival and prognosis among 1545 patients with contemporary polycythemia vera: an international study. Leukemia. 2013; 27(9):1874-1881.

Teofili L, Foà R, Giona F, et al. Childhood polycythemia vera and essential thrombocythemia: does their pathogenesis overlap with that of adult patients? Haematologica. 2008; 93(2):169-172.

Titmarsh GJ, Duncombe AS, McMullin MF, et al. How common are myeloproliferative neoplasms? A systematic review and meta-analysis. Am J Hematol. 2014; 89(6):581-587.

Vainchenker W and Kralovics R. Genetic basis and molecular pathophysiology of classical myeloproliferative neoplasms. Blood. 2017; 129(6):667-679.

Vannucchi AM, Antonioli E, Guglielmelli P, et al. Clinical correlates of JAK2V617F presence or allele burden in myeloproliferative neoplasms: a critical reappraisal. Leukemia. 2008; 22(7):1299-1307.

Ropeginterferon alfa-2b ベスレミ皮下注 250 μg シリンジ ベスレミ皮下注 500 μg シリンジ

第1部 申請書等行政情報及び添付文書に関する情報

1.6 外国における使用状況等に関する資料

ファーマエッセンシアジャパン株式会社

1.6 外国における使用状況等に関する資料

Ropeginterferon alfa-2b

目次

		頁
1.6	外国における使用状況等に関する資料	3
1.6.1	外国における使用状況	3
1.6.2	外国における添付文書	5
1.6.2.1	企業中核データシート	5
1.6.2.2	米国添付文書	6
1.6.2.3	EU 添付文書	7

1.6 外国における使用状況等に関する資料

1.6.1 外国における使用状況

欧州では 2017 年 2 月 23 日に AOP Orphan Pharmaceutical AG(AOP 社)が真性多血症を適応症として、ロペグインターフェロン アルファ-2b の製造販売申請(MAA)を提出した。その後、2019 年 2 月 15 日に、以下の適応で承認を取得した。

4.1 Therapeutic indications

Besremi is indicated as monotherapy in adults for the treatment of polycythaemia vera without symptomatic splenomegaly.

4.2 Posology and method of administration

Titration phase

The dose is titrated individually with a recommended starting dose of 100 micrograms (or 50 micrograms in patients under another cytoreductive therapy). The dose should be gradually increased by 50 micrograms every two weeks (in parallel, other cytoreductive therapy should be decreased gradually, as appropriate) until stabilisation of the haematological parameters is achieved (haematocrit <45%, platelets <400 x 10^9 /L and leukocytes <10 x 10^9 /L). The maximum recommended single dose is 500 micrograms injected every two weeks. Phlebotomy as rescue treatment to normalize blood hyperviscosity may be necessary.

Maintenance phase

The dose at which stabilisation of the haematological parameters is achieved should be maintained in a two-week administration interval for at least 1.5 years. After that, the dose may be adapted and/or the administration interval prolonged up to every four weeks, as appropriate for the patient. If adverse events develop during therapy, the administered dose should be reduced or treatment discontinued temporarily until adverse events abate; further, treatment should be re-initiated with a lower dose than the dose that caused adverse events. If an increase of haematological parameters (haematocrit, platelets, leukocytes) is observed, the dose and/or dosing interval needs to be adapted individually.

一方、米国では 2020 年 3 月 13 日に PharmaEssentia 社の米国法人が真性多血症を適応症として、ロペグインターフェロン アルファ-2b の生物学的製剤承認申請 (BLA) を提出した。その後、2021 年 11 月 12 日に、以下の適応で承認を取得した。

INDICATIONS AND USAGE

BESREMi is indicated for the treatment of adults with polycythemia vera.

Patients Not Already on Hydroxyurea:

- The recommended BESREMi starting dosage for patients not on hydroxyurea is 100 mcg by subcutaneous injection every two weeks.
- · Increase the dose by 50 mcg every two weeks (up to a maximum of 500 mcg), until the hematological parameters are stabilized (hematocrit less than 45%, platelets less than 400×10^9 /L, and leukocytes less than 10×10^9 /L).

Patients Transitioning from Hydroxyurea:

- · When transitioning to BESREMi from hydroxyurea, start BESREMi at 50 mcg by subcutaneous injection every two weeks in combination with hydroxyurea.
- · Gradually taper off the hydroxyurea by reducing the total biweekly dose by 20-40% every two weeks during Weeks 3-12.
- · Increase the dose of BESREMi by 50 mcg every two weeks (up to a maximum of 500 mcg), until the hematological parameters are stabilized (hematocrit less than 45%, platelets less than 400×10^9 /L, and leukocytes less than 10×10^9 /L).
- · Discontinue hydroxyurea by Week 13.

Maintain the two week dosing interval of BESREMi at which hematological stability is achieved for at least 1 year. After achievement of hematological stability for at least 1 year on a stable dose of BESREMi, the dosing interval may be expanded to every 4 weeks.

- 1.6.2 外国における添付文書
- 1.6.2.1 企業中核データシート

企業中核データシートは作成されていない。

1.6.2.2 米国添付文書

米国における添付文書の原文及び和訳を以下に添付した。

1.6.2.3 EU 添付文書

欧州における添付文書の原文及び和訳を以下に添付した。

HIGHLIGHTS OF PRESCRIBING INFORMATION

These highlights do not include all the information needed to use BESREMi safely and effectively. See full prescribing information for BESREMi.

BESREMi (ropeginterferon alfa-2b-njft) injection, for subcutaneous use Initial U.S. Approval: 2021

WARNING: RISK OF SERIOUS DISORDERS

See full prescribing information for complete boxed warning.

Risk of Serious Disorders: Interferon alfa products may cause or aggravate fatal or life-threatening neuropsychiatric, autoimmune, ischemic, and infectious disorders. Monitor closely and withdraw therapy with persistently severe or worsening signs or symptoms of the above disorders.

-----INDICATIONS AND USAGE-----

BESREMi is an interferon alfa-2b indicated for the treatment of adults with polycythemia vera (1)

-----DOSAGE AND ADMINISTRATION-----

- Recommended starting dose: 100 mcg by subcutaneous injection every 2 weeks (50 mcg if receiving hydroxyurea).
- Increase the dose by 50 mcg every 2 weeks (up to a maximum of 500 mcg) until hematological parameters are stabilized (2.1)
- Interrupt or discontinue dosing if certain adverse reactions occur (2.3, 5)

-----DOSAGE FORMS AND STRENGTHS-----

- Injection: 500 mcg/mL solution in a single-dose prefilled syringe (3)
- -----CONTRAINDICATIONS
- Existence of, or history of severe psychiatric disorders, particularly severe depression, suicidal ideation or suicide attempt (4)
- Hypersensitivity to interferon or to any component of BESREMi (4)
- Hepatic impairment (Child-Pugh B or C) (4)
- History or presence of active serious or untreated autoimmune disease (4)
- Immunosuppressed transplant recipients (4)

------WARNINGS AND PRECAUTIONS-----

Patients exhibiting the following events should be closely monitored and may require dose reduction or discontinuation of therapy:

- Depression and Suicide: Monitor closely for symptoms and need for treatment. (5.1)
- Endocrine Toxicity: Discontinue if endocrine disorders occur that cannot be medically managed. (5.2)
- Cardiovascular Toxicity: Avoid use in patients with severe, acute or unstable cardiovascular disease. Monitor patients with history of cardiovascular disorders more frequently. (5.3)
- Decreased Peripheral Blood Counts: Perform blood counts at baseline, every 2 weeks during titration, and at least every 3-6 months during maintenance treatment. (5.4)
- Hypersensitivity Reactions: Stop treatment and immediately manage reaction. (5.5)
- Pancreatitis: Consider discontinuation if confirmed pancreatitis (5.6)
- Colitis: Discontinue if signs or symptoms of colitis (5.7)
- Pulmonary Toxicity: Discontinue if pulmonary infiltrates or pulmonary function impairment (5.8)

- Ophthalmologic Toxicity: Advise patients to have eye examinations before and during treatment. Evaluate eye symptoms promptly and discontinue if new or worsening eye disorders. (5.9)
- Hyperlipidemia: Monitor serum triglycerides before BESREMi treatment and intermittently during therapy and manage when elevated. (5.10)
- Hepatotoxicity: Monitor liver enzymes and hepatic function at baseline and during treatment. Reduce dose or discontinue depending on severity. (5.11)
- Renal Toxicity: Monitor serum creatinine at baseline and during therapy.
 Discontinue if severe renal impairment develops. (5.12)
- Dental and Periodontal Toxicity: Advise patients on good oral hygiene and to have regular dental examinations. (5.13)
- Dermatologic Toxicity: Consider discontinuing if clinically significant dermatologic toxicity. (5.14)
- Driving and Operating Machinery: Advise patients to avoid driving or using machinery if they experience dizziness, somnolence, or hallucination. (5.15)

-----ADVERSE REACTIONS-----

The most common adverse reactions reported in >40% of patients were influenza-like illness, arthralgia, fatigue, pruritus, nasopharyngitis, and musculoskeletal pain (6).

To report SUSPECTED ADVERSE REACTIONS, contact PharmaEssentia at 1-800-999-2449 or FDA at 1-800-FDA-1088 or www.fda.gov/medwatch.

-----DRUG INTERACTIONS-----

- Monitor patients taking CYP450 substrates with a narrow therapeutic index for adverse reactions to inform the need for dose adjustment of the concomitant drug (7.1)
- Avoid use with myelosuppressive agents and monitor patients receiving the combination for effects of excessive myelosuppression (7.2)
- Avoid use with narcotics, hypnotics or sedatives. Monitor patients receiving the combination for excessive central nervous system toxicity (7.3)

-----USE IN SPECIFIC POPULATIONS-----

- Pregnancy: Can cause fetal harm. Advise females of reproductive potential
 of the potential risk to a fetus and to use effective contraception. (8.1,
 8.3)
- Lactation: Advise women not to breastfeed during treatment and for 8 weeks after the final dose. (8.2)
- Avoid use in patients with eGFR <30 mL/min. (8.6)

See 17 for PATIENT COUNSELING INFORMATION and FDA-approved Medication Guide.

Revised: 11/2021

FULL PRESCRIBING INFORMATION:

CONTENTS*WARNING: RISK OF SERIOUS DISORDERS

- 1 INDICATIONS AND USAGE
- DOSAGE AND ADMINISTRATION
 - 2.1 Pre-Treatment Testing
 - 2.2 Recommended Dosage
 - 2.3 Dose Modifications
 - 2.4 Preparation and Administration
- 3 DOSAGE FORMS AND STRENGTHS
- 4 CONTRAINDICATIONS
- 5 WARNINGS AND PRECAUTIONS
 - 5.1 Depression and Suicide
 - 5.2 Endocrine Toxicity
 - 5.3 Cardiovascular Toxicity
 - 5.4 Decreased Peripheral Blood Counts
 - 5.5 Hypersensitivity Reactions
 - 5.6 Pancreatitis
 - 5.7 Colitis
 - 5.8 Pulmonary Toxicity
 - 5.9 Ophthalmologic Toxicity
 - 5.10 Hyperlipidemia

- 5.11 Hepatotoxicity
- 5.12 Renal Toxicity
- 5.13 Dental and Periodontal Toxicity
- 5.14 Dermatologic Toxicity
- 5.15 Driving and Operating Machinery
- 5.16 Embryo-Fetal Toxicity
- 6 ADVERSE REACTIONS
 - 6.1 Clinical Trials Experience
 - 6.2 Immunogenicity
- 7 DRUG INTERACTIONS
 - 7.1 Drugs Metabolized by Cytochrome P450
 - 7.2 Myelosuppressive Agents
 - 7.3 Narcotics, Hypnotics or Sedatives
- 8 USE IN SPECIFIC POPULATIONS
 - 8.1 Pregnancy
 - 8.2 Lactation
 - 8.3 Females and Males of Reproductive Potential
 - 8.4 Pediatric Use
 - 8.5 Geriatric Use
 - 8.6 Renal Impairment
 - 8.7 Hepatic Impairment

- 10 OVERDOSAGE 11 DESCRIPTION
- CLINICAL PHARMACOLOGY
 - 12.1 Mechanism of Action 12.2 Pharmacodynamics
- 12.3 Pharmacokinetics

 13 NONCLINICAL TOXICOLOGY
 - 13.1 Carcinogenesis, Mutagenesis, Impairment of Fertility CLINICAL STUDIES

16 HOW SUPPLIED/STORAGE AND HANDLING
16.1 How Supplied
16.2 Storage and Handling
17 PATIENT COUNSELING INFORMATION
[*Sections or subsections omitted from the full prescribing information are not listed]

FULL PRESCRIBING INFORMATION

WARNING: RISK OF SERIOUS DISORDERS

Risk of Serious Disorders: Interferon alfa products may cause or aggravate fatal or life-threatening neuropsychiatric, autoimmune, ischemic, and infectious disorders. Patients should be monitored closely with periodic clinical and laboratory evaluations. Therapy should be withdrawn in patients with persistently severe or worsening signs or symptoms of these conditions. In many, but not all cases, these disorders resolve after stopping therapy [see Warnings and Precautions (5.1, 5,2, 5.3, 5.4) and Adverse Reactions (6.1)].

1 INDICATIONS AND USAGE

BESREMi is indicated for the treatment of adults with polycythemia vera.

2 DOSAGE AND ADMINISTRATION

2.1 Pre-Treatment Testing

Pregnancy testing is recommended prior to BESREMi treatment in females of reproductive potential [see Use in Specific Populations (8.3)].

2.2 Recommended Dosage

Patients Not Already on Hydroxyurea:

- The recommended BESREMi starting dosage for patients not on hydroxyurea is 100 mcg by subcutaneous injection every two weeks.
- Increase the dose by 50 mcg every two weeks (up to a maximum of 500 mcg), until the hematological parameters are stabilized (hematocrit less than 45%, platelets less than 400×10^9 /L, and leukocytes less than 10×10^9 /L).

Patients Transitioning from Hydroxyurea:

- When transitioning to BESREMi from hydroxyurea, start BESREMi at 50 mcg by subcutaneous injection every two weeks in combination with hydroxyurea.
- Gradually taper off the hydroxyurea by reducing the total biweekly dose by 20-40% every two weeks during Weeks 3-12.
- Increase the dose of BESREMi by 50 mcg every two weeks (up to a maximum of 500 mcg), until the hematological parameters are stabilized (hematocrit less than 45%, platelets less than 400 x 10⁹/L, and leukocytes less than 10 x 10⁹/L).
- Discontinue hydroxyurea by Week 13.

Maintain the two week dosing interval of BESREMi at which hematological stability is achieved for at least 1 year. After achievement of hematological stability for at least 1 year on a stable dose of BESREMi, the dosing interval may be expanded to every 4 weeks.

Monitor patients closely especially during the titration phase. Perform complete blood counts (CBC) regularly, every 2 weeks during the titration phase and every 3-6 months during the maintenance phase (after the patient's optimal dose is established). Monitor CBC more frequently if clinically indicated. Phlebotomy as rescue treatment to normalize blood hyperviscosity may be necessary during the titration phase [see Clinical Pharmacology (12.2)].

2.3 Dose Modifications

Monitor CBC every 2 weeks during the titration phase and dose modification phase. Phlebotomy as rescue treatment to normalize blood hyperviscosity may be necessary [see Clinical Pharmacology (12.2)].

If dose interruption occurs, resume dosing at previously attained levels. If drug-related toxicities arise, reduce the dose to the next lower level or interrupt in accordance with the table below (Table 1). If there is insufficient efficacy

at the decreased dose following dose modification, a dose increase attempt to the next higher dose level should be considered after recovery to grade 1 toxicity.

Table 1 Dose Modifications for BESREMi Adverse Reactions

Adverse Reactiona	Severity	Dosage Modification
Liver enzyme elevation with concomitant bilirubin elevation, or other evidence of hepatic decompensation	Any increase above baseline	Interrupt treatment until recovery, restart at dose 50 mcg lower than the interrupted dose. If the interrupted dose is 50 mcg, refrain from treatment until recovery. Consider permanent discontinuation if toxicity persists after four dosemodifications.
Liver enzyme elevation	>5 x the upper limit of normal (ULN) but ≤20 x ULN	Decrease dose by 50 mcg; if toxicity does not improve, continue decreasing at biweekly intervals until alanine aminotransferase (ALT) and aspartate aminotransferase (AST) recover < 3 x ULN if baseline was normal; 3 x baseline if baseline was abnormal, and gamma-glutamyltransferase (GGT) recovers to < 2.5 x ULN if baseline was normal; 2.5 x baseline if baseline was abnormal. If the interrupted dose is 50 mcg, refrain from treatment until
	>20 x ULN	Interrupt treatment until ALT and AST recover to < 3 x ULN if baseline was normal; 1.5 x baseline if baseline was abnormal, and gamma-glutamyltransferase (GGT) recovers to < 2.5 x ULN if baseline was normal; 2 x baseline if baseline was abnormal. Consider permanent discontinuation if toxicity persists after four dose-modifications.
Cytopenia	Anemia: Hemoglobin (Hgb) < 8 g/dL Thrombocytopenia: platelet count < 50,000/mm³ but ≥25,000/mm³ Leukopenia: white blood cell count (WBC) <2000/mm³ but ≥1,000/mm³	Decrease dose by 50 mcg; if toxicity does not improve, continue decreasing at biweekly intervals until recovery of Hgb >10.0 g/dL, platelets >75,000/mm³, and WBC >3,000/mm³ If the interrupted dose is 50 mcg, refrain from treatment until recovery.
	Anemia: Hemoglobin levels are life threatening, or urgent intervention needed	Interrupt treatment until recovery of Hgb >10.0 g/dL, platelets

	Thrombocytopenia: platelet count <25,000/mm ³	>75,000/mm ³ , and WBC >3,000/mm ³ .
	Leukopenia: WBC <1000/mm ³	Consider permanent discontinuation if toxicity persists after four dosemodifications.
Depression	Mild, without suicidal ideation	Consider psychiatric consultation if persistent (>8 weeks).
	Moderate, without suicidal ideation	Consider dose reduction and psychiatric consultation.
	Severe, or any severity with suicidal ideation	Discontinue therapy, recommend psychiatric consultation.

^aNational Cancer Institute Common Terminology Criteria for Adverse Events (CTCAE), version 3.0

2.4 Preparation and Administration

Read the INSTRUCTIONS FOR USE before administering the single-dose BESREMi prefilled syringe. BESREMi is for subcutaneous injection only and may be administered by either a healthcare professional, a patient or a caregiver. Before a decision is made to allow BESREMi to be administered by a patient or caregiver, ensure that the patient is an appropriate candidate for self-administration or administration by a caregiver. Proper training on storage, preparation and administration technique should be provided. If a patient or caregiver is not an appropriate candidate for any reason, then BESREMi should be administered by a healthcare professional.

Before each injection, remove the carton that contains the BESREMi prefilled syringe from the refrigerator. Keep the prefilled syringe in the carton and lay it flat on a clean work surface for 15-30 minutes to allow the prefilled syringe to reach room temperature [59 °F to 77 °F (15 °C to 25 °C)].

Before injection, visually inspect BESREMi in the prefilled syringe for particulate matter and discoloration before administration (do not use if the solution in the syringe is cloudy, discolored, contains particulate matter or if the syringe shows any sign of damage).

Syringe Preparation

- Remove the prefilled syringe cap by unscrewing it counterclockwise.
- Attach the covered needle to the prefilled syringe by firmly pushing it onto the collar of the syringe and then screwing (turn clockwise) it on until it feels securely attached.
- Choose one of the following injection sites: Lower stomach (abdomen) area, at least 2 inches away from the belly button, or top of thighs. Rotate (change) the injection site for each injection. Do not inject into skin that is irritated, red, bruised, infected, or scarred; clean the chosen injection site with an alcohol swab and let air dry.
- Uncap needle and move air bubbles to top. Pull the pink needle shield back and hold the syringe from the syringe body. Remove the clear needle cap by pulling it straight off. Throw away the needle cap into the trash. Hold the prefilled syringe with the needle pointing up. Tap on the body of the prefilled syringe to move any air bubbles to the top.

Set Injection Dose

- Depending on the prescribed dose, the amount of dose in the syringe may need to be adjusted by discarding some
 of the medication.
- Hold the prefilled syringe at eye level with the needle pointing straight up over a paper towel, sink, or trash can. Check that you can see the dose lines and number markings on the prefilled syringe.
- Pinch the end of the plunger and slowly push up to remove liquid medicine until the top edge of the gray stopper lines up with the marking for the prescribed dose.

Inject BESREMi

- Pinch the chosen injection site. While pinching the skin, insert needle at a 45- to 90-degree angle into the pinched skin, then release the pinched skin.
- Inject BESREMi by slowly pressing on the plunger all the way until it stops. After all the liquid medicine is injected, remove the needle from the skin.

Dispose of Used Syringe

- Carefully push the pink needle shield over the needle until it snaps into place and covers the needle. Do not recap the needle using the needle cap; only use the pink needle shield to cover the needle.
- Throw away the used prefilled syringe with the needle still attached, into an FDA-cleared sharps disposal container.

3 DOSAGE FORMS AND STRENGTHS

Injection: 500 mcg/mL clear and colorless to slightly yellowish solution in a single-dose prefilled syringe.

4 CONTRAINDICATIONS

BESREMi is contraindicated in patients with:

- Existence of, or history of severe psychiatric disorders, particularly severe depression, suicidal ideation, or suicide attempt
- Hypersensitivity to interferons including interferon alfa-2b or any of the inactive ingredients of BESREMi.
- Moderate (Child-Pugh B) or severe (Child-Pugh C) hepatic impairment
- · History or presence of active serious or untreated autoimmune disease
- Immunosuppressed transplant recipients

5 WARNINGS AND PRECAUTIONS

5.1 Depression and Suicide

Life-threatening or fatal neuropsychiatric reactions have occurred in patients receiving interferon alfa products, including BESREMi. These reactions may occur in patients with and without previous psychiatric illness. Serious neuropsychiatric reactions have been observed in 3% of patients treated with BESREMi during the clinical development program. Among the 178 patients in the clinical development program of BESREMi, 17 cases of depression, depressive symptoms, depressed mood, and listlessness occurred. Of these seventeen cases, 3.4% of the patients recovered with temporary drug interruption and 2.8% stopped BESREMi treatment.

Other central nervous system effects, including suicidal ideation, attempted suicide, aggression, bipolar disorder, mania and confusion have been observed with other interferon alfa products. BESREMi is contraindicated in patients with a history of severe psychiatric disorders, particularly severe depression, suicidal ideation, or suicide attempt [see Contraindications (4)].

Closely monitor patients for any symptoms of psychiatric disorders and consider psychiatric consultation and treatment if such symptoms emerge. If psychiatric symptoms worsen, it is recommended to discontinue BESREMi therapy.

5.2 Endocrine Toxicity

Endocrine toxicity has occurred in patients receiving interferon alfa products, including BESREMi. These toxicities may include worsening hypothyroidism and hyperthyroidism. Autoimmune thyroiditis and hyperglycemia, including new onset type 1 diabetes, have been reported in patients receiving interferon alfa-2b products. Eight cases of hyperthyroidism (4.5%), seven cases of hypothyroidism (3.9%) and five cases (2.8%) of autoimmune thyroiditis/thyroiditis occurred in the development program of BESREMi.

Do not use BESREMi in patients with active serious or untreated endocrine disorders associated with autoimmune disease [Contraindications (4)]. Evaluate thyroid function in patients who develop symptoms suggestive of thyroid

disease during BESREMi therapy. Discontinue BESREMi in patients who develop endocrine disorders that cannot be adequately managed during treatment with BESREMi.

5.3 Cardiovascular Toxicity

Cardiovascular toxicity has occurred in patients receiving interferon alfa products, including BESREMi. Toxicities may include cardiomyopathy, myocardial infarction, atrial fibrillation and coronary artery ischemia [see Adverse Reactions (6.1)]. Patients with a history of cardiovascular disorders should be closely monitored for cardiovascular toxicity during BESREMi therapy. Avoid use of BESREMi in patients with severe or unstable cardiovascular disease, (e.g., uncontrolled hypertension, congestive heart failure (\geq NYHA class 2), serious cardiac arrhythmia, significant coronary artery stenosis, unstable angina) or recent stroke or myocardial infarction.

5.4 Decreased Peripheral Blood Counts

Decreased peripheral blood counts have occurred in patients receiving interferon alfa products, including BESREMi. These toxicities may include thrombocytopenia (increasing the risk of bleeding), anemia, and leukopenia (increasing the risk of infection). Thrombocytopenia of grade 3 (platelet counts $<50,000-25,000/\text{mm}^3$) or greater occurred in 2% of BESREMi-treated patients. Anemia of grade 3 (Hgb < 8 g/dL) or greater occurred in 1% of BESREMi-treated patients. Leukopenia of grade 3 (WBC counts $<2,000-1,000/\text{mm}^3$) or greater occurred in 2% of BESREMi-treated patients. Infection occurred in 48% of BESREMi treated patients, while serious infections occurred in 8% of BESREMi treated patients. Monitor complete blood counts at baseline, during titration and every 3-6 months during the maintenance phase. Monitor patients for signs and symptoms of infection or bleeding.

5.5 Hypersensitivity Reactions

Hypersensitivity reactions have occurred in patients receiving interferon alfa products, including BESREMi. BESREMi is contraindicated in patients with hypersensitivity reactions to interferon products or any of the inactive ingredients in BESREMi [see Contraindications (4)]. Toxicities may include serious, acute hypersensitivity reactions (e.g., urticaria, angioedema, bronchoconstriction, anaphylaxis). If such reactions occur, discontinue BESREMi and institute appropriate medical therapy immediately. Transient rashes may not necessitate interruption of treatment.

5.6 Pancreatitis

Pancreatitis has occurred in patients receiving interferon alfa products, including BESREMi. Pancreatitis was reported in 2.2% of patients receiving BESREMi. Symptoms may include nausea, vomiting, upper abdominal pain, bloating, and fever. Patients may experience elevated lipase, amylase, white blood cell count, or altered renal/hepatic function. Interrupt BESREMi treatment in patients with possible pancreatitis and evaluate promptly. Consider discontinuation of BESREMi in patients with confirmed pancreatitis.

5.7 Colitis

Fatal and serious ulcerative or hemorrhagic/ischemic colitis have occurred in patients receiving interferon alfa products, some cases occurring as early as 12 weeks after start of treatment. Symptoms may include abdominal pain, bloody diarrhea, and fever. Discontinue BESREMi in patients who develop these signs or symptoms. Colitis may resolve within 1 to 3 weeks of stopping treatment.

5.8 Pulmonary Toxicity

Pulmonary toxicity has occurred in patients receiving interferon alfa products, including BESREMi. Pulmonary toxicity may manifest as dyspnea, pulmonary infiltrates, pneumonia, bronchiolitis obliterans, interstitial pneumonitis, pulmonary hypertension, and sarcoidosis. Some events have resulted in respiratory failure or death. Discontinue BESREMi in patients who develop pulmonary infiltrates or pulmonary function impairment.

5.9 Ophthalmologic Toxicity

Ophthalmologic toxicity has occurred in patients receiving interferon alfa products, including BESREMi. These toxicities may include severe eye disorders such as retinopathy, retinal hemorrhage, retinal exudates, retinal

detachment and retinal artery or vein occlusion which may result in blindness. During BESREMi therapy, 23% of patients were identified with an eye disorder. Eyes disorders ≥5% included cataract (6%) and dry eye (5%). Advise patients to have eye examinations before and during BESREMi therapy, specifically in those patients with a retinopathy-associated disease such as diabetes mellitus or hypertension. Evaluate eye symptoms promptly. Discontinue BESREMi in patients who develop new or worsening eye disorders.

5.10 Hyperlipidemia

Hyperlipidemia has occurred in patients treated with interferon alfa products, including BESREMi. Hyperlipidemia, hypertriglyceridemia, or dyslipidemia occurred in 3% of patients receiving BESREMi. Elevated triglycerides may result in pancreatitis [see Warnings and Precautions (5.6)]. Monitor serum triglycerides before BESREMi treatment and intermittently during therapy and manage when elevated. Consider discontinuation of BESREMi in patients with persistently, markedly elevated triglycerides.

5.11 Hepatotoxicity

Hepatotoxicity has occurred in patients receiving interferon alfa products, including BESREMi. These toxicities may include increases in serum ALT, AST, GGT and bilirubin. BESREMi is contraindicated in patients with moderate (Child-Pugh B) or severe (Child-Pugh C) hepatic impairment [see Contraindications (4)].

Increases in serum ALT \geq 3 times the upper limit of normal (ULN), AST \geq 3 times the ULN, GGT \geq 3 times the ULN, and bilirubin >2 times the ULN have been observed in patients treated with BESREMi.

In the clinical development program of BESREMi, 36 patients (20%) experienced liver enzyme elevations, 33 of whom had elevations of 1.25-5x ULN. Patients were able to resume BESREMi upon resolution of liver enzyme elevations. Liver enzyme elevations have also been reported in patients after long-term BESREMi therapy.

Monitor liver enzymes and hepatic function at baseline and during BESREMi treatment. Reduce BESREMi dosage by 50 mcg for increased AST/ALT/GGT then monitor AST/ALT/GGT weekly until the values return to baseline or grade 1 (ALT and AST < 3 x ULN if baseline was normal; 1.5 - 3 x baseline if baseline was abnormal, and GGT < 2.5 x ULN if baseline was normal; 2 - 2.5 x baseline if baseline was abnormal) [see Dosage and Administration (2.3)]. If toxicity does not improve, continue decreasing the BESREMi dose at biweekly intervals until recovery to grade 1. Hold if AST/ALT/GGT > 20 x ULN and consider permanent discontinuation if increased liver enzyme levels persist after four dose-reductions. Discontinue BESREMi in patients who develop evidence of hepatic decompensation (characterized by jaundice, ascites, hepatic encephalopathy, hepatorenal syndrome or variceal hemorrhage) during treatment [see Use in Specific Populations (8.7)].

5.12 Renal Toxicity

Renal toxicity has occurred in patients receiving interferon alfa products, including BESREMi. During BESREMi therapy, <1% of patients were reported to develop renal impairment and <1% of patients were reported to have toxic nephropathy. Monitor serum creatinine at baseline and during therapy. Avoid use of BESREMi in patients with eGFR <30 mL/min. Discontinue BESREMi if severe renal impairment develops during treatment [see Use in Specific Populations (8.6)].

5.13 Dental and Periodontal Toxicity

Dental and periodontal toxicities may occur in patients receiving interferon alfa products, including BESREMi. These toxicities may include dental and periodontal disorders, which may lead to loss of teeth. In addition, dry mouth could have a damaging effect on teeth and oral mucous membranes during long-term treatment with BESREMi. Patients should have good oral hygiene and regular dental examinations.

5.14 Dermatologic Toxicity

Dermatologic toxicity has occurred in patients receiving interferon alfa products, including BESREMi. These toxicities have included skin rash, pruritus, alopecia, erythema, psoriasis, xeroderma, dermatitis acneiform, hyperkeratosis, and hyperhidrosis. Consider discontinuation of BESREMi if clinically significant dermatologic toxicity occurs.

5.15 Driving and Operating Machinery

BESREMi may impact the ability to drive and use machinery. Patients should not drive or use heavy machinery until they know how BESREMi affects their abilities. Patients who experience dizziness, somnolence or hallucination during BESREMi therapy should avoid driving or using machinery.

5.16 Embryo-Fetal Toxicity

Based on the mechanism of action, BESREMi can cause fetal harm when administered to a pregnant woman [see Clinical Pharmacology (12.1) and Use in Specific Populations (8.1)]. Pregnancy testing is recommended in females of reproductive potential prior to treatment with BESREMi. Advise females of reproductive potential to use an effective method of contraception during treatment with BESREMi and for at least 8 weeks after the final dose [see Dosage and Administration (2.1) and Use in Specific Populations (8.1, 8.3)].

6 ADVERSE REACTIONS

6.1 Clinical Trials Experience

The following clinically significant adverse reactions are described elsewhere in the labeling.

- Depression and Suicide [see Warnings and Precautions (5.1)]
- Endocrine Toxicity [see Warnings and Precautions (5.2)]
- Cardiovascular Toxicity [see Warnings and Precautions (5.3)]
- Decreased Peripheral Blood Counts [see Warnings and Precautions (5.4)]
- Hypersensitivity Reactions [see Warnings and Precautions (5.5)]
- Pancreatitis [see Warnings and Precautions (5.6)]
- Colitis [see Warnings and Precautions (5.7)]
- Pulmonary Toxicity [see Warnings and Precautions (5.8)]
- Ophthalmologic Toxicity [see Warnings and Precautions (5.9)]
- Hyperlipidemia [see Warnings and Precautions (5.10)]
- Hepatotoxicity [see Warnings and Precautions (5.11)]
- Renal Toxicity [see Warnings and Precautions (5.12)]
- Dental and Periodontal Toxicity [see Warnings and Precautions (5.13)]
- Dermatologic Toxicity [see Warnings and Precautions (5.14)]
- Driving and Operating Machinery [see Warnings and Precautions (5.15)]
- Embryo-Fetal Toxicity [see Warnings and Precautions (5.16)]

Because clinical trials are conducted under widely varying conditions, adverse reaction rates observed in the clinical trials of a drug cannot be directly compared to rates in the clinical trials of another drug and may not reflect the rates observed in practice.

The pooled safety population described in the Warnings and Precautions section reflects exposure to BESREMi as monotherapy for the treatment of polycythemia vera dosed every two to four weeks in 178 patients in two open-label trials [PEGINVERA, PROUD/CONTINUATION PV]. The mean age at baseline was 58.6 years (range 30-85 years), 88 (49.4%) women, 90 (50.6%) men, 177 (99%) Caucasian and 1 (1%) Asian. Among 178 patients who received BESREMi, 80% were exposed for 12 months or longer. The mean dose of BESREMi was 334 mcg SD ± 121 during the treatment period. In this pooled safety population, the most common adverse reactions greater than 10%, were liver enzyme elevations (20%), leukopenia (20%), thrombocytopenia (19%), arthralgia (13%), fatigue (12%), myalgia (11%), and influenza-like illness (11%).

The safety findings described below reflect exposure to BESREMi as monotherapy for the treatment of polycythemia vera in 51 patients in the PEGINVERA study [see Clinical Studies (14)]. Among the 51 patients receiving BESREMi, 71% were exposed for 12 months or longer, 63% were exposed for three years or longer, and 53% were exposed for greater than five years.

Serious adverse reactions were reported in 16% of patients in the PEGINVERA study. The most common serious adverse reactions observed during the study (\geq 4%) included urinary tract infection (8%), transient ischemic attack (6%) and depression (4%).

Adverse reactions requiring permanent discontinuation in >2% of patients who received BESREMi included depression (8%) arthralgia (4%), fatigue (4%), and general physical health deterioration (4%) In the PEGINVERA study, patients were not pre-screened for depression or anxiety disorders.

The most common adverse reactions reported in \geq 10% of patients in the PEGINVERA study are listed in Table 2.

Table 2 Adverse Reactions in > 10% of Subjects with Polycythemia Vera in the PEGINVERA Study Over 7.5 Years.

Adverse Reactions*	BESREMi
	N=51
	%
Influenza-like illness ^a	59
Arthralgia	47
Fatigue ^b	47
Pruritis	45
Nasopharyngitis ^c	43
Musculoskeletal pain d	41
Headache ^e	39
Diarrhea	33
Hyperhidrosis ^f	29
Nausea	28
Upper respiratory tract infection ^g	27
Local administration site reactions	26
Dizziness	22
Abdominal pain h	20
Depression	20
Sleep disorder i	20
Leukopenia	18
Decreased appetite	18
Alopecia	16
Edema ^j	16
Hypertension ^k	16
Muscle spasms	16
Neutropenia	16
Rash ¹	16
Transaminase elevations ^m	16
Urinary tract infection	16
Thrombocytopenia	12
Vertigo	12

^{*}Adverse Reactions defined as all treatment emergent adverse events

Grouped Term Definitions

^a Includes pyrexia, chills, and influenza-like illness.

^b Includes asthenia, malaise, and fatigue.

^c Includes pharyngitis and nasopharyngitis.

^d Includes musculoskeletal pain, back pain, pain in extremity, bone pain, flank pain, and spinal pain.

- ^e Includes headache, migraine, and head pain.
- ^f Includes night sweats and hyperhidrosis.
- ^g Includes upper respiratory tract infection, rhinitis, bronchitis, and respiratory tract infection.
- ^h Includes abdominal pain upper, abdominal pain lower, and abdominal pain.
- ⁱ Includes insomnia, sleep disorder, and abnormal dreams.
- j Includes peripheral edema and generalized edema.
- ^k Includes hypertension and hypertensive crisis.
- ¹ Includes rash, maculopapular rash, and pruritic rash.
- ^m Includes transaminase increase, hepatic enzyme increase, GGT increase, AST increase, and ALT increase.

Clinically relevant adverse reactions in < 10% of patients include:

Cardiovascular System: Atrial fibrillation

6.2 Immunogenicity

As with all therapeutic proteins, there is potential for immunogenicity. The detection of antibody formation is highly dependent on the sensitivity and specificity of the assay. Additionally, the observed incidence of antibody (including neutralizing antibody) positivity in an assay may be influenced by several factors, including assay methodology, sample handling, timing of sample collection, concomitant medications, and underlying disease. For these reasons, comparison of the incidence of antibodies in the studies described below with the incidence of antibodies in other studies or to other interferon alfa-2b products may be misleading.

The incidence of binding antibodies to ropeginterferon alfa-2b-njft was 1.4% (2/146) and they were observed as early as 8 weeks post-dosing. Among the patients who tested positive for binding antibodies, none developed neutralizing antibodies.

7 DRUG INTERACTIONS

7.1 Drugs Metabolized by Cytochrome P450

Certain proinflammatory cytokines, including interferons, can suppress CYP450 enzymes resulting in increased exposures of some CYP substrates [see Clinical Pharmacology (12.3)]. Therefore, patients on BESREMi who are receiving concomitant drugs that are CYP450 substrates with a narrow therapeutic index should be monitored to inform the need for dosage modification for these concomitant drugs.

7.2 Myelosuppressive Agents

Concomitant use of BESREMi and myelosuppressive agents can produce additive myelosuppression. Avoid use and monitor patients receiving the combination for effects of excessive myelosuppression [see Warnings and Precautions (5.4)].

7.3 Narcotics, Hypnotics or Sedatives

Concomitant use of BESREMi and narcotics, hypnotics or sedatives can produce additive neuropsychiatric side effects. Avoid use and monitor patients receiving the combination for effects of excessive CNS toxicity [see Warnings and Precautions (5.1)].

8 USE IN SPECIFIC POPULATIONS

8.1 Pregnancy

Risk Summary

Available human data with BESREMi use in pregnant women are insufficient to identify a drug-associated risk of major birth defects, miscarriage or adverse maternal or fetal outcomes. Animal studies assessing reproductive toxicity of BESREMi have not been conducted. Based on mechanism of action and the role of interferon alfa in pregnancy and fetal development, BESREMi may cause fetal harm and should be assumed to have abortifacient potential when

administered to a pregnant woman. There are adverse effects on maternal and fetal outcomes associated with polycythemia vera in pregnancy (see Clinical Considerations). Advise pregnant women of the potential risk to a fetus.

The estimated background risk of major birth defects and miscarriage for the indicated population is unknown. All pregnancies have a background risk of birth defect, loss, or other adverse outcomes. In the U.S. general population, the estimated background risk of major birth defects and miscarriage is 2-4% and 15-20%, respectively.

Clinical Considerations

Disease-Associated Maternal and/or Embryo-Fetal Risk

Untreated polycythemia vera during pregnancy is associated with adverse maternal outcomes such as thrombosis and hemorrhage. Adverse pregnancy outcomes associated with polycythemia vera include increased risk for miscarriage.

8.2 Lactation

There are no data on the presence of BESREMi in human or animal milk, the effects on the breastfed child, or the effects on milk production. Because of the potential for serious adverse reactions in breastfed children from BESREMi, advise women not to breastfeed during treatment and for 8 weeks after the final dose.

8.3 Females and Males of Reproductive Potential

BESREMi may cause embryo-fetal harm when administered to a pregnant woman [see Use in Specific Populations (8.1)].

Pregnancy Testing

Pregnancy testing prior to BESREMi treatment is recommended for females of reproductive potential.

Contraception

Females

Advise female patients of reproductive potential to use effective contraception during treatment with BESREMi and for at least 8 weeks after the final dose.

Infertility

Females

Based on its mechanism of action, BESREMi can cause disruption of the menstrual cycle [see Clinical Pharmacology (12.1)]. No animal fertility studies have been conducted with BESREMi.

8.4 Pediatric Use

Safety and effectiveness in pediatric patients have not been established.

8.5 Geriatric Use

Clinical studies of BESREMi did not include sufficient numbers of subjects aged 65 years and over to determine whether they respond differently from younger subjects. Other reported clinical experience has not identified differences in responses between the elderly and younger patients. In general, dose selection for an elderly patient should be cautious, usually starting at the low end of the dosing range, reflecting the greater frequency of decreased hepatic, renal, or cardiac function and of concomitant disease or other therapy.

8.6 Renal Impairment

No dose adjustment is necessary in patients with estimated glomerular filtration rate (eGFR) ≥30 mL/min [see Clinical Pharmacology (12.3)]. Avoid use of BESREMi in patients with eGFR <30 mL/min [see Warnings and Precautions (5.12)].

8.7 Hepatic Impairment

BESREMi is contraindicated in patients with hepatic impairment (Child-Pugh B or C) [see Contraindications (4)].

Increased liver enzyme levels have been observed in patients treated with BESREMi. When the increase in liver enzyme levels is progressive and persistent, reduce the dose of BESREMi. If the increase in liver enzymes is progressive and clinically significant despite dose-reduction, or if there is evidence of hepatic impairment (Child-Pugh B or C), discontinue BESREMi [see Dosage and Administration (2.2) and Warnings and Precautions (5.11)].

10 OVERDOSAGE

Overdosage of BESREMi may result in influenza-like symptoms or other adverse reactions. There is no antidote to BESREMi overdosage. In case of an overdose, frequently monitor signs and symptoms for adverse reactions.

11 DESCRIPTION

Ropeginterferon alfa-2b-njft, an interferon alfa-2b, is an N-terminal monopegylated covalent conjugate of proline interferon alfa-2b, produced in *Escherichia coli* cells by recombinant DNA technology, with a methoxy polyethylene glycol (mPEG) moiety. Ropeginterferon alfa-2b-njft has an approximate molecular weight of 60 kDa and the approximate molecular weight of the PEG portion of the molecule is 40 kDa.

BESREMi (ropeginterferon alfa-2b-njft) injection is a sterile, preservative-free, clear and colorless to slightly yellowish solution for subcutaneous use supplied in a single dose prefilled syringe.

Each prefilled syringe delivers 1 mL of solution containing 500 mcg of ropeginterferon alfa-2b-njft and benzyl alcohol (10 mg), glacial acetic acid (0.05 mg), polysorbate 80 (0.05 mg), sodium acetate (1.58 mg), sodium chloride (8 mg), and Water for Injection, USP. The pH is approximately 6.

12 CLINICAL PHARMACOLOGY

12.1 Mechanism of Action

Interferon alfa belongs to the class of type I interferons, which exhibit their cellular effects in polycythemia vera in the bone marrow by binding to a transmembrane receptor termed interferon alfa receptor (IFNAR). Binding to IFNAR initiates a downstream signaling cascade through the activation of kinases, in particular Janus kinase 1 (JAK1) and tyrosine kinase 2 (TYK2) and activator of transcription (STAT) proteins. Nuclear translocation of STAT proteins controls distinct gene-expression programs and exhibits various cellular effects. The actions involved in the therapeutic effects of interferon alfa in polycythemia vera are not fully elucidated.

12.2 Pharmacodynamics

The efficacy of ropeginterferon alfa-2b-njft is dependent on the stabilization of hematological parameters (hematocrit <45%, platelets <400 \times 10 9 /L and leukocytes <10 \times 10 9 /L). Pharmacokinetic-pharmacodynamic analyses have demonstrated that the reduction in the individual hematological parameters is dependent on ropeginterferon alfa-2b-njft concentrations. Complete hematological response (CHR, defined as a patient achieving hematocrit <45% without phlebotomy [at least 2 months since last phlebotomy], platelets \leq 400 x 10 9 /L and leukocytes \leq 10 x 10 9 /L) increased with increasing ropeginterferon alfa-2b-njft concentration over time. Based on the exposure-response (E-R) analyses using data from the PEGINVERA study, the predicted probability of CHR (95% Prediction Intervals) was 22% (11% - 34%) before treatment, 50% (38% - 62%) at week 20 (end of titration), 64% (47% - 78%) at week 52, and 70% (55% - 88%) at week 104. The E-R analyses show that the maximum probability of CHR is reached after 2 years of continuous treatment.

12.3 Pharmacokinetics

In patients with polycythemia vera, the estimated steady state C_{max} , C_{min} and area under the curve (AUC) after a two-week dosing interval of BESREMi over a dose range of 100 mcg to 500 mcg ranged from 4.4-31 ng/mL, 1.4-12 ng/mL, and 1011-7809 ng×h/mL, respectively. The estimated steady state C_{max} occurs between 2 to 5 days.

Absorption

The estimated geometric mean (CV%) of the absorption rate constant of BESREMi is 0.12 day⁻¹ (27%) in patients with polycythemia vera.

Distribution

The estimated geometric mean (CV%) of apparent volume of distribution of BESREMi is 4.8 L (21%) in patients with polycythemia vera.

Elimination

BESREMi undergoes receptor independent degradation/excretion and receptor binding and subsequent degradation of the drug-receptor complex. The half-life and clearance of BESREMi is approximately 7 days and 1.7-2.5 L/h in patients with polycythemia vera over a dose range of 100 mcg to 500 mcg, respectively.

Specific Populations

No clinically significant differences in the pharmacokinetics of BESREMi were observed based on age, sex, body surface area, and JAK2V617F mutation.

Drug Interactions

Clinical Studies

No clinical studies evaluating the drug interaction potential of BESREMi have been conducted.

In Vitro Studies

In vitro studies indicate that BESREMi exhibited time-dependent inhibitory potential on CYP2A6. BESREMi did not inhibit CYP1A2, CYP2B6, CYP2C8, CYP2C9, CYP2C19, CYP2D6, CYP2E1, and CYP3A4 in human liver microsomes. BESREMi is not expected to induce CYP enzymes. However, interferon may influence CYP450 through modulating transcription factors and altering protein expression and/or structure. As this mechanism requires more time to exert effect, it cannot be evaluated by in vitro assays.

13 NONCLINICAL TOXICOLOGY

13.1 Carcinogenesis, Mutagenesis, Impairment of Fertility

Ropeginterferon alfa-2b-njft has not been tested for its carcinogenic potential. Neither ropeginterferon alfa-2b-njft nor its components, interferon or methoxypolyethylene glycol, caused damage to DNA when tested in the standard battery of mutagenesis assays. Ropeginterferon alfa-2b-njft effects on fertility have not been assessed [see Use in Specific Populations (8.1, 8.2, 8.3)].

14 CLINICAL STUDIES

The efficacy and safety of BESREMi were evaluated in the PEGINVERA study, a prospective, multicenter, single-arm trial of 7.5 years duration. The study included 51 adults with polycythemia vera. The mean age at baseline was 56 years (range 35-82 years) with 20 (39%) women and 31 (61%) men. All patients had the JAK2V617F mutation with 16% of subjects being newly diagnosed; 84% had known disease with a median duration of 2.2 years. One-third (33%) of patients were undergoing treatment with hydroxyurea (HU) upon study entry. At baseline, the mean \pm SD hematocrit, platelets, and leukocytes were 45% \pm 4.0%, 457 x10⁹/L \pm 187 x10⁹/L and 11.8 x 10⁹/L \pm 5.2 x 10⁹/L, respectively. Median spleen size was 13.2 cm with 16 (31%) having splenomegaly (defined as a longitudinal diameter of >12 cm for women and >13 cm for men. Eleven patients (22%) had a prior history of a major cardiovascular event including pulmonary embolism (6), stroke (2), myocardial infarction (2) and portal vein thrombosis (1).

In stage I, the maximum tolerated dose, defined as the highest administered dose without dose-limiting toxicities was determined to be 540 mcg. In stage II, an intra-patient dose escalation began at 150 mcg, or 100 mcg if titrating from

hydroxyurea, or at the highest dose achieved in those patients enrolled during stage I. Titration with BESREMi occurred every two-weeks at doses of 225 mcg, 300 mcg, 400 mcg and 450 mcg with dose escalation stopping when hematological parameters were stabilized. For patients transitioning from hydroxyurea, the hydroxyurea dose was tapered off over the first 12 weeks of treatment to avoid toxicity. After at least one year on therapy and at a median time of 21.5 months, 28 eligible patients in the PEGINVERA study increased the dosing interval to once every 4 weeks. Because of formulation changes, the recommended starting dose, titration amounts, and maximum dose of BESREMi differ slightly from those used in the trial [see Dosage and Administration (2)].

The median duration of treatment exposure was 61 months and 53% of patients completed at least 60 months of treatment. Thirty-six patients completed one year of treatment with eleven patients discontinuing after one year of treatment mainly due to treatment emergent adverse events. The mean dose of BESREMi was 237 mcg (\pm 110) during the treatment period.

The efficacy of BESREMi was evaluated in the PEGINVERA study by assessing complete hematological response (CHR) defined as hematocrit <45% and no phlebotomy in the preceding 2 months, platelets \leq 400 x 10 9 /L and leukocytes \leq 10 x 10 9 /L, normal spleen size (longitudinal diameter \leq 12 cm for females and \leq 13 cm for males) assessed by ultrasound and absence of thromboembolic events.

The CHR in the treated population during the treatment period was 61% (31/51) (95% CI: 46, 74). The median duration of response was 14.3 months (95% CI: 5.5, 30.1).

Among the patients in the treated population who achieved a CHR, the median time to response was 7.8 months of treatment with BESREMi. It required 1.2 years of treatment with BESREMi for 50% of patients (hydroxyureanaïve) to achieve a CHR and 1.4 years for 50% of patients with prior hydroxyurea use to achieve a CHR.

A hematological response based only on hematocrit, platelets, and leukocytes was achieved among 80% of patients treated with BESREMi (41/51) (95% CI: 67, 90). The median duration of this response was 20.8 months (95% CI: 13.0, 43.8).

16 HOW SUPPLIED/STORAGE AND HANDLING

16.1 How Supplied

BESREMi (ropeginterferon alfa-2b-njft) injection is a sterile, preservative-free, clear and colorless to slightly yellowish solution for subcutaneous administration in a single-dose prefilled syringe. Each carton contains one 500 mcg/mL prefilled syringe with a 30 gauge, ½ inch safety hypodermic needle (NDC 73536-500-01).

16.2 Storage and Handling

Store in a refrigerator at 36 °F to 46 °F (2 °C to 8 °C) in the original carton to protect from light.

Do not freeze.

17 PATIENT COUNSELING INFORMATION

Advise the patient to read the FDA-approved patient labeling (Medication Guide and Instructions for Use).

Depression and Suicide

Inform patients, their caregivers, and family members that suicidal ideation and behavior, as well as new onset or worsening depression have been reported in patients treated with BESREMi. Advise them to be aware of any unusual changes in mood or behavior, new onset or worsening of depression, or the emergence of suicidal thoughts or behavior. Instruct patients, caregivers, and family members to report signs or symptoms of depression to their healthcare provider right away, but to discontinue BESREMi immediately and seek immediate medical attention if suicidal ideation or attempts occur [see Warnings and Precautions (5.1)].

Endocrine Toxicity

Advise patients to report any signs or symptoms of diabetes or thyroid dysfunction [see Warnings and Precautions (5.2)].

Cardiovascular Toxicity

Advise patients to report signs or symptoms of cardiovascular toxicity to their healthcare provider [see Warnings and Precautions (5.3)].

Decreased Peripheral Blood Counts

Advise patients to seek prompt medical attention if they experience weakness/fatigue, fever, easy bruising, or frequent nose bleeds [see Warnings and Precautions (5.4)].

Hypersensitivity

Advise patients to seek immediate medical attention if they experience any symptoms of serious hypersensitivity reactions [see Warnings and Precautions (5.5) and Drug Interactions (7)].

Pancreatitis

Advise patients to report signs or symptoms of pancreatitis [see Warnings and Precautions (5.6)].

Colitis

Advise patients to report signs or symptoms of colitis [see Warnings and Precautions (5.7)].

Pulmonary Toxicity

Advise patients to report signs or symptoms of pulmonary toxicity [see Warnings and Precautions (5.8)].

Ophthalmologic Toxicity

Advise patients to report visual changes and to have eye examinations before and during treatment [see Warnings and Precautions (5.9)].

Hyperlipidemia

Advise patients that BESREMi may increase blood triglycerides and that they will need blood testing to monitor for this toxicity [see Warnings and Precautions (5.10)].

Hepatotoxicity

Advise patients to report signs or symptoms of hepatic toxicity to their healthcare provider [see Warnings and Precautions (5.11) and Use in Specific Populations (8.7)].

Renal Toxicity

Advise patients to report signs or symptoms of kidney disease [see Warnings and Precautions (5.12 and Use in Specific Populations (8.6))].

Dental and Periodontal Toxicity

Advise patients to maintain good oral hygiene and to have regular dental examinations [see Warnings and Precautions (5.13)].

Dermatologic Toxicity

Advise patients to seek medical attention if significant pruritus, alopecia, rash and/or other dermatological toxicities occur [see Warnings and Precautions (5.14)].

Hazardous Occupations/Operating Machinery

Advise patients to refrain from engaging in operating heavy or potentially dangerous machinery until they know how BESREMi will affect their abilities. Advise patients who experience dizziness, somnolence and hallucinations not to drive or use heavy machinery [see Warnings and Precautions (5.15)].

Pregnancy and Contraception

Advise women about the need to use an effective method of contraception while taking BESREMi and for at least 8 weeks after the final dose [see Use in Specific Populations (8.1, 8.3)].

Lactation

Advise women not to breastfeed during treatment and for 8 weeks after the final dose [see Use in Specific Populations (8.2)].

Instruction on Injection Technique

Instruct patients on proper storage, preparation and administration techniques for BESREMi. Instruct patients who are self-administering to inject the prescribed dose of BESREMi [see Dosage and Administration (2.4).

Manufactured by: PharmaEssentia Corporation 2F-5 No. 3 YuanQu Street Nangang Dist. Taipei, Taiwan U.S. License number xxxx

Distributed by: PharmaEssentia USA Corporation 35 Corporate Dr, Suite 325, Burlington, MA 01803, USA

© PharmaEssentia USA Corporation, 2021

処方情報の重要事項

本重要事項には、BESREMi を安全かつ有効に使用するために必要な情報がすべて記載されているわけではない。BESREMi の処方情報を十分に参照すること。

BESREMi (ロペグインターフェロンアルファ-2b-rjft) 注射液、皮下用 米国初回承認 2021 年

警告:重篤な障害のリスク

四角で囲んだ完全な警告については、完全な処方情報を参照のこと。 重篤な障害のリスク:インターフェロンアルファ製剤により、致死的また は生命を脅かす精神神経疾患、自己免疫疾患、虚血性疾患、感染性 疾患を引き起こしたり、悪化させたりする可能性がある。上記疾患の 徴候または症状が持続的に重度または悪化している場合は、注意深 く監視し、治療を中止すること。

 办	能	- 効理

BESREMI は、成人の真性多血症の治療に適応とされるインターフェロンアルファ-2b である

-用法•用量-

- 推奨開始用量:2 週間ごとに皮下注射で100mcg(ヒドロキシウレアを投与している場合は50mcg)。
- 血液学的パラメータが安定するまで50mcg(最大500mcg)ずつ増量する (2.1)。
- 特定の副作用があらわれた場合には、投与を中断又は中止すること(2.3, 5)

--剤形及び含量-

• 注:単回投与プレフィルドシリンジに 500mcg/mL 溶液。(3)

---禁忌-

- 重度の精神障害、特に重度のうつ病、自殺念慮又は自殺企図の有無又はその既往の有無(4)
- 活性物質又は本剤のいずれかの成分に対する過敏症(4)(11)。
- 肝機能障害(Child-Pugh B 又は C)(4)
- 活動性の重篤または未治療の自己免疫疾患の既往または存在(4)。
- 免疫抑制移植レシピエント(4)

·---警告および使用上の注意--

以下のような事象が認められた場合には、患者の状態を十分に観察し、減量又は投与を中止すること:

- うつ病と自殺:症状と治療の必要性を注意深く監視すること。(5.1)
- 内分泌毒性:内科的に管理できない内分泌疾患が発生した場合は中止 する。(52)
- 心血管毒性:重度、急性または不安定な心血管疾患のある患者への使用は避けること。心血管障害の既往歴のある患者をより頻繁に監視する。(5.3)

- 末梢血球数の減少:ベースライン時、漸増中は2週間ごと、維持療法中は少なくとも3~6ヵ月ごとに血球数を測定する。(5.4)
- 過敏反応:治療を中止し、直ちに反応を管理する。(5.5)
- 膵炎:膵炎が確認された場合は中止を考慮すること。(5.6)
- 大腸炎:大腸炎の徴候または症状があれば中止する。(5.7)
- 肺毒性:肺浸潤又は肺機能障害のある場合は中止する。(5.8)
- 眼毒性:治療前および治療中に眼の検査を受けるよう患者に助言する。 眼の症状を速やかに評価し、眼の障害が新たに生じたり悪化した場合 は中止する。(5.9)
- 高脂血症:BESREMi 治療前および治療中の間欠的に血清トリグリセリドをモニタリングし、上昇時に管理する。(5.10)
- 肝毒性:ベースライン及び投与中は肝酵素及び肝機能をモニタリングする こと。重症度に応じて減量又は中止する。(5.11)
- 腎毒性:ベースライン時および治療中に血清クレアチニンをモニタリングする。重度の腎障害が発現した場合は中止する。(5.12)
- 歯および歯周毒性:良好な口腔衛生状態について患者に助言し、定期的な歯科検査を受けること。(5.13)
- 皮膚毒性:臨床的に重大な皮膚毒性がある場合は中止を考慮すること。 (5.14)
- 運転・機械操作:浮動性めまい、傾眠または幻覚を経験した場合は、自動 車の運転や機械の使用を避けるよう、患者に助言すること。

-副作用-----

40%以上の患者で報告された主な副作用は、インフルエンザ様疾患、関節痛、疲労、そう痒症、鼻咽頭炎、筋骨格痛であった。(6)

副作用を報告するには、PharmaEssentia at 1-800-999-2449 または FDA at 1-800-FDA-1088 または www.fda.gov/medwatch に連絡すること。

----薬物相互作用-

- 治療係数が狭い CYP450 基質を服用している患者では、副作用の発現を 観察し、併用薬の用量調節の必要性を知らせること。(7.1)
- 骨髄抑制薬との併用を避け、併用投与中の患者に過度の骨髄抑制の影響を観察すること。(7.2)
- 麻薬、睡眠薬または鎮静薬との併用は避けること。併用投与中の患者に 過度の中枢神経系毒性がないか監視すること。(7.3)

─-特定の集団で用いる-

- 妊娠:胎児に害を及ぼす可能性がある。胎児への潜在的リスクのある生殖可能性のある女性に助言し、効果的な避妊法を用いる。(8.1,8.3)
- 授乳:治療中および最終投与後8週間は母乳を与えないように女性に助言する。(8.2)
- eGFR が 30mL/min 未満の患者への使用は避けること。(8.6)

患者カウンセリング情報および FDA 承認の Medication Guide については 17 を参照のこと。

改訂: 11/2021

処方情報全文内容*

警告:重篤な障害のリスク

- 1 適応と使用法
- 2 用法•用量
 - 2.1 治療前検査
 - 2.2 推奨用量
 - 2.3 用量変更2.4 調製および投与
- 3 剤形・含量
- 4 禁忌
- 5 警告および使用上の注意
 - 5.1 うつ病と自殺
 - 5.2 内分泌障害
 - 5.3 心血管系疾患
 - 5.4 末梢血数の減少
 - 5.5 過敏症反応
 - 5.6 膵炎

- 5.7 大腸炎
- 5.8 肺毒性
- 5.9 眼毒性
- 5.10 高脂血症
- 5.11 肝毒性
- 5.12 腎毒性
- 5.13 歯および歯周毒性
- 5.14 皮膚毒性
- 5.15 運転•操作機械
- 5.16 胚•胎児毒性
- 6 副作用
 - 6.1 臨床試験の経験
 - 6.2 免疫原性
- 7 相互作用
 - 7.1 チトクロム P450 によって代謝される薬物
 - 7.2 骨髄抑制薬
 - 7.3 麻薬、睡眠薬又は鎮静薬

1

8 特定の集団における使用

- 8.1 妊娠
- 8.2 授乳
- 8.3 複製可能性の女性と男女
- 8.4 小児等への投与
- 8.5 高齢者への投与
- 8.6 腎障害
- 8.7 肝機能障害
- 10 過量投与
- 11 性状
- 12 臨床薬理
 - 12.1 作用機序
 - 12.2 薬力学

12.3 薬物動態

13 非臨床毒性学

13.1 発がん、突然変異誘発、生殖能の障害

14 臨床成績

16 供給/保管および取扱い方法

16.1 供給方法

16.2 保管および取扱い

17 患者カウンセリング情報

[*処方情報全文から省略した項目および小項目は記載していない。]

処方情報全文

警告:重篤な障害のリスク

重篤な障害のリスク:インターフェロンアルファ製剤は、致死的または生命を脅かす神経精神疾患、自己免疫疾患、虚血性疾患、感染性疾患を引き起こしたり、悪化させたりする可能性がある。定期的に臨床検査及び臨床検査を行い、患者の状態を十分に観察すること。これらの病態の徴候または症状が持続的に重度または悪化している患者では、治療を中止すべきである。全てではないが、多くの症例で、これらの障害は治療中止後に消失する[「警告」および「使用上の注意」(5.1、5、2、5.3、5.4)および「副作用」(6.1)参照]。

1 適応と使用法

BESREMi は、成人の真性多血症患者の治療を適応とする。

2 用法・用量

2.1 治療前検査

生殖可能な女性には、BESREMi 投与前に妊娠検査を実施することが推奨される[特定集団への投与(8.3)参照]。

2.2 推奨用量

ヒドロキシ尿素を投与されていない患者:

- ヒドロキシウレアを使用していない患者に推奨される BESREMi の開始用量は、2 週間ごとに 100mcg を 皮下注射することである。
- 血液学的パラメータが安定するまで(ヘマトクリット値 45%未満、血小板数 400×10⁹/L 未満、白血球数 10×10⁹/L 未満)、2 週間ごとに 50mcg ずつ増量する(最高 500mcg まで)。

ヒドロキシ尿素から移行する患者:

- ヒドロキシウレアから BESREMI に移行する場合は、ヒドロキシウレアと併用し、2週間ごとに皮下注射で 50mcg から開始する。
- 第3~12週の間、隔週の総投与量を2週間ごとに20~40%減らすことにより、ヒドロキシ尿素を徐々に 漸減する。
- 血液学的パラメータが安定するまで(ヘマトクリット値 45%未満、血小板数 400×10⁹/L 未満、白血球数 10×10⁹/L 未満)、2 週間ごとに BESREMI の投与量を 50mcg ずつ増量する(最高 500mcg まで)。
- 13 週目までにヒドロキシ尿素を中止する。

血液学的安定が得られる BESREMI の 2 週間の投与間隔を少なくとも 1 年間維持する。BESREMI の安定した用量で少なくとも 1 年間血液学的安定が得られた後は、投与間隔を 4 週間ごとに延長することができる。

特に漸増期には患者を綿密に監視する。漸増期には2週間毎、維持期(患者の至適用量が確立された後)には $3\sim6$ ヵ月毎に、定期的に全血球数(CBC)を実施する。臨床的に適応がある場合は、より頻繁に血算をモニタリングする。漸増期には、血液過粘稠度を正常化するためのレスキュー治療として瀉血が必要となることがある[臨床薬理(12.2)参照]。

2.3 用量変更

漸増期および用量変更期には2週間ごとにCBCをモニタリングする。血液過粘稠度を正常化するためのレスキュー治療として瀉血が必要となることがある。[臨床薬理(12)の項参照]

休薬した場合は、以前に到達したレベルで投与を再開する。治験薬との因果関係が否定できない毒性が発現した場合には、下表(表 1)に従って、次の低用量まで減量するか、又は投与を中断すること。用量変更後に減量し

た用量で効果が不十分であった場合には、グレード1の毒性に回復した後、次のより高い用量レベルへの増量を試みることを考慮すること。

表 1 BESREMi 副作用に対する用量変更 1

有害 Reaction ^a	重症度	用量変更
ビリルビン上昇を伴う肝酵素上 昇、または他の肝代償不全の証 拠	ベースラインを超えるあらゆる増加	回復するまで治療を中断し、中断 した用量より50mcg 低い用量で再 開する。休薬量が50mcg の場合、 回復するまで投与を控える。 4回の投与後も毒性が持続する場 合は、永久的な中止を考慮するこ と。
肝酵素上昇	基準値上限(ULN)の 5 倍を超えるが、20 倍以下	50mcg ずつ減量:毒性が改善しない場合は、アラニンアミノトランスフェラーゼ(ALT)およびアスパラギン酸アミノトランスフェラーゼ(AST)がベースラインが正常であれば基準値上限の3倍未満に回復するまで隔週毎に減量を継続:ベースラインが異常であれば基準値上限の3倍未満に、ケグルタミルトランスフェラーゼ(GGT)が正常であれば基準値上限の2.5倍未満に回復:ベースラインが異常であれば基準値上限の2.5倍に回復。休薬量が50mcgの場合、回復するまで投与を控える。
	ULN)の 20 倍を超える	ベースラインが正常であれば ALT および AST が基準値上限の 3 倍未満に回復するまで治療を中断する;ベースラインが異常であればベースラインの 1.5 倍、ベースラインが正常であれば ケグルタミルトランスフェラーゼ(GGT)が基準値上限の 2.5 倍未満に回復する;ベースラインが異常であればベースラインの 2 倍。毒性が持続する場合は、恒久的中止を考慮4 回の用量調節後に。
血球減少症	貧血:ヘモグロビン(Hgb) 8g/dL 未満 加小板減少症:血小板数 50,000/mm³未満だが、25,000/mm³以上 白血球減少:白血球数(WBC) 2000/mm³未満だが、1000/mm³以上	50mcg 減量;毒性が改善しない場合は、Hgb >10.0g/dL、血小板>75,000/mm ³ 、白血球が回復するまで隔週で減量を継続>3000/mm ³ 休薬量が 50mcg の場合、回復するまで投与を控える。

	貧血: ヘモグロビン値は生命を脅かすか、または緊急の処置が必要である血小板減少症:血小板数25,000/mm³未満白血球減少:白血球数1000/mm³未満	ヘモグロビン値、血小板及び白血 球数が以下に回復するまで治療を 中断 ヘモグロビン値: >10.0g/dL 血小板: >75,000/mm³ 白血球数: >3,000/mm³ 4 回の投与後も毒性が持続する場 合は、永久的な中止を考慮するこ と。
うつ病	軽度、自殺念慮なし	持続的(8 週間以上)であれば精神 科受診を考慮する。
	中等度、自殺念慮なし	減量、精神科受診を考慮。
。同一步,江市市武士宇市岳北泽田新相准(2	重症またはあらゆる重症度、自殺 念慮を伴う	治療を中止し、精神科受診を勧め る。

[®]国立がん研究所有害事象共通用語規準(CTCAE)、バージョン 3.0

2.4 調製および投与

単回投与の BESREMI プレフィルドシリンジを投与する前に、「使用説明書」を読んでください。 BESREMI は皮下注射のみを目的とし、医療従事者、患者または介護者のいずれかによって投与されることがある。 BESREMI を患者または介護者が投与できるように決定する前に、患者が自己投与または介護者による投与の適切な候補者であることを確認する。 保存、調製及び投与手技に関する適切な訓練を行うこと。 患者または介護者が何らかの理由で適切な候補とならない場合は、医療従事者が BESREMI を投与すべきである。

注射のたびに、BESREMI プレフィルドシリンジが入ったカートンを冷蔵庫から取り出してください。プレフィルドシリンジをカートンに入れ、清潔な作業面に 15~30 分間平らにして、プレフィルドシリンジが室温[59°CF~77°C(15°C~25°C)]に達するようにする。

注射前にプレフィルドシリンジ内の BES REMI を目視により検査し、微粒子や変色がないか確認してから投与してください(注射器内の液が濁っていたり、変色していたり、粒状物が混じっていたり、シリンジに損傷の徴候がある場合は使用しない)。

シリンジの準備

- プレフィルドシリンジのキャップを反時計回りにはずして取り出す。
- プレフィルドシリンジには、シリンジのカラー上にしっかりと刺入した後、しっかりと刺入するまで(時計回りに回転させて)覆った針を貼付する。
- 次の注射部位のいずれかを選んでください:胃下部(腹部)領域、腹ボタンから少なくとも2 インチ離れた位置、または大腿上部。注射毎に注射部位をローテート(変更)する。刺激があったり、赤くなったり、あざができたり、感染していたり、瘢痕がある皮膚には注射しない。選択した注射部位をアルコール綿棒で清潔にし、空気を乾燥させる。
- 針のキャップを外し、気泡を上に移動する。ピンクの針シールドを引き戻し、注射器本体から注射器を把持する。クリアニードルキャップをまっすぐ引き抜いて取り外す。針のキャップをゴミの中に捨てる。注射針を上に向けて、あらかじめ充填した注射器を把持する。プレフィルドシリンジの本体を軽くたたき、気泡を上に移動させる。

投与量設定

- 処方された投与量によっては、薬の一部を廃棄して注射器内の投与量を調整する必要がある場合がある。
- 注射針を紙タオル、シンク、ゴミ缶の上をまっすぐに向けて、プレフィルドシリンジを眼の高さに保つ。プレフィルドシリンジの線量線と番号マークが表示されていることを確認する。
- プランジャーの端をつまみ、徐々に押し上げて液状の薬を取り除き、灰色のストッパーの上端が処方線量のマーキングで裏打ちされるまで続ける。

投与

- 選択した注射部位をつまむ。皮膚をつまみながら、つまんだ皮膚に 45~90 度の角度で針を刺し、つまんだ皮膚を離す。
- プランジャーを止まるまでゆっくり押して BES REMI を注入する。液状の薬をすべて注射した後、皮膚から針を抜き取る。

使用済みシリンジの廃棄

- ピンク色のニードルシールドを、所定の位置にカチッと収まり、ニードルを覆うまで慎重にニードルに押し込む。ニードルキャップを使用して針を再包装しない。ピンク色のニードルシールドのみを使用して、針を覆う。
- 注射針が未だ添付されている使用済みのプレフィルドシリンジを、FDA が承認した鋭利物廃棄容器に捨てる。

3 剤形・含量

注射液: 1 回分のプレフィルドシリンジに BESREMI 500mcg/mL を含む無色~微黄色澄明の注射剤。

4 禁忌

BESREMI は以下の患者には禁忌である:

- 重度の精神障害、特に重度のうつ病、自殺念慮または自殺企図の有無、またはその既往
- インターフェロンアルファー2bまたは BESREMI の非活性成分のいずれかを含むインターフェロンに対する過敏症。
- 中等度(Child-Pugh B)または重度(Child-Pugh C)の肝機能障害
- 活動性の重篤または未治療の自己免疫疾患の既往または存在
- 免疫抑制状態の移植レシピエント

5 警告および使用上の注意

5.1 うつ病と自殺

BESREMI を含むインターフェロンアルファ製剤を投与された患者において、生命を脅かすまたは致死的な神経精神医学的反応が生じている。これらの反応は、精神疾患の既往の有無にかかわらず起こることがある。臨床開発プログラム中に、BESREMI で治療した患者の 3%に重篤な精神神経系反応が観察されている。BESREMI の臨床開発プログラムの患者 178 人のうち、うつ病、抑うつ症状、抑うつ気分、無気力の症例が 17 例発生した。これら17 症例のうち、3.4%の患者は一時的な休薬により回復し、2.8%は BESREMI 治療を中止した。

自殺念慮、自殺未遂、攻撃性、双極性障害、躁病および錯乱を含む他の中枢神経系作用が、他のインターフェロンアルファ製剤で観察されている。重度の精神疾患、特に重度のうつ病、自殺念慮、自殺企図の既往歴のある患者には、BESREMIは禁忌である「「禁忌(4)」の項参照」。

精神障害の症状がないか患者を綿密にモニタリングし、そのような症状が現れた場合には精神科受診および治療を考慮する。精神症状が悪化した場合は、BESREMi療法を中止することが推奨される。

5.2 内分泌障害

内分泌毒性は、BESREMI を含むインターフェロンアルファ製剤の投与を受けている患者で発生している。これらの毒性には、甲状腺機能低下症および甲状腺機能亢進症の悪化が含まれる可能性がある。インターフェロンアルファ-2b 製剤を投与された患者において、1 型糖尿病の新規発症を含む自己免疫性甲状腺炎及び高血糖症が報告されている。BESREMIの開発プログラムでは、甲状腺機能亢進症8例(4.5%)、甲状腺機能低下症7例(3.9%)、自己免疫性甲状腺炎/甲状腺炎5例(2.8%)が発生した。

自己免疫疾患に伴う活動性の重篤な又は未治療の内分泌障害のある患者には、BESREMIを使用しないこと[禁忌(4)]。BESREMi療法中に甲状腺疾患を示唆する症状を発現した患者の甲状腺機能を評価する。BESREMIによる治療中に適切に管理できない内分泌疾患を発症した患者では、BESREMIを中止する。

5.3 心血管系疾患

BESREMI を含むインターフェロンアルファ製剤を投与された患者において、心血管毒性が発現している。毒性としては、心筋症、心筋梗塞、心房細動及び冠動脈虚血が考えられる[副作用(6.1)の項参照]。心血管障害の既往歴のある患者は、BESREMI 療法中に心血管毒性について綿密にモニタリングすべきである。重度または不安定な心血管疾患(コントロール不良の高血圧、うっ血性心不全(≧NYHA クラス 2)、重篤な心不整脈、重大な冠動脈狭窄、不安定狭心症など)または最近の脳卒中または心筋梗塞のある患者への BESREMI の使用は避けること。

5.4 末梢血数の減少

BESREMI を含むインターフェロンアルファ製剤を投与された患者において、末梢血球数の減少が発現している。これらの毒性には、血小板減少症(出血のリスクを高める)、貧血、白血球減少症(感染のリスクを高める)などがある。グレード 3(mht) 3(mht

5.5 過敏症反応

過敏反応は、BESREMIを含むインターフェロンアルファ製剤の投与を受けている患者で発生している。BES REMIは、インターフェロン製剤または BESREMIの非活性成分のいずれかに対して過敏反応を示す患者には禁忌である[「禁忌(4)」参照]。毒性には、重篤な急性過敏反応(蕁麻疹、血管浮腫、気管支収縮、アナフィラキシーなど)が含まれることがある。このような反応があらわれた場合には、BESREMIを中止し、直ちに適切な薬物療法を開始する。一過性の発疹は、治療の中断を必要としないことがある。

5.6 膵炎

膵炎は、BESREMIを含むインターフェロンアルファ製剤の投与を受けている患者に発生している。膵炎は BESREMi 投与患者の 2.2%で報告された。症状には、吐き気、嘔吐、上腹部痛、腹部膨満感、発熱などがある。患者はリパーゼ、アミラーゼ、白血球数の上昇、または腎/肝機能の変化を経験することがある。膵炎の可能性がある患者では BESREMi 治療を中断し、迅速に評価する。膵炎が確認された患者では、BESREMi の中止を考慮。

5.7 大腸炎

インターフェロンアルファ製剤の投与を受けている患者では、致死的かつ重篤な潰瘍性または出血性/虚血性大腸炎が発生しており、一部の症例は投与開始後12週という早期に発生している。症状には、腹痛、血性下痢、発熱などがある。これらの徴候または症状を発現した患者では、BESREMiを中止する。大腸炎は、治療をやめてから1~3週間以内に消失することがある。

5.8 肺毒性

BESREMI を含むインターフェロンアルファ製剤を投与された患者において、肺毒性が発現している。肺毒性は、呼吸困難、肺浸潤、肺炎、閉塞性細気管支炎、間質性肺炎、肺高血圧症、およびサルコイドーシスとして現れることがある。呼吸不全または死亡に至った事象もある。肺浸潤または肺機能障害を発現した患者では、BESREMiを中止する。

5.9 眼毒性

眼毒性は、BESREMI を含むインターフェロンアルファ製剤を投与された患者で発生している。このような毒性には、網膜症、網膜出血、網膜滲出物、網膜剥離および網膜動静脈閉塞症などの重度の眼障害があり、失明に至ることがある。BESREMI 療法中、23%の患者が眼障害を有することが確認された。5%以上の眼障害は、白内障(6%)、ドライアイ(5%)であった。特に、糖尿病や高血圧などの網膜症に関連する疾患を有する患者では、BESREMI 療法の実施前および実施中に眼の検査を受けるよう患者に助言する。眼症状を速やかに評価する。新たな眼障害または悪化した眼障害を発現した患者には、BESREMI を中止する。

5.10 高脂血症

高脂血症は、BESREMIを含むインターフェロンアルファ製剤による治療を受けた患者で発生している。高脂血症、高トリグリセリド血症、または脂質異常症は、BESREMIを受けた患者の3%で発生した。中性脂肪の上昇により膵炎を起こすことがある[「警告・使用上の注意(5.6)」の項参照]。BESREMi治療前および治療中の間欠的に血清トリグリセリドを監視し、上昇時に管理する。トリグリセリドが持続的に著しく上昇している患者では、BESREMIの中止を考慮する。

5.11 肝毒性

BESREMI を含むインターフェロンアルファ製剤を投与された患者で肝毒性が発現している。これらの毒性には、血清 ALT、AST、GGT およびビリルビンの上昇などがある。中等度(Child-Pugh B)又は重度(Child-Pugh C)の肝機能障害のある患者には BESREMI は禁忌である[「禁忌(4)」の項参照]。

BESREMI 投与例では、血清 ALT が基準値上限の3倍以上(ULN)、AST が基準値上限の3倍以上、GGT が基準値上限の3倍以上、ビリルビンが基準値上限の2倍以上の上昇が認められている。

BESREMI の臨床開発プログラムでは、36 例(20%)に肝酵素上昇が認められ、そのうち 33 例で基準値上限の 1.25 ~5 倍の上昇が認められた。患者は、肝酵素上昇の消失時に BES REMI を再開することができた。長期 BES REMI 療法後の患者でも、肝酵素上昇が報告されている。

ベースライン時および BESREMi 投与中は、肝酵素および肝機能をモニタリングする。AST/ALT/GGT の上昇には BESREMI の用量を 50 mcg 減量した後、AST/ALT/GGT がベースライン時またはグレード $1(\text{AST/ALT} \land \text{--} \text{--}$

5.12 腎毒性

腎毒性は、BESREMIを含むインターフェロンアルファ製剤を投与された患者で発生している。BESREMI療法中、患者の1%未満が腎機能障害を発症したと報告され、患者の1%未満が中毒性腎症であると報告された。ベースライン時および治療中は血清クレアチニンをモニタリングする。eGFRが30mL/min未満の患者へのBESREMIの使

用は避けること。投与中に重度の腎機能障害が発現した場合は、BESREMiを中止する[特定の集団への投与(8.6)参照]。

5.13 歯および歯周毒性

BESREMIを含むインターフェロンアルファ製剤の投与を受けている患者では、歯および歯周毒性が発現する可能性がある。これらの毒性には、歯および歯周疾患が含まれ、歯の喪失につながる可能性がある。さらに、BESREMIによる長期治療中に、口腔乾燥は歯および口腔粘膜に損傷作用を及ぼす可能性があった。患者は良好な口腔衛生と定期的な歯科検査を受けるべきである。

5.14 皮膚毒性

BESREMIを含むインターフェロンアルファ製剤を投与された患者において、皮膚毒性が発現している。これらの毒性には、皮膚発疹、そう痒症、脱毛症、紅斑、乾癬、乾皮症、ざ瘡様皮膚炎、角質増殖症、多汗症などがある。臨床的に重大な皮膚毒性が生じた場合は、BESREMIの中止を考慮する。

5.15 運転・操作機械

BESREMI は、機械の運転や使用能力に影響を及ぼす可能性がある。患者は、BESREMI がその能力にどのように影響するかを知るまでは、重機を運転したり使用したりしてはいけない。BESREMI 療法中に浮動性めまい、傾眠または幻覚を経験する患者は、自動車の運転や機械の使用を避けること。

5.16 胚 胎児毒性

作用機序を踏まえると、BESREMI は妊婦に投与した場合、胎児に危害を及ぼす可能性がある[「臨床薬理(12.1)及び特定集団における使用(8.1)」の項参照]。妊娠検査は、BESREMI による治療の前に、生殖の可能性のある女性で推奨される。生殖可能な雌には、BESREMI による治療期間中及び最終投与後少なくとも 8 週間は、有効な避妊法を用いるよう助言すること[用法・用量(2.1)及び特定集団への投与(8.1, 8.3)参照]。

6 副作用

6.1 臨床試験の経験

以下の副作用については添付文書の別の箇所で考察されている。

- うつ病と自殺[「警告・使用上の注意(5.1)」参照]
- 内分泌毒性[「警告・使用上の注意(5.2)」参照]
- 心血管毒性[「警告・使用上の注意(5.3)」参照]
- 末梢血球数の減少「「警告」及び「使用上の注意(5.4)」の項参照]
- 過敏反応[警告及び使用上の注意(5.5)参照]
- 膵炎[「警告・使用上の注意(5.6)」参照]
- 大腸炎[「警告・使用上の注意(5.7)」参照]
- 肺毒性[「警告」及び「使用上の注意(5.8)」の項参照]
- 眼毒性「「警告」及び「使用上の注意(5.9)」の項参照]
- 高脂血症[「警告・使用上の注意(5.10)」の項参照]
- 肝毒性[「警告」及び「使用上の注意(5.11)」の項参照]
- 腎毒性[「警告」及び「使用上の注意(5.12)」の項参照]
- 歯および歯周毒性[「警告」および「使用上の注意」(5.13)参照]
- 皮膚毒性[「警告」及び「使用上の注意(5.14)」の項参照]
- 運転及び操作機械「警告及び使用上の注意(5.15)参照]
- 胚・胎児毒性「「警告」及び「使用上の注意(5.16)」の項参照]

臨床試験はきわめて多様な条件下で実施されるため、ある医薬品の臨床試験で認められた副作用発現率を別の医薬品の臨床試験での発現率と直接比較することはできず、実際に認められた発現率を反映していない可能性がある。

警告および使用上の注意の項に記載されている安全性併合集団は、2 件の非盲検試験[PEGINVERA、PROUD/CONTINUATION PV]の患者 178 例を対象に $2\sim4$ 週間ごとに投与した真性多血症の治療のための単剤療法としての BESREMi への曝露を反映している。ベースライン時の平均年齢は 58.6 歳 $(30\sim85$ 歳)、女性 88 例(49.4%)、男性 90 例(<math>50.6%)、白人 177 例(99%)、アジア人 1 例(1%)であった。BESREMI を受けた 178 人の患者のうち、80%が 12 カ月以上の曝露を受けた。治療期間中の BESREMI の平均投与量は 334mcg SD ± 121 であった。この安全性併合集団において、10%を超える主な副作用は、肝酵素上昇(20%)、白血球減少(20%)、血小板減少(19%)、関節痛(13%)、疲労(12%)、筋肉痛(11%)、インフルエンザ様疾患(11%)であった。

以下に述べる安全性所見は、PEGINVERA 試験の 51 例における真性多血症の治療のための単剤療法としての BESREMi への曝露を反映している[臨床成績(14)参照]。BESREMI を受けた 51 人の患者のうち、71%が 12 カ月以上、63%が 3 年以上、53%が 5 年以上曝露されていた。

PEGINVERA 試験では、16%の患者で重篤な副作用が報告された。試験期間中に認められた主な重篤な副作用 (> 4%)は、尿路感染(8%)、一過性脳虚血発作(6%)およびうつ病(4%)であった。

BESREMI を受けた患者の 2%超で永続的な中止を必要とする副作用は、うつ病(8%)関節痛(4%)、疲労(4%)、および全身の健康状態悪化(4%)であった。PEGINVERA 試験では、患者はうつ病または不安障害の事前スクリーニングを受けていなかった。

PEGINVERA 試験で患者の 10%以上に報告された主な副作用の一覧を表 2 に示す。

表 2 7.5 年にわたる PEGINVERA 試験で真性多血症の被験者の 10%超に認められた副作用

副作用*	BESREMi
	N=51
	%
インフルエンザ様疾患 [®]	59
関節痛	47
Fatigue ^b	47
そう痒症	45
鼻咽頭炎 [。]	43
筋骨格痛 [°]	41
頭痛 [。]	39
下痢	33
多汗症 [†]	29
悪心	28
上気道感染。	27
局所投与部位反応	26
浮動性めまい	22
腹痛ʰ	20
うつ病	20
睡眠障害	20
白血球減少症	18
食欲減退	18
脱毛症	16
浮腫」	16

高血圧 ^k	16
筋痙縮	16
好中球減少症	16
発疹	16
トランスアミナーゼ上昇™	16
尿路感染	16
血小板減少症	12
回転性めまい	12

試験治療下で発現したすべての有害事象と定義される*の副作用

グループ化された用語の定義

- ⁸ 発熱、悪寒、インフルエンザ様疾患を含む。
- b:無力症、倦怠感、倦怠感を含む。
- 。咽頭炎と鼻咽頭炎を含む。
- ^d筋骨格痛、背部痛、四肢痛、骨痛、側腹部痛、脊椎痛が含まれる。
- [®]頭痛、片頭痛、頭痛などがある。
- 「盗汗および多汗を含む。
- 『上気道感染、鼻炎、気管支炎、気道感染を含む。
- ^h腹痛、上腹部痛、下腹部痛、腹痛を含む。
- 「不眠、睡眠障害、異常な夢などがある。
- 」末梢性浮腫および全身性浮腫を含む。
- ^k高血圧および高血圧クリーゼを含む。
- '発疹、斑丘疹状皮疹、およびそう痒性皮疹が含まれる。
- m:トランスアミナーゼ上昇、肝酵素上昇、GGT 上昇、AST 上昇、ALT 上昇を含む。

10%未満の患者で認められた臨床的に重要な副作用には以下のものがある: 心血管系:心房細動

6.2 免疫原性

すべての治療用タンパク質と同様に、免疫原性の可能性がある。抗体形成の検出は、アッセイの感度および特異度に大きく依存する。さらに、ある試験で観察された抗体(中和抗体を含む)陽性の発生率は、試験方法、試料の取り扱い、試料採取のタイミング、併用薬、基礎疾患など、いくつかの因子に影響される可能性がある。これらの理由から、以下に記載する試験における抗体発現率と、他の試験における抗体発現率又は他のロペグインターフェロンアルファー2b製剤との比較は、誤解を招く可能性がある。

ロペグインターフェロンアルファ-2b に対する結合抗体の発現率は 1.4%(2/146)であり、これらは投与後 8 週という早期に観察された。結合抗体が陽性であった患者のうち、中和抗体を発現した患者はいなかった。

7 相互作用

7.1 チトクロム P450 によって代謝される薬物

インターフェロンを含む特定の炎症誘発性サイトカインは、一部の CYP 基質の曝露量増加をもたらす CYP450 酵素を抑制することができる[臨床薬理(12.3)を参照]。したがって、治療係数の狭い CYP450 基質である薬剤を併用している BESREMi 投与中の患者については、これらの併用薬の用量変更の必要性を伝えるためにモニタリングを実施すべきである。

7.2 骨髄抑制薬

BESREMi と骨髄抑制薬の併用は相加的な骨髄抑制を生じうる。併用投与中の患者には、過度の骨髄抑制による影響を避け、観察すること[「警告・使用上の注意(5.4)」の項参照]。

7.3 麻薬、睡眠薬又は鎮静薬

BESREMi と麻薬、睡眠薬または鎮静薬との併用は、相加的な神経精神医学的副作用を生じる可能性がある。併用投与を受けている患者には、過度の中枢神経毒性の影響について使用を避け、観察すること[「警告・使用上の注意(5.1)」の項参照]。

8 特定の集団における使用

8.1 妊娠

リスクの要約

妊婦への BESREMi 使用に関する入手可能なヒトのデータは、重大な先天異常、流産または母体または胎児の有害な転帰の薬物関連リスクを同定するには不十分である。BESREMi の生殖毒性を評価する動物試験は実施されていない。作用機序および妊娠および胎児発達におけるインターフェロンアルファの役割に基づき、BESREMI は胎児の有害性を引き起こす可能性があり、妊婦に投与した場合、流産の可能性があると想定すべきである。妊娠中の真性多血症(臨床的考察を参照)に伴う母体および胎児の転帰に対する有害作用がある。妊婦に胎児に対する潜在的リスクを助言する。

適応集団における重大な先天異常および流産の推定背景リスクは不明である。すべての妊娠には、先天異常、喪失、またはその他の有害な転帰の背景リスクがある。米国の一般集団では、重大な先天異常および流産の推定背景リスクは、それぞれ2~4%および15~20%である。

臨床的考察

疾患に関連した母体および/または胚-胎児リスク

妊娠中に未治療の真性多血症は、血栓症や出血などの有害な母体アウトカムと関連している。 真性多血症に関連する有害な妊娠転帰には、流産のリスク増加が含まれる。

8.2 授乳

ヒトまたは動物の乳汁中の BESREMi の存在、母乳を与えた小児への影響、乳汁産生への影響に関するデータはない。BESREMI の母乳栄養児では重篤な副作用の可能性があるため、治療中および最終投与後 8 週間は授乳しないように女性に助言する。

8.3 複製可能性の女性と男女

BESREMIは、妊婦に投与した場合、胚・胎児に危害を及ぼす可能性がある[特定集団への投与(8.1)参照]。

妊娠検査

生殖可能な女性には、BESREMI 治療前の妊娠検査が推奨される。

避妊

II:#

生殖可能な女性患者に対して、BESREMI による治療中及び最終投与後少なくとも8週間は有効な避妊法を用いるよう助言すること。

不妊症

II:#

その作用機序から、BESREMI は月経周期の乱れを引き起こす可能性がある[「臨床薬理(12.1)」の項参照]。 BESREMi を用いた動物受胎能試験は実施されていない。

8.4 小児等への投与

小児等に対する安全性及び有効性は確立していない。

8.5 高齢者への投与

BESREMI の臨床研究では、若い被験者と異なる反応を示すかどうかを決定するために 65 歳以上の被験者数が十分に含まれていなかった。報告されている他の臨床経験では、高齢患者と若年患者との間の反応の差は確認されていない。一般に、高齢患者に対する用量選択は慎重に行うべきであり、通常、肝機能、腎機能、または心機能の低下の頻度が高く、併発疾患や他の治療法の頻度が高いことを反映して、投与範囲の下限から開始する。

8.6 腎障害

推算糸球体濾過量(eGFR)が 30mL/min 以上の患者では、BESREMi の用量調節は不要である[臨床薬理(12.3)の項参照]。eGFR が 30mL/min 未満の患者への BESREMi の使用は避けること[「警告・使用上の注意(5.12)」の項参照]。

8.7 肝機能障害

なお、BESREMI は肝機能障害(Child-Pugh B又はC)のある患者には禁忌とされている[「禁忌(4)」の項参照]。

BESREMI による治療を受けた患者では、肝酵素値の上昇が観察されている。肝酵素値の上昇が進行性で持続性の場合は、BESREMI の投与量を減らすべきである。減量しても肝酵素の上昇が進行し、臨床的に問題となる場合、又は肝機能障害(Child-Pugh B 又は C)の所見が認められた場合には、BESREMI を中止すること[「用法・用量(2.2)及び警告・使用上の注意(5.11)」の項参照]。

10 過量投与

BESREMI の過量投与により、インフルエンザ様症状等の副作用があらわれるおそれがある。BESREMi 過量投与に対する解毒剤はない。過量投与の場合は、徴候及び症状を頻回に観察し、副作用がないか確認すること。

11 性状

ロペグインターフェロンアルファ-2b-njft、インターフェロンアルファ-2b は、メトキシポリエチレングリコール(mPEG) 部分を有する組換え DNA 技術により大腸菌細胞で産生されるプロリンインターフェロンアルファ-2b の N 末端モノペグ化共有結合体である。ロペグインターフェロンアルファ-2b の分子量は約 60kDa である。分子の PEG 部分のおおよその分子量は 40kDa である。

BESREMI(ロペインターフェロンアルファ-2b-njft)注射液は、単回投与のプレフィルドシリンジで供給される無菌、防腐剤を含まない、無色澄明~わずかに黄色を帯びた皮下用の溶液である。

それぞれのプレフィルドシリンジには、500 マイクログラムのロペインターフェロンアルファー2b-njft とベンジルアルコール(10mg)、氷酢酸(0.05mg)、ポリソルベート 80(0.05mg)、酢酸ナトリウム(1.58mg)、塩化ナトリウム(8.0mg)および注射用水(USP)を含む溶液 1mL が送達される。pH はおよそ 6 である。

12 臨床薬理

12.1 作用機序

インターフェロンアルファは I 型インターフェロンのクラスに属し、インターフェロンアルファ受容体(IFNAR)と呼ばれる膜貫通型受容体に結合することにより細胞効果を示す。IFNAR に結合すると、キナーゼ、特に Janus キナーゼ 1(JAK1)とチロシンキナーゼ 2(TYK2)およびシグナル伝達兼転写活性化因子(STAT)タンパク質の活性化を介して下流のシグナル伝達カスケードが開始される。STAT タンパク質の核移行は、異なる遺伝子発現プログラムを制御し、様々な細胞効果を示す。真性多血症におけるインターフェロンアルファの治療効果に関与する作用は完全には解明されていない。

12.2 薬力学

ロペグインターフェロンアルファー2b の有効性は、血液学的パラメータ(ヘマトクリットが 45%未満、血小板が 400×10^9 /L 未満、白血球が 10×10^9 /L 未満)の安定化に依存する。薬物動態-薬力学解析により、個々の血液学的パラメータの低下は、ロペグインターフェロンアルファー2b 濃度に依存することが実証されている。血液学的完全寛解(CHR、瀉血なしでヘマトクリットが 45%未満[最終瀉血から少なくとも 2 ヵ月]に達し、血小板数が 400×10^9 /L 未満で、白血球数が 10×10^9 /L 未満の患者と定義)は、ロペグインターフェロンアルファー2b 濃度の経時的な上昇に伴って増加した。PEGINVERA 試験のデータを用いた曝露-反応(E-R)解析に基づくと、CHR の予測確率(95% Prediction Intervals)は、治療前で 22%(11%-34%)、20 週目(漸増終了時)で 50%(38%-62%)、52 週目で 64%(47%-78%)、104 週目で 70%(55%-88%)であった。E-R 分析は、CHR の最大確率が 2 年間の連続治療後に到達することを示す。

12.3 薬物動態

真性多血症患者において、 $100 \mu c \sim 500 \mu c$ の BES REMI 過量投与範囲の 2 週間投与間隔後の定常状態の推定 Cmax、Cmin 及び AUC は、それぞれ $4.4 \sim 31 n g/m L$ 、 $1.4 \sim 12 n g/m L$ 及び $1011 \sim 7809 n g \times h/m L$ の範囲である。 定常状態の推定 Cmax は $2 \sim 5$ 日の間に生じる。

吸収

本剤の吸収速度定数の幾何平均値(変動係数%)は、真性多血症では0.12 日間(27%)と推定されている。

分布

真性多血症患者における BESREMi の見かけの分布容積の推定幾何平均値(変動係数%)は 4.8L(21%)である。

消失

BESREMi は、受容体非依存的な分解/排泄および受容体結合と、それに続く薬物-受容体複合体の分解を受ける。BESREMi の半減期およびクリアランスは、 $100 mcg \sim 500 mcg$ の用量範囲にわたる真性多血症患者において、それぞれ約7日および $1.7 \sim 2.5 L/h$ である。

特定の集団

年齢、性別、体表面積、JAK2_V617Fミューテーションに基づくBESREMIの薬理学上の臨床的に有意な差異は見られなかった。

薬物相互作用

臨床成績

BESREMI の薬物相互作用の可能性を評価する臨床試験は実施されていない。

In vitro 試験

In vitro 試験は、BESREMI が CYP2A6 に対して時間依存性阻害能を示したことを示す。ヒト肝ミクロソームにおいて、BESREMI は CYP1A2、CYP2B6、CYP2C8、CYP2C9、CYP2C19、CYP2D6、CYP2E1 及び CYP3A4 を阻害しなかった。BESREMI は CYP 酵素を誘導しないと予想される。しかし、インターフェロンは、転写因子を調節し、蛋白

質発現および/または構造を変化させることを介して、CYP450 に影響を及ぼす可能性がある。このメカニズムは効果を発揮するためにより多くの時間を必要とするため、in vitro アッセイでは評価できない。

13 非臨床毒性学

13.1 発がん、突然変異誘発、生殖能の障害

ロペグインターフェロンアルファ-2b-njft については、発がんの可能性を検証していない。標準的な一連の突然変異誘発試験では、ロペグインターフェロンアルファ-2b-njft も、その成分であるインターフェロンもメトキシポリエチレングリコールも、DNA に損傷を引き起こさなかった。ロペグインターフェロンアルファ-2b-njft の不妊に対する影響は評価されていない。[特定の集団における使用(8.1、8、2、8.3)を参照のこと]。

14 臨床成績

BESREMI の有効性および安全性は、7.5 年の期間のプロスペクティブ多施設単一群試験である PEGINVERA 試験で評価された。本研究は、真性多血症の成人 51 例を対象とした。ベースライン時の平均年齢は 56 歳(範囲 35 ~82 歳)で、女性は 20 例(39%)、男性は 31 例(61%)であった。全患者に JAK2V617F のミューテーションがあり、新たに診断された患者の 16%であった。84%は、2.2 年の平均継続期間を持つ既知の疾患であった。患者の 1/3(33%) は、試験登録時にヒドロキシウレア(HU)による治療を受けていた。試験開始時のヘマトクリット、血小板、白血球の平均値士標準偏差は、それぞれ 45% ± 4.0%、457 × 10 9 /L ± 187 × 10 9 /L、11.8 × 10 9 /L ± 5.2 × 10 9 /L であった。 脾臓の大きさの中央値は 13.2cm で、16 例(31%)に脾腫(女性では縦径 12cm 超、男性では 13cm 超と定義)が認められ、11 例(22%)に肺塞栓症(6 例)、脳卒中(2 例)、心筋梗塞(2 例)および門脈血栓症(1 例)などの主要な心血管イベントの既往歴があった。

I 期では、用量制限毒性を伴わない最高投与量と定義される最大耐量は 540mcg と決定された。II 期では、ヒドロキシ尿素からの漸増、または I 期に登録された患者で達成された最高用量で、患者内用量漸増を 150mcg、または 100mcg から開始した。BESREMi による漸増は、225mcg、300mcg、400mcg および 450mcg の用量で 2 週間ごとに実施し、血液学的パラメータが安定した時点で用量漸増を中止した。ヒドロキシ尿素から移行した患者については、毒性を避けるため、治療開始から 12 週間かけてヒドロキシ尿素の用量を漸減した。PEGINVERA 試験の適格患者 28 例では、治療開始から 1 年以上経過し、中央値にして 21.5 ヵ月経過した時点で、投与間隔を 4 週間に1 回に延長した。処方変更のため、BESREMi の推奨開始用量、漸増量、最大用量は試験で用いられた用量とわずかに異なる[用法・用量(2)参照]。

治療曝露期間の中央値は 61 カ月であり、53%の患者が 60 カ月以上の治療を完了した。36 名の患者が 1 年間の治療を完了し、11 名の患者が治療中の有害事象を主な原因として 1 年間の治療後に中止した。治療期間中のBESREMi の平均投与量は 237mcg (±110)であった。

PEGINVERA 試験では、BES REMI の有効性を、ヘマトクリットが 45%未満で、それ以前の 2 カ月間に瀉血を行わなかった場合と定義した血液学的完全奏効(CHR)、血小板数 \leq 400×10 9 /L かつ白血球数 \leq 10×10 9 /L、超音波検査により評価した正常脾の大きさ(縦径 \leq 女性 12cm、男性 13cm 以下)を評価することにより評価した。

投与期間中の投与集団における CHR は 61%(31/51)であった(95% CI: 46, 74)。奏効期間の中央値は 14.3 カ月 (95% CI: 5.5、30.1)であった。

CHR を達成した治療集団の患者では、奏効までの期間の中央値は BESREMi による治療の 7.8 ヵ月であった。 CHR を達成するためには、患者の 50%(ヒドロキシウレアナイーブ)に対して 1.2 年間の BESREMI による治療が必要であり、以前にヒドロキシウレアを使用していた患者の 50%に対して 1.4 年間の BESREMI による治療が必要であった。

BESREMi で治療した患者の 80%(41/51)で、ヘマトクリット、血小板、白血球のみに基づく血液学的奏効が得られた(95% CI: 67、90)。この奏効期間の中央値は 20.8 カ月(95% CI: 13.0、43.8)であった。

16 供給/保管および取扱い方法

16.1 供給方法

BESREMI(ロペグインターフェロンアルファ-2b-njft)は、単回投与プレフィルドシリンジ製剤であり、皮下投与用の無菌、防腐、無色澄明~わずかに黄色を帯びた液剤である。1 箱中に、30 ゲージ、1/2 インチの安全機能付き皮下注射針(NDC 73536-500-01)を備えた500mcg/mLプレフィルドシリンジが1本入っている。

16.2 保管および取扱い

遮光し、冷蔵庫に36~46F(2°C~8°C)で元の箱に保管する。

凍らせないこと。

17 患者カウンセリング情報

FDA が承認した患者表示(「投薬ガイド」および「使用上の注意」)を読むよう患者に助言する。

うつ病と自殺:

BESREMI の治療を受けた患者において、自殺念慮や自殺行動のほか、うつ病の新規発症または悪化が報告されていることを、患者、その介護者、家族に知らせる。気分や行動の異常な変化、うつ病の新たな発症や悪化、自殺思考や自殺行動の出現に気づくよう助言する。患者、介護者及び家族に対し、うつ病の徴候又は症状を速やかに医療提供者に報告するよう指導するが、自殺念慮又は自殺企図があらわれた場合には、直ちにBESREMIを中止し、直ちに医療機関を受診するよう指導すること[「警告及び使用上の注意(5.1)」の項参照]。

内分泌毒性

糖尿病や甲状腺機能障害の徴候や症状があれば報告するよう患者に助言する[「警告・使用上の注意(5.2)」参照]。

心血管症状

心不全の徴候または症状を医療提供者に報告するよう患者に助言する[「警告」および「使用上の注意(5.4)」参照]。

末梢血数の減少

衰弱・疲労、発熱、易挫傷性、頻回の鼻出血等があらわれた場合には、速やかに医師の診察を受けるよう患者に助言すること[「警告・使用上の注意(5.4)」の項参照]。

過敏症

重篤な過敏反応[「警告・使用上の注意(5.5)」の項参照]の症状があらわれた場合には、直ちに医師の診察を受けるよう患者に助言すること。

膵炎

膵炎の徴候又は症状を報告するよう患者に助言すること[「警告及び使用上の注意(5.6)」の項参照]。

<u>大腸炎</u>

患者に大腸炎の徴候または症状を報告するよう助言する[「警告および使用上の注意(5.7)」参照]。

肺毒性

肺毒性の徴候または症状を報告するよう患者に助言する[「警告および使用上の注意(5.8)」参照]。

眼毒性

<u>患者に対し、投与前及び投与中は視覚の変化を報告し、眼の検査を行うよう助言すること[「警告・使用上の注意</u> (5.9)」の項参照]。

高脂血症

BESREMi は血中トリグリセリドを増加させる可能性があり、この毒性をモニタリングするために血液検査が必要であることを患者に助言する[「警告」および「使用上の注意(5.10)」参照]。

肝毒性

患者に肝毒性の徴候または症状を医療提供者に報告するよう助言する[「警告および使用上の注意」(5.11)および特定集団への使用(8.7)を参照]。

腎毒性

<u>腎疾患の徴候または症状を報告するよう患者に助言する[「警告および使用上の注意」(特定の集団における5.12</u>および使用法(8.6)参照)]。

歯および歯周毒性

口腔衛生を良好に保ち、定期的な歯科検査を受けるよう患者に助言する[「警告・使用上の注意(5.13)」参照]。

皮膚毒性

<u>重大なそう痒、脱毛、発疹および/またはその他の皮膚毒性が発現した場合は、医師の診察を受けるよう患者に助言する[「警告」および「使用上の注意(5.14)」参照]。</u>

危険な職業/操作機械

BESREMI がその能力にどのような影響を及ぼすかを知るまでは、重い、または潜在的に危険な機械の操作に従事しないように患者に助言する。めまい、傾眠、幻覚があらわれた患者には、自動車の運転や重機の使用をしないよう注意すること「「警告・使用上の注意(5.15)」の項参照]。

妊娠と避妊

BESREMi を服用中および最終投与後少なくとも8週間は、効果的な避妊法を用いる必要性について女性に助言する[特定の集団における使用(8.1、8.3)参照]。

授乳

投与中及び最終投与後8週間は授乳を避けさせること[特定の集団への投与(8.2)参照]。

指示注射手技

BESREMi のための適切な保管、準備、投与技術について患者に指導する。自己投与中の患者には、BESREMi の処方量を注射するよう指導すること[用法・用量(2.4)参照]。

製造元:

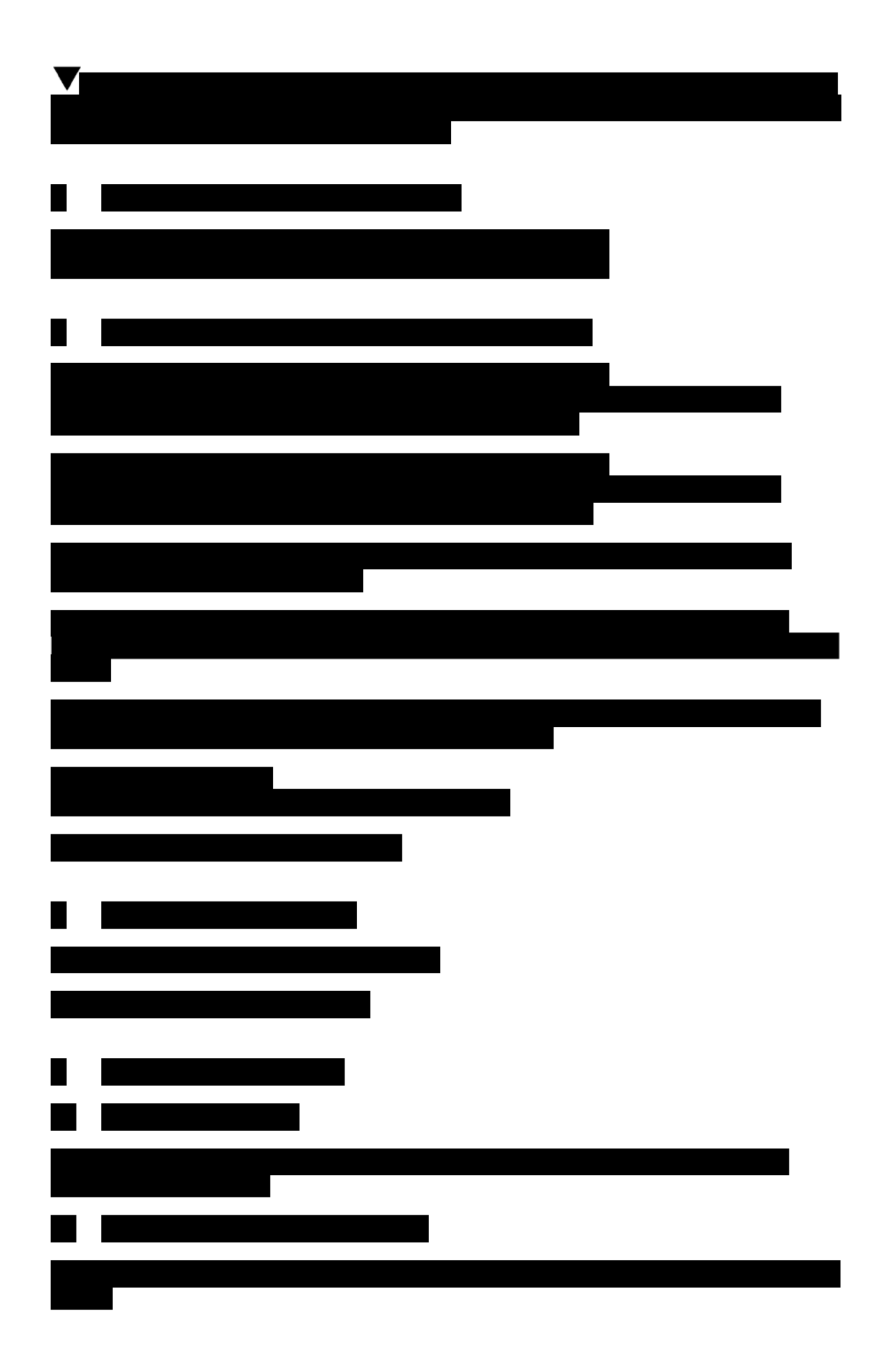
ファーマエッセンシアコーポレーション 2F-5 No. 3 YuanQu Street Nangang Dist. Taipei, Taiwan 米国認可番号 xxx

配布者:

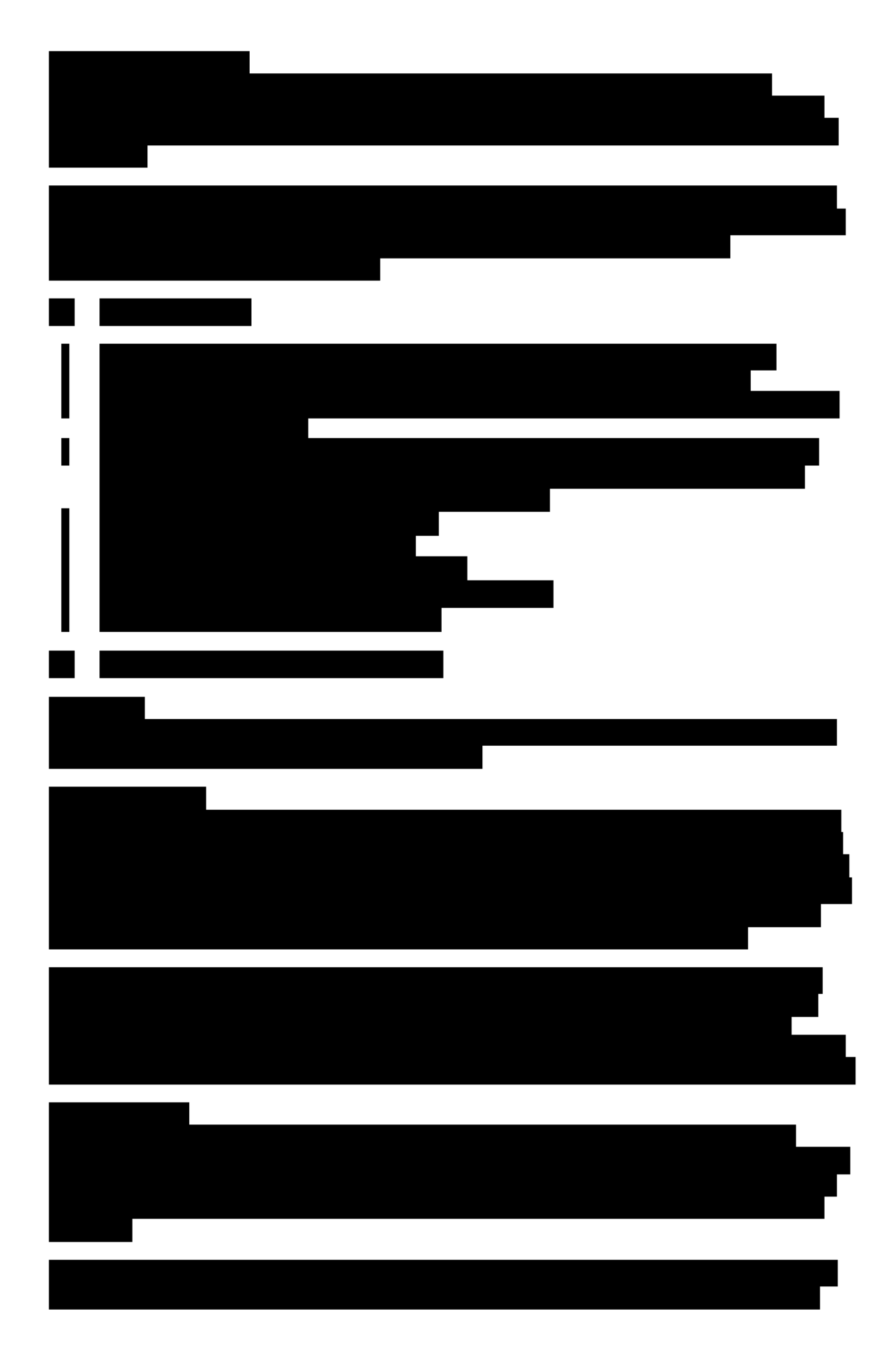
ファーマエッセンシアコーポレーション USA 35 Corporate Dr, Suite 325, Burlington, MA 01803, USA

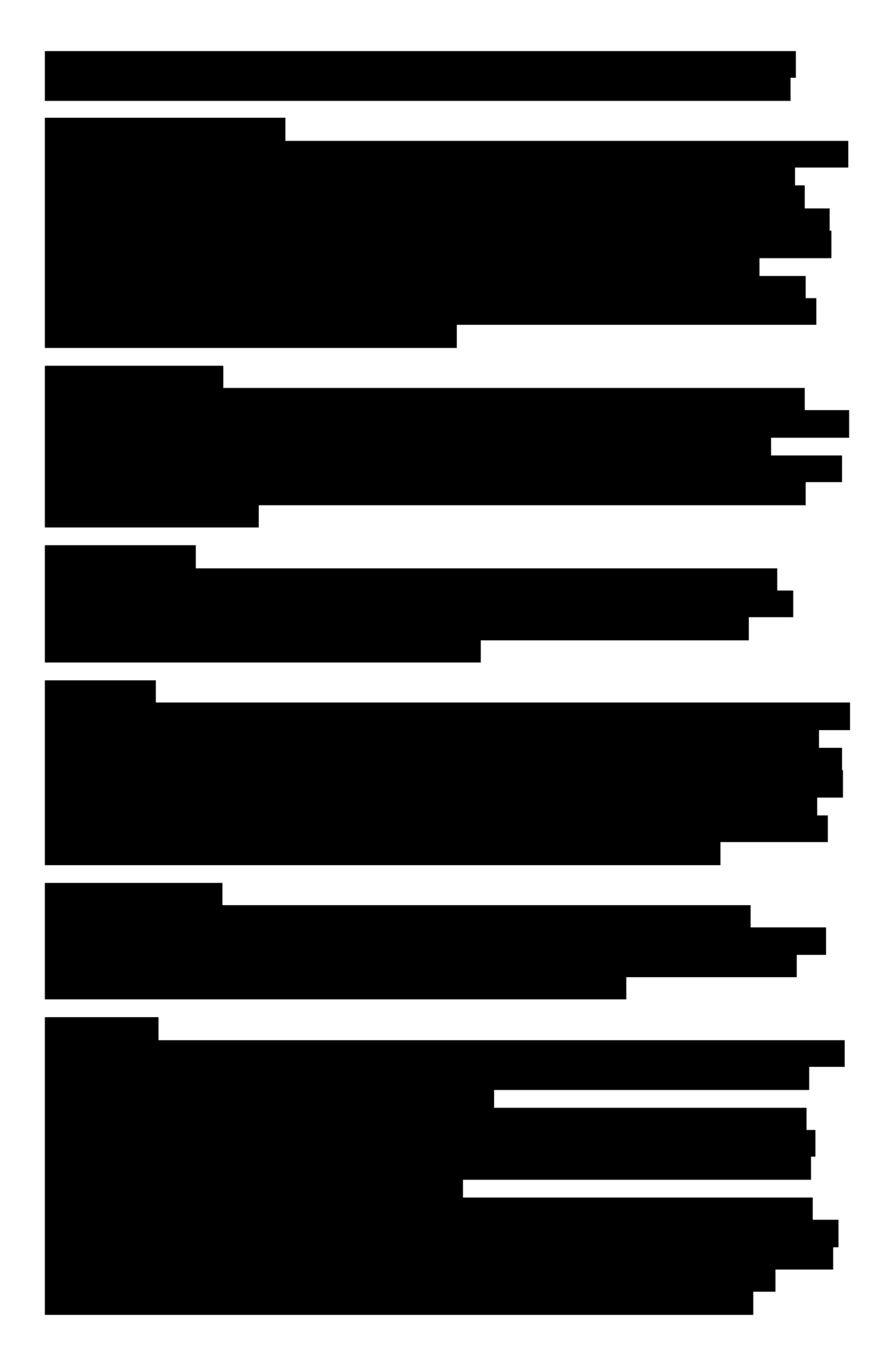
© ファーマエッセンシアコーポレーション USA, 2021

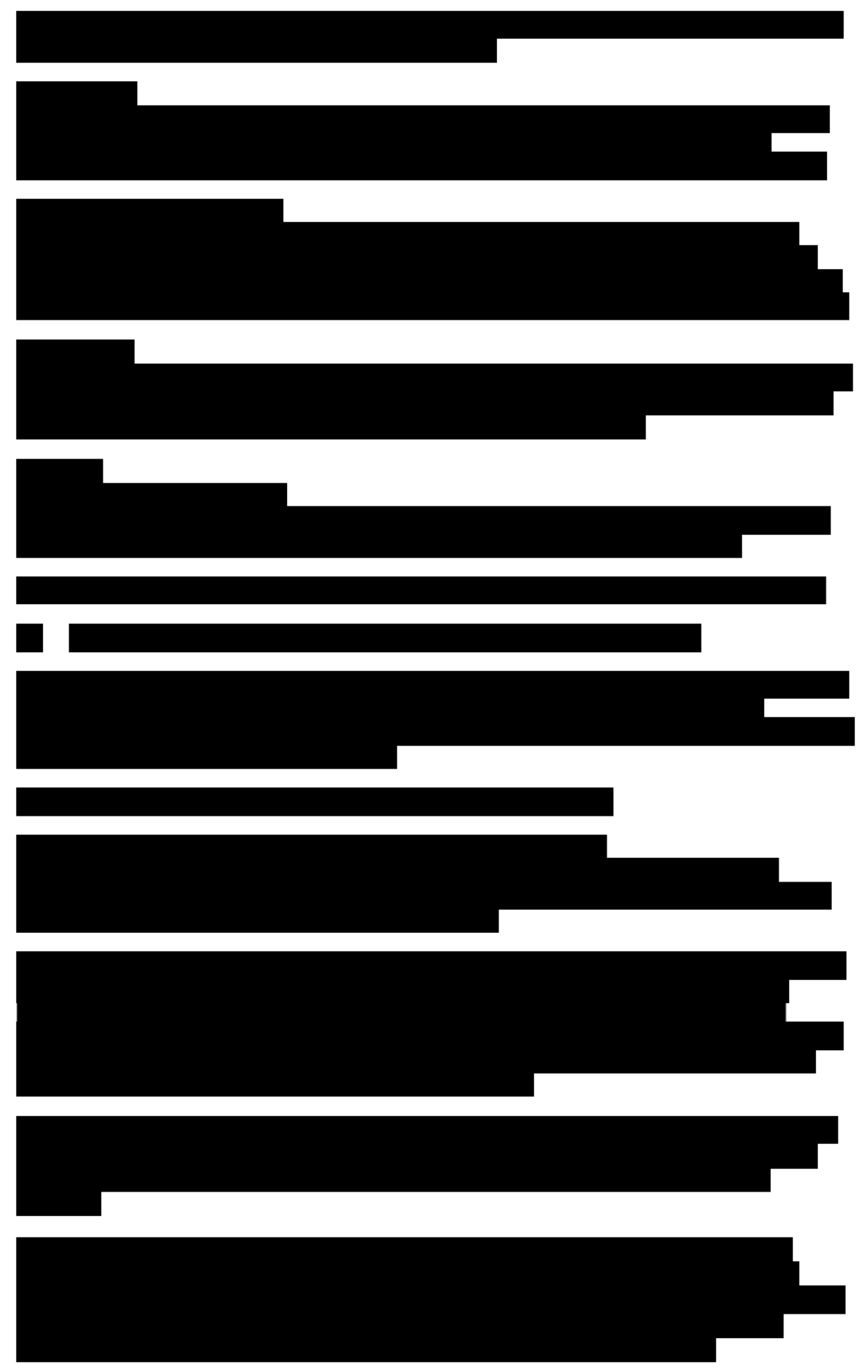
ANNEX I SUMMARY OF PRODUCT CHARACTERISTICS

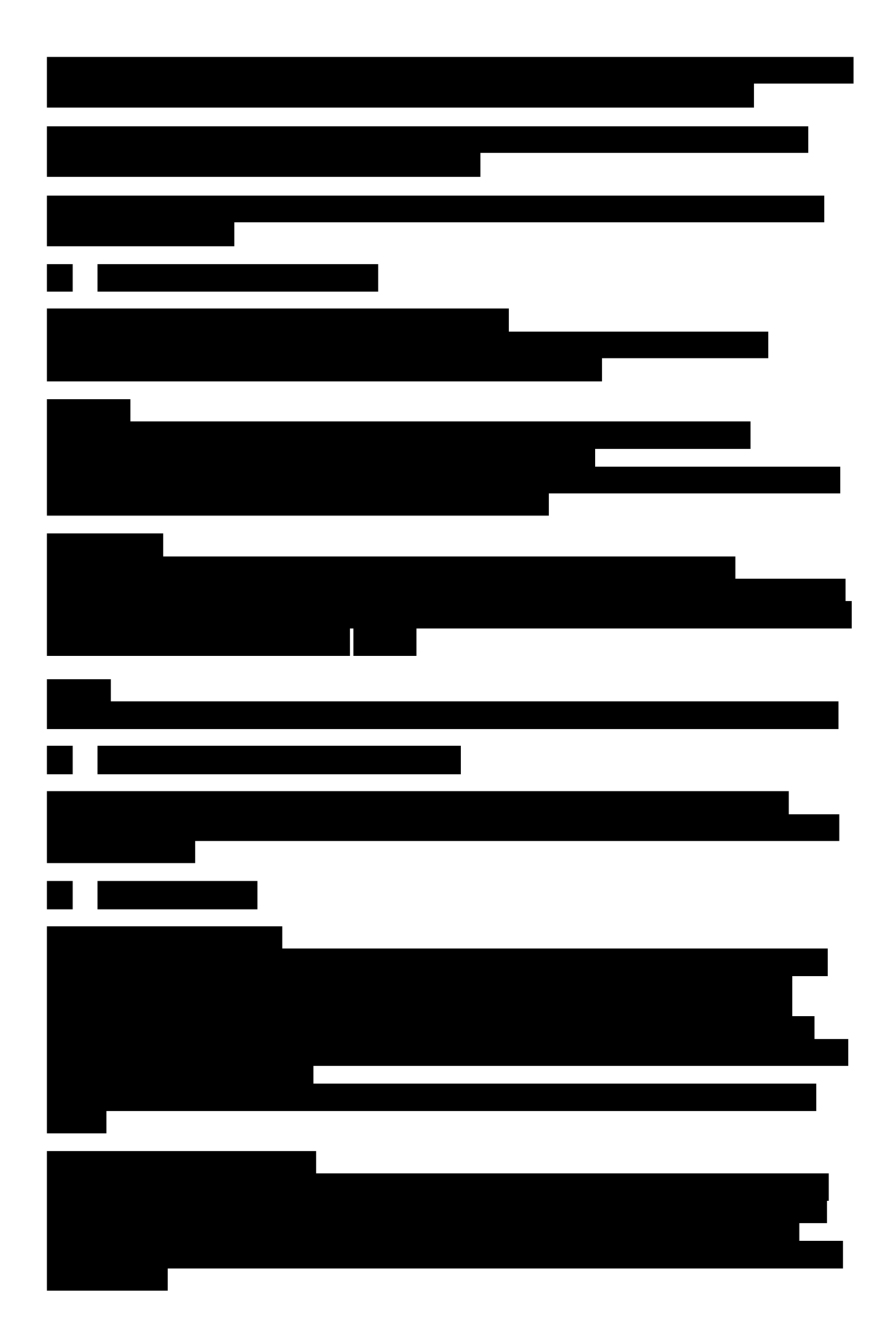


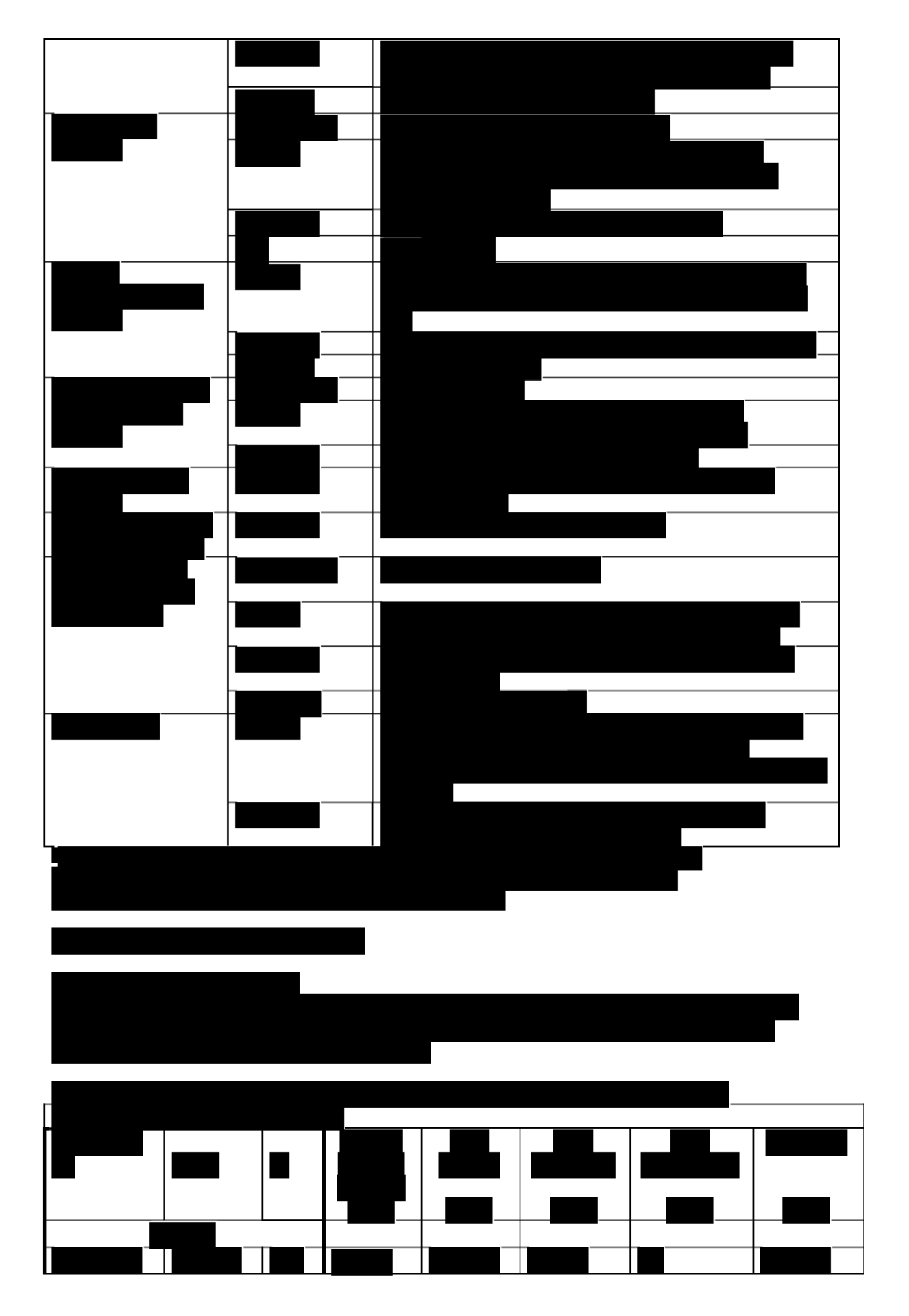


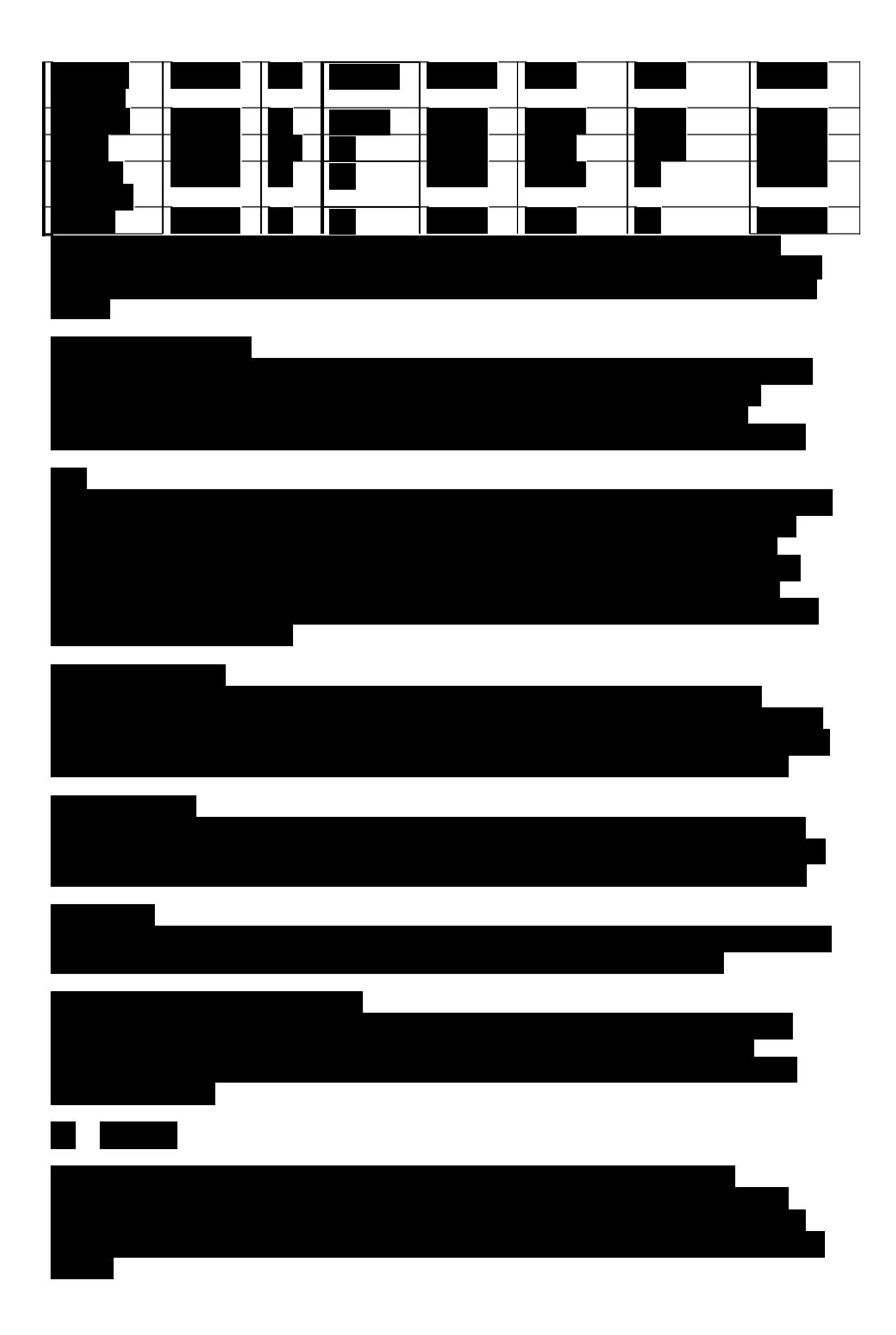


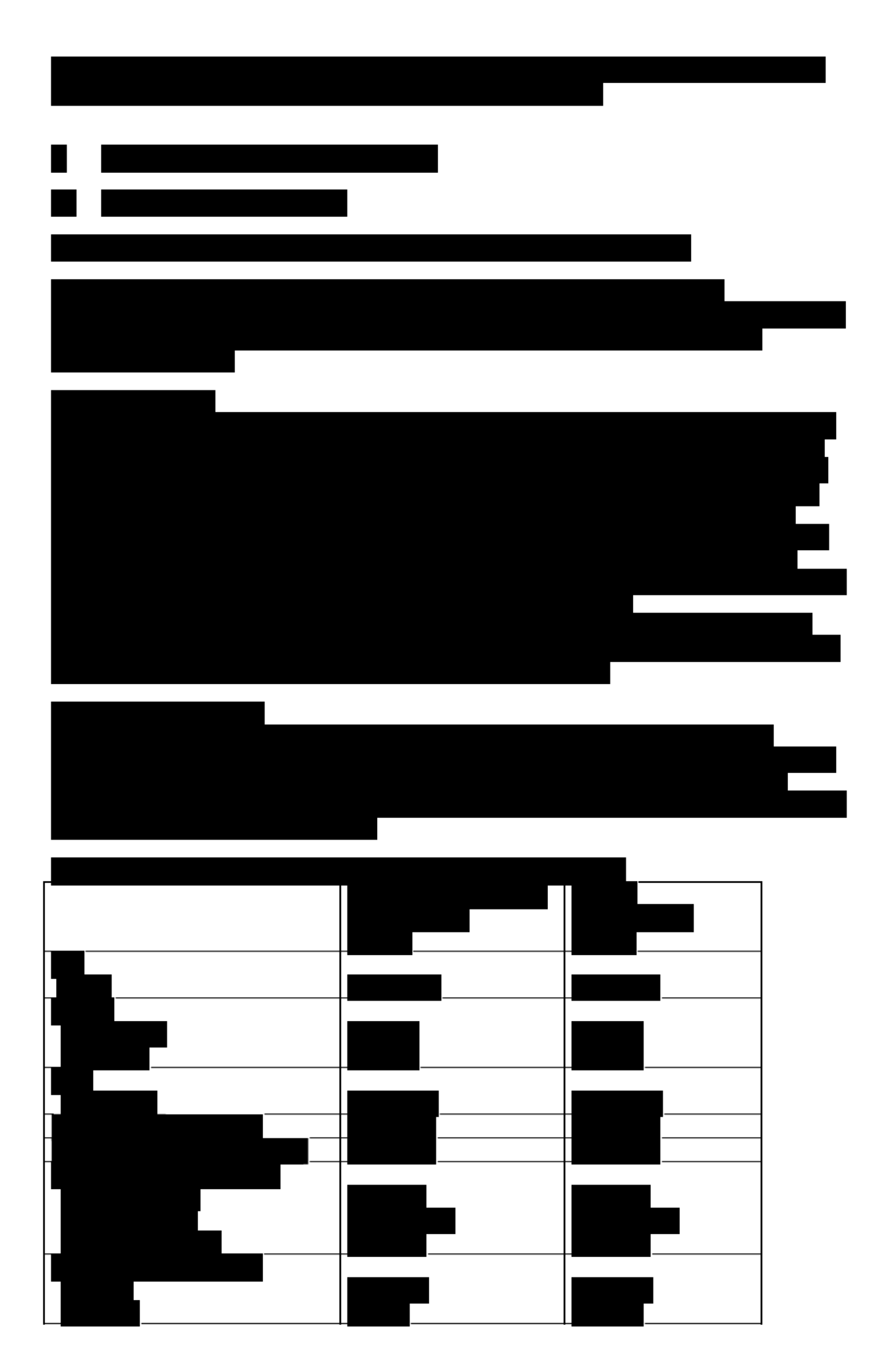


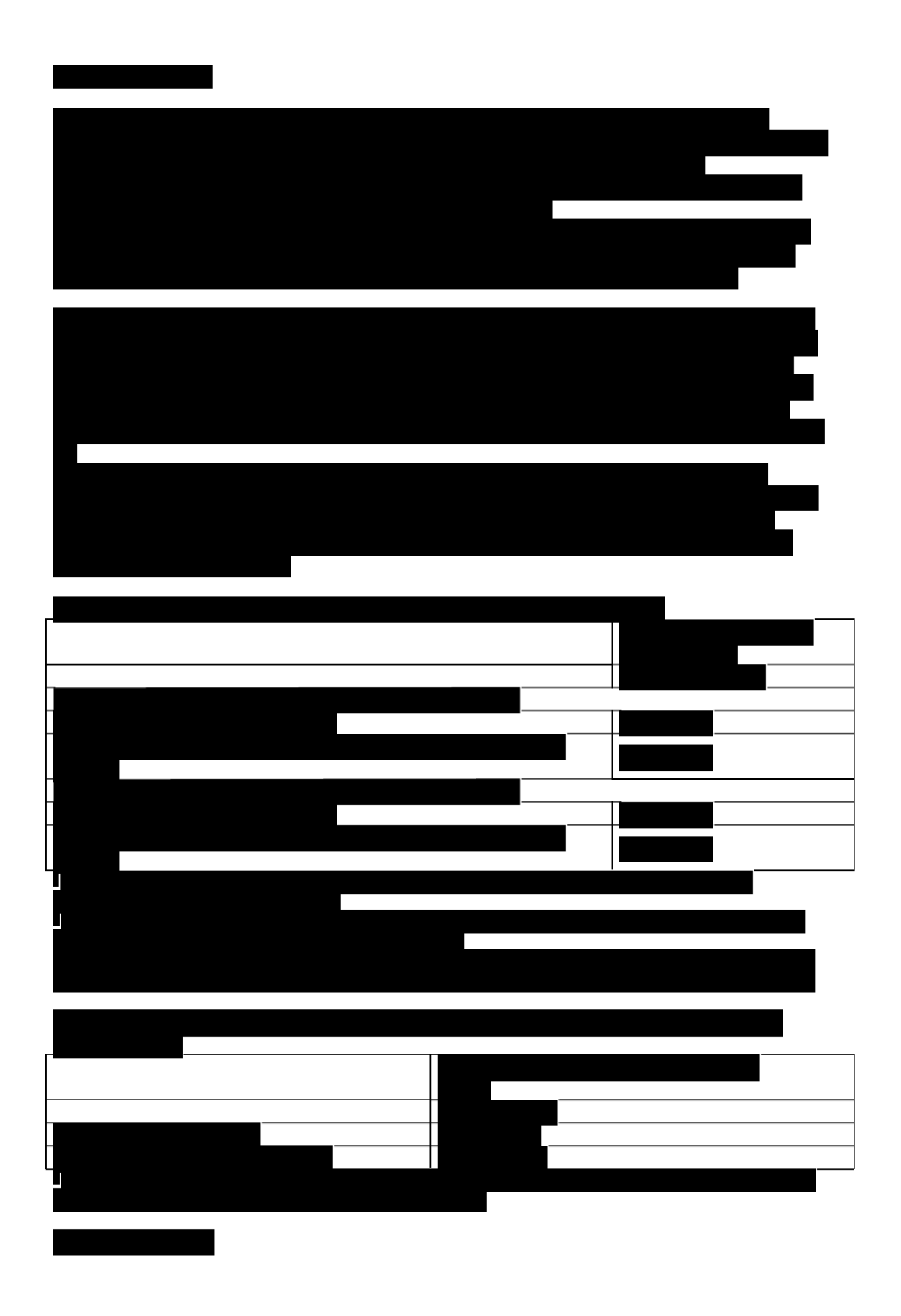


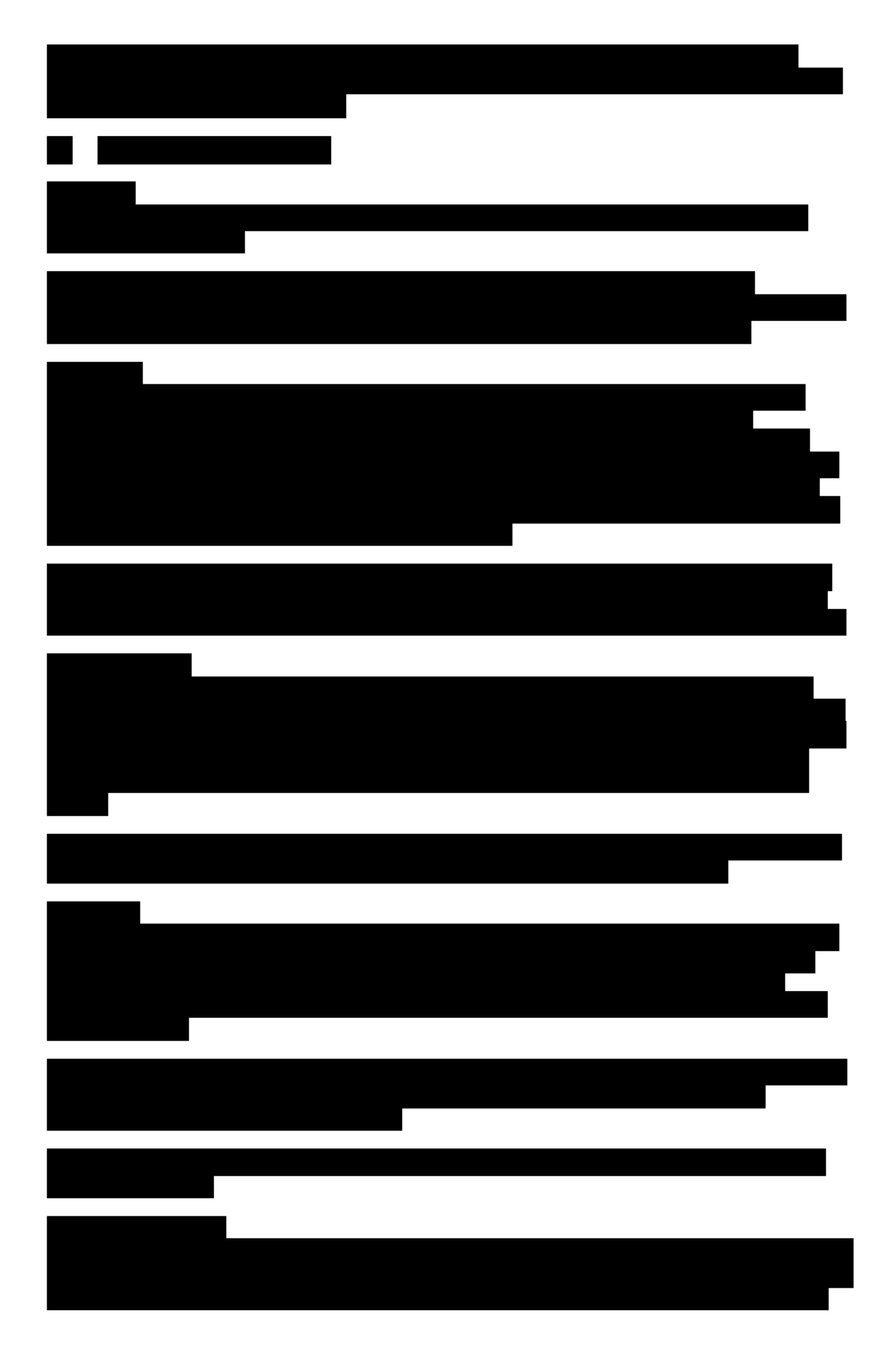


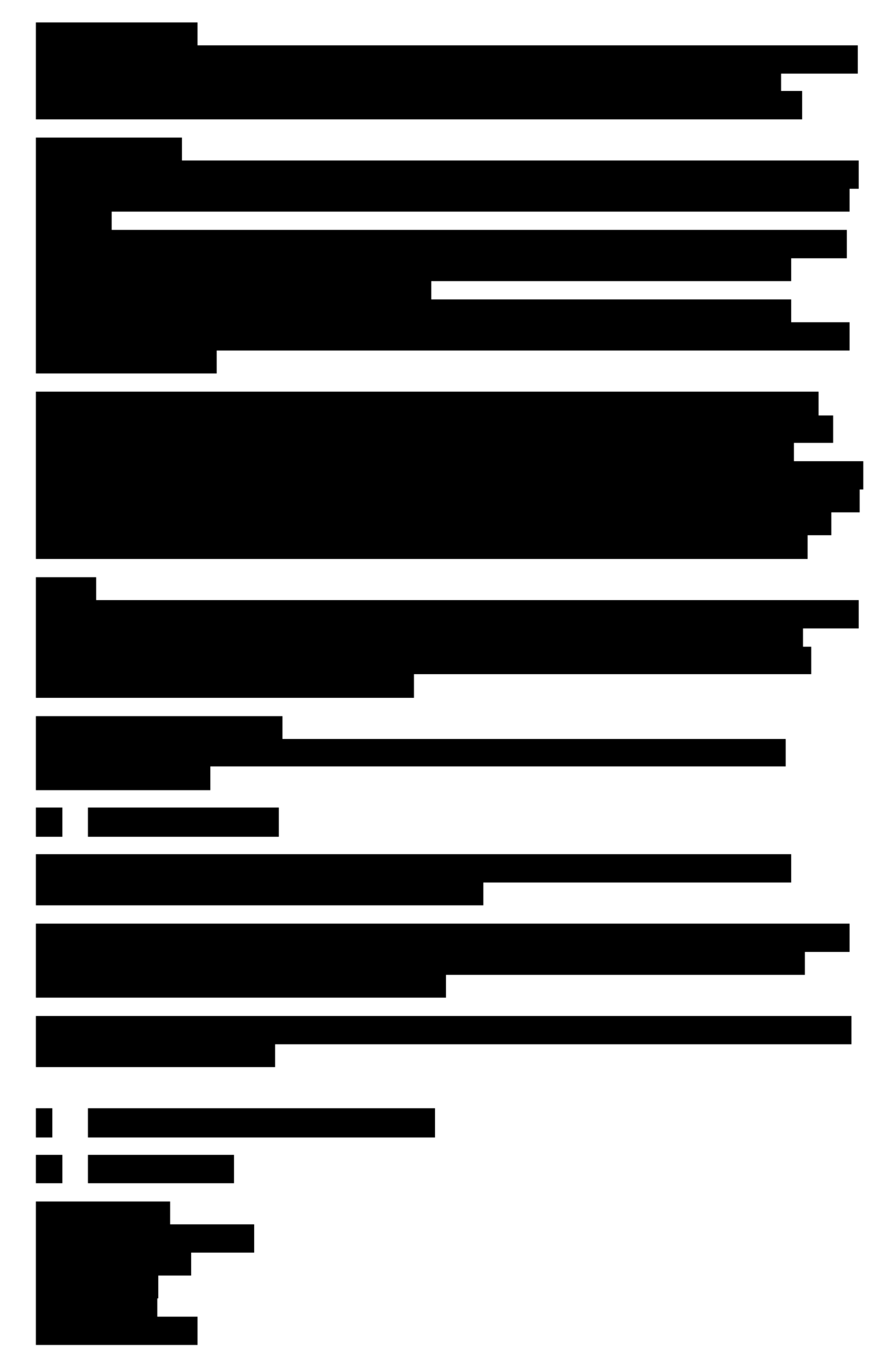


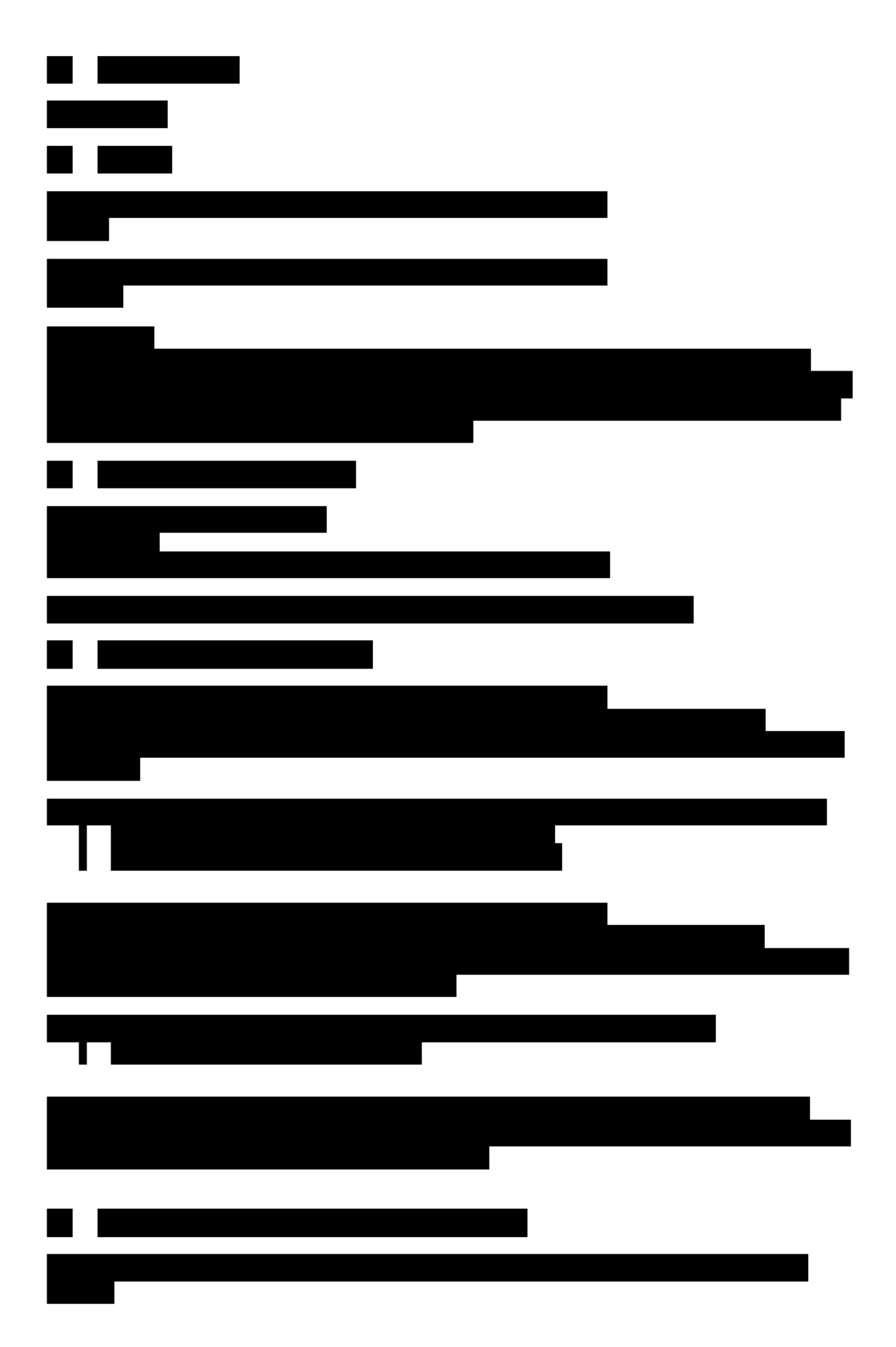


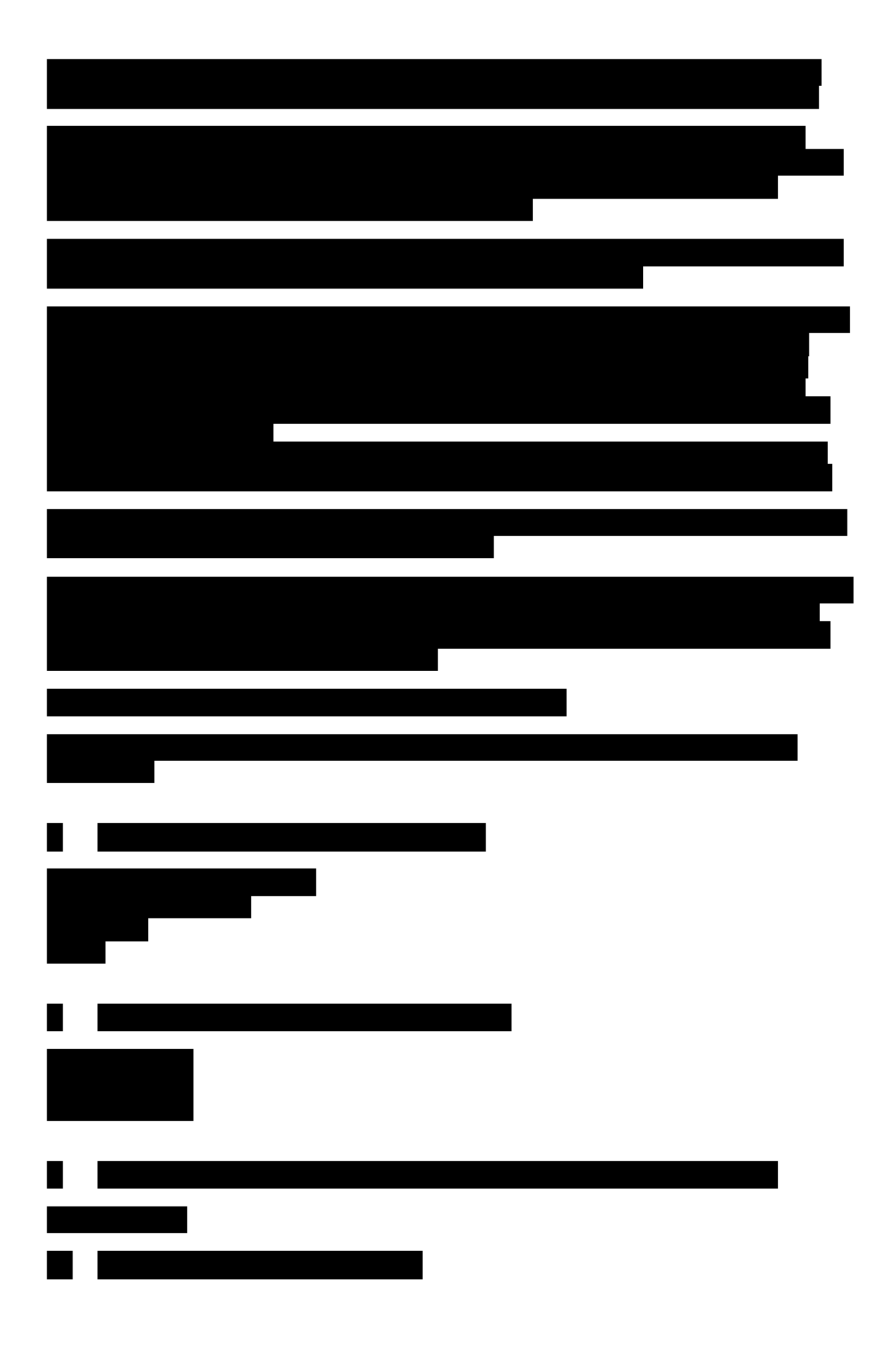








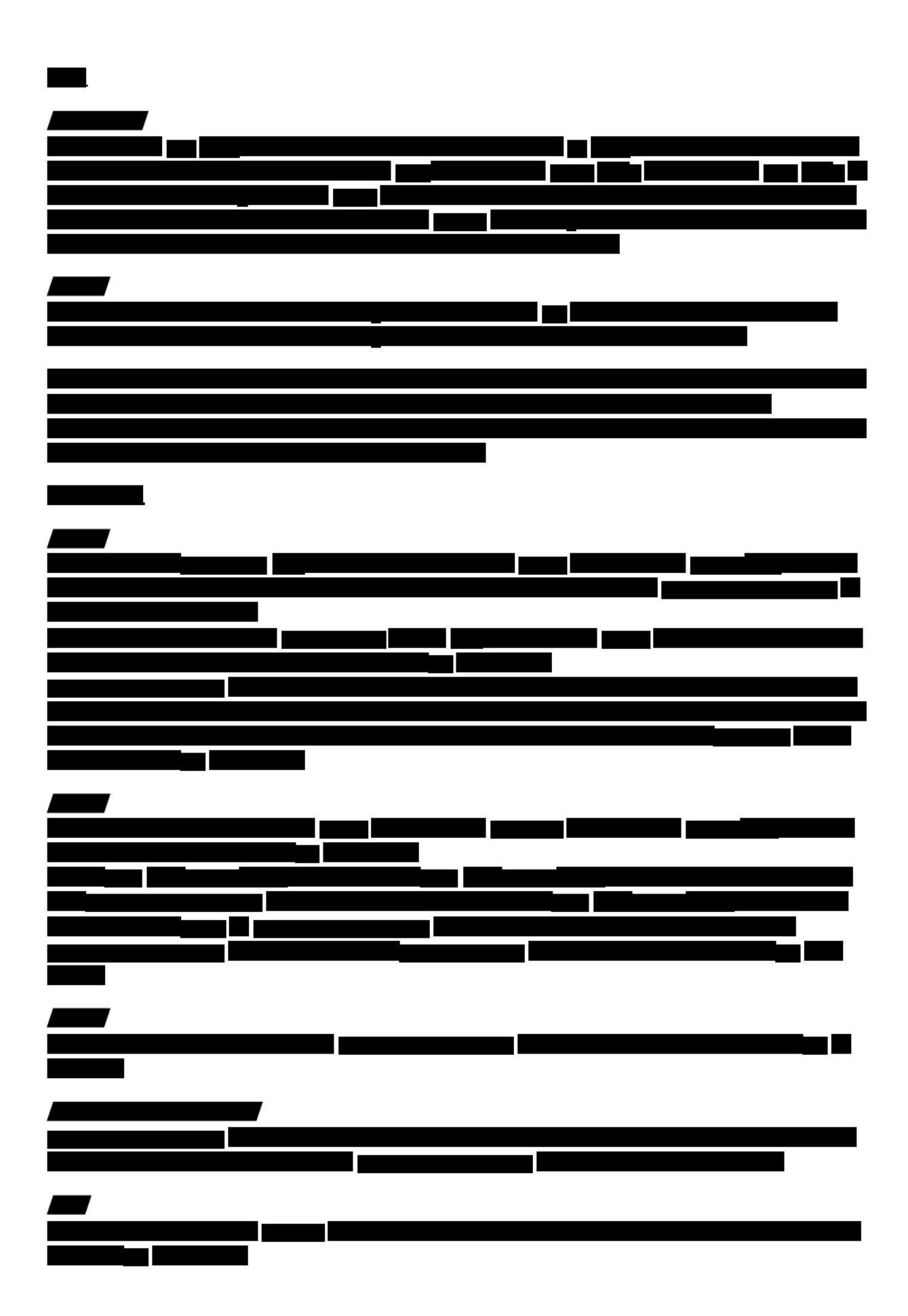


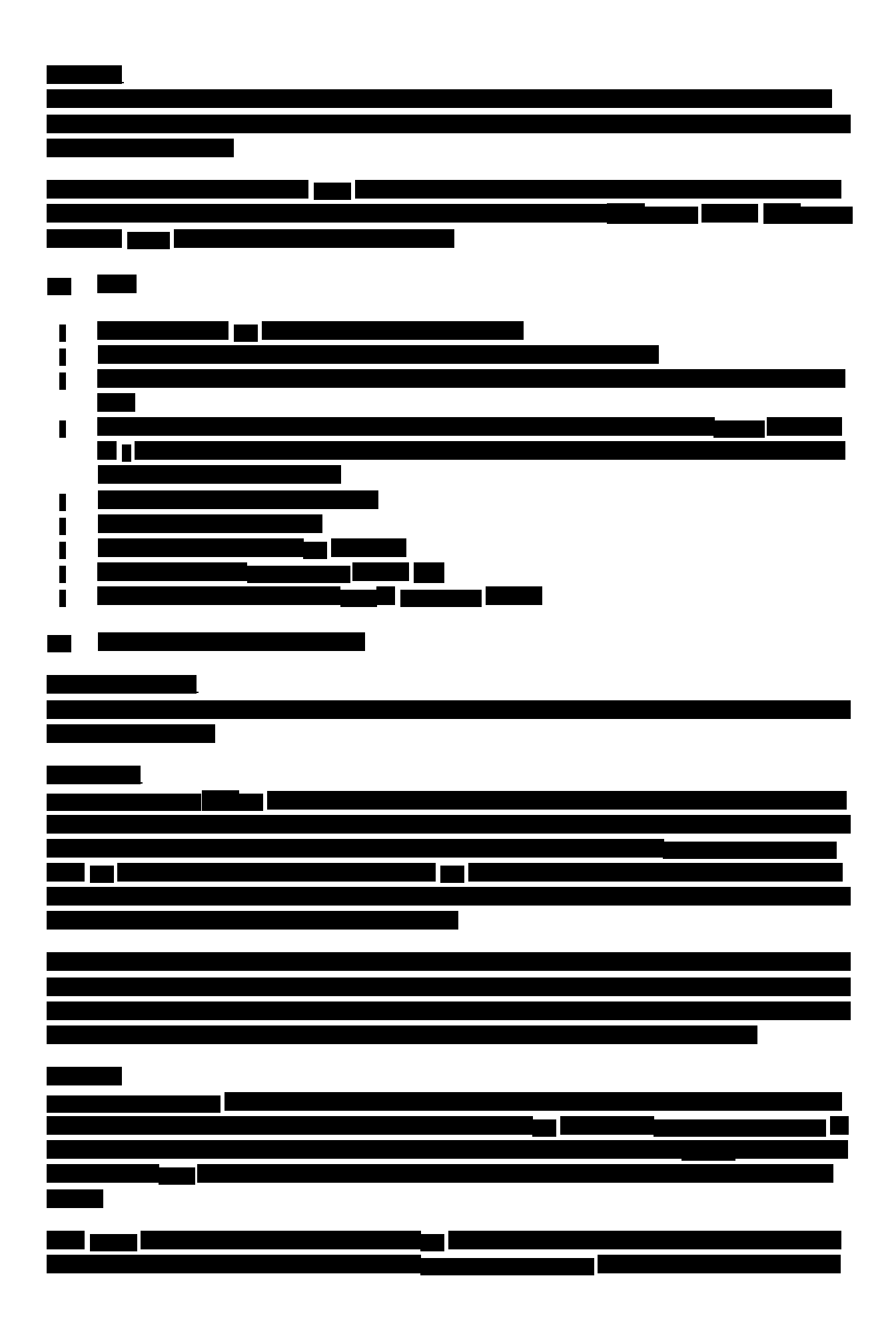


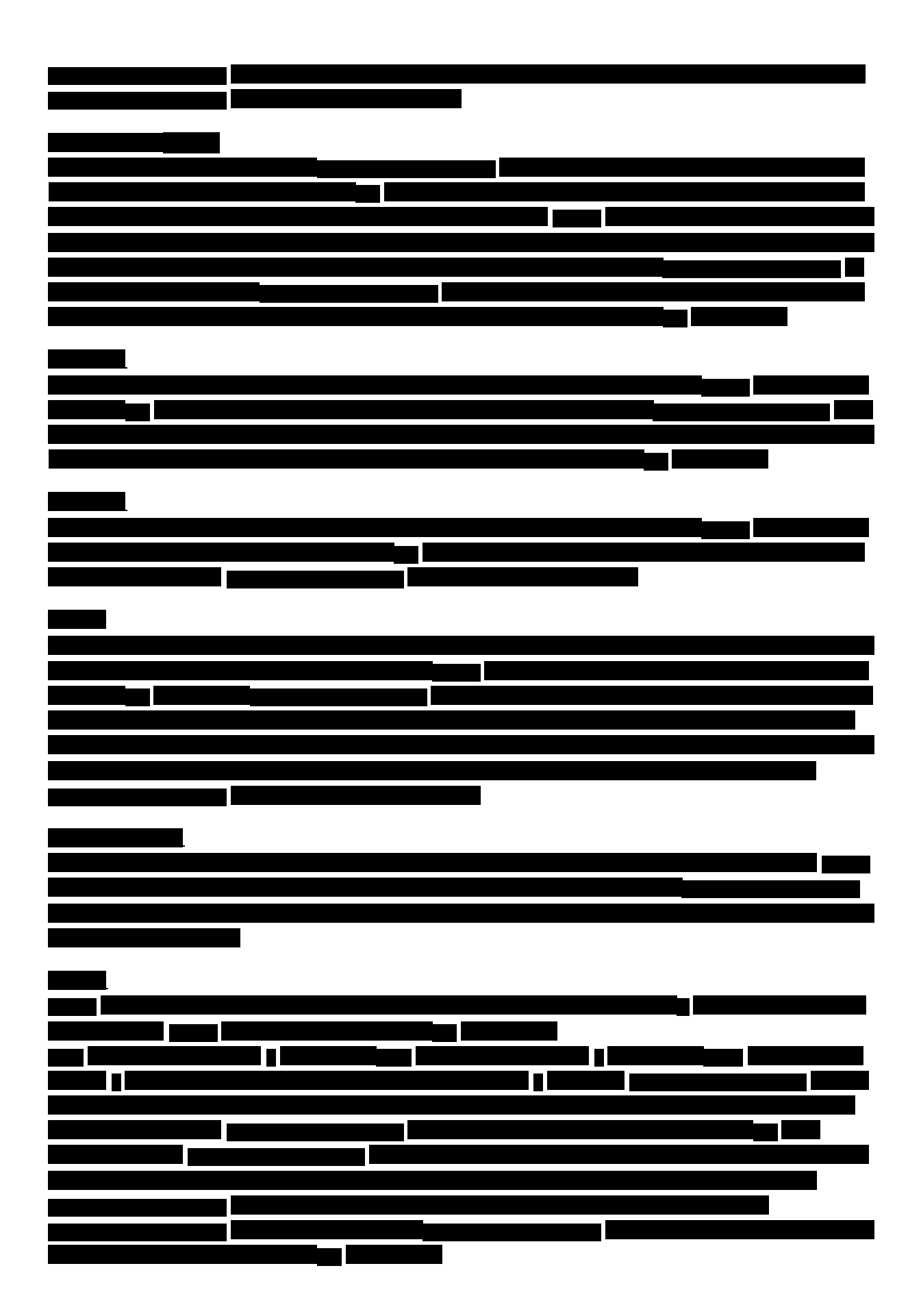
付録I

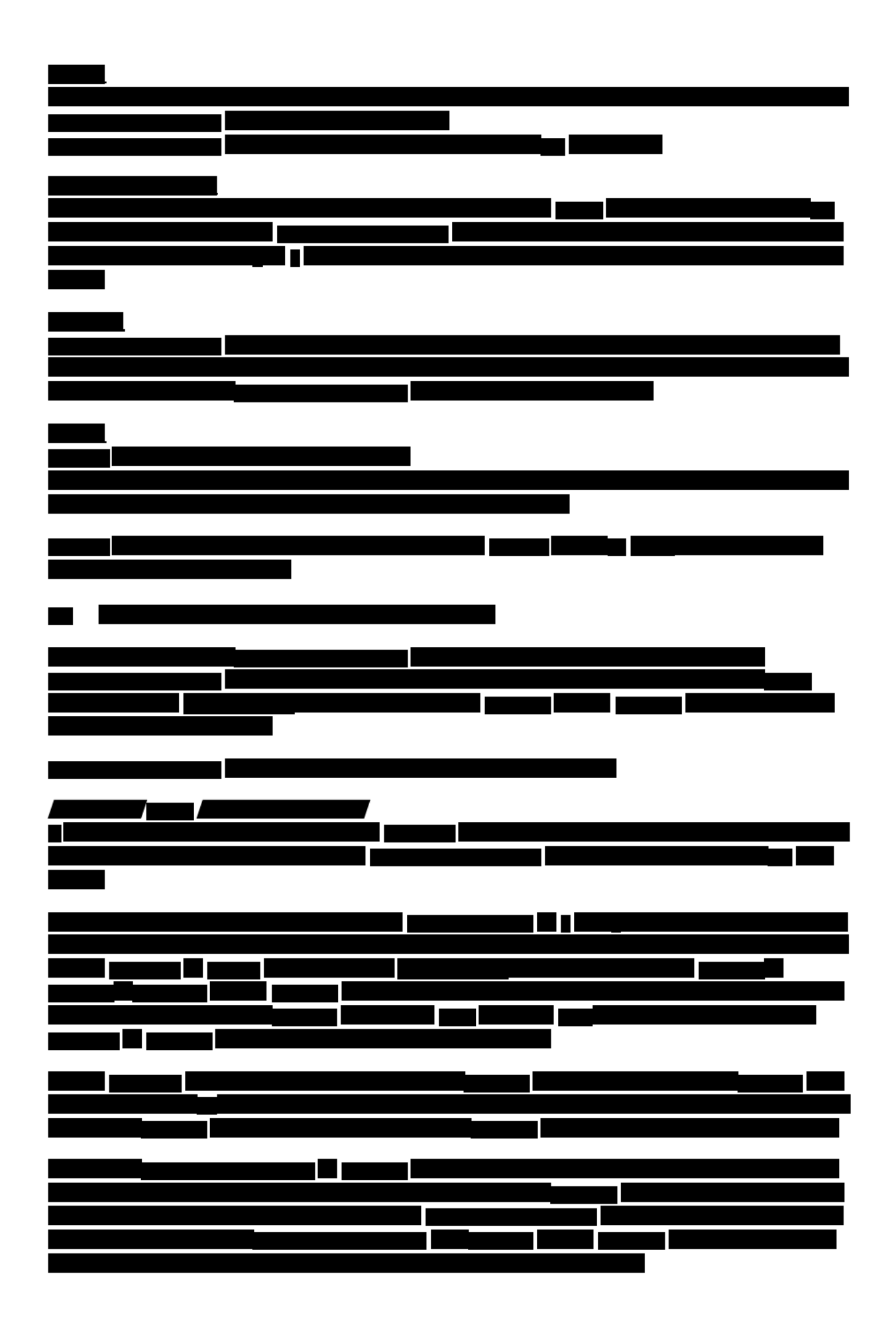
製品概要

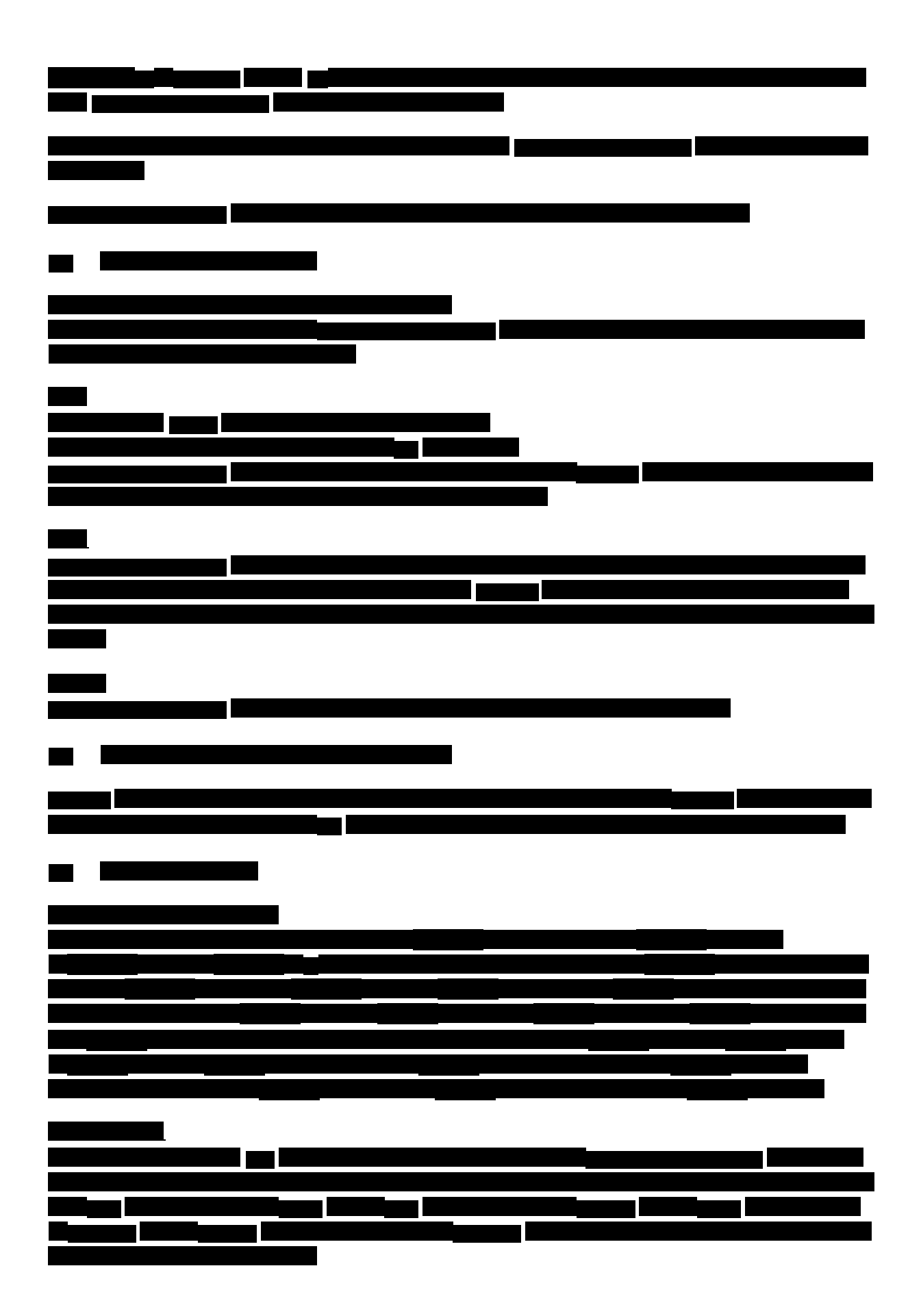
<u></u>	
	_









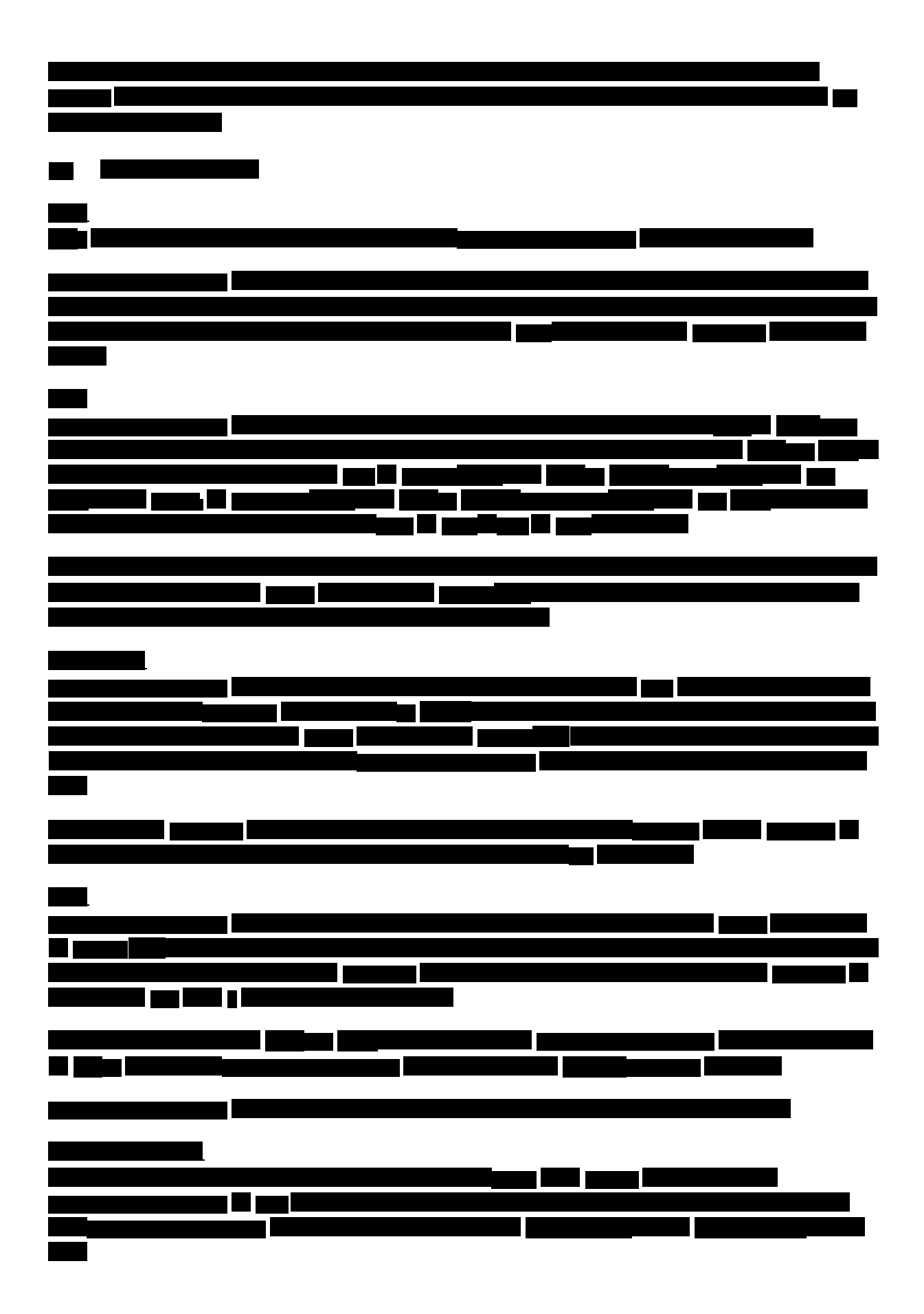


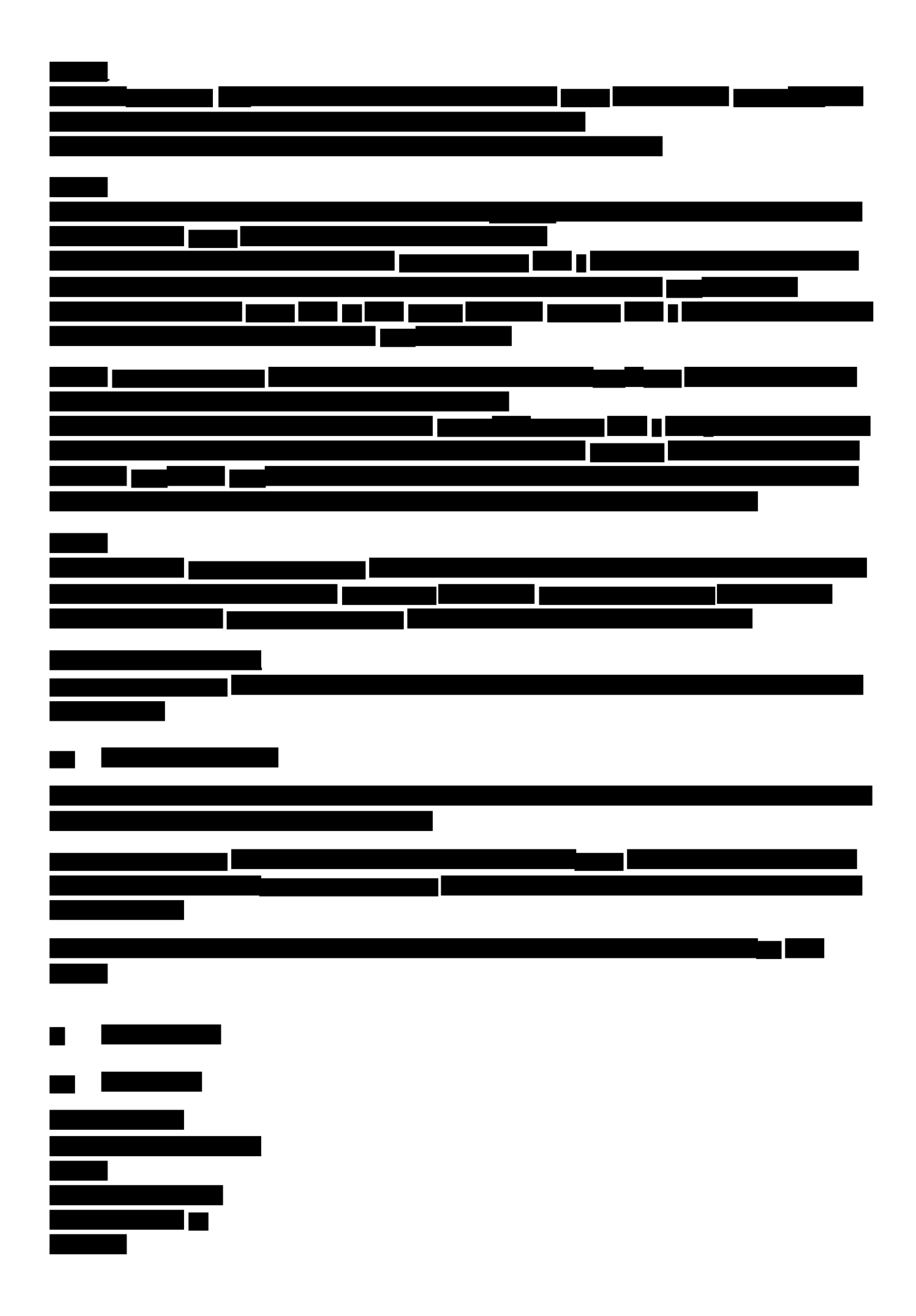
	_
	-
<u> </u>	

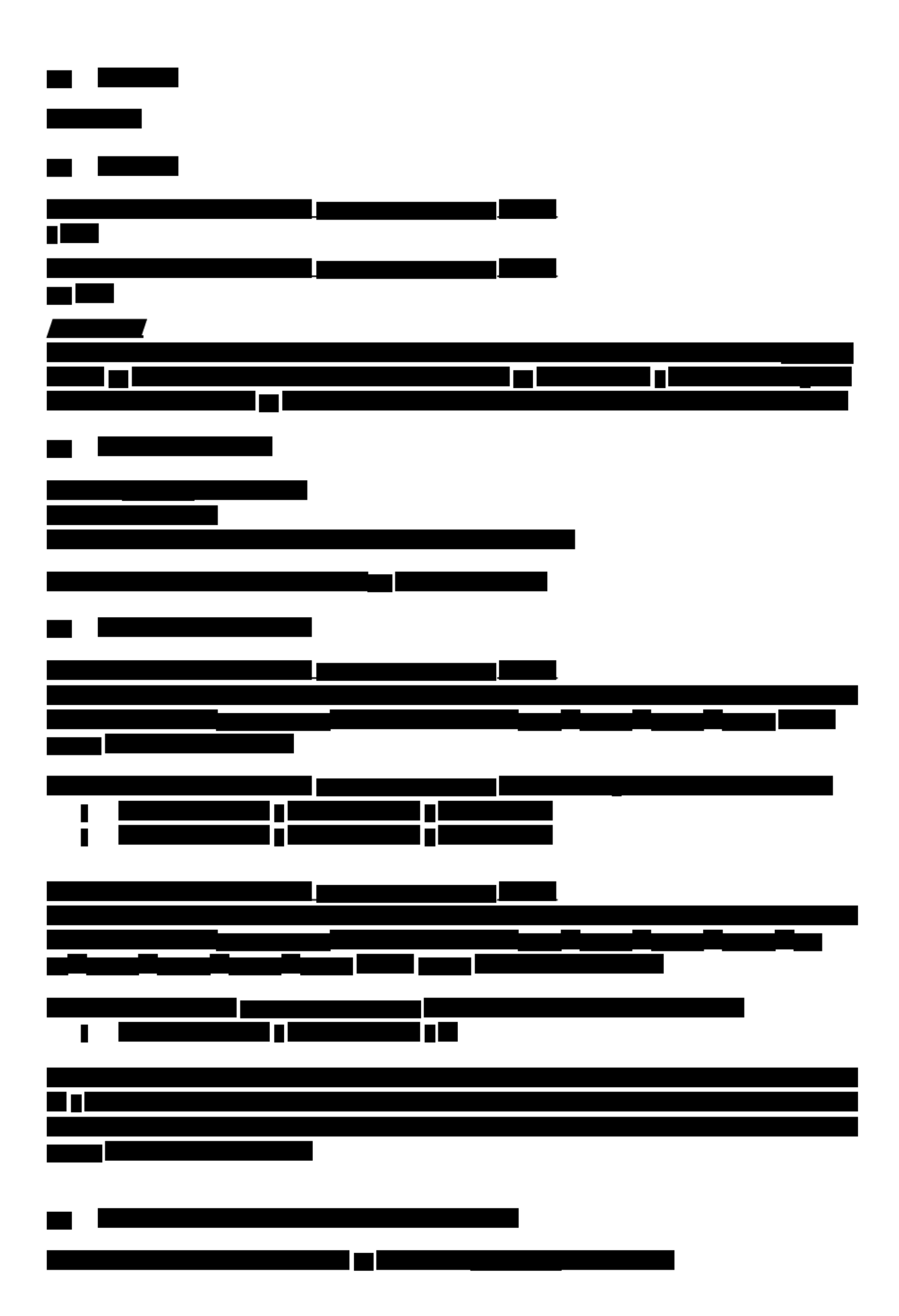
	<u> </u>
	-
İ	

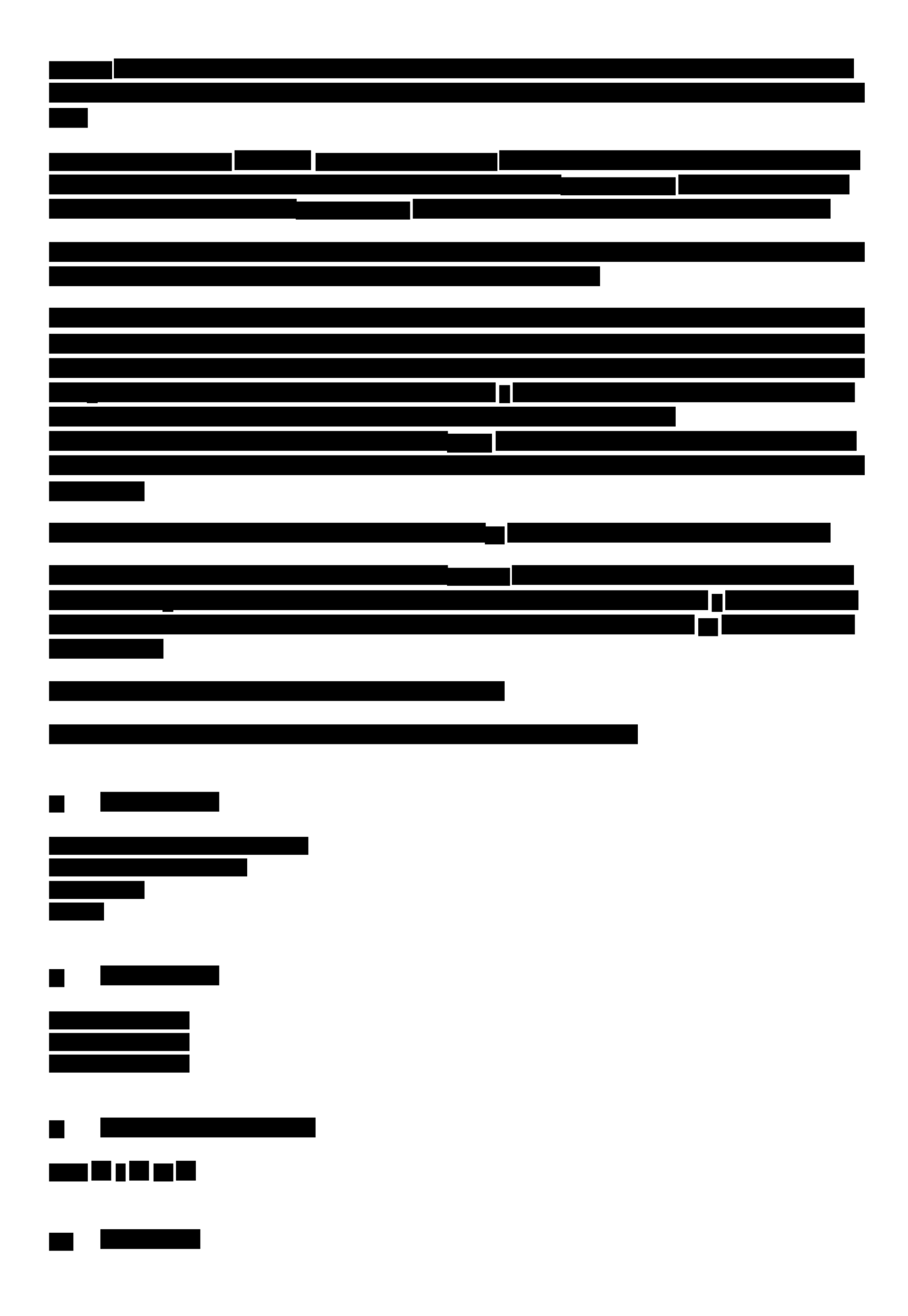
	. I		
_			
	_		

_		
		••
		T









Ropeginterferon alfa-2b ベスレミ皮下注 250 μg シリンジ ベスレミ皮下注 500 μg シリンジ

第1部 申請書等行政情報及び添付文書に関する情報

1.7 同種同効品一覧表

ファーマエッセンシアジャパン株式会社

1.7 同種同効品一覧表

R۸	naa	inta	rfor	nn	alfa-	-2h
ĸυ	peu	mue	Hei	OH	alla.	-20

日	次
\blacksquare	么

		頁
1.7	同種同効品一覧表	3

1.7 同種同効品一覧表

本剤および本剤の同種同効品について表 1.7-1 に示す。

表 1.7-1 同種同効品一覧表

	- · · · · · · · · · · · · · · · · · · ·		
販売名	ベスレミ皮下注 250 μg シリンジ	ジャカビ錠 5 mg	アグリリンカプセル 0.5 mg
	ベスレミ皮下注 500 μg シリンジ	ジャカビ錠 10 mg	
一般名	ロペグインターフェロン アルファ-	ルキソリチニブリン酸塩	アナグレリド
	2b (遺伝子組換え)		
会社名	ファーマエッセンシアジャパン	ノバルティス ファーマ株式会社	ブリストル・マイヤーズ スクイブ
	株式会社		株式会社
効能又は効果		骨髄線維症	慢性骨髓性白血病,
			本態性血小板血症,
	真性多血症(既存治療が効果不十分	真性多血症(既存治療が効果不十分	真性多血症
_	又は不適当な場合に限る)	又は不適当な場合に限る)	
添付文書改定日	_	2021年1月改訂(第1版)	2021年7月改訂(第15版)

添付文書に関しては必ず最新版をご参照ください

貯法:室温保存 有効期間:3年

抗悪性腫瘍剤 ヤヌスキナーゼ(JAK)阻害剤

ルキソリチニブリン酸塩錠 ジャカビ錠10mg

AKAVI® Tablets

日本標準商品分類番号 874291

	5mg	10mg
承認番号	22600AMX00759000	22900AMX00507000
販売開始	2014年9月	2017年5月



劇薬、処方箋医薬品 (注意-医師等の処方箋により使用すること)

b NOVARTIS

1. 警告

- 1.1 本剤の投与は、緊急時に十分対応できる医療施設にお いて、造血器悪性腫瘍の治療に対して十分な知識・経験 を持つ医師のもとで、本剤の投与が適切と判断される症 例についてのみ投与すること。また、治療開始に先立ち、 患者又はその家族に有効性及び危険性を十分に説明し、 同意を得てから投与を開始すること。
- 1.2 本剤の投与により、結核、敗血症等の重篤な感染症 が発現し、死亡に至った症例が報告されていることか ら、十分な観察を行うなど感染症の発症に注意すること。 [8.2、9.1.1-9.1.3、11.1.2参照]
- 2. 禁忌(次の患者には投与しないこと)
- 2.1 本剤の成分に対し過敏症の既往歴のある患者
- 2.2 妊婦又は妊娠している可能性のある女性 [9.5参照]

3. 組成・性状

3.1 組成

販売名	ジャカビ錠5mg	ジャカビ錠10mg
	塩6.60mg(ルキソリチニブ	1錠中ルキソリチニブリン酸 塩13.2mg(ルキソリチニブ として10mg)
添加剤	乳糖、セルロース、デンプン ヒドロキシプロピルセルロー ステアリン酸マグネシウム	

3.2 製剤の性状

販売名	ジャカビ	ジャカビ錠5mg		ジャカビ錠10mg		
色・剤形	白色の素質	白色の素錠				
識別コード	NVR L5	NVR L5			NVR L10	
形状		L 5		$\mathbb{N}^{\mathbb{N}}$	L10	
直径 (mm)	7.5	7.5				
厚さ (mm)	3.6			4.5		
質量 (g)	0.16			0.32		

4. 効能又は効果

- ○骨髄線維症
- ○真性多血症(既存治療が効果不十分又は不適当な場合に限 る)
- 5. 効能又は効果に関連する注意

〈骨髓線維症〉

- 5.1 患者のリスク分類、脾臓の大きさ等について、「17. 臨床成 績」の項の内容を熟知し、本剤の有効性及び安全性を十分理 解した上で、適応患者の選択を行うこと。
- 5.2 病理組織学的検査を行い、骨髄線維症と診断された患者に 使用すること。

〈真性多血症〉

5.3 ヒドロキシカルバミドによる適切な治療を行っても十分な 効果が認められない場合、又はヒドロキシカルバミドによる 治療が不適当と判断される場合に本剤の投与を考慮すること。 5.4 臨床試験に組み入れられた患者の脾臓の大きさ等につい て、「17. 臨床成績」の項の内容を熟知し、本剤の有効性及び 安全性を十分理解した上で、適応患者の選択を行うこと。

6. 用法及び用量

〈骨髄線維症〉

通常、成人には本剤を1日2回、12時間毎を目安に経口投与す る。用量は、ルキソリチニブとして1回5mg~25mgの範囲と し、患者の状態により適宜増減する。

〈真性多血症〉

通常、成人にはルキソリチニブとして1回10mgを開始用量と し、1日2回、12時間毎を目安に経口投与する。患者の状態に より適宜増減するが、1回25mg1日2回を超えないこと。

7. 用法及び用量に関連する注意

〈効能共通〉

- 7.1 他の抗悪性腫瘍剤との併用について、有効性及び安全性は 確立していない。
- 7.2 十分な効果が認められず、血球数から増量可能と判断でき る場合は、1回の投与量を5mgずつ2週間以上の間隔をあけて 増量することができる。ただし、本剤の初回投与後、4週間 は増量しないこと。

〈骨髄線維症〉

7.3 本剤の投与開始にあたっては、血小板数に基づき次表を参 考に開始用量を決定すること。

血小板数 ^{注)}	開始用量
20万/mm ³ 超	1回20mg1日2回
10万/mm ³ 以上20万/mm ³ 以下	1回15mg1日2回

- 注) 血小板数5万/mm³以上10万/mm³未満の患者に対する開始用量の情 報は限られているため、「17.臨床成績」の項の内容を熟知し、 剤の有効性及び安全性を十分理解した上で、本剤の投与の可否を 慎重に検討すること。血小板数5万/mm³以上10万/mm³未満の患者 に投与可能と判断する場合、1回5mgを1日2回から投与を開始する とともに、観察を十分に行い、有害事象の発現に十分注意するこ と。血小板数5万/mm³未満の患者に対する投与は避けること
- 7.4 本剤の投与中に血小板数が減少した場合、下表を参考に減 量又は休薬を考慮すること。なお、血小板数が休薬前の数値 以上に回復した場合には、1回5mgを1日2回から投与を再開 できる。ただし、患者の状態をより慎重に観察し、有害事象 の発現に十分注意すること。

血小板数	1回あたりの用量(1日2回)				
Ⅲ小饭数	25mg	20mg	15mg	10mg	5mg
10万/mm³以上 12.5万/mm³未満	20mg	変更なし			
7.5万/mm³以上 10万/mm³未満	10mg	10mg	10mg	変更	なし
5万/mm ³ 以上 7.5万/mm ³ 未満	5mg	5mg	5mg	5mg	変更なし
5万/mm³未満	休薬				

7.5 本剤の投与中に好中球数が500/mm3未満に減少した場合 には休薬すること。なお、好中球数が休薬前の数値以上に 回復した場合には、1回5mgを1日2回から投与を再開できる。 ただし、患者の状態をより慎重に観察し、有害事象の発現に 十分注意すること。

〈真性多血症〉

- 7.6 血小板数が5万/mm³以上10万/mm³未満の患者における開始用量の情報は得られていないため、「17.臨床成績」の項の内容を熟知し、本剤の有効性及び安全性を十分理解した上で、本剤の投与の可否を慎重に検討すること。血小板数5万/mm³以上10万/mm³未満の患者に投与可能と判断する場合、低用量から投与を開始するとともに、観察を十分に行い、有害事象の発現に十分注意すること。血小板数5万/mm³未満の患者に対する投与は避けること。
- 7.7 本剤の投与中に血小板数又はヘモグロビンが減少した場合、下表を参考に減量又は休薬を考慮すること。減量幅は、1回の投与量として5mgとする。なお、血小板数及びヘモグロビンが休薬前の数値以上に回復した場合には、1回5mg1日2回から投与を再開できる。ただし、患者の状態をより慎重に観察し、有害事象の発現に十分注意すること。

血小板数	5万/mm ³ 以上、10万/mm ³ 未満	減量
1111/1/1/1/1/1/1/1/1/1/1/1/1/1/1/1/1/1	5万/mm³未満	休薬
ヘモグロビン	8g/dL以上、12g/dL未満	減量
ハモグロビン	8g/dL未満	休薬

7.8 本剤の投与中に好中球数が1,000/mm³未満に減少した場合には休薬すること。なお、好中球数が休薬前の数値以上に回復した場合には、1回5mgを1日2回から投与を再開できる。ただし、患者の状態をより慎重に観察し、有害事象の発現に十分注意すること。

8. 重要な基本的注意

- 8.1 血小板減少症、貧血、好中球減少症があらわれることがあるので、本剤の投与開始前及び投与中は、定期的に血液検査 (血球数算定、白血球分画等)を行うこと。[11.1.1参照]
- 8.2 免疫抑制作用により、細菌、真菌、ウイルス又は原虫による感染症や日和見感染が発現又は悪化することがある。肝炎ウイルス、結核等が再活性化するおそれがあるので、本剤投与に先立って肝炎ウイルス、結核等の感染の有無を確認し、本剤の投与開始前に適切な処置の実施を考慮すること。本剤投与中は感染症の発現又は増悪に十分注意すること。[1.2、9.1.1-9.1.3、11.1.2参照]
- 8.3 帯状疱疹があらわれることがあるので、本剤の投与開始前に、患者に対して帯状疱疹の初期症状について説明し、異常が認められた場合には速やかに連絡し、適切な処置を受けるよう指導すること。[11.1.2参照]
- **8.4** 出血があらわれることがあるので、本剤投与中は定期的に 血液検査等を実施すること。[11.1.4参照]
- 8.5 肝機能障害があらわれることがあるので、本剤投与中は定期的に肝機能検査等を実施すること。[11.1.6参照]

9. 特定の背景を有する患者に関する注意

- 9.1 合併症・既往歴等のある患者
- 9.1.1 結核の既感染者 (特に結核の既往歴のある患者及び胸部 レントゲン上結核治癒所見のある患者)

結核を活動化させるおそれがある。[1.2、8.2、11.1.2参照]

9.1.2 感染症 (敗血症、肺炎、ウイルス感染等) を合併している患者

免疫抑制作用により病態を悪化させるおそれがある。[1.2、8.2、11.1.2参照]

9.1.3 B型肝炎ウイルスキャリアの患者又はHBs抗原陰性かつ HBc抗体若しくはHBs抗体陽性の患者

B型肝炎ウイルスの再活性化による肝炎があらわれるおそれがある。[1.2, 8.2, 11.1.2参照]

9.2 腎機能障害患者

減量を考慮するとともに、患者の状態をより慎重に観察し、 有害事象の発現に十分注意すること。活性代謝物の血中濃度 が上昇するとの報告がある。[16.6.1参照]

9.3 肝機能障害患者

減量を考慮するとともに、患者の状態をより慎重に観察し、 有害事象の発現に十分注意すること。未変化体の血中濃度が 上昇するとの報告がある。[16.6.2参照]

9.4 生殖能を有する者

妊娠可能な女性に対しては、本剤投与中及び投与終了後一定 期間は適切な避妊を行うよう指導すること。[9.5参照]

9.5 妊婦

妊婦又は妊娠している可能性のある女性には投与しないこと。動物実験(ラット)において、胚・胎児毒性(着床後死亡の増加、胎児重量の減少)が認められたとの報告がある。 [2.2、9.4参照]

9.6 授乳婦

授乳しないことが望ましい。動物実験(ラット)において、本剤及び本剤の代謝物が乳汁中に移行し、母体血漿中濃度の13倍であったとの報告がある。

9.7 小児等

小児等を対象とした臨床試験は実施していない。

9.8 高齢者

患者の状態を十分に観察し、慎重に投与すること。臨床試験において、高齢者(65歳超)では、65歳以下の患者と比較して、血小板減少症、心不全等の発現が増加することが報告されている。

10. 相互作用

本剤は主として代謝酵素CYP3A4で代謝され、CYP3A4に 比べて寄与率は小さいがCYP2C9によっても代謝される。ま た、*in vitro*の検討から、本剤はP-糖蛋白(P-gp)及び乳癌 耐性蛋白(BCRP)を阻害する可能性が示唆されている。

10.2 併用注意 (併用に注意すること)

薬剤名等	臨床症状・措置方法	機序・危険因子
強力なCYP3A4阻害剤 イトラコナゾール リトナビル クラリスロマイシン等 [16.7.1参照]	本剤の血中濃度が上昇、いるおそれがあるので、 でYP3A4阻害作用の代替を でYP3A4阻害作のの代替を で文は弱い変さし、やむを得剤な でYP3A4阻害力な でYP3A4阻害力な と本剤を併用投与減患 とともに観察し、 を関いて を関いて を関いな を を を を を を を を を を を を を	力なCYP3A4阻害作 用により、本剤の 代謝が阻害される
CYP3A4及びCYP2C9 を阻害する薬剤 フルコナゾール等	本剤の血中濃度が上昇するおそれがある。	これらの薬剤 の2つの代謝酵 素(CYP3A4及び CYP2C9)の阻害作 用により、本剤の 代謝が阻害な と考えられる。
CYP3A4阻害剤 エリスロマイシン シプロフロキサシン アタザナビル ジルチアゼム シメチジン等 [16.7.2参照]	本剤の血中濃度が上昇 するおそれがあるので、 CYP3A4阻害剤と本剤を 併用投与する場合には 患者の状態を慎重に観察 し、有害事象の発現に十 分注意すること。	CYP3A4阻害作用に より、本剤の代謝 が阻害されると考
CYP3A4誘導剤 リファンピシン フェニトイン セイヨウオトギリソウ (St. John's Wort (セント・ジョーンズ・ワート)) 含有食品等 [16.7.3参照]	CYP3A4誘導作用のない	CYP3A4誘導作用に より、本剤の代謝 が促進されると考

11. 副作用

次の副作用があらわれることがあるので、観察を十分に行い、異常が認められた場合には投与を中止するなど適切な処置を行うこと。

11.1 重大な副作用

*11.1.1 骨髄抑制

血小板減少症 (40.9%)、貧血 (37.5%)、好中球減少症 (4.3%)、 汎血球減少症 (頻度不明) 等があらわれることがある。[8.1参照]

11.1.2 感染症(10.4%)

細菌、真菌、ウイルス又は原虫による重篤な感染症(帯状疱疹 (2.6%)、尿路感染 (1.9%)、結核 (0.2%) 等) や日和見感染が発現又は悪化することがあり、死亡に至った症例が報告されている。本剤投与中及び投与終了後は患者の状態を十分に観察すること。[1.2、8.2、8.3、9.1.1-9.1.3参照]

11.1.3 進行性多巣性白質脳症 (頻度不明)

本剤投与中及び投与終了後は患者の状態を十分に観察し、意識障害、認知障害、麻痺症状(片麻痺、四肢麻痺)、言語障害等の症状があらわれた場合には、MRIによる画像診断及び脳脊髄液検査を実施するとともに、投与を中止し、適切な処置を行うこと。

11.1.4 出血

脳出血等の頭蓋内出血 (0.2%) (初期症状:頭痛、悪心・嘔吐、意識障害、片麻痺等)、胃腸出血 (0.8%)、処置後出血 (0.2%)、鼻出血 (1.7%)、血尿 (0.6%) 等があらわれることがあり、死亡に至った症例が報告されている。[8.4参照]

11.1.5 間質性肺疾患 (頻度不明)

11.1.6 肝機能障害

AST (3.2%)、ALT (4.1%) の上昇等を伴う肝機能障害があらわれることがあり、死亡に至った症例が報告されている。[8.5参照]

11.1.7 心不全 (0.6%)

11.2 その他の副作用

	5%以上	1~5%未満	1%未満	頻度不明
血液及びリンパ系 障害	-	白血球数減少	_	-
代謝及び栄養障害	体重増加	食欲減退	高トリグリ セリド血症、 体液貯留、 低カルシウ ム血症	高コレステ ロール血症
精神障害	-	不眠症	-	-
神経系障害	-	頭痛、浮動性 めまい、末梢 性ニューロパ チー、錯感覚	_	-
心臓障害	-	_	動悸	_
血管障害	-	高血圧	-	-
呼吸器系障害	-	鼻咽頭炎、ラ音、 呼吸 困 難、咳嗽	肺炎	-
胃腸障害	下痢		口内乾燥、 口腔内潰瘍 形成	ı
肝胆道系障害	-	γ-GTP増加、 ALP増加、血 中ビリルビン 増加	-	-
皮膚及び皮下組織 障害	-	寝汗、挫傷	発疹	-
筋骨格系障害	_	筋痙縮、四肢 痛、筋肉痛、 関節痛	骨痛、背部 痛	_
腎及び尿路障害	-	血中尿素増加	-	-
全身障害	疲労	末梢性浮腫、 無力症、発熱	-	-
臨床検査	-	_	APTT延長	-

14. 適用上の注意

14.1 薬剤交付時の注意

PTP包装の薬剤はPTPシートから取り出して服用するよう 指導すること。PTPシートの誤飲により、硬い鋭角部が食道 粘膜へ刺入し、更には穿孔をおこして縦隔洞炎等の重篤な合 併症を併発することがある。

15. その他の注意

15.2 非臨床試験に基づく情報

- 15.2.1 イヌを用いた心血管系への影響に関する試験では、心 拍数増加を伴う血圧低下が認められ、ラットを用いた呼吸機 能検査では、分時換気量減少が認められた。
- 15.2.2 イヌを用いた26及び52週間反復投与毒性試験において、皮膚乳頭腫の発現が認められた。また、本剤との因果関係は明らかでないものの、本剤投与後に非黒色腫皮膚癌(基底細胞癌、扁平上皮癌、メルケル細胞癌を含む)等の悪性腫瘍(二次発がん)の発現が報告されている。
- 15.2.3 幼若ラットを用いた毒性試験において、骨成長の抑制 と骨折が認められた。幼若ラットでの曝露量(AUC)は、

最大推奨用量を投与した成人でのAUCの1.5倍(骨成長の抑制)、13倍(骨折)であった。

16. 薬物動態

16.1 血中濃度

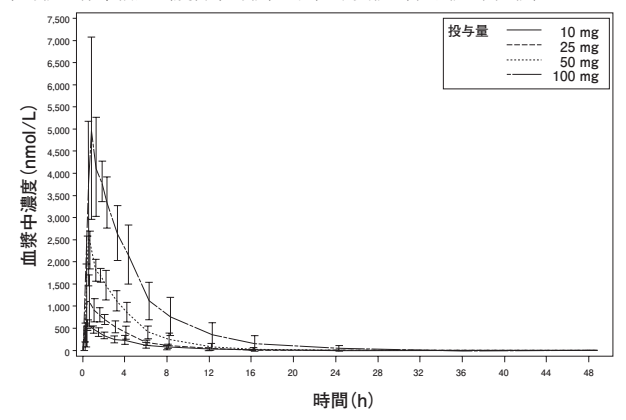
16.1.1 単回投与

健康被験者にルキソリチニブ10、25、50及び100mgを空腹時に単回経口投与したとき、未変化体の血漿中濃度は投与後0.5時間 (Tmax中央値) でCmaxに達し、その後、2.5~3.4時間の半減期で消失した。Cmax及びAUCは投与量にほぼ比例した $^{1)}$ 。

注)本剤の承認された用法及び用量での1日最大用量は50mgである。 健康被験者にルキソリチニブ10、25、50及び100mgを単回経口投与したと きの薬物動態パラメータ

投与量	Cmax (nmol/L)	Tmax ^{注)} (h)	T _{1/2} (h)	AUCinf (h · nmol/L)	CL/F (L/h)
10mg	621 ± 107	0.5	3.18 ± 1.31	2,290 ± 914	15.9 ± 4.89
(n=8)	(613)	(0.25-1.5)	(2.98)	(2,160)	(15.1)
25mg	1,450 ± 718	0.5	2.51 ± 0.638	4,020 ± 1,220	22.6 ± 9.09
(n=8)	(1,320)	(0.25-1.5)	(2.44)	(3,830)	(21.3)
50mg	2,380 ± 495	0.5	2.86 ± 0.542	8,650 ± 2,230	19.8 ± 4.20
(n=8)	(2,330)	(0.25-1.5)	(2.81)	(8,430)	(19.4)
100mg	5,430±1,260	0.5	3.40±0.907	22,600 ± 7,780	15.9 ± 4.94
(n=8)	(5,300)	(0.25-1.5)	(3.28)	(21,500)	(15.2)

平均值 = 標準偏差(幾何平均值)、注)中央值(最小值-最大值)



健康被験者にルキソリチニブ10、25、50及び100mgを単回経口投与したときの血漿中濃度推移(平均値±標準偏差)

16.1.2 反復投与

健康被験者にルキソリチニブ10及び25mgを7日間1日2回反復経口投与したときAUCの累積比はそれぞれ1.12及び1.03で大きな累積は認められなかった10。

健康被験者にルキソリチニブ10及び25mgを1日2回反復経口投与したときの 薬物動能パラメータ

投与量	反復 投与	Cmax (nmol/L)	Tmax ^{iž)} (h)	AUC _{0-12h} (h·nmol/L)	AUC _{0-12h} 比 (7日目/初日)
10mg	1日目	577 ± 70.8 (573)	0.375 (0.25-1.0)	1,920 ± 678 (1,830)	-
(n=8)	7日目	587 ± 187 (562)	0.5 (0.25-1.0)	2,180 ± 949 (2,040)	1.12±0.117 (1.11)
25mg	1日目	1,200 ± 357 (1,160)	0.5 (0.25-1.5)	3,600 ± 838 (3,500)	-
(n=8)	7日目	1,290 ± 271 (1,260)	0.5 (0.25-0.5)	3,720 ± 864 (3,620)	1.03±0.0568 (1.03)

平均值 # 標準偏差 (幾何平均值)、注) 中央値 (最小値-最大値)

16.2 吸収

16.2.1 食事の影響

健康被験者(16例)に食後にルキソリチニブ20mgを単回経口投与したとき、空腹時に比べTmaxは0.5時間から1.75時間に延長し、Cmaxは42%低下した。AUCは6.4%低下したが比(食後/空腹)の90%信頼区間は $0.80\sim1.25$ の範囲内であった 2)。

16.3 分布

ルキソリチニブのヒト血漿中及び血清中での非結合型分率は、 $3.2 \sim 4.8\%$ であった³⁾ (*in vitro*)。

16.4 代謝

ルキソリチニブは主としてCYP3A4で代謝され、またCYP3A4に比べて寄与率は小さいがCYP2C9によっても代謝されると考えられる $^{4)}$ ($in\ vitro$)。

16.5 排泄

健康被験者(6例)に¹⁴C標識したルキソリチニブ25mgを 単回経口投与したとき放射能の総回収率は96%で、尿及 び糞中にそれぞれ74%及び22%が回収された。尿及び糞中 に回収された放射能に占める未変化体の割合は1%未満で あった。放射能の70%以上が投与後24時間以内に回収され た⁵⁾(外国人のデータ)。

16.6 特定の背景を有する患者

16.6.1 腎機能障害患者

健康被験者(クレアチニンクリアランス(CLcr)80mL/min超)、軽度腎機能障害患者(CLcr 50~80mL/min)、中等度腎機能障害患者(CLcr 30~49mL/min)、重度腎機能障害患者(CLcr 30mL/min未満)及び透析を受けている末期腎機能障害患者にルキソリチニブ25mgを単回経口投与したとき、未変化体の血漿中濃度は同様であった(各群8例)。8種類の活性代謝物のAUC(合計)は、未変化体のAUCに対して、健康被験者で61%、軽度、中等度及び重度腎機能障害患者で79%、117%及び173%、投与前及び投与後に透析を行った患者で346%及び297%で、腎機能障害の重症度の上昇により増加する傾向を示した⁶(外国人のデータ)。[9.2参照]

16.6.2 肝機能障害患者

健康被験者、軽度肝機能障害患者(Child-Pugh分類 A)、中等度肝機能障害患者(Child-Pugh分類 B)及び重度肝機能障害患者(Child-Pugh分類 C)にルキソリチニブ25mgを単回経口投与したとき、AUCは、健康被験者に比べて軽度、中等度及び重度障害患者でそれぞれ87%、28%及び65%高かったが、3つの患者群間で重症度とAUCの間に明確な関係は認められなかった(各群8例)。Cmaxは肝機能障害患者と健康被験者で差はなかった。半減期は、健康被験者(2.8時間)に比べて肝機能障害患者(各患者群で4.1~5.0時間)で延長した⁷⁾(外国人のデータ)。[9.3参照]

16.7 薬物相互作用

16.7.1 ケトコナゾール (強力なCYP3A4阻害剤、国内未発売 の経口剤)

健康被験者(16例)にケトコナゾール(200mg、1日2回4日間)反復投与時、ルキソリチニブ10mgを併用したときルキソリチニブ未変化体のCmax及びAUCはそれぞれ33%及び91%増加し、半減期は3.7時間から6.0時間に延長した 8)(外国人のデータ)。[10.2参照]

16.7.2 エリスロマイシン(CYP3A4阻害剤)

健康被験者(14例)にエリスロマイシン(500mg、1日2回 4日間)反復投与時、ルキソリチニブ10mgを併用したとき、ルキソリチニブ未変化体のCmax及びAUCはそれぞれ 8%及び27%増加したが、半減期に差はなかった8)(外国人のデータ)。[10.2参照]

16.7.3 リファンピシン (CYP3A4誘導剤)

健康被験者(12例)にリファンピシン(600mg、1日1回11日間)反復投与時、ルキソリチニブ50mgを併用投与したとき、ルキソリチニブ未変化体のCmax及びAUCはそれぞれ52%及び71%低下し、半減期は3.3時間から1.7時間に短縮した。8種類の活性代謝物のAUC(合計)に大きな変化はなく、未変化体に対する代謝物の相対的な曝露量は2倍以上に増加した8(外国人のデータ)。[10.2参照]

16.7.4 ルキソリチニブの経口投与後、腸で薬物濃度が高くなった場合、P-糖蛋白 (P-gp) 及び乳癌耐性蛋白 (BCRP) を阻害する可能性が示唆された⁹⁾ (*in vitro*)。

16.7.5 ミダゾラム (CYP3A4基質)

健康被験者(23例)にルキソリチニブ25mg(1日2回1日間)を反復投与時、ミダゾラム経口液剤4mgを併用したとき、ルキソリチニブはミダゾラムの薬物動態に大きな影響を及ぼさなかった 10)(外国人のデータ)。

16.7.6 経口避妊薬

健康被験者(24例)にルキソリチニブ25mg(1日2回10日間)を反復投与時、経口避妊薬(エチニルエストラジオール30 μ g及びレボノルゲストレル150 μ gを含有)を併用したとき、ルキソリチニブはエチニルエストラジオール及びレボノルゲストレルの薬物動態に影響を及ぼさなかった¹¹⁾(外国人のデータ)。

17. 臨床成績

17.1 有効性及び安全性に関する試験

〈骨髓線維症〉

17.1.1 国際共同第Ⅱ相試験

骨髄線維症患者**1を対象とした非盲検非対照試験において、ベースラインの血小板数に基づき本剤を経口投与した。本剤の開始用量は、ベースラインの血小板数が10万~20万/mm³の場合15mg1日2回、20万/mm³超の場合20mg1日2回とした。

合計120例(日本人患者30例を含む)に本剤が投与された。骨髄線維症患者における合併症の主な要因 $^{12)}$ である脾腫に関して、主要評価項目である24週時に脾臓容積がベースラインから35%以上縮小した被験者の割合は 13 0、であった 13 1。

副作用発現頻度は、本剤投与群で92.5% (111/120例(日本人30例を含む))であった。主な副作用は、貧血58.3% (70/120例)、血小板数減少28.3% (34/120例)、血小板減少症26.7% (32/120例)等であった。

(2013年6月7日カットオフ)

17.1.2 海外第Ⅲ相試験

骨髄線維症患者*1を対象とした二重盲検無作為化比較試験において、ベースラインの血小板数に基づき本剤を経口投与した。本剤の開始用量は、ベースラインの血小板数が10万~20万/mm³の場合15mgl日2回、20万/mm³超の場合20mg1日2回とした。

合計309例がルキソリチニブ群(155例)又はプラセボ群(154例)に無作為に割付けされた。主要評価項目である24週時に脾臓容積がベースラインから35%以上縮小した被験者の割合はルキソリチニブ群で41.9%、プラセボ群で0.7%であり、プラセボ群と比較してルキソリチニブ群で有意に高かった 14 (Fisherの正確検定p<0.0001)。

副作用発現頻度は、本剤投与群で76.1% (118/155例) であった。主な副作用は、本剤投与群では血小板減少症34.2% (53/155例)、貧血25.2% (39/155例)、疲労12.9% (20/155例) 等であった。

(2013年1月25日カットオフ)

17.1.3 海外第Ⅲ相試験

骨髄線維症患者*1を対象とした非盲検無作為化比較試験において、ベースラインの血小板数に基づき本剤を経口投与した。本剤の開始用量は、ベースラインの血小板数が10万~20万/mm³の場合15mg1日2回、20万/mm³超の場合20mg1日2回とした。

合計219例がルキソリチニブ群(146例)又はBest Available Therapy群(73例)に無作為に割付けされた。主要評価項目である48週時に脾臓容積がベースラインから35%以上縮小した破験者の割合はルキソリチニブ群で28.5%、Best Available Therapy群で0%であり、Best Available Therapy群と比較してルキソリチニブ群で有意に高かった¹⁵⁾(p<0.0001、Cochran-Mantel-Haenszelの正確検定)。

副作用発現頻度は、本剤投与群で82.9% (121/146例) であった。主な副作用は、本剤投与群では血小板減少症43.8% (64/146例)、貧血32.9% (48/146例)、体重増加11.0% (16/146例) 等であった。

(2012年12月1日カットオフ)

*1:試験対象患者



- ・原発性骨髄線維症、真性多血症又は本態性血小板血症 から移行した骨髄線維症患者 (WHO分類¹⁶⁾ 及びIWG-MRT規準¹⁷⁾ に基づき診断)
- ・IWG-MRTリスク分類¹⁸⁾ の高リスク又は中間-2リスクの患者
- 造血幹細胞移植が不適応の患者
- ・季肋下に5cm以上の脾腫を有する患者

〈真性多血症〉

17.1.4 国際共同第Ⅲ相試験

真性多血症患者*2を対象とした非盲検無作為化比較試験において、開始用量10mg1日2回とし、被験者の状態により5mg1日1回から25mg1日2回の範囲で本剤を経口投与した。合計222例(日本人患者18例を含む)がルキソリチニブ群(110例)又はBest Available Therapy群(112例)に無作為に割付けされた。主要評価項目である32週時の奏効*3率はルキソリチニブ群で22.7%、Best Available Therapy群で0.9%であり、Best Available Therapy群で0.9%であり、Best Available Therapy群で0.9%であり、Best Available Therapy群で0.9%であり、Best Available Therapy群と比較してルキソリチニブ群で有意に高かった0.99%に

48週時点での副作用発現頻度は、本剤投与群で70.9% (78/110例中(日本人6例を含む)であった。主な副作用は、貧血21.8%(24/110例)、血小板減少症10.9% (12/110例)、体重増加8.2%(9/110例)等であった。

*2:試験対象患者

- ·真性多血症患者(WHO分類¹⁶⁾)
- ・ヒドロキシカルバミド抵抗性又は不耐容で瀉血依存²⁰⁾ の患者
- ・脾臓容積が450cm3以上の脾腫を有する患者
- **3: 奏効は、以下の両基準に該当した場合
- ・ヘマトクリットコントロール: 瀉血実施基準を「連続2回の検査で、ヘマトクリット値が45%超かつベースライン値より3%以上高い、又は48%超のいずれかに該当する場合」とし、無作為化から8週時まで瀉血実施1回以下、かつ8週時から32週時まで瀉血実施不要。
- ・脾臓容積35%以上縮小:32週時のMRI又はCTに基づく 脾臓容積がベースラインから35%以上縮小。

18. 薬効薬理

18.1 作用機序

骨髓線維症及び真性多血症の患者では多くの場合、JAK2 遺伝子の変異等によるJAK2キナーゼの恒常的な活性化が認められている。ルキソリチニブは、in vitroで野生型及び変異型(V617F)のJAK2活性を阻害し、そのシグナル伝達を抑制した 21,22)。また、骨髄線維症における臨床症状の原因の一つと考えられているIL-6の細胞内シグナル伝達に関わるJAK1の活性を阻害した 21)。変異型JAK2(V617F)を発現させたマウス腫瘍細胞株を移植したマウスにおいて、ルキソリチニブは脾臓重量を減少させ、炎症性サイトカインであるIL-6及びTNF-aの血中濃度の上昇を抑制した 23,24)。変異型JAK2(V617F)を発現するマウス由来骨髄細胞を移植し、赤血球数増加等の真性多血症様の症状を呈したマウスにおいて、ルキソリチニブは赤血球数、白血球数及び脾臓重量を減少させた 25)。

19. 有効成分に関する理化学的知見

一般的名称

ルキソリチニブリン酸塩(Ruxolitinib Phosphate) 化学名

(3R)-3-Cyclopentyl-3-[4-(7H-pyrrolo[2,3-d]pyrimidin-4-yl)-1H-pyrazol-1-yl]propanenitrile monophosphate 分子式

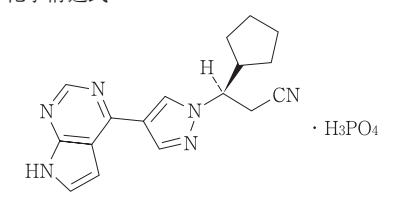
C17H18N6 · H3PO4

分子量

404.36

性狀

白色の粉末である。水にやや溶けやすく、エタノールに やや溶けにくく、アセトニトリルに極めて溶けにくい。 化学構造式



融占

194~198℃

分配係数

-0.057 (1-オクタノール/pH1.0緩衝液)、2.562 (1-オクタノール/pH4.3緩衝液)、2.814 (1-オクタノール/pH7.4緩衝液)

21. 承認条件

21.1 医薬品リスク管理計画を策定の上、適切に実施すること。 〈**真性多血症**〉

21.2 国内での治験症例が極めて限られていることから、製造販売後、一定数の症例に係るデータが集積されるまでの間は、全症例を対象に使用成績調査を実施することにより、本剤使用患者の背景情報を把握するとともに、本剤の安全性及び有効性に関するデータを早期に収集し、本剤の適正使用に必要な措置を講じること。

22. 包装

〈ジャカビ錠5mg〉

20錠 [10錠 (PTP) ×2] 120錠 [10錠 (PTP) ×12]

〈ジャカビ錠10mg〉

20錠 [10錠 (PTP) ×2]

23. 主要文献

- 1) 社内資料: 国内第 I 相臨床試験 (1101試験) (2014年7 月4日承認、CTD2.7.2-2.2.1) [20142625]
- 2) 社内資料: 国内第 I 相臨床試験(1102試験)(2014年7 月4日承認、CTD2.7.2-2.2.2) [20142624]
- 3) 社内資料:蛋白結合率(2014年7月4日承認、 CTD2.7.2-2.1.1) [20142634]
- 4) 社内資料: CYP代謝酵素の同定 (2014年7月4日承認、 CTD2.7.2-2.1.2) [20142639]
- 5) Shilling, A.D. et al.: Drug Metab. Dispos. 2010; 38 (11) ,2023-2031 [20142299]
- 6) 社内資料:腎機能障害患者を対象とした試験(142試験)(2014年7月4日承認、CTD2.7.2-2.4.2)[20142631]
- 7) 社内資料: 肝機能障害患者を対象とした試験 (137試験) (2014年7月4日承認、CTD2.7.2-2.4.1) [20142632]
- 8) Shi.J.G., Chen.X., Emm.T.et al.: J. Clin. Pharmacol. 2012; 52 (6) ,809-818 [20142301]
- 9) 社内資料: 膜透過性,薬物トランスポーター阻害及び 腸でのCYP3A4,Pgp,BCRP阻害(2014年7月4日承認、 CTD2.7.2-2.1.3) [20142641]
- 10) 社内資料: ミダゾラムとの薬物相互作用 (2103試験) (2015年9月24日承認、CTD2.7.2-2.2) [20151293]
- 11) 社内資料:経口避妊薬 (エチニルエストラジオール 及びレボノルゲストレル) との薬物相互作用 (2102試 験) (2015年9月24日承認、CTD2.7.2-2.1) [20151292]
- 12) Mesa, R.A.: Blood 2009; 113 (22) ,5394-5400 [20142280]
- 13) 社内資料: 骨髄線維症患者を対象としたアジア国際共同第Ⅱ相臨床試験(2202試験)(2014年7月4日承認、CTD2.7.6-4.2.1) [20142622]
- 14) 社内資料:骨髄線維症患者を対象とした海外第Ⅲ相臨 床試験(351試験)(2014年7月4日承認、CTD2.7.6-4.1.1) [20142620]

15) 社内資料:骨髄線維症患者を対象とした海外第Ⅲ相臨床 試験(2352試験)(2014年7月4日承認、CTD2.7.6-4.1.2)

[20142621]

- 16) Tefferi, A. and Vardiman, J. W.: Leukemia 2008; 22 (1), 14-22 [20142281]
- 17) Barosi, G. et al. : Leukemia 2008; 22 (2) ,437–438

[20142282]

- 18) Cervantes, F. et al.: Blood 2009; 113 (13) ,2895-2901 [20142283]
- 19) 社内資料:真性多血症患者を対象とした国際共同第Ⅲ相臨床 試験(2301試験)(2015年9月24日承認、CTD2.7.6-4.1.1)

[20151295]

- 20) Barosi, G. et al. : Br. J. Haematol. 2010; 148 (6) ,961-963 [20155488]
- 21) 社内資料: *In vitro*酵素阻害作用(2014年7月4日承認、 CTD2.6.2-2.1) [20142613]
- 22) 社內資料: In vitro腫瘍増殖抑制作用(2014年7月4日承認、 CTD2.6.2-2.2) [20142614]
- 23) 社内資料: In vivo腫瘍増殖抑制作用(2014年7月4日承認、 CTD2.6.2-2.3) [20142618]
- 24) 社内資料: In vivoサイトカイン産生抑制作用(2014年7月4日 承認、CTD2.6.2-2.3) [20142616]
- 25) 社内資料: In vivo (変異型JAK) 腫瘍増殖抑制作用 (2015年9月24日承認、CTD2.6.2-2.2.1) [20151290]

24. 文献請求先及び問い合わせ先

ノバルティスファーマ株式会社 ノバルティスダイレクト 〒105-6333 東京都港区虎ノ門1-23-1

NOVARTIS DIRECT

0120-003-293 受付時間: 月~金9:00~17:30 (祝祭日及び当社休日を除く) www.novartis.co.jp

26. 製造販売業者等

26.1 製造販売業者

ノバルティス ファーマ株式会社

東京都港区虎ノ門 1-23-1

(10)

添付文書に関しては必ず最新版をご参照ください

※※2021年7月改訂(第15版) ※2019年7月改訂

劇薬. 処方箋医薬品

注意-医師等の処方箋により 使用すること 日本標準商品分類番号 874229

20400AMY00227

1992年8月

1992年8月

1966年3月

2007年3月

2013年3月

貯 法: 遮光・室温保存,長期保存する場合は高湿をさける

使用期限: 3年(使用期限の年月は外箱に記載されています。)

抗悪性腫瘍剤

ハイドレア

販売開始 国際誕生 再審査結果 効能追加

承認番号

遊価収載

ドレアカプセル500mg HYDREA®CAPSULES 500mg

(ヒドロキシカルバミドカプセル)

(しトロインガルバミトガブ と

【警告】

本剤は、緊急時に十分対応できる医療施設において、造血器悪性腫瘍の治療に対して十分な知識・経験を持つ医師のもとで、本剤の投与が適切と判断される症例についてのみ投与すること。また、本剤による治療開始に先立ち、患者又はその家族に有効性及び危険性を十分に説明し、同意を得てから投与を開始すること。

【禁 忌(次の患者には投与しないこと)】

- (1) 本剤の成分に対し過敏症の既往歴のある患者
- (2) 妊婦又は妊娠している可能性のある女性(「妊婦、産婦、授乳婦等への投与」の項参照)

【組成・性状】

1. 組成

ハイドレアカプセル500mgは1カプセル中にヒドロキシカルバミド500mgを含有する。添加物として無水リン酸一水素ナトリウム、無水クエン酸、ステアリン酸マグネシウム及び乳糖水和物、また、カプセル本体にゼラチン、青色二号及び赤色三号を含有する。

2. 製剤の性状

製剤	色	内容物
	ボディ:帯紫赤色不透明 キャップ:帯青緑色不透明	白色の粉末

形状	サイズ	識別コード
BMS BMS 303	0号 硬カプセル	BMS 303

【効能又は効果】

慢性骨髓性白血病,本態性血小板血症,真性多血症

【用法及び用量】

ヒドロキシカルバミドとして、通常成人 1日500mg~2,000mg を 1~3回に分けて経口投与する。寛解後の維持には 1日500mg~1,000mgを 1~2回に分けて経口投与する。

なお、血液所見、症状、年齢、体重により初回量、維持量を 適宜増減する。

【使用上の注意】

1. 慎重投与(次の患者には慎重に投与すること)

- (1) 肝障害のある患者[代謝機能が低下しているので、副作用が強くあらわれることがある。]
- (2) 腎障害のある患者[腎からの排泄が遅れ,副作用が強くあらわれることがある。]
- (3) 骨髄機能抑制のある患者[骨髄機能抑制を増悪させることがある。]
- (4) 感染症を合併している患者[骨髄機能抑制により感染症を増悪させることがある。]
- (5) 水痘患者[致命的な全身障害があらわれることがある。]

2. 重要な基本的注意

- (1) 骨髄機能抑制等の重篤な副作用が起こることがあるので、頻回に臨床検査(血液検査、肝機能検査、腎機能検査等)を行うなど、患者の状態を十分に観察すること。異常が認められた場合には、減量、休薬、中止等の適切な処置を行うこと。また、使用が長期間にわたると副作用が強くあらわれることがあるので、投与は慎重に行うこと。
- (2) 感染症、出血傾向の発現又は増悪に十分注意すること。
- (3) 小児及び生殖可能な年齢の患者に投与する必要がある場合には、性腺に対する影響を考慮すること。
- (4) 本態性血小板血症, 真性多血症に本剤を使用する際には, 関連文献(「医療上の必要性の高い未承認薬・適応 外薬検討会議 公知申請への該当性に係る報告書」^{1)~2)} 等)を熟読すること。

3. 相互作用

併用注意(併用に注意すること)

薬剤名等	臨床症状・措置方法	機序・危険因子
抗悪性腫瘍剤	骨髄抑制等を増強す	副作用が相互に増
放射線照射	, .,	強される。
	併用を行う場合、減	
	量するなど用量に注	
	意すること。	

4. 副作用

副作用の概要

承認時: 425例

本剤の自他覚的副作用症状の発現率は5.6% (24/425)であり、主なものは発疹・皮疹が2.4% (10/425)、嘔気・嘔吐等の消化器症状が2.1% (9/425)であった。

本剤の臨床検査値異常の発現率は3.8% (16/425)であり、ALT(GPT)上昇1.9%(8/425)、AST(GOT)上昇0.9%(4/425)、AI-P上昇0.5%(2/425)、ビリルビン上昇0.2%(1/425)、クレアチニン上昇0.2%(1/425)であった。

使用成績調査:1,806例

副作用及び臨床検査値異常の発現率は27.9%(503/1,806)であり、主なものは血小板減少6.1%、白血球減少4.4%、貧血4.4%、ALT(GPT)上昇4.2%、AST(GOT)上昇3.7%、ヘモグロビン減少2.4%、赤血球減少1.7%、AI-P上昇1.5%等が認められた。

(1) 重大な副作用

- 1) 骨髄機能抑制:汎血球減少(0.3%), 白血球減少(4.4%), 好中球減少(0.5%), 血小板減少(6.1%), 貧血(4.4%)(ヘモグロビン減少, 赤血球減少, ヘマトクリット値減少)等があらわれることがあるので, 頻回に血液検査を行うなど観察を十分に行い, 異常が認められた場合には, 投与間隔の延長, 減量, 休薬, 中止等の適切な処置を行うこと。
- 2) **間質性肺炎**(0.2%): 間質性肺炎があらわれることがあるので、発熱、咳嗽、呼吸困難、胸部X線写真で浸潤影等の異常が認められた場合には、投与を中止し適切な処置を行うこと。

3) 皮膚潰瘍(0.7%):本剤を長期に投与した症例で皮膚潰瘍(下肢に好発する)があらわれることがあるので、観察を十分に行い、異常が認められた場合には投与を中止し、適切な処置を行うこと。

※(2) その他の副作用

頻度 種類	0.1~5 %未満 又は頻度不明	0.1%未満
血 液注1)	出血	巨赤芽球症
消化器		便秘,胃痛,消化管潰瘍
肝 臓	ビリルビン上昇, AST (GOT)上昇, ALT (GPT)上昇, Al-P上昇	黄疸
腎 臓	BUN上昇, クレアチ ニン上昇, 尿酸上昇	排尿困難
過敏症	発疹	蕁麻疹
皮 膚	色素沈着, 脱毛, 紅斑, 爪変色, 瘙痒, 皮膚エ リテマトーデス*	皮膚及び爪萎縮, 鱗屑 形成,紫色丘疹,皮膚 乾燥,発汗減少
精神神経系	頭痛、しびれ	眩暈, 舌のしびれ感, 眠気, 幻覚, 見当識障 害, 痙攣
その他	発熱,倦怠感,浮腫, 関節痛,筋肉痛,無精 子症*	不快感, 悪寒

*:頻度不明

- 注1) 末梢血液の観察を十分に行い, 異常が認められた場合には, 減量, 休薬, 中止等の適切な処置を行うこと。
- 注2) このような症状があらわれた場合には投与を中止すること。

5. 高齢者への投与

一般に高齢者では、生理機能が低下しているので減量するなど注意すること。

6. 妊婦, 産婦, 授乳婦等への投与

- (1) 妊婦又は妊娠している可能性のある女性には、投与しないこと。また、妊娠する可能性のある女性には、本剤投与中及び投与終了後一定期間は適切な避妊をするよう指導すること。[妊娠中に本剤を投与された患者で児の奇形が報告されており、動物実験(ラット、ウサギ等)において、催奇形作用及び胚・胎児死亡が報告されている。]
- (2) パートナーが妊娠する可能性のある男性には、本剤投与中及び投与終了後一定期間は適切な避妊をするよう指導すること。[細菌を用いた復帰突然変異試験、哺乳類培養細胞を用いた染色体異常試験及びマウス、ラットを用いた小核試験において、遺伝毒性が報告されている。]
- (3) 授乳中の女性には、授乳を中止させること。[ヒト母乳中へ移行することがある。]

7. 小児等への投与

低出生体重児,新生児,乳児,幼児又は小児に対する安全 性は確立していない(使用経験が少ない)。

8. 適用上の注意

薬剤交付時:PTP包装の薬剤はPTPシートから取り出して服用するよう指導すること(PTPシートの誤飲により、硬い鋭角部が食道粘膜へ刺入し、更には穿孔をおこして縦隔洞炎等の重篤な合併症を併発することが報告されている)。

9. その他の注意

- (1) 本剤の長期維持療法で皮膚癌が発生したとの報告があ
- (2) 真性多血症や血小板血症等の骨髄増殖性疾患で本剤の 長期投与を受けている患者で二次性の白血病が報告さ れている。
- (3) 本剤と抗レトロウイルス剤,特にジダノシンとサニル ブジンが併用されたHIV感染患者で,死亡を含む重篤 な膵炎,肝障害及び高度の末梢神経障害が発現したと の報告がある。

【薬物動態】3),4)

外国人による成績

1. 単回投与による血清中濃度及び排泄

患者にヒドロキシカルバミド1,000mgを経口投与した場合。本 剤の血清中濃度は投与 $1\sim3$ 時間後に $20\sim30\mu g/mL$ の最高値を 示し、その後緩徐に減少した。患者に本剤26又は28mg/kgを経口投与した場合、投与後24時間までの尿中排泄率は、各々投与量の53及び70%であった。

2. 反復投与による血清中濃度及び排泄

患者にヒドロキシカルバミド26又は28mg/kgを1日1回,6日間反復経口投与した場合の1日目及び6日目の本剤の血清中濃度推移に変化は認められず、また、患者にそれぞれ本剤26,28及び60mg/kgを経口投与した場合の投与後24時間までの各回の尿中排泄率は49~76%を示し各個体で投与回数と関係なく一定であった。

【臨床成績】5),6)

慢性骨髄性白血病に対する臨床試験の成績は奏効率91.7% (222/242)であり、そのうち完全寛解は54.1% (131/242)であった。

【薬効薬理】

- 1. 可移植性腫瘍に対する抗腫瘍効果70.80
 - (1) L1210白血病細胞を移植したマウスに対して優れた抗腫瘍 効果を示した他、軽度ではあるが各種可移植性腫瘍に対し ても抗腫瘍効果が認められた。
 - (2) 他剤耐性白血病に対する抗腫瘍効果 8-アザグアニン、メトトレキサート及び2-アミノ-6-プリンチオールの各々に耐性を獲得したL1210白血病細胞を 移植したマウスに対して優れた抗腫瘍効果が認められた。

2. 作用機序9)~11)

本剤は細胞周期上のS期の細胞に作用し、リボヌクレオチドをデオキシリボヌクレオチドに変換する酵素であるリボヌクレオチドレダクターゼを阻害することによりDNAの合成を阻害するとされている。

【有効成分に関する理化学的知見】

一般名:ヒドロキシカルバミド(Hydroxycarbamide)

化学名:ヒドロキシ尿素(Hydroxyurea)

構造式: H₂NCONHOH 分子式: CH₄N₂O₂ 分子量: 76.05

融 点:133℃以上(分解)

性 状:ヒドロキシカルバミドは白色〜微黄白色の結晶性の粉末 である。水及び熱エタノール(95)に溶けやすく,エタノ ール(95)に溶けにくく,ジエチルエーテルにほとんど溶 けない。

【包 装】

ハイドレアカプセル500mg: 100カプセル(PTP)

【主要文献及び文献請求先】

主要文献

- 1)医療上の必要性の高い未承認薬・適応外薬検討会議 公知申請 への該当性に係る報告書:ヒドロキシカルバミド(本態性血小 板血症)
- 2)医療上の必要性の高い未承認薬・適応外薬検討会議 公知申請 への該当性に係る報告書:ヒドロキシカルバミド(真性多血症)
- 3) B. H. Bolton, et al.: Cancer Chemother. Rep., 46, 1(1965)
- 4) J. D. Davidson, et al.: Cancer Chemother. Rep., 27, 97 (1963)
- 5)浦部晶夫ほか:医学と薬学, **24**(6), 1571(1990) 6)浦部晶夫ほか:医学と薬学, **26**(2), 399(1991)
- 7) I. Wepierre, et al.: 社内資料
- 8) B. Stearns, et al.: J. Med. Chem., 6, 201 (1963)
- 9) V. Bianch, et al.: J. Biol. Chem., **261** (34), 16037 (1986)
- 10) C. W. Young, et al.: Cancer. Res., 27, 526(1967)
- 11) R. C. Donehower: Cancer Chemotherapy-Principles & Practice. B. A. Chabner, J. M. Collins, ed., J. B. Lippincott Company (Philadelphia), 225–233 (1990)

※※文献請求先

ブリストル・マイヤーズ スクイブ株式会社 メディカル情報グループ (住所) 東京都新宿区西新宿 6-5-1

(TEL) 0120-093-507

®登録商標

し 製造販売元 ブリストル・マイヤーズ スクイブ 株式会社 _{東京都新宿区西新宿6-5-1}



(3)

Ropeginterferon alfa-2b ベスレミ皮下注 250 μ g シリンジ ベスレミ皮下注 500 μ g シリンジ

第1部 申請書等行政情報及び添付文書に関する情報

1.8 添付文書 (案)

ファーマエッセンシアジャパン株式会社

略号一覧表

略語・用語	内容
AUEClast	area under the serum biomarker effect-time curve : 0 時間から最終測定時点
	までの効果-時間曲線下面積
β2M	β2-microglobulin: β2-ミクログロブリン
CHR	complete hematological response:血液学的完全奏効
Emax	maximum serum biomarker response:最大血清中バイオマーカー反応
HCT	hematocrit: ヘマトクリット
HU	hydroxyurea:ヒドロキシウレア
ITT	intent-to-treat
JAK	Janus kinase: ヤヌスキナーゼ
PLT	platelet:血小板
PV	polycythemia vera:真性多血症
t _{max}	time of maximum serum concentration:最高血清中濃度到達時間
WBC	white blood cell:白血球
WHO	World Health Organization:世界保健機関

目次

		貝
略号-	- 覧表	2
	添付文書(案)	
1.8.1	効能・効果の設定根拠	4
1.8.2	用法・用量の設定根拠	7
1.8.3	使用上の注意の設定根拠	8
	添付文書(案)	

- 1.8 添付文書(案)
- 1.8.1 効能・効果の設定根拠
- 1.8.1.1 効能・効果、効能・効果に関連する注意

効能・効果 (案)

真性多血症 (既存治療が効果不十分又は不適当な場合に限る)

効能・効果に可憐する使用上の注意(案)

5. 臨床試験に組み入れられた患者の前治療歴等について、臨床成績の項の内容を熟知し、 本剤の有効性及び安全性を十分理解した上で、適応患者の選択を行うこと。

1.8.1.2 効能・効果の設定根拠

日本人の真性多血症 (PV) 患者を対象としてロペグインターフェロン アルファ-2b 注射剤 (以下、本剤) の有効性、安全性を検討するための多施設共同、単群、非盲検、第 II 相試験 (A19-201 試験) を実施した。主な組入れ基準は、20 歳以上、WHO 2008 又は WHO 2016 の分類に基づき PV と診断され、現在の標準 PV 治療の適用が困難な患者、HU 治療に不耐容な患者、又は細胞減少治療歴のない患者、とした。

主要評価項目である 9、12 ヵ月時両方で CHR を達成した症例の割合は 27.59% (95%CI, 12.73~47.24、表 1) であった。中央検査測定による血液学的完全奏功 (CHR) は経時的に増加し、12 週時が 3.45% (95%CI, 0.09~17.76)、24 週時が 34.48% (95%CI, 17.94~54.33)、36 週時が 31.03% (95%CI, 15.28~50.83)、52 週時が 51.72% (95%CI, 32.53~70.55) であった (図 1)。

表 1 9、12 ヵ月時の両時点で CHR を達成した症例の割合: ITT (A19-201 試験)

		N = 29 n (% [95% CI])
主要評価項目: CHR率(中央検査測定)	奏効例	8 (27.59% [12.73~47.24])
	非奏効例	21 (72.41% [52.76~87.27])
主要評価項目: CHR率(各医療機関での測定)	奏効例	14 (48.28% [29.45~67.47])
	非奏効例	15 (51.72% [32.53~70.55])

Source: Module 5.3.5.2-1 A19-201 試験総括報告書 表 14.2.1.1.1

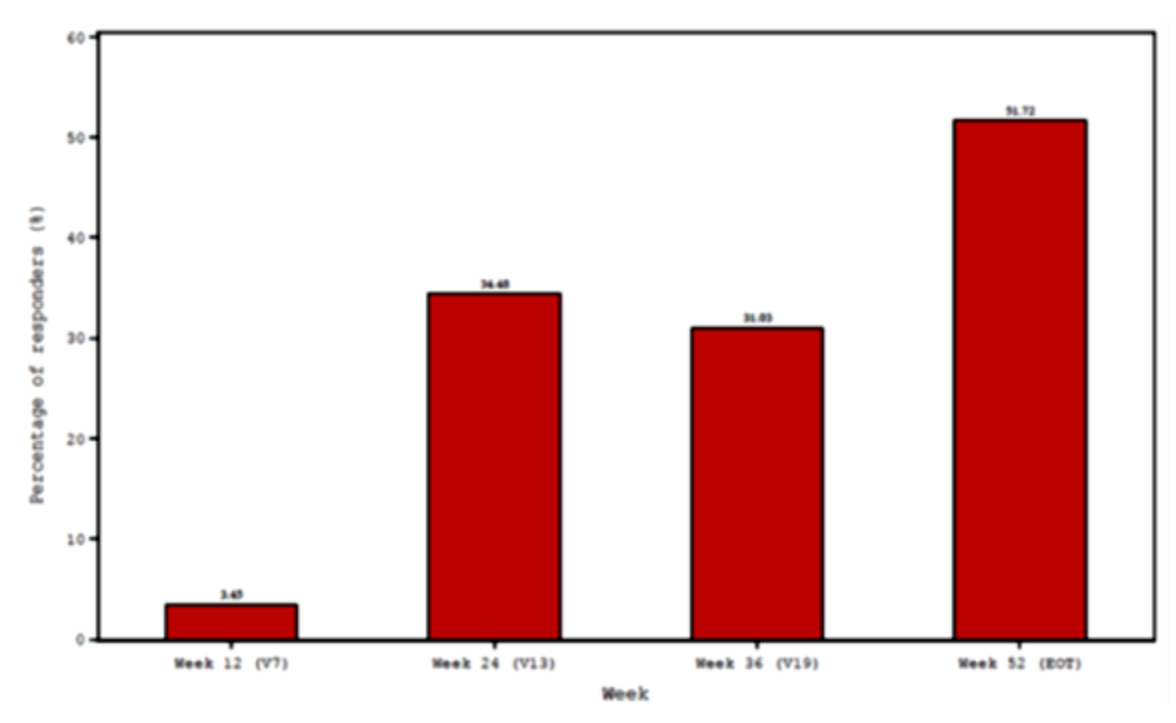


図 1 CHR 率 (中央検査測定): ITT (A19-201 試験)

Source: Module 5.3.5.2-1 A19-201 試験総括報告書 図 14.2.1

A19-201 試験の対象 PV 患者及び結果に基づき、本剤の効能・効果を「真性多血症(既存治療が効果不十分又は不適当な場合に限る)」と設定した。

効能・効果に関連する使用上の注意の設定根拠

5. 臨床試験に組み入れられた患者の前治療歴等について、臨床成績の項の内容を熟知し、 本剤の有効性及び安全性を十分理解した上で、適応患者の選択を行うこと。

根拠:

本剤の効能・効果は、A19-201 試験の結果に基づき設定したことから、本剤の適応患者の選択に際し、臨床成績の項の内容を熟知し、本剤の有効性及び安全性を十分理解する必要があると考え、注意喚起することとした。

1.8.2 用法・用量の設定根拠

1.8.2.1 用法・用量、用法・用量に関連する注意

用法・用量(案)

通常、成人には、ロペグインターフェロン アルファ-2b(遺伝子組換え)(インターフェロン アルファ-2b(遺伝子組換え)として)1回 100 μ g(他の細胞減少療法薬を投与中の場合は 50 μ g)を開始用量とし、2週に1回皮下投与する。患者の状態により適宜増減するが、増量は 50 μ g ずつ行い、1回 500 μ g を超えないこと。

1.8.2.2 用法・用量の設定根拠

本剤の用法・用量は、オーストリアで実施された PV 患者を対象とした第 I/II 相非盲検用量設定試験(PEGINVERA 試験)で評価された。その後、PEGINVERA 試験の結果を基に、第 III 相試験(PROUD-PV 試験)の用法・用量が決定された。

日本人については、白人との薬物動態を比較した第 I 相試験(A17-102 試験)をオーストラリアで実施した。A17-102 試験では、本剤 3 用量(100、200 及び 300 μ g)を単回漸増投与し、 β 2M 及びネオプテリンの血清中濃度を測定した。PD パラメータ(t_{max} 、 E_{max} 及び AUE C_{last})には日本人被験者と白人被験者で顕著な差は認められなかった。

そこで、日本人 PV 患者を対象とした A19-201 試験では、PROUD-PV 試験と同様の用法・用量を選択し、日本人における本剤の有効性及び安全性が確認された。

よって、本剤では、A19-201 試験と同様の用法・用量を設定した。

1.8.2.3 用法・用量に関連する注意の設定根拠

- 7.1. 本剤投与中は、定期的に血液学的検査を実施し、好中球数、血小板数、ヘモグロビンを確認し、用量を調整すること。
- 7.2. 本剤の投与中に副作用があらわれた場合は、以下の基準を参考に、本剤を休薬又は減量すること。
 - 好中球数が750/mm3未満に減少した場合、用量を50 μg減量することを考慮する。
 - 好中球数が500/mm³未満に減少した場合、グレード1以下に回復するまで休薬する。回 復後に投与を再開する場合、休薬前の用量から50 μg減量する。
 - 上記以外のグレード2の副作用が認められた場合、用量を50 μg減量することを考慮する。
 - 上記以外のグレード3以上の副作用が認められた場合、グレード1以下に回復するまで 休薬する。回復後に投与を再開する場合、休薬前の用量から50 μg減量する。
- 注) グレードは Common Terminology Criteria for Adverse Events (CTCAE) v 4.03 に準じる。

根拠:本剤により期待される効果を得るためには、定期的な血液学的検査により、血液学的奏功の状態を確認する必要があると考え設定した。用量を調整する基準の追記については、治験での手順を記載した。

1.8.3 使用上の注意の設定根拠

世界上の注意の設定依拠 使用上の注意(案)	
1. 警告	BC/C 240
1.1. 本剤は、緊急時に十分対応できる医療施設において、造血器悪性腫瘍の治療に対して十分な知識・経験を持つ医師のもとで、本剤の投与が適切と判断される症例についてのみ投与すること。また、本剤による治療開始に先立ち、患者又はその家族に有効性及び危険性を十分に説明し、同意を得てから投与を開始すること。	1.1. 本剤の使用にあたっては、 造血器悪性腫瘍の治療に十分 な知識・経験を持つ医師のもと で適正使用が遵守され、且つ患 者又はその家族に有効性及び 安全性を理解いただき、同意を 得てから投与する必要がある ことから設定した。
1.2. 本剤の投与により間質性肺炎、自殺企図があらわれることがあるので、十分留意し、患者に対し副作用発現の可能性について十分説明すること。[8.2、8.7、9.1.1、9.1.7、11.1.1、11.1.6 参照]	1.2. 他のインターフェロン製剤の記載に準じて設定した。
2. 禁忌(次の患者には投与しないこと)2.1. 本剤、他のインターフェロン製剤又はワクチン等生物学的製剤に対し過敏症の既往歴のある患者	2.1. 一般的な注意事項として設定した。また、他のインターフェロン製剤の記載に準じて設定した。
2.2. 小柴胡湯を投与中の患者 [10.1 参照]	2.2. 他のインターフェロン製剤の記載に準じて設定した。
2.3. 自己免疫性肝炎の患者 [肝炎が悪化することがある。]	2.3. 他のインターフェロン製剤の記載に準じて設定した。
2.4. 非代償性肝疾患の患者 [肝炎が悪化することがある。]	2.4. 本剤の米国添付文書に準 じて設定した。
8. 重要な基本的注意 8.1. 過量投与を防ぐため、あらかじめプレフィルドシリンジ 内の過量の薬液を廃棄して、シリンジ内に残った必要投与量 を投与すること。	8.1. 本剤のプレフィルドシリンジは細く、薬剤量を表記した目盛数字も小さいため、皮下投与時に注射部位に針を刺したままでの用量調整には注意を要する。そこで、正確な投与量(50~500 µg)を投与するために、あらかじめ必要薬液量を調製しておくことが重要である

使用上の注意(案)	設定根拠
	と考え、投与前に過量薬液を廃 棄する手順を明記した。
8.2. 抑うつ、自殺企図をはじめ、躁状態、攻撃的行動、不眠、不安、焦燥、興奮、攻撃性、易刺激性等の精神神経症状発現の可能性について患者及びその家族に十分理解させ、これらの症状があらわれた場合には直ちに連絡するように注意を与えること。[1.2、9.1.1、11.1.1 参照]	8.2. 他のインターフェロン製剤の記載に準じて設定した。
8.3. 意識障害、失神、昏睡、錯乱等を発現することがあるので、本剤投与中の患者には、自動車の運転、機械の操作になるべく従事させないよう注意すること。[11.1.2 参照]	8.3. 他のインターフェロン製剤の記載に準じて設定した。
8.4. 骨髄機能抑制、肝機能障害、急性腎障害、甲状腺機能障害等があらわれることがあるので、投与開始前及び投与中は定期的に臨床検査(血液検査、肝機能検査、腎機能検査、甲状腺機能検査等)を行うこと。[9.1.3、9.1.4、11.1.3、11.1.8、11.1.9、11.1.13 参照]	8.4. 他のインターフェロン製剤の記載に準じて設定した。
8.5. 糖尿病が増悪又は発症することがあるので、投与開始前及び投与中は定期的に検査(血糖値、尿糖等)を行うこと。 [9.1.5、11.1.4 参照]	8.5. 他のインターフェロン製剤の記載に準じて設定した。
8.6. 心臓障害があらわれることがあるので、定期的に心電図検査を行うなど観察を十分に行うこと。[9.1.6、11.1.5 参照]	8.6. 他のインターフェロン製剤の記載に準じて設定した。
8.7. 間質性肺炎があらわれることがあるので、発熱、咳嗽、呼吸困難等の呼吸器症状に十分に注意すること。間質性肺炎の既往歴のある患者に使用するにあたっては、特に定期的に聴診、胸部 X 線等の検査を行うなど、十分に注意すること。また、咳嗽、呼吸困難等があらわれた場合には直ちに連絡するよう患者に対し注意を与えること。[1.2、9.1.7、11.1.6 参照]	8.7. 他のインターフェロン製剤の記載に準じて設定した。
8.8. 網膜症等の眼障害があらわれることがあるので、定期的に眼底検査を行うなど観察を十分に行うこと。また、視力低下、視野中の暗転が出現した場合は速やかに医師の診察を受けるよう患者を指導すること。[11.1.7 参照]	8.8. 他のインターフェロン製剤の記載に準じて設定した。
8.9. 溶血性尿毒症症候群、血栓性血小板減少性紫斑病があら	8.9. 他のインターフェロン製

 使用上の注意(案)	設定根拠
われることがあるので、定期的に血液検査(血小板数、赤血球数、末梢血液像等)及び腎機能検査を行うなど観察を十分に行うこと。[11.1.17 参照]	剤の記載に準じて設定した。
8.10. 過敏症等の反応を予測するため十分な問診を行うとともに、あらかじめ本剤によるプリック試験又は皮内反応試験を行うことが望ましい。[11.1.18 参照]	8.10. 他のインターフェロン製剤の記載に準じて設定した。
8.11. 本剤の投与初期において、一般に発熱がみられる。その程度は個人差が著しいが、高熱を呈する場合もあるので、電解質を含む水分補給等、発熱に対してあらかじめ十分に配慮すること。	8.11. 他のインターフェロン製剤の記載に準じて設定した。
9. 特定の背景を有する患者に関する注意9.1. 合併症・既往歴等のある患者9.1.1. 中枢・精神神経障害のある患者又はその既往歴のある患者中枢・精神神経障害が増悪することがある。[1.2、8.2、11.1.1 参照]	9.1.1. 他のインターフェロン 製剤の記載に準じて設定した。
9.1.2. 痙攣発作のある患者 症状が増悪することがある。[11.1.2 参照]	9.1.2. 他のインターフェロン 製剤の記載に準じて設定した。
9.1.3. 甲状腺機能障害又はその既往歴のある患者 甲状腺機能障害が悪化することがある。[8.4、11.1.3 参照]	9.1.3. 他のインターフェロン 製剤の記載に準じて設定した。
9.1.4. 骨髄機能抑制のある患者 重度の白血球減少、血小板減少を起こすことがあり、感染症 や出血傾向を合併しやすい。[8.4、11.1.13、11.1.14 参照]	9.1.4. 他のインターフェロン 製剤の記載に準じて設定した。
9.1.5. 糖尿病の患者又はその既往歴、家族歴のある患者、耐糖能障害のある患者 糖尿病が増悪又は発症するおそれがある。[8.5、11.1.4 参照]	9.1.5. 他のインターフェロン 製剤の記載に準じて設定した。
9.1.6. 心疾患のある患者又はその既往歴のある患者 心疾患が増悪することがある。[8.6、11.1.5 参照	9.1.6. 他のインターフェロン 製剤の記載に準じて設定した。
9.1.7. 間質性肺炎のある患者又はその既往歴のある患者 間質性肺炎が増悪又は再発することがある。[1.2、8.7、11.1.6	9.1.7. 他のインターフェロン 製剤の記載に準じて設定した。

	設定根拠
参照]	
9.1.8. 自己免疫疾患(ただし自己免疫性肝炎を除く)又は その素因のある患者 定期的に検査を行うなど観察を十分に行い、慎重に投与する こと。疾患が増悪又は顕性化することがある。[11.1.16 参照]	9.1.8. 他のインターフェロン 製剤の記載に準じて設定した。
9.1.9. 高血圧症の患者 脳出血等の脳血管障害があらわれることがある。[11.1.14 参 照]	9.1.9. 他のインターフェロン 製剤の記載に準じて設定した。
9.1.10. アレルギー素因のある患者	9.1.10. 他のインターフェロン 製剤の記載に準じて設定した。
9.2. 腎機能障害患者 9.2.1. 重度の腎機能障害のある患者 腎障害が悪化するおそれがある。[11.1.9 参照]	9.2. 一般的な注意事項として設定した。
9.3. 肝機能障害患者 9.3.1. 重度の肝機能障害のある患者(ただし非代償性肝疾 患の患者又は自己免疫性肝炎の患者を除く) 肝障害が悪化するおそれがある。[11.1.8 参照]	9.3. 一般的な注意事項として設定した。
9.4. 生殖能を有する者 妊娠する可能性のある女性には、本剤投与中及び最終投与後 一定期間は適切な避妊法を用いるように指導すること。[9.5 参照]	9.4. 一般的な注意事項として設定した。
9.5. 妊婦 妊婦又は妊娠している可能性のある女性には、治療上の有益 性が危険性を上回ると判断される場合にのみ投与すること。 本剤のカニクイザルを用いた胚・胎児発生に関する実験にお いて、AUC 比較で臨床曝露量未満に相当する用量から流産及 び胚死亡が認められている。[9.4 参照]	9.5. 妊婦又は妊娠している可能性のある女性における安全性は検討していないこと、本剤のサルを対象にした生殖発生毒性試験(SBL462-004試験)の成績を基に設定した。
9.6. 授乳婦 治療上の有益性及び母乳栄養の有益性を考慮し、授乳の継続 又は中止を検討すること。他のインターフェロン製剤におい てラットで乳汁中への移行が認められている。	9.6. 一般的な注意事項及び他のインターフェロン製剤の記載に準じて設定した。

	an de la la			
使	吏用上の注意(案)			設定根拠
9.7. 小児等 小児等を対象とする闘	富床試験は実施して	ていない。		9.7. 一般的な注意事項として設定した。
9.8. 高齢者 患者の状態を十分に観 般に、生理機能が低下		<u> </u>	9.8. 一般的な注意事項として設定した。	
	の阻害作用を有っ ないこと) 臨床症状・措置方法 他のインターフェロン製剤で、間質性肺炎			10. 本剤は主に代謝酵素チトクローム CYP1A2及び CYP2D6の阻害作用を示すことから、有効性を減弱させる可能性、又は副作用が増強される可能性のある薬剤について記載した。
10.2. 併用注意(併用に 薬剤名等 CYP1A2の基質 テオフィリン チザニジン イミプラミン等	臨床症状・措置方法 これらの薬剤の副作 用が増強されるおそ れがある。	機序・危険因子 ペグインターフェロンアルファ-2b(遺伝子組換え)はCYPIA2の阻害作用を有することから、本剤の併用によりこれらの薬剤の代謝が抑制され、これら薬剤の血中濃度が上昇する可能性がある。		
CYP2D6の基質 メトプロロール アミトリプチリン メトクロパミド等	用が増強されるおそ れがある。	ペグインターフェロン アルファ-2b(遺伝子組換え) はCYP2D6の阻害作用を有することから、本剤の併用によりこれらの薬剤の代謝が抑制され、これら薬剤の血中濃がより、これら薬剤の血中濃がある。		
アンチピリン、ワルファリン	ン製剤との併用で左 記薬剤の血中濃度が 高まることが報告さ れている。			
ジドブジン	ン製剤との併用で骨			
免疫抑制療法				

Ropeginterferon alfa-2b

使用上の注意 (案)	設定根拠
ことがある。	

使用上の注意(案)

11. 副作用

次の副作用があらわれることがあるので、観察を十分に行い、 異常が認められた場合には投与を中止するなど適切な処置を 行うこと。

11.1. 重大な副作用

11.1.1. 抑うつ・うつ病、自殺企図、躁状態、攻撃的行動(頻度不明)

抑うつ、自殺企図があらわれることがある。また、躁状態、攻撃的行動があらわれ、他害行為に至ることがある。不眠、不安、焦燥、興奮、攻撃性、易刺激性等があらわれた場合には投与を中止するなど、投与継続の可否について慎重に検討すること。また、これらの症状が認められた場合には、投与終了後も観察を継続することが望ましい。[1.2、8.2、9.1.1 参照]

11.1.2. 意識障害、失神、見当識障害、痙攣、昏睡、せん妄、 錯乱、幻覚、認知症様症状(特に高齢者)(頻度不明)

11.1.3. 甲状腺機能異常

甲状腺機能亢進 (0.1%未満) 又は低下 (2.6%) が増悪又は発症することがある。甲状腺機能の管理が難しい場合には、投与の中止を考慮すること。[8.4、9.1.3 参照]

11.1.4. 糖尿病 (頻度不明)

糖尿病が増悪又は発症することがあり、糖尿病性ケトアシドーシス、昏睡に至ることがある。[8.5、9.1.5 参照]

11.1.5. 心臟障害 (頻度不明)

心筋症、心不全、心筋梗塞、狭心症、不整脈(心房細動、心室性頻脈等)等があらわれることがある。[8.6、9.1.6 参照]

11.1.6. 間質性肺炎(頻度不明)

発熱、咳嗽、呼吸困難等の呼吸器症状、また、胸部 X 線異常があらわれた場合には投与を中止し、副腎皮質ホルモン剤の投与等の適切な処置を行うこと。[1.2、8.7、9.1.7 参照]

11.1.7. 眼障害

網膜症(頻度不明)等があらわれることがあるので、網膜出血、軟性白斑及び糖尿病網膜症の増悪に注意すること。[8.8 参

設定根拠

11. A19-201 試験及び PROUD-PV 試験の結果、本剤の米国添付文書及び欧州添付文書 (SmPC)に基づき設定した。また、他のインターフェロン製剤の記載に準じて設定した

使用上の注意(案)	設定根拠

照]

11.1.8. 肝機能障害 (23.7%)

黄疸や著しいトランスアミナーゼの上昇を伴う肝機能障害が あらわれた場合には速やかに投与を中止し、適切な処置を行 うこと。

11.1.9. 急性腎障害 (頻度不明)

急性腎障害、ネフローゼ症候群等があらわれることがある。 [8.4、9.2.1 参照]

11.1.10. 皮膚障害 (頻度不明)

中毒性表皮壊死融解症(Toxic Epidermal Necrolysis: TEN)、皮膚粘膜眼症候群(Stevens-Johnson 症候群)等の重篤な皮膚障害があらわれることがある。

11.1.11. 感染症 (頻度不明)

易感染性となり、敗血症、肺炎等があらわれることがある。

11.1.12. 消化管障害 (頻度不明)

消化管出血(下血、血便等)、消化性潰瘍、虚血性大腸炎等があらわれることがある。

11.1.13. 骨髄抑制

白血球数減少 (3.2%)、血小板数減少 (1.9%)、汎血球減少 (頻度不明)、無顆粒球症 (頻度不明)、白血球減少症 (7.0%)、血小板減少症 (12.1%)、貧血 (6.4%) 等があらわれることがある。[8.4、9.1.4 参照]

11.1.14. 出血

脳出血(頻度不明)等があらわれることがある。[9.1.4、9.1.9 参照]

11.1.15. 血栓塞栓症(頻度不明)

脳梗塞、肺塞栓症等があらわれることがある。

11.1.16. 自己免疫疾患(頻度不明)

自己免疫現象によると思われる症状・徴候[肝炎、溶血性貧血、特発性血小板減少性紫斑病(ITP)、潰瘍性大腸炎、関節リウマチ、乾癬、全身性エリテマトーデス、血管炎、フォーク

使用上の注意(案)	設定根拠

ト・小柳・原田病等]があらわれることがある。[9.1.8 参照]

11.1.17. 溶血性尿毒症症候群 (HUS)、血栓性血小板減少性紫斑病 (TTP) (頻度不明)

血小板減少、貧血、腎不全を主徴とする HUS、TTP があらわれることがある。 $[8.9 \, \delta \mathrm{M}]$

11.1.18. 過敏症

ショック(頻度不明)等があらわれることがあるので、不快感、口内異常、ぜん鳴、眩暈、便意、発汗、血圧低下等があらわれた場合には投与を直ちに中止すること。[8.10 参照]

11.2. その他の副作用注1)

	5%以上	1~5%未満	1%未満	
全身症状	インフルエ	倦怠感	悪寒、疼痛	
	ンザ様疾患			
	(9.6%)、			
	疲労 (11.5%)			
精神•神	(11.3/0)	気分動揺、	感情的苦	
経系		頭痛、浮動	悩、気分変	
		性めまい、	化、神経根	
		傾眠	障害	
肝臓			血中アルカ	
			リフォスフ	
			アターゼ上	
/正元日日			昇 科	
循環器			動悸、心室 壁運動低下	
消化器	下痢(5.8%)	脂溶 亜	上腹部痛、	
1月71日在社	1 1 (3.070)	心、便秘	工版部/開、 口内乾燥	
皮膚	脱毛症	発疹、湿	多汗症、光	
	(14.1%),	疹、紅斑、	線過敏性反	
	そう痒症	乾皮症	応、全身性	
	(6.4%)		そう痒症	
神経・筋	筋肉痛	四肢痛、筋	骨痛、筋骨	
	(8.3%)	骨格痛	格系胸痛	
	関節痛 (6.4%)			
呼吸器	(0.4%)		咽喉刺激	
叮奴舶			感、労作性	
			呼吸困難	
眼			ドライア	
			イ、霧視	
投与部位			注射部位疼	
			痛、注射部	
			位そう痒感	
その他		血中甲状腺	血中乳酸脱	
	クログロブ	刺激ホルモ	水素酵素増	
	リン増加	ン増加、抗	加、血中尿	

 使用上の注意(案)	設定根拠
使用上の注意(案)	設定根拠
14. 適用上の注意 14.1.薬剤調製時の注意	14. 一般的な注意事項として 設定した。
14.1.	IXAE レル。
14.2.薬剤投与時の注意	
14.2.1. 注射部位は毎回変更し、同一部位への反復注射は行	
わないこと。	
15. その他の注意	15. A19-201 試験の結果に基づ
15.1. 臨床使用に基づく情報	き設定した。
国内臨床試験において、本剤に対する抗体の産生が報告され	
ている。	

1.8.4 添付文書(案)

2021年xx月作成(第1版)

貯 法:凍結を避け、2~8℃で保存

有効期間: 36箇月(500 μgシリンジ), 24箇月 (250 μgシリンジ)

抗悪性腫瘍剤 / ロペグインターフェロン α -2b製剤

劇薬、処方箋医薬品注)

ベスレミ皮下注250 μ g シリンジベスレミ皮下注500 μ g シリンジ

ロペグインターフェロン アルファ-2b(遺伝子組換え)注 **BESREMi**® Subcutaneous Injection Syringes

注)注意-医師等の処方箋により使用すること

250 μg 500 μg 承認番号 販売開始

日本標準商品分類番号

874291

1. 警告

- 1.1. 本剤は、緊急時に十分対応できる医療施設において、造血器悪性腫瘍の治療に対して十分な知識・経験を持つ医師のもとで、本剤の投与が適切と判断される症例についてのみ投与すること。また、本剤による治療開始に先立ち、患者又はその家族に有効性及び危険性を十分に説明し、同意を得てから投与を開始すること。
- 1.2. 本剤の投与により間質性肺炎、自殺企図があらわれることがある ので、十分留意し、患者に対し副作用発現の可能性について十分説 明すること。[8.2、8.7、9.1.1、9.1.7、11.1.1、11.1.6参照]

2. 禁忌(次の患者には投与しないこと)

- 2.1. 本剤の成分、他のインターフェロン製剤又はワクチン等生物学的 製剤に対し過敏症の既往歴のある患者
- 2.2. 小柴胡湯を投与中の患者 [10.1参照]
- 2.3. 自己免疫性肝炎の患者 [肝炎が悪化することがある。]
- 2.4. 非代償性肝疾患の患者 [症状が悪化することがある。]

3. 組成•性状

3.1. 組成

		ベスレミ皮下注		
	販売名		500 μg シリンジ	
ロペグインターフェロン 有効成分 アルファ-2b (遺伝子組換え)		1シリンジ中 250 µg ^{**} /0.5 mL	1シリンジ中 500 µg*/1 mL	
	ベンジルアルコール	5.0 mg	10.0 mg	
	ポリソルベート80	0.025 mg	0.05 mg	
添加剤	無水酢酸ナトリウム	0.79 mg	1.58 mg	
	氷酢酸	0.025 mg	0.05 mg	
	塩化ナトリウム	4.0 mg	8.0 mg	

※:インターフェロン アルファ-2b(遺伝子組換え)として本剤は大腸菌を用いて製造される。

3.2. 製剤の性状

11年力	ベスレミ皮下注 ベスレミ皮下注		
販売名	250 μgシリンジ	500 μgシリンジ	
性状	無色~淡黄色の液		
pН	6.0 ± 0.5		
浸透圧比	約1.4(生理食塩	液に対する比)	

4. 効能又は効果

真性多血症 (既存治療が効果不十分又は不適当な場合に限る)

5. 効能又は効果に関連する注意

臨床試験に組み入れられた患者の前治療歴等について、「17. 臨床 成績」項の内容を熟知し、本剤の有効性及び安全性を十分理解し た上で、適応患者の選択を行うこと。[17.1.1参照]

6. 用法及び用量

通常、成人には、ロペグインターフェロン アルファ-2b(遺伝子組換え)(インターフェロン アルファ-2b(遺伝子組換え)として)1回100 μ g(他の細胞減少療法薬を投与中の場合は50 μ g)を開始用量とし、2週に1回皮下投与する。患者の状態により適宜増減するが、増量は50 μ gずつ行い、1回500 μ gを超えないこと。

7. 用法及び用量に関連する注意

- 7.1. 本剤投与中は、定期的に血液学的検査を実施し、好中球数、血小板数、ヘモグロビン量を確認し、用量を調整すること。
- 7.2. 本剤の投与中に副作用があらわれた場合は、以下の基準を参考に、 本剤を休薬又は減量すること。

本剤の用量調節基準

	副作用	程度注)	用量調節及び処置
好中球減少	好中球	好中球数 750/mm³ 未満	用量を 50 μg 減量することを考慮する。
	減少	好中球数 500/mm³ 未満	グレード 1 以下に回復するまで休薬する。回復後に投与を再開する場合、休薬前の用量から 50 μg 減量する。
	1 -0 0 1 4	グレード 2	用量を 50 μg 減量することを考慮する。
	上記以外 の副作用	グレード 3 以上	グレード 1 以下に回復するまで休薬する。回復後に投与を再開する場合、休薬前の用量から 50 μg 減量する。

注) グレードはCommon Terminology Criteria for Adverse Events (CTCAE) v 4.03に準じる。

8. 重要な基本的注意

- 8.1. 過量投与を防ぐため、あらかじめプレフィルドシリンジ内の過量の 薬液を廃棄して、シリンジ内に残った必要投与量を投与すること。
- 8.2. 抑うつ、自殺企図をはじめ、躁状態、攻撃的行動、不眠、不安、焦燥、興奮、攻撃性、易刺激性等の精神神経症状発現の可能性について 患者及びその家族に十分理解させ、これらの症状があらわれた場合に は直ちに連絡するように注意を与えること。 [1.2、9.1.1、11.1.1参 昭]
- 8.3. 意識障害、失神、昏睡、錯乱等を発現することがあるので、本剤投与中の患者には、自動車の運転、機械の操作になるべく従事させないよう注意すること。 [11.1.2参照]
- 8.4. 骨髄機能抑制、肝機能障害、急性腎障害、甲状腺機能障害等があら われることがあるので、投与開始前及び投与中は定期的に臨床検査 (血液検査、肝機能検査、腎機能検査、甲状腺機能検査等)を行うこ と。 [9.1.3、9.1.4、11.1.3、11.1.8、11.1.9、11.1.13参照]
- 8.5. 糖尿病が増悪又は発症することがあるので、投与開始前及び投与中は定期的に検査(血糖値、尿糖等)を行うこと。 [9.1.5、11.1.4参照]
- 8.6. 心臓障害があらわれることがあるので、定期的に心電図検査を行うなど観察を十分に行うこと。 [9.1.6、11.1.5参照]
- 8.7. 間質性肺炎があらわれることがあるので、発熱、咳嗽、呼吸困難等の呼吸器症状に十分に注意すること。間質性肺炎の既往歴のある患者に使用するにあたっては、特に定期的に聴診、胸部X線等の検査を行うなど、十分に注意すること。また、咳嗽、呼吸困難等があらわれた場合には直ちに連絡するよう患者に対し注意を与えること。 [1.2、9.1.7、11.1.6参照]
- 8.8. 網膜症等の眼障害があらわれることがあるので、定期的に眼底検査を行うなど観察を十分に行うこと。また、視力低下、視野中の暗転が出現した場合は速やかに医師の診察を受けるよう患者を指導すること。 [11.1.7参照]
- 8.9. 溶血性尿毒症症候群、血栓性血小板減少性紫斑病があらわれることがあるので、定期的に血液検査(血小板数、赤血球数、末梢血液像等)及び腎機能検査を行うなど観察を十分に行うこと。 [11.1.17参照]
- 8.10. 過敏症等の反応を予測するため十分な問診を行うとともに、あらかじめ本剤によるプリック試験又は皮内反応試験を行うことが望ましい。 [11.1.18参照]

- 8.11. 本剤の投与初期において、一般に発熱がみられる。その程度は 個人差が著しいが、高熱を呈する場合もあるので、電解質を含む 水分補給等、発熱に対してあらかじめ十分に配慮すること。
- 9. 特定の背景を有する患者に関する注意
- 9.1. 合併症・既往歴等のある患者
- 9.1.1. 中枢・精神神経障害のある患者又はその既往歴のある患者 中枢・精神神経障害が増悪することがある。 [1.2、8.2、11.1.1 参照]
- 9.1.2. 痙攣発作のある患者

症状が増悪することがある。 [11.1.2参照]

9.1.3. 甲状腺機能障害又はその既往歴のある患者

甲状腺機能障害が悪化することがある。 [8.4、11.1.3参照]

9.1.4. 骨髄機能抑制のある患者

重度の白血球減少、血小板減少を起こすことがあり、感染症や 出血傾向を合併しやすい。 [8.4、11.1.13、11.1.14参照]

9.1.5. 糖尿病の患者又はその既往歴、家族歴のある患者、耐糖能障 害のある患者

糖尿病が増悪又は発症するおそれがある。 [8.5、11.1.4参照]

- 9.1.6. 心疾患のある患者又はその既往歴のある患者 心疾患が増悪することがある。 [8.6、11.1.5参照]
- 9.1.7. 間質性肺炎のある患者又はその既往歴のある患者 間質性肺炎が増悪又は再発することがある。 [1.2、8.7、11.1.6 参照]
- 9.1.8. 自己免疫疾患(ただし自己免疫性肝炎を除く)又はその素因 のある患者

定期的に検査を行うなど観察を十分に行い、慎重に投与すること。疾患が増悪又は顕性化することがある。 [11.1.16参照]

9.1.9. 高血圧症の患者

脳出血等の脳血管障害があらわれることがある。 [11.1.14参照]

9.1.10. アレルギー素因のある患者

9.2. 腎機能障害患者

9.2.1. 重度の腎機能障害のある患者 腎障害が悪化するおそれがある。 [11.1.9参照]

9.3. 肝機能障害患者

9.3.1. 重度の肝機能障害のある患者 (ただし非代償性肝疾患の患者 又は自己免疫性肝炎の患者を除く)

肝障害が悪化するおそれがある。 [11.1.8参照]

9.4. 生殖能を有する者

妊娠する可能性のある女性には、本剤投与中及び最終投与後一定 期間は適切な避妊法を用いるように指導すること。 [9.5参照]

9.5. 妊婦

妊婦又は妊娠している可能性のある女性には、治療上の有益性が 危険性を上回ると判断される場合にのみ投与すること。本剤のカ ニクイザルを用いた胚・胎児発生に関する実験において、AUC比 較で臨床曝露量未満に相当する用量から流産及び胚死亡が認めら れている¹⁾。 [9.4参照]

9.6. 授乳婦

治療上の有益性及び母乳栄養の有益性を考慮し、授乳の継続又は 中止を検討すること。他のインターフェロン製剤においてラット で乳汁中への移行が認められている。

9.7. 小児等

小児等を対象とした臨床試験は実施していない。

9.8. 高齢者

患者の状態を十分に観察しながら、慎重に投与すること。一般に 生理機能が低下している。

10. 相互作用

ペグインターフェロン アルファー2b (遺伝子組換え) はCYPIA2 及び2D6の阻害作用を有する。

10.1. 併用禁忌 (併用しないこと)

薬剤名等	臨床症状・措置方法	機序・危険因子				
小柴胡湯(ツムラ小	他のインターフェロン	作用機序は不明である				
柴胡湯、クラシエ小	製剤で、間質性肺炎が	が、間質性肺炎の発現				
柴胡湯、テイコク小	あらわれることが報告	例には小柴胡湯との併				
柴胡湯エキス等)	されている。	用例が多い。				
[22参照]						

10.2. 併用注意 (併用に注意すること)

薬剤名等	臨床症状・措置方法	機序・危険因子
CYP1A2の基質	これらの薬剤の副作用	ペグインターフェロン
テオフィリン	が増強されるおそれが	アルファ-2b(遺伝子
チザニジン	ある。	組換え)はCYP1A2の
イミプラミン等		阻害作用を有すること
		から、本剤の併用によ
		りこれらの薬剤の代謝
		が抑制され、これら薬
		剤の血中濃度が上昇す る可能性がある。
CYP2D6の基質	これらの薬剤の副作	ペグインターフェロン
メトプロロール	用が増強されるおそ	アルファ-2b(遺伝子
アミトリプチリン	れがある。	組換え) はCYP2D6の
	1,00,00,00	阻害作用を有すること
メトクロプラミド等		から、本剤の併用によ
		りこれらの薬剤の代謝
		が抑制され、これら薬
		剤の血中濃度が上昇す
		る可能性がある。
アンチピリン		肝臓での各種医薬品の
ワルファリン		代謝を抑制することが
	剤の血中濃度が高まる	ある。
	ことが報告されてい	
	る。	// HT ///
ジドブジン	他のインターフェロン	作用機序は不明である
	製剤との併用で骨髄機	が、ともに骨髄機能抑制作用を有するためと
	能抑制作用が増強さ	考えられている。
	れ、白血球減少等の血	みたり40 C 4 . ②。
	球減少が増悪すること	
左右 电压法	がある。	かせいことととなった
免疫抑制療法	他のインターフェロン	
		応が誘発されると考え られている。
	者(腎・骨髄移植等)	540 CV. 3°
	における免疫抑制療法	
	の効果が弱まることが	
	ある。	

11. 副作用

次の副作用があらわれることがあるので、観察を十分に行い、 異常が認められた場合には投与を中止するなど適切な処置を行 うこと。

11.1. 重大な副作用

11.1.1. 抑うつ・うつ病、自殺企図、躁状態、攻撃的行動(いずれも頻度不明)

抑うつ、自殺企図があらわれることがある。また、躁状態、攻撃的行動があらわれ、他害行為に至ることがある。不眠、不安、焦燥、興奮、攻撃性、易刺激性等があらわれた場合には投与を中止するなど、投与継続の可否について慎重に検討すること。また、これらの症状が認められた場合には、投与終了後も観察を継続することが望ましい。 [1.2、8.2、9.1.1参照]

11.1.2. 意識障害、失神、見当識障害、痙攣、昏睡、せん妄、錯 乱、幻覚、認知症様症状(特に高齢者)(いずれも頻度不明)

11.1.3. 甲状腺機能障害

甲状腺機能亢進(0.1%未満)又は低下(2.6%)が増悪又は発症することがある。甲状腺機能の管理が難しい場合には、投与の中止を考慮すること。[8.4、9.1.3参照]

11.1.4. 糖尿病 (頻度不明)

糖尿病が増悪又は発症することがあり、糖尿病性ケトアシドーシス、昏睡に至ることがある。 [8.5、9.1.5参照]

11.1.5. 心臟障害 (頻度不明)

心筋症、心不全、心筋梗塞、狭心症、不整脈(心房細動、心室性頻脈等)等があらわれることがある。 [8.6、9.1.6参照]

11.1.6. 間質性肺炎 (頻度不明)

発熱、咳嗽、呼吸困難等の呼吸器症状、また、胸部X線異常があらわれた場合には投与を中止し、副腎皮質ホルモン剤の投与等の適切な処置を行うこと。 [1.2、8.7、9.1.7参照]

11.1.7. 眼障害

網膜症(頻度不明)等があらわれることがあるので、網膜出血、軟性白斑及び糖尿病網膜症の増悪に注意すること。 [8.8参照]

11.1.8. 肝機能障害 (23.7%)

黄疸や著しいトランスアミナーゼの上昇を伴う肝機能障害があらわれた場合には速やかに投与を中止し、適切な処置を行うこと。 [8.4、9.3.1参照]

11.1.9. 急性腎障害 (頻度不明)

急性腎障害、ネフローゼ症候群等があらわれることがある。 [8.4、9.2.1参照]

11.1.10. 皮膚障害 (頻度不明)

中毒性表皮壊死融解症(Toxic Epidermal Necrolysis: TEN)、皮膚粘膜眼症候群(Stevens-Johnson症候群)等の重篤な皮膚障害があらわれることがある。

11.1.11. 感染症 (頻度不明)

易感染性となり、敗血症、肺炎等があらわれることがある。

11.1.12. 消化管障害 (頻度不明)

消化管出血(下血、血便等)、消化性潰瘍、虚血性大腸炎等があら われることがある。

11.1.13. 骨髄抑制

白血球数減少 (3.2%) 、血小板数減少 (1.9%) 、汎血球減少症 (頻度不明) 、無顆粒球症 (頻度不明) 、白血球減少症 (7.0%) 、血小板減少症 (12.1%) 、貧血 (6.4%) 等があらわれることがある。 [8.4、9.1.4参照]

11.1.14. 出血

脳出血(頻度不明)等があらわれることがある。 [9.1.4、9.1.9参 照]

11.1.15. 血栓塞栓症 (頻度不明)

脳梗塞、肺塞栓症等があらわれることがある。

11.1.16. 自己免疫疾患 (頻度不明)

自己免疫現象によると思われる症状・徴候[肝炎、溶血性貧血、特発性血小板減少性紫斑病(ITP)、潰瘍性大腸炎、関節リウマチ、乾癬、全身性エリテマトーデス、血管炎、フォークト・小柳・原田病等]があらわれることがある。[9.1.8参照]

11.1.17. 溶血性尿毒症症候群(HUS)、血栓性血小板減少性紫斑病(TTP) (頻度不明)

血小板減少、貧血、腎不全を主徴とするHUS、TTPがあらわれることがある。 [8.9参照]

11.1.18. 過敏症

ショック(頻度不明)等があらわれることがあるので、不快感、口内異常、ぜん鳴、眩暈、便意、発汗、血圧低下等があらわれた場合には投与を直ちに中止すること。 [8.10参照]

11.2. その他の副作用

	5%以上	1~5%未満	1%未満
全身症状	インフルエンザ	倦怠感	悪寒、疼痛
	様疾患		
	(9.6%)、疲労		
	(11.5%) 、発		
	熱(6.4%)		
精神•神経		気分動揺、頭	感情的苦悩、気
系		痛、浮動性めま	分変化、神経根
		い、傾眠	障害
肝臓	γ-GTP上昇		血中アルカリフ
	(9.6%)		オスファターゼ
			上昇
循環器			動悸、心室壁運
			動低下
消化器	下痢(5.8%)	腹痛、悪心、便	上腹部痛、口内
		秘	乾燥
皮膚	脱毛症	発疹、湿疹、紅	多汗症、光線過
	(14.1%) 、そ	斑、乾皮症	敏性反応、全身
	う痒症		性そう痒症
	(6.4%)		
神経・筋	筋肉痛	四肢痛、筋骨格	骨痛、筋骨格系
	(8.3%)	痛	胸痛
	関節痛		
	(6.4%)		

	5%以上	1~5%未満	1%未満
呼吸器			咳嗽、咽喉刺激
			感、労作性呼吸
			困難
眼			ドライアイ、霧
			視
投与部位			注射部位疼痛、
			注射部位そう痒
			感
その他	尿中β2ミクロ	血中甲状腺刺激	血中乳酸脱水素
	グロブリン増	ホルモン増加、	酵素増加、血中
	加(20.7%)	抗甲状腺抗体陽	尿酸増加、無痛
		性	性甲状腺炎

注) 国内第Ⅱ相試験 (A19-201試験) ²⁾及び海外第Ⅲ相試験 (PROUD-PV試験) ⁴⁾の結果に基づき頻度を算出した。

14. 適用上の注意

14.1. 薬剤調製時の注意

14.1.1. 本剤は他の製剤との混注を行わないこと。

14.2. 薬剤投与時の注意

14.2.1. 注射部位は毎回変更し、同一部位への反復注射は行わないこと。

15. その他の注意

15.1. 臨床使用に基づく情報

臨床試験において、本剤に対する抗体の産生が報告されている。

16. 薬物動態

16.1. 血中濃度

16.1.1. 単回投与

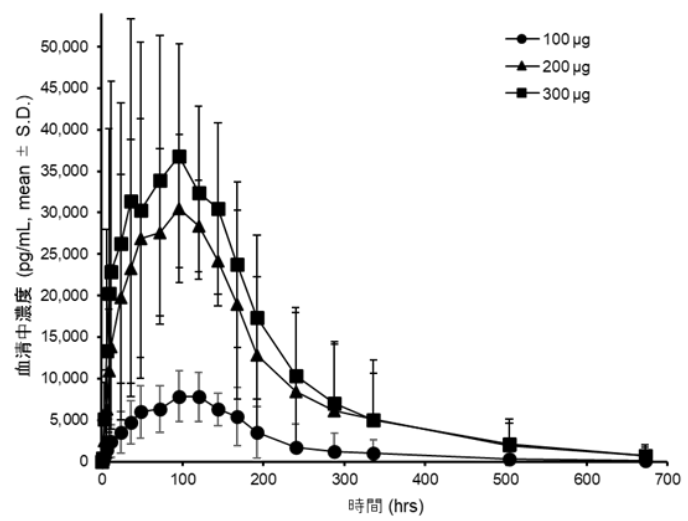
日本人健康成人男子18名に本剤100、200及び300 μgを単回皮 下投与した際の血清中濃度及び薬物動態パラメータ、並びに 血清中濃度の推移を以下に示す³⁾。

薬物動態パラメータ

21411441				
投与量	C _{max} (ng/mL)	AUC_{0-inf} $(ng \cdot h/mL)$	T _{max} 注) (h)	t _{1/2} (h)
100 μg (N=6)	8.421 ± 2.980	1927 ± 1046	110.73 (95- 170.73)	68.95 ± 44.91
200 μg (N=6)	35.21 ± 11.19	6517 ± 2251	108.07 (36- 168.28)	67.11 ± 51.46
300 μg (N=6)	41.40 ± 15.47	7843 ± 1345	108.08 (36- 239.77)	66.52 ± 48.75

平均±標準偏差

注)中央值(最小值-最大值)



17. 臨床成績

17.1. 有効性及び安全性に関する試験

17.1.1. 国内第Ⅱ相試験2)

標準的な治療が困難な真性多血症患者 $^{(\pm 1)}$ を対象とした、非盲検非対照試験において、本剤 $^{(1)}$ 0 $^{(\mu g)}$ (ヒドロキシカルバミド (HU) による治療下の場合は $^{(5)}$ 0 $^{(\mu g)}$ 0 を開始用量として $^{(2)}$ 2週に $^{(1)}$ 1回皮下投与し、その後は血液学的完全奏効 (CHR) $^{(\pm 2)}$ 2 を達成するよう $^{(5)}$ 50 $^{(5)}$ 60 $^{(\mu g)}$ 6 随囲で $^{(2)}$ 2週に $^{(1)}$ 1回皮下投与することとされ $^{(\pm 3)}$ 1、最大 $^{(2)}$ 12カ月投与することとされた。

主要評価項目とされた本剤投与9及び12カ月の両時点において中央 判定によるCHRを達成した患者の割合 [95%信頼区間] (%) は 27.6 [12.7、47.2] (8/29例) であった。

副作用発現頻度は、100%(29/29例)であった。主な副作用は、脱毛症 55.2%(16/29例)、疲労 27.6%(8/29例)、4ンフルエンザ様疾患 27.6%(8/29例)、ALT増加 20.7%(6/29例)等であった。 [5 参昭]

注1:次の①~③のいずれかに該当する患者が標準的な治療が困難な PV 患者とされた。①長期の治療が想定される若年患者。②リスク分類が低リスクであるものの疾患に関連する症状及び徴候により細胞減少療法が推奨される患者。③HU の治療歴があり、欧州白血病ネット(ELN)基準に基づく HU に不耐容の患者。なお、症候性脾腫を有する患者及び ELN 基準に基づき HU に治療抵抗性の患者は除外された。

注2:過去3カ月間で瀉血を要さず、ヘマトクリット (Ht) 値が 45%未満、白血球数が 10×10^9 L 以下かつ血小板数が 400×10^9 L 以下 と定義。

注3:本剤投与開始時点で HU が投与されている場合には、本剤の 増量と並行して、HU を適切に漸減することとされた。

18. 薬効薬理

18.1. 作用機序

ロペグインターフェロン アルファ-2b は、I型インターフェロン (IFN) 受容体に結合し、ヤヌスキナーゼ (JAK) 1 及びチロシンキナーゼ (TYK) 2の活性化を介して、下流のシグナル伝達分子のリン酸化を増加し、IFN誘導遺伝子の発現を増加させ、細胞周期の停止及びアポトーシス誘導を引き起こすこと等により、腫瘍増殖抑制作用を示すと推測されている。しかし、真性多血症 (PV) 患者での効果の発現機序については不明である。

18.2. 腫瘍細胞増殖抑制作用

ロペグインターフェロン アルファ-2bは、in vitroにおいて、変異型 JAK2 (V617F) を有するヒトPV患者由来造血前駆細胞により産生される赤血球数を減少させた。

19. 有効成分に関する理化学的知見

一般的名称:ロペグインターフェロン アルファ-2b (遺伝子組換え)
[Ropeginterferon Alfa-2b (Genetical Recombination)] (JAN)

分子式: C865H1356N230O256S9 (タンパク質部分)

分子量:約61,000

タンパク質部分:19,362

分枝ポリエチレングリコール:約43,000

本 質:ロペグインターフェロン アルファ-2bは、インターフェロン アルファ-2b(遺伝子組換え)類縁体であり、N末端にProが付加され、2本のメトキシポリエチレングリコール鎖(分子量:約43,000)がリンカーを介して結合している(PEG結合部位:Pro1残基)。ロペグインターフェロン アルファ-2bは、166個のアミノ酸残基からなるPEG化タンパク質(分子量:約61,000)である。

20. 取扱い上の注意

外箱開封後は遮光して保存すること。

21. 承認条件

医薬品リスク管理計画を策定の上、適切に実施すること。

22. 包装

〈ベスレミ皮下注250 μgシリンジ〉 シリンジ1本、30G注射針1本 〈ベスレミ皮下注500 μgシリンジ〉 シリンジ1本、30G注射針1本

23. 主要文献

1) 社内資料:生殖発生毒性 (202x年xx月xx日承認、CTD 2.6.6.6)

2) 社內資料:国內第II相試験(A19-201試験) (202x年xx月xx日承認、CTD 2.7.3~2.7.4)

3) 社内資料:海外第I相試験(A17-102試験)(202x年xx月xx日承認、CTD 2.7.2.2)

4) 社内資料:海外第III相試験 (PROUD-PV試験) (202x年xx月xx日承認、CTD 2.7.3~2.7.4)

24. 文献請求先及び問い合わせ先

ファーマエッセンシアジャパン株式会社 医薬品情報センター

〒107-0051 東京都港区元赤坂1-3-13

赤坂センタービル12F 電話:0120-460-010

https://www.pharmaessentiajapan.com/

26. 製造販売業者等

26.1 製造販売元

ファーマエッセンシアジャパン株式会社 〒107-0051 東京都港区元赤坂1-3-13 赤坂センタービル12F

PharmaEssentia

® 登録商標

Ropeginterferon alfa-2b ベスレミ皮下注 250 μ g シリンジ ベスレミ皮下注 500 μ g シリンジ

第1部 申請書等行政情報及び添付文書に関する情報

1.9 一般的名称に係る文書

ファーマエッセンシアジャパン株式会社

1.9 一般的名称に係る文書

Ropeginterferon alfa-2b

目次

		真
1.9	一般的名称に係る文書	3
1.9.1	国内の一般的名称(JAN)	3
1.9.2	国際一般的名称(INN)	3

1.9 一般的名称に係る文書

1.9.1 国内の一般的名称(JAN)

本剤の一般的名称 (JAN) は、令和 3 年 8 月 17 日付薬生薬審発 0817 第 1 号「医薬品の一般的名称について」にて通知された。

JAN:

(日本名) ロペグインターフェロン アルファー2b (遺伝子組換え)

(英 名) Ropeginterferon Alfa-2b (Genetical Recombination)

1.9.2 国際一般的名称(INN)

本剤の国際一般名(INN)は、WHO Drug Information 2014 年 28 巻 1 号, rINN List:71, 106 頁に収載された。

INN: ropeginterferonum alfa-2b

薬生薬審発 0817 第 1 号 令 和 3 年 8 月 17 日

各都道府県衛生主管部(局)長 殿

厚生労働省医薬・生活衛生局医薬品審査管理課長 (公 印 省 略)

医薬品の一般的名称について

標記については、「医薬品の一般的名称の取扱いについて(平成 18 年 3 月 31 日薬食発第 0331001 号厚生労働省医薬食品局長通知)」等により取り扱っているところです。今般、我が国における医薬品の一般的名称(以下「JAN」という。)について、新たに別添のとおり定めたので、御了知の上、貴管下関係業者に周知方よろしく御配慮願います。

(参照)

「日本医薬品一般的名称データベース」https://jpdb.nihs.go.jp/jan/Default.aspx (別添の情報のうち、JAN 以外の最新の情報は、当該データベースの情報で対応する こととしています。) (別表2) INN に収載された品目の我が国における医薬品一般的名称

(平成18年3月31日薬食審査発第0331001号厚生労働省医薬食品局審査管理課長通知に示す別表2)

登録番号 302-5-B2

JAN (日本名):ロペグインターフェロン アルファー2b (遺伝子組換え)

JAN (英名): Ropeginterferon Alfa-2b (Genetical Recombination)

アミノ酸配列及びジスルフィド結合

PCDLPQTHSL GSRRTLMLLA QMRRISLFSC LKDRHDFGFP QEEFGNQFQK

AETIPVLHEM IQQIFNLFST KDSSAAWDET LLDKFYTELY QQLNDLEAÇV

IQGVGVTETP LMKEDSILAV RKYFQRITLY LKEKKYSPÇA WEVVRAEIMR

SFSLSTNLQE SLRSKE

P1:PEG 化部位

ポリエチレングリコールの結合様式

$C_{865}H_{1356}N_{230}O_{256}S_9$ (タンパク質部分)

ロペグインターフェロン アルファー2bは、インターフェロン アルファー2b(遺伝子組換え)類縁体であり、N 末端に Pro が付加され、2 本のメトキシポリエチレングリコール鎖(分子量:約43,000)がリンカーを介して結合している(PEG 結合部位: Pro1 残基). ロペグインターフェロン アルファー2bは、166個のアミノ酸残基からなる PEG 化タンパク質(分子量:約61,000)である.

Ropeginterferon Alfa-2b is Interferon Alfa-2b (Genetical Recombination) analog in which Pro is attached to N-terminus, to which two methoxy polyethylene glycol polymers (molecular weight: ca. 43,000) are bound via a linker (pegylation site: Pro1 residue). Ropeginterferon Alfa-2b is a pegylated protein (molecular weight: ca. 61,000) consisting of 166 amino acid residues.

登録番号 302-5-B3

JAN (日本名): デルシメラゴン リン酸

JAN(英 名): Dersimelagon Phosphoric Acid

$C_{36}H_{45}F_4N_3O_5 \cdot H_3PO_4$

 $1-\{2-[(3S,4R)-1-[(3R,4R)-1-シクロペンチル-3-フルオロ-4-(4-メトキシフェニル)ピロリジン-3-カルボニル]-4-(メトキシメチル)ピロリジン-3-イル]-5-(トリフルオロメチル)フェニル<math>\}$ ピペリジン-4-カルボン酸 ーリン酸

 $1-\{2-[(3S,4R)-1-[(3R,4R)-1-Cyclopentyl-3-fluoro-4-(4-methoxyphenyl)pyrrolidine-3-carbonyl]-\\4-(methoxymethyl)pyrrolidin-3-yl]-5-(trifluoromethyl)phenyl\}piperidine-4-carboxylic acid monophosphoric acid$

登録番号 302-5-B4

JAN (日本名):ロザノリキシズマブ(遺伝子組換え)

JAN (英名) : Rozanolixizumab (Genetical Recombination)

アミノ酸配列及びジスルフィド結合

L鎖

DIQMTQSPSS LSASVGDRVT ITÇKSSQSLV GASGKTYLYW LFQKPGKAPK

RLIYLVSTLD SGIPSRFSGS GSGTEFTLTI SSLQPEDFAT YYCLQGTHFP

HTFGQGTKLE IKRTVAAPSV FIFPPSDEQL KSGTASVVÇL LNNFYPREAK

VOWKVDNALO SGNSOESVTE ODSKDSTYSL SSTLTLSKAD YEKHKVYACE

VTHQGLSSPV TKSFNRGEC

H鎖

EVPLVESGGG LVQPGGSLRL SÇAVSGFTFS NYGMVWVRQA PGKGLEWVAY

IDSDGDNTYY RDSVKGRFTI SRDNAKSSLY LQMNSLRAED TAVYYCTTGI

VRPFLYWGQG TLVTVSSAST KGPSVFPLAP CSRSTSESTA ALGÇLVKDYF

PEPVTVSWNS GALTSGVHTF PAVLQSSGLY SLSSVVTVPS SSLGTKTYTC

NVDHKPSNTK VDKRVESKYG PPCPPCPAPE FLGGPSVFLF PPKPKDTLMI

SRTPEVTÇVV VDVSQEDPEV QFNWYVDGVE VHNAKTKPRE EQFNSTYRVV

SVLTVLHQDW LNGKEYKCKV SNKGLPSSIE KTISKAKGQP REPQVYTLPP

SQEEMTKNQV SLTÇLVKGFY PSDIAVEWES NGQPENNYKT TPPVLDSDGS

FFLYSRLTVD KSRWQEGNVF SCSVMHEALH NHYTQKSLSL SLGK

H鎖N294: 糖鎖結合: H鎖K444: 部分的プロセシング

L鎖C219-H鎖C131, H鎖C223-H鎖C223, H鎖C226-H鎖C226: ジスルフィド結合

主な糖鎖の推定構造

$$\mathsf{Gal}_{0\text{-}2} \left\{ \begin{array}{l} (\beta 1\text{-}4)\mathsf{GlcNAc}(\beta 1\text{-}2)\mathsf{Man}(\alpha 1\text{-}6) \\ & \mathsf{Man}(\beta 1\text{-}4)\mathsf{GlcNAc}(\beta 1\text{-}4)\mathsf{GlcNAc}(\beta 1\text{-}4)\mathsf{GlcNAc}(\beta 1\text{-}4)\mathsf{GlcNAc}(\beta 1\text{-}4)\mathsf{GlcNAc}(\beta 1\text{-}4)\mathsf{GlcNAc}(\beta 1\text{-}2)\mathsf{Man}(\alpha 1\text{-}3) \end{array} \right.$$

 $C_{6462}H_{9984}N_{1704}O_{2016}S_{44}$ (タンパク質部分, 4本鎖)

H鎖 $C_{2174}H_{3350}N_{572}O_{670}S_{16}$

L鎖 $C_{1057}H_{1646}N_{280}O_{338}S_6$

ロザノリキシズマブは、遺伝子組換えヒト化及びキメラ抗ヒト新生児型Fc受容体(FcRn)モノクローナル 抗体であり、H鎖はラット抗FcRn抗体の相補性決定部、ヒトフレームワーク部及びヒトIgG4の定常部からなり、L鎖はラット抗FcRn抗体の可変部及びヒトIgGの定常部からなる。H鎖の225番目のアミノ酸残基は Proに置換されている。ロザノリキシズマブは、チャイニーズハムスター卵巣細胞により産生される。ロザノリキシズマブは、444 個のアミノ酸残基からなるH鎖(γ 4鎖)2本及び219個のアミノ酸残基からなるL鎖(κ 鎖)2本で構成される糖タンパク質(分子量:約148,000)である。

Rozanolixizumab is a recombinant humanized and chimeric anti-human neonatal Fc receptor (FcRn) monoclonal antibody in which the H-chains are composed of complementarity-determining regions derived from rat anti-FcRn monoclonal antibody, human framework regions and a human IgG4 constant regions and the L-chains are composed of variable regions derived from rat anti-FcRn antibody and human IgG constant regions. The amino acid residue at position 225 in the H-chain is substituted by Pro. Rozanolixizumab is produced in Chinese hamster ovary cells. Rozanolixizumab is a glycoprotein (molecular weight: ca. 148,000) composed of 2 H-chains (γ 4-chains) consisting of 444 amino acid residues each and 2 L-chains (κ -chains) consisting of 219 amino acid residues each.

登録番号 302-5-B5

JAN (日本名):フェラジリマブ (遺伝子組換え)

JAN (英名): Feladilimab (Genetical Recombination)

アミノ酸配列及びジスルフィド結合

L鎖

EIVLTQSPAT LSLSPGERAT LSCSASSSVS YMHWYQQKPG QAPRLLIYDT
SKLASGIPAR FSGSGSGTDY TLTISSLEPE DFAVYYCFQG SGYPYTFGQG
TKLEIKRTVA APSVFIFPPS DEQLKSGTAS VVCLLNNFYP REAKVQWKVD
NALQSGNSQE SVTEQDSKDS TYSLSSTLTL SKADYEKHKV YACEVTHQGL
SSPVTKSFNR GEC

H鎖

QVQLVQSGAE VKKPGSSVKV SCKASGYTFT DYAMHWVRQA PGQGLEWMGL
ISIYSDHTNY NQKFQGRVTI TADKSTSTAY MELSSLRSED TAVYYCGRNN
YGNYGWYFDV WGQGTTVTVS SASTKGPSVF PLAPCSRSTS ESTAALGCLV
KDYFPEPVTV SWNSGALTSG VHTFPAVLQS SGLYSLSSVV TVPSSSLGTK
TYTCNVDHKP SNTKVDKRVE SKYGPPCPPC PAPEFEGGPS VFLFPPKPKD

TLMISRTPEV TCVVVDVSQE DPEVQFNWYV DGVEVHNAKT KPREEQFNST
YRVVSVLTVL HQDWLNGKEY KCKVSNKGLP SSIEKTISKA KGQPREPQVY

TLPPSQEEMT KNQVSLTCLV KGFYPSDIAV EWESNGQPEN NYKTTPPVLD
SDGSFFLYSR LTVDKSRWQE GNVFSCSVMH EALHNHYTQK SLSLSLGK

H鎖 Q1:部分的ピログルタミン酸; H鎖 N298:糖鎖結合; H鎖 K448:部分的プロセシング L鎖 C213-H鎖 C135, H鎖 C227-H鎖 C227, H鎖 C230-H鎖 C230: ジスルフィド結合

主な糖鎖の推定構造

$$\mathsf{Gal}_{0\text{-}2} \left\{ \begin{matrix} (\beta 1\text{-}4)\mathsf{GlcNAc}(\beta 1\text{-}2)\mathsf{Man}(\alpha 1\text{-}6) \\ & \mathsf{Man}(\beta 1\text{-}4)\mathsf{GlcNAc}(\beta 1\text{-}4)$$

 $C_{6450}H_{9888}N_{1696}O_{2036}S_{46}$ (タンパク質部分, 4本鎖)

H鎖 C₂₁₉₉H₃₃₆₈N₅₈₀O₆₈₅S₁₇

L鎖 C₁₀₂₆H₁₅₈₀N₂₆₈O₃₃₃S₆

フェラジリマブは、遺伝子組換え抗ヒト誘導性 T 細胞共刺激因子(ICOS)モノクローナル抗体であり、その相補性決定部はマウス抗体に由来し、その他はヒト IgG4 に由来する。H 鎖の 229 及び 236 番目のアミノ酸残基はそれぞれ Pro 及び Glu に置換されている。フェラジリマブは、チャイニーズハムスター卵巣細胞により産生される。フェラジリマブは、448 個のアミノ酸残基からなる H 鎖($\gamma4$ 鎖)2 本及び 213 個のアミノ酸残基からなる L 鎖($\alpha4$ 鎖) $\alpha4$ 後) $\alpha4$ を $\alpha4$ を $\alpha4$ のアミノ酸残基からなる $\alpha4$ と $\alpha4$ の $\alpha4$

Feladilimab is a recombinant anti-human inducible T-cell costimulator (ICOS) monoclonal antibody, the complementarity-determining regions of which are derived from mouse antibody and other regions are derived from human IgG4. In the H-chain, the amino acid residues at positions 229 and 236 are substituted by Pro and Glu, respectively. Feladilimab is produced in Chinese hamster ovary cells. Feladilimab is a glycoprotein (molecular weight: ca. 148,000) composed of 2 H-chains (γ 4-chains) consisting of 448 amino acid residues each and 2 L-chains (κ -chains) consisting of 213 amino acid residues each.

登録番号 302-5-B6

JAN (日本名):アコラミジス塩酸塩

JAN(英 名): Acoramidis Hydrochloride

 $C_{15}H_{17}FN_2O_3$ · HCl

3-[3-(3,5-ジメチル-1H-ピラゾール-4-イル)プロポキシ]-4-フルオロ安息香酸 一塩酸塩

 $3\hbox{-}[3\hbox{-}(3,5\hbox{-}Dimethyl\hbox{-}1H\hbox{-}pyrazol\hbox{-}4\hbox{-}yl)propoxy]\hbox{-}4\hbox{-}fluor obenzoic acid monohydrochloride}$

登録番号 302-5-B7

JAN (日本名):レカネマブ(遺伝子組換え)

JAN(英 名): Lecanemab (Genetical Recombination)

アミノ酸配列及びジスルフィド結合

L鎖

DVVMTQSPLS	LPVTPGAPAS	ISCRSSQSIV	HSNGNTYLEW	YLQKPGQSPK
LLIYKVSNRF	SGVPDRFSGS	GSGTDFTLRI	SRVEAEDVGI	YYCFQGSHVP
PTFGPGTKLE	IKRTVAAPSV	FIFPPSDEQL	KSGTASVVCL	LNNFYPREAK
VQWKVDNALQ	SGNSQESVTE	QDSKDSTYSL	SSTLTLSKAD	YEKHKVYACE
VTHQGLSSPV	TKSFNRGEC			

H鎖

EVQLVESGGG	LVQPGGSLRL	SCSASGFTFS	SFGMHWVRQA	PGKGLEWVAY
ISSGSSTIYY	GDTVKGRFTI	SRDNAKNSLF	LQMSSLRAED	TAVYYCAREG
GYYYGRSYYT	MDYWGQGTTV	TVSSASTKGP	SVFPLAPSSK	STSGGTAALG
CLVKDYFPEP	VTVSWNSGAL	TSGVHTFPAV	LQSSGLYSLS	SVVTVPSSSL
GTQTYICNVN	HKPSNTKVDK	RVEPKSCDKT	HTCPPCPAPE	LLGGPSVFLF
PPKPKDTLMI	SRTPEVTCVV	VDVSHEDPEV	KFNWYVDGVE	VHNAKTKPRE
EQYNSTYRVV	SVLTVLHQDW	LNGKEYKCKV	SNKALPAPIE	KTISKAKGQP
REPQVYTLPP	SREEMTKNQV	SLTCLVKGFY	PSDIAVEWES	NGQPENNYKT
TPPVLDSDGS	FFLYSKLTVD	KSRWQQGNVF	SCSVMHEALH	NHYTQKSLSL

SPGK

H鎖 N304: 糖鎖結合; H鎖 K454: 部分的プロセシング

L鎖 C219-H鎖 C227, H鎖 C233-H鎖 C233, H鎖 C236-H鎖 C236: ジスルフィド結合

主な糖鎖の推定構造

$$\mathsf{Gal}_{0\text{-}2} \left\{ \begin{matrix} (\beta 1\text{-}4)\mathsf{GlcNAc}(\beta 1\text{-}2)\mathsf{Man}(\alpha 1\text{-}6) & \mathsf{Fuc}(\alpha 1\text{-}6) \\ & \mathsf{Man}(\beta 1\text{-}4)\mathsf{GlcNAc}(\beta 1\text{-}4)\mathsf{GlcNAc} \\ (\beta 1\text{-}4)\mathsf{GlcNAc}(\beta 1\text{-}2)\mathsf{Man}(\alpha 1\text{-}3) \end{matrix} \right.$$

C6544H10088N1744O2032S46 (タンパク質部分, 4本鎖)

H鎖 C₂₂₁₆H₃₄₀₇N₅₈₇O₆₈₁S₁₇

L鎖 C₁₀₅₆H₁₆₄₁N₂₈₅O₃₃₅S₆

レカネマブは、遺伝子組換え抗ヒトアミロイドベータペプチドモノクローナル抗体であり、その相補性決定部はマウス抗体に由来し、その他はヒトIgG1に由来する。レカネマブは、チャイニーズハムスター卵巣細胞により産生される。レカネマブは、454個のアミノ酸残基からなるI鎖(γ 1鎖)2本及び219個のアミノ酸残基からなるI4銭(γ 34銭)2本で構成される糖タンパク質(分子量:約150,000)である。

Lecanemab is a recombinant anti-human amyloid beta peptide monoclonal antibody, the complementarity-determining regions of which are derived from mouse antibody and other regions are derived from human IgG1. Lecanemab is produced in Chinese hamster ovary cells. Lecanemab is a glycoprotein (molecular weight: ca. 150,000) composed of 2 H-chains (γ 1-chains) consisting of 454 amino acid residues each and 2 L-chains (κ -chains) consisting of 219 amino acid residues each.

登録番号 302-5-B9

JAN (日本名): デュークラバシチニブ

JAN (英名): Deucravacitinib

$C_{20}H_{19}{}^2H_3N_8O_3\\$

6-(シクロプロパンカルボキシアミド)-4-[2-メトキシ-3-(1-メチル-1H-1,2,4-トリアゾール-3-イル)アニリノ]-N-(2 H₃)メチルピリダジン-3-カルボキシアミド

 $6- (Cyclopropanecarboxamido) - 4- [2-methoxy-3-(1-methyl-1 \\ H-1,2,4-triazol-3-yl) anilino] - N-(^2H_3) methylpyridazine-3-carboxamide$

登録番号 302-6-B3

JAN (日本名):サバトリマブ(遺伝子組換え)

JAN (英名) : Sabatolimab (Genetical Recombination)

アミノ酸配列及びジスルフィド結合

L鎖

AIQLTQSPSS	LSASVGDRVT	ITCRASESVE	YYGTSLMQWY	QQKPGKAPKL
LIYAASNVES	GVPSRFSGSG	SGTDFTLTIS	SLQPEDFATY	FCQQSRKDPS
TFGGGTKVEI	KRTVAAPSVF	IFPPSDEQLK	SGTASVVCLL	NNFYPREAKV
QWKVDNALQS	GNSQESVTEQ	DSKDSTYSLS	STLTLSKADY	EKHKVYACEV
THQGLSSPVT	KSFNRGEC			

Η鎖

QVQLVQSGAE	VKKPGSSVKV	SCKASGYTFT	SYNMHWVRQA	PGQGLEWMGD
IYPGNGDTSY	NQKFKGRVTI	TADKSTSTVY	MELSSLRSED	TAVYYCARVG
GAFPMDYWGQ	GTTVTVSSAS	TKGPSVFPLA	PCSRSTSEST	AALGCLVKDY
FPEPVTVSWN	SGALTSGVHT	FPAVLQSSGL	YSLSSVVTVP	SSSLGTKTYT
CNVDHKPSNT	KVDKRVESKY	GPPCPPCPAP	EFLGGPSVFL	FPPKPKDTLM
ISRTPEVTCV	VVDVSQEDPE	VQFNWYVDGV	EVHNAKTKPR	EEQFNSTYRV
VSVLTVLHQD	WLNGKEYKCK	VSNKGLPSSI	EKTISKAKGQ	PREPQVYTLP
PSQEEMTKNQ	VSLTCLVKGF	YPSDIAVEWE	SNGQPENNYK	TTPPVLDSDG
SFFLYSRLTV	DKSRWQEGNV	 FSCSVMHEAL	HNHYTQKSLS	LSLG

H鎖Q1:部分的ピログルタミン酸; H鎖N295:糖鎖結合 L鎖C218-H鎖C132, H鎖C224-H鎖C224, H鎖C227-H鎖C227: ジスルフィド結合

主な糖鎖の推定構造

$$\text{Gal}_{0\text{-}2} \left\{ \begin{array}{c} \text{GlcNAc-Man} & \text{Fuc} \\ \text{Man-GlcNAc-GlcNAc} \\ \text{GlcNAc-Man} \end{array} \right.$$

C₆₃₉₈H₉₈₈₆N₁₆₉₈O₂₀₃₂S₄₈ (タンパク質部分, 4本鎖)

H鎖 C₂₁₆₂H₃₃₃₀N₅₇₀O₆₇₄S₁₈

L鎖 C₁₀₃₇H₁₆₁₇N₂₇₉O₃₄₂S₆

サバトリマブは、遺伝子組換え抗ヒト T 細胞免疫グロブリンムチンファミリーメンバー3(TIM-3)モノクローナル抗体であり、その相補性決定部はマウス抗体に由来し、その他はヒト IgG4 に由来する。H 鎖の226番目のアミノ酸残基は Pro に置換されており、C 末端の Lys は除去されている。サバトリマブは、チャイニーズハムスター卵巣細胞により産生される。サバトリマブは、444個のアミノ酸残基からなる H 鎖 (γ 4 鎖)2本及び 218個のアミノ酸残基からなる L 鎖(κ 鎖)2本で構成される糖タンパク質(分子量:約 149,000)である。

Sabatolimab is a recombinant anti-human T-cell immunoglobulin mucin family member 3 (TIM-3) monoclonal antibody, the complementarity-determining regions of which are derived from mouse antibody and other regions are derived from human IgG4. In the H-chain, the amino acid residue at position 226 is substituted by Pro, and Lys at the C-terminus is deleted. Sabatolimab is produced in Chinese hamster ovary cells. Sabatolimab is a glycoprotein (molecular weight: ca. 149,000) composed of 2 H-chains (γ 4-chains) consisting of 444 amino acid residues each and 2 L-chains (γ 4-chains) consisting of 218 amino acid residues each.

International Nonproprietary Names for Pharmaceutical Substances (INN)

RECOMMENDED International Nonproprietary Names:List 71

Notice is hereby given that, in accordance with paragraph 7 of the Procedure for the Selection of Recommended International Nonproprietary Names for Pharmaceutical Substances [Off. Rec. Wid Health Org., 1955, 60, 3 (Resolution EB15.R7); 1969, 173, 10 (Resolution EB43.R9); Resolution EB115.R4 (EB115/2005/REC/1)], the following names are selected as Recommended International Nonproprietary Names. The inclusion of a name in the lists of Recommended International Nonproprietary Names does not imply any recommendation of the use of the substance in medicine or pharmacy.

Lists of Proposed (1–109) and Recommended (1–70) International Nonproprietary Names can be found in *Cumulative List No. 15, 2013* (available in CD-ROM only).

Dénominations communes internationales des Substances pharmaceutiques (DCI)

Dénominations communes internationales RECOMMANDÉES: Liste 71

Il est notifié que, conformément aux dispositions du paragraphe 7 de la Procédure à suivre en vue du choix de Dénominations communes internationales recommandées pour les Substances pharmaceutiques [Actes off. Org. mond. Santé, 1955, 60, 3 (résolution EB15.R7); 1969, 173, 10 (résolution EB43.R9); résolution EB115.R4 (EB115/2005/REC/1)] les dénominations ci-dessous sont choisies par l'Organisation mondiale de la Santé en tant que dénominations communes internationales recommandées. L'inclusion d'une dénomination dans les listes de DCI recommandées n'implique aucune recommandation en vue de l'utilisation de la substance correspondante en médecine ou en pharmacie.

On trouvera d'autres listes de Dénominations communes internationales proposées (1–109) et recommandées (1–70) dans la Liste récapitulative No. 15, 2013 (disponible sur CD-ROM seulement).

Denominaciones Comunes Internacionales para las Sustancias Farmacéuticas (DCI)

Denominaciones Comunes Internacionales RECOMENDADAS:Lista 71

De conformidad con lo que dispone el párrafo 7 del Procedimiento de Selección de Denominaciones Comunes Internacionales Recomendadas para las Sustancias Farmacéuticas [Act. Of. Mund. Salud, 1955, 60, 3 (Resolución EB15.R7); 1969, 173, 10 (Resolución EB43.R9); Résolution EB115.R4 (EB115/2005/REC/1)], se comunica por el presente anuncio que las denominaciones que a continuación se expresan han sido seleccionadas como Denominaciones Comunes Internacionales Recomendadas. La inclusión de una denominación en las listas de las Denominaciones Comunes Recomendadas no supone recomendación alguna en favor del empleo de la sustancia respectiva en medicina o en farmacia.

Las listas de Denominaciones Comunes Internacionales Propuestas (1–109) y Recomendadas (1–70) se encuentran reunidas en *Cumulative List No. 15, 2013* (disponible sólo en CD-ROM).

Latin, English, French, Spanish:

Recommended INN Chemical name or description; Molecular formula; Graphic formula

DCI Recommandée Nom chimique ou description; Formule brute; Formule développée

DCI Recomendada Nombre químico o descripción; Fórmula molecular; Fórmula desarrollada

abaloparatidum

abaloparatide

synthetic human parathyroid hormone (37-70) analogue: $C^{2\cdot 29}$ -methyl[22-L-glutamic acid(F>E),23-L-leucine(F>L),25-L-glutamic acid(H>E),26-L-lysine(H>K),28-L-leucine(I>L),30-L-lysine(E>K), 31-L-leucine(I>L)]human parathyroid hormone-related protein-(1-34)-

proteinamide

analogue de l'hormone parathyroïdienne humaine (37-70) abaloparatide

synthétique: $C^{2.29}$ -méthyl[22-L-acide glutamique(F>E),23-L-leucine(F>L), 25-L-acide glutamique(H>E),26-L-lysine(H>K),28-L-leucine(I>L), 30-L-lysine(E>K),31-L-leucine(I>L)]protéine apparentée à l'hormone

parathyroïdienne humaine-(1-34)-protéinamide

análogo sintético de la hormona paratiroidea humana (37-70): abaloparatida

 $C^{2.29}$ -metil[22-L-ácido glutámico(F>E),23-L-leucina(F>L),25-L-ácido glutámico(H>E),26-L-lisina(H>K),28-L-leucina(I>L),

30-L-lisina(E>K),31-L-leucina(I>L)]proteína relacionada con la

hormona paratiroidea humana-(1-34)-proteinamida

 $C_{174}H_{300}N_{56}O_{49} \\$

Sequence / Séquence / Secuencia AVSEHQLLHD KGKSIQDLRR RELLEKLLXK LHTA

Modified residues / Résidus modifiés / Restos modificados

H₃C CH₃ Ala-NH2 H₂N 2-methylAla H₂N

abecomotidum

abecomotide human insulin-like growth factor 2 mRNA-binding protein 3 (IMP-3,

hKOC)-(508-513)-peptide (part of the KH4 domain):

 $\verb|L-lysyl-L-threonyl-L-valyl-L-asparaginyl-L-\alpha-glutamyl-L-leucyl-\\$

L-glutaminyl-L-asparaginyl-L-leucine

abécomotide protéine 3, se liant à l'ARN messager, du facteur 2 de croissance

humain analogue de l'insuline (IMP-3, hKOC)-(508-513)-peptide

(partie du domaine KH4):

L-lysyl-L-thréonyl-L-valyl-L-asparaginyl-L-α-glutamyl-L-leucyl-

L-glutaminyl-L-asparaginyl-L-leucine

abecomotida proteína 3, que se une al ARN mensajero del factor 2 de crecimiento

humano análogo de la insulina (IMP-3, hKOC)-(508-513)-péptido

(parte del dominio KH4):

L-lisil-L-treonil-L-valil-L-asparaginil-L-α-glutamil-L-leucil-L-glutaminil-

L-asparaginil-L-leucina

 $C_{45}H_{79}N_{13}O_{16}$

Sequence / Séquence / Secuencia

KTVNELQNL

abituzumabum # abituzumab

immunoglobulin G2-kappa, anti-[Homo sapiens ITGAV (integrin alphaV, CD51)], humanized monoclonal antibody; gamma2 heavy chain (1-447) with IGHG1 hinge region [humanized VH (*Homo sapiens* IGHV1-46*01 (77.30%) -(IGHD)-IGHJ6*01) [8.8.11] (1-118) -Homo sapiens IGHG (IGHG2*03 CH1 (119-216), IGHG1 hinge C5>S (221) (217-231), IGHG2*03 CH2 F84.3>A (296), N84.4>Q (297) (232-340), CH3 (341-445), CHS (446-447)) (119-447)], (132-214')-disulfide with kappa light chain (1'-214') [humanized V-KAPPA (Homo sapiens IGKV1-33*01 (86.30%) -IGKJ2*01) [6.3.9] (1'-107') -Homo sapiens IGKC*01 (108'-214')]; dimer (227-227":230-230")-bisdisulfide

abituzumab

immunoglobuline G2-kappa, anti-[Homo sapiens ITGAV (intégrine alphaV, CD51)], anticorps monoclonal humanisé; chaîne lourde gamma2 (1-447) avec une région charnière IGHG1 [VH humanisé (Homo sapiens IGHV1-46*01 (77.30%) -(IGHD)-IGHJ6*01) [8.8.11] (1-118) -Homo sapiens IGHG (IGHG2*03 CH1 (119-216), IGHG1 charnière C5>S (221) (217-231), IGHG2*03 CH2 F84.3>A (296), N84.4>Q (297) (232-340), CH3 (341-445), CHS (446-447)) (119-447)], (132-214')-disulfure avec la chaîne légère kappa (1'-214') [V-KAPPA humanisé (*Homo sapiens* IGKV1-33*01 (86.30%) -IGKJ2*01) [6.3.9] (1'-107') -*Homo sapiens* IGKC*01 (108'-214')]; dimère (227-227":230-230")-bisdisulfure

abituzumab

inmunoglobulina G2-kappa, anti-[ITGAV (integrina alfaV, CD51) de Homo sapiens], anticuerpo monoclonal humanizado; cadena pesada gamma2 (1-447) con una región bisagra GHG1 [VH humanizada (Homo sapiens IGHV1-46*01 (77.30%) -(IGHD)-IGHJ6*01) [8.8.11] (1-118) -Homo sapiens IGHG (IGHG2*03 CH1 (119-216), IGHG1 bisagra C5>S (221) (217-231), IGHG2*03 CH2 F84.3>A (296), N84.4>Q (297) (232-340), CH3 (341-445), CHS (446-447)) (119-447)], (132-214')-disulfuro con la cadena ligera kappa (1'-214') [V-KAPPA humanizada (Homo sapiens IGKV1-33*01 (86.30%) -IGKJ2*01) [6.3.9] (1'-107') -Homo sapiens IGKC*01 (108'-214')]; dímero (227-227":230-230")-bisdisulfuro

```
Heavy chain / Chaîne lourde / Cadena pesada
QVQLQQSGGE LAKPGASVKV SCKASGYTFS SFWMHWVRQA PGQGLEWIGY 50
INPRSGYTEY NEIFRDKAIM TIDTSTSTAY MELSSLRSED TAVYYCASFL 100
GRGAMDYWGQ GTTVTVSSAS TKGPSVFPLA PCSRSTSEST AALGCLVKDY 150
FPEPVTVSWN SGALTSGVHT FPAVLQSSGL YSLSSVVTVP SSNFGTGTYT 200
CNVDHKPSNT KVDKTVEPKS SDKTHTCPPC PAPPVAGPSV FLFPPKFKDT 250
LMISRTPEVT CVVVDVSHED PEVQFNWYD GVEVHNAKTK PREEQAQSTF 300
RVVSVLTVVH QDWLNGKEYK CKVSNKGLPA PIEKTISKTK GQPREPQVYT 350
LPPSREEMTK NQVSLTCLVK GFYPSDIAVE WESNGQPENN YKTTPPMLDS 400
DGSFFLYSKL TVDKSRWQQG NVFSCSVMHE ALHNHYTQKS LSLSPGK 447
   Light chain / Chaîne légère / Cadena ligera
 Light chain / Chaime tegere / Cadena ingera
DIQMTQSPSS LSASVOGRRVT ITCRASQDIS NYLAWYQQKP GKAPKLLIYY 50
TSKHHSGVPS RFSGSGSGTD YTTTISSLQP EDIATYYCQQ GNTFFYTFGQ 100
GTKVEIKRTV AAPSVFIFPP SDEJLKSGTA SVVCLLNNFY PREAKVQMKV 150
DNALQSGNSQ ESYTEQDSKD STYSLSSTLT LSKADYEKHK VYACEVTHQG 200
```

Disulfide bridges location / Position des ponts disulfure / Posiciones de los puentes disulfuro Intra-H (C23-C104) 22-96 | 145-201 | 261-321 | 367-425 | 22"-96" | 145"-201" | 261"-321" | 367"-425" | Intra-L (C23-C104) 23"-88" | 134"-194" | 23"-88" | 134"-194" | Inter-H-L (CH1 10-CL 126) | 132-214' | 132"-214" | Inter-H-H (h 11, h 14) | 227-227" | 230-230"

N-glycosylation sites / Sites de N-glycosylation / Posiciones de N-glicosilación None (owing to amino acid change: H CH2 N84.4>Q (297)), aucun (dû au changement d'acide aminé), ninguno (a causa del cambio de ácido amino) acalisibum

acalisib $\hbox{6-fluoro-3-phenyl-2-[(1S)-1-(7$H-purin-6-ylamino)ethyl]} quinazolin-$

acalisib 6-fluoro-3-phényl-2-[(1S)-1-(7H-purin-6-ylamino)éthyl]quinazolin-

4(3H)-one

acalisib 6-fluoro-3-fenil-2-[(1S)-1-(7H-purin-6-ilamino)etil]quinazolin-

4(3H)-ona

 $C_{21}H_{16}FN_7O$

aftobetinum

 $\hbox{$2$-[2-(2-methoxyethoxy)ethoxy]ethyl (2E)-2-cyano-3-[6-(piperidin-1-yl)naphthalen-2-yl]prop-2-enoate}$ aftobetin

aftobétine (2E)-2-cyano-3-[6-(pipéridin-1-yl)naphtalén-2-yl]prop-2-énoate de

2-[2-(2-méthoxyéthoxy)éthoxy]éthyle

aftobetina (2E)-2-ciano-3-[6-(piperidin-1-il)naftalen-2-il]prop-2-enoato de

2-[2-(2-metoxietoxi)etoxi]etilo

C₂₆H₃₂N₂O₅ 1208971-05-4

alicdamotidum

human kinetochore protein Nuf2 (cell division cycle-associated alicdamotide

protein 1)-(55-64)-peptide

alicdamotide protéine cinétochore Nuf2 humaine (protéine 1 associée au cycle de

la division cellulaire)-(55-64)-peptide

alicdamotida proteína humana de cinetocoro Nuf2 (proteína 1 asociada al ciclo de

división celular)-(55-64)-péptido

 $C_{54}H_{80}N_{14}O_{13} \\$

Sequence / Séquence / Secuencia VYGIRLEHF 9

anetumabum ravtansinum # anetumab ravtansine

immunoglobulin G1-lambda2, anti-[Homo sapiens MSLN (mesothelin, pre-pro-megakaryocyte-potentiating factor, megakaryocyte potentiating factor, MPF, CAK1)], Homo sapiens monoclonal antibody conjugated to maytansinoid DM4; gamma1 heavy chain (1-450) [Homo sapiens VH (IGHV5-51*01 (94.90%) -(IGHD)-IGHJ4*01) [8.8.13] (1-120) -IGHG1*01 (CH1 (121-218), hinge (219-233), CH2 (234-343), CH3 (344-448), CHS (449-450)) (121-450)], (223-216')-disulfide with lambda light chain (1'-217') [Homo sapiens V-LAMBDA (IGLV2-14*01 (95.60%) -IGLJ2*01) [9.3.11] (1'-111') -IGLC2*01 A43>G (155) (112'-217')]; dimer (229-229":232-232")-bisdisulfide; conjugated, on an average of 3 lysyl, to maytansinoid DM4 $[N^2$ -deacetyl- N^2 -(4-mercapto-4-methyl-1-oxopentyl)-maytansine] via the reducible SPDB linker [N-succinimidyl 4-(2-pyridyldithio)butanoate] For the ravtansine part, please refer to the document "INN for

pharmaceutical substances: Names for radicals, groups and others"*

anétumab raytansine

immunoglobuline G1-lambda2, anti-[Homo sapiens MSLN (mésothéline, facteur de potentialisation du pré-pro-mégacaryocyte, facteur de potentialisation des mégacaryocytes, MPF, CAK1)], Homo sapiens anticorps monoclonal conjugué au maytansinoïde DM4; chaîne lourde gamma1 (1-450) [Homo sapiens VH (IGHV5-51*01 (94.90%) -(IGHD)-IGHJ4*01) [8.8.13] (1-120) -IGHG1*01 (CH1 (121-218), charnière (219-233), CH2 (234-343), CH3 (344-448), CHS (449-450)) (121-450)], (223-216')-disulfure avec la chaîne légère lambda (1'-217') [Homo sapiens V-LAMBDA (IGLV2-14*01 (95.60%) -IGLJ2*01) [9.3.11] (1'-111') -IGLC2*01 A43>G (155) (112'-217')]; dimère 229-229":232-232")-bisdisulfure; conjugué, sur 3 lysyl en moyenne, au maytansinoïde DM4 [N^2 -déacétyl- N^2 -(4-mercapto-4-méthyl-1-oxopentyl)-maytansine] via le linker SPDB réductible [4-(2-pyridyldithio)butanoate de N-succinimidyle] Pour la partie ravtansine, veuillez-vous référer au document "INN for pharmaceutical substances: Names for radicals, groups and others"*.

anetumab raytansina

inmunoglobulina G1-lambda2, anti-[MSLN de Homo sapiens (mesotelina, factor de potenciación del pre-pro-megacariocito, factor de potenciación de megacariocitos, MPF, CAK1)], anticuerpo monoclonal de *Homo sapiens* conjugado con el maitansinoide DM4; cadena pesada gamma1 (1-450) [Homo sapiens VH (IGHV5-51*01 (94.90%) -(IGHD)-IGHJ4*01) [8.8.13] (1-120) -IGHG1*01 (CH1 (121-218), bisagra (219-233), CH2 (234-343), CH3 (344-448), CHS (449-450)) (121-450)], (223-216')-disulfuro con la cadena ligera lambda (1'-217') [Homo sapiens V-LAMBDA (IGLV2-14*01 (95.60%) -IGLJ2*01) [9.3.11] (1'-111') -IGLC2*01 A43>G (155) (112'-217')]; dimère 229-229":232-232")-bisdisulfuro; conjugado, en tres restos lisil por término medio, con el maitansinoide DM4 [N²-desacetil- N^2 -(4-mercapto-4-metil-1-oxopentil)-maitansina] mediante el conector SPDB reducible [4-(2-piridilditio)butanoato de N-succinimidilo]

La información sobre la *ravtansina*, la encontrarán en el documento "INN for pharmaceutical substances: Names for radicals, groups and others"*.

Heavy chain / Chaîne lourde / Cadena pesada
QVELVQSCAE VKRPGESLKI SCKGSGYSTT SYWIGWVRQA PGKGLEWMGI 50
IDPGDSRTRY SPSPGQQYTI SADKSISTAY LQWSSLKASD TAMYYCARGQ 100
LYGGTYMDGW GQGTLVTVSS ASTKGPSVFP LAPSSKSTSG GTAALGCLVK 150
DYFPEPVTVS WNSGALTSGV HTFPAVLQSS GLYSLSSVVT VPSSSLGTQT 200
YICNVNHKPS NTKVDKKVEP KSCDKTHTCP PCPAFELLGG PSVFLFPFKP 250
KDTLMISRTP EVTCVVVDVS HEDPEVKFWN YVDGVEVHNA KTKPREEQYN 300
SYTRVVSVLT VLHGDWINGK EYKCKVSNKA LEPATEKTIS KAKGGPREPQ 350
SYTRVSVLT VLHGWINGK EYKCKVSNKA LEPATEKTIS KAKGGPREPQ 350
VYTLPPSRDE LTKNQVSLTC LVKGFYPSDI AVEWESNGOP ENNYKTTPFV 400
LDSDGSFFLY SKLTVDKSRW QQGNVFSCSV MHEALHNHYT QKSLSLSPGK 450 Heavy chain / Chaîne lourde / Cadena pesada Light chain / Chaîne légère / Cadena ligera DIALTOPASV SGSPGQSITI SCTGTSSDIG GYNSVSWYQQ HPGKAPKLMI 50 YGVNNRPSGV SNRFSGSKSG NTASLTISGL QAEDEADYYC SSYDIESATP 100 VFGGGTKLTV LGQPKAAPSV TLFPPSSEEL QANKATLVCL ISDFYPGAVT 150 VAWKGDSSPV KAGVETTTPS KQSNNKYAAS SYLSLTPEQW KSHRSYSCQV 200 THEGSTVEKT VAPTECS 217 Disulfide bridges location / Position des ponts disulfure / Posiciones de los puentes disulfuro Intra-H (C23-Č104) 22-96 147-203 264-324 370-428 22-96" 147"-203" 264"-324" 370"-428" Intra-L (C23-C104) 22'-90" 139"-198" 22""-90" 139"-198" Inter-H-L (h 5-CL 126) 223-216 223"-216" Intra-H-H (h 11, h 14) 229-229" 232-232" N-glycosylation sites / Sites de N-glycosylation / Posiciones de N-glicosilación H CH2 N84.4: 300, 300"

For the ravtansine part, please refer to the document "INN for pharmaceutical substances: Names for radicals,

groups and others**

Pour la partie ravtansine, veuillez vous référer au document "INN for pharmaceutical substances: Names for radicals, groups and others"*

Para la fracción ravtansina, se pueden dirigir al documento "INN for pharmaceutical substances: Names for radicals, groups and others"*.

anifrolumabum # anifrolumab

immunoglobulin G1-kappa, anti-[Homo sapiens IFNAR1 (interferon alpha, beta and omega receptor 1, interferon alpha/beta receptor 1)], Homo sapiens monoclonal antibody;

gamma1 heavy chain (1-447) [Homo sapiens VH (IGHV5-51*01 (93.90%) -(IGHD)-IGHJ2*01) [8.8.10] (1-117) -IGHG1*01 (CH1 (118-215), hinge (216-230), CH2 L1.3>F (234), L1.2>E (235), P116>S (331) (231-340), CH3 (341-445), CHS (446-447)) (118-447)], (220-215')-disulfide with kappa light chain (1'-215') [Homo sapiens V-KAPPA (IGKV3-20*01 (94.70%) -IGKJ5*01) [7.3.9] (1'-108') IGKC*01 (109'-215')]; dimer (226-226":229-229")-bisdisulfide

immunoglobuline G1-kappa, anti-[Homo sapiens IFNAR1 (récepteur 1 de l'interféron alpha, bêta and oméga, récepteur de l'interféron alpha/bêta)], Homo sapiens anticorps monoclonal; chaîne lourde gamma1 (1-447) [Homo sapiens VH (IGHV5-51*01 (93.90%) -(IGHD)-IGHJ2*01) [8.8.10] (1-117) -IGHG1*01 (CH1 (118-215), charnière (216-230), CH2 L1.3>F (234), L1.2>E (235), P116>S (331) (231-340), CH3 (341-445), CHS (446-447)) (118-447)], (220-215')-disulfure avec la chaîne légère kappa (1'-215') [Homo sapiens V- KAPPA (IGKV3-20*01 (94.70%) -IGKJ5*01) [7.3.9] (1'-108') -IGKC*01 (109'-215')]; dimère (226-226":229-229")-bisdisulfure

inmunoglobulina G1-kappa, anti-[IFNAR1 de Homo sapiens (receptor 1 de interferón alfa, beta and omega, receptor de interferón alfa/beta)], anticuerpo monoclonal de Homo sapiens; cadena pesada gamma1 (1-447) [Homo sapiens VH (IGHV5-51*01 (93.90%) -(IGHD)-IGHJ2*01) [8.8.10] (1-117) -IGHG1*01 (CH1 (118-215), bisagra (216-230), CH2 L1.3>F (234), L1.2>E (235), P116>S (331) (231-340), CH3 (341-445), CHS (446-447)) (118-447)], (220-215')-disulfuro con la cadena ligera kappa (1'-215') [Homo sapiens V- KAPPA (IGKV3-20*01 (94.70%) -IGKJ5*01) [7.3.9] (1'-108') -IGKC*01 (109'-215')]; dímero (226-226":229-229")-bisdisulfuro

anifrolumab

anifrolumab

Heavy chain / Chaîne lourde / Cadena pesada

Heavy chain / Chaine lourde / Cadena pesada
EVQLVQSGAE VKKPGESLKI SCKGSGYIFT NYWIAWVRQM PGKGLESMGI 50
IYPGDSDIRY SPSFQGQVTI SADKSITTAY LOWSSLKASD TAMYYCARHD 100
IEGFDYWGRG TLVTVSSAST KGPSVFPLAP SSKSTSGGTA ALGCLVKDYF 150
PEPVTVSWNS GALTSGVHTF PAVLQSSGLY SLSSVVTVPS SSLGTQTYIC 200
NVNHKPSNTK VDKRVEPKSC DKTHTCPPCP APEFEGGPSV FLFPFKPKDT 250
LMISRTPEVT CVVVDVSHED PEVKFNWYVD GVEVHNAKTK PREEQYNSTY 300
RVVSVLTUH QDUMGKEYK CKVSNKALPA SIEKTISKAK GQPEPQVYT 350
LPPSREEMTK NQVSLTCLVK GFYPSDIAVE WESNGQPENN YKTTPPVLDS 400
DGSFFLYSKL TVDKSRWQQG NVFSCSVMHE ALHNHYTQKS LSLSPGK 447

Light chain / Chaîne légère / Cadena ligera
EIVLTOSPGT LSLSPGERAT LSCRASQSVS SSFFAWYQQK PGOAPRLLIY 50
GASSRATGIP DRLSGSGSGT DFTLTITRLE PEDFAVYYCQ QYDSSAITFF 10
GGTRLEIKRT VAAPSVFIFP PSDEQLKSGT ASVVCLLNNF YPREAKVQWK 150
VDNALQSGNS QESVTEQDSK DSTYSLSSTL TLSKADYEKH KVYACEVTHQ 2015 GLSSPVTKSF NRGEC

Disulfide bridges location / Position des ponts disulfure / Posiciones de los puentes disulfuro Intra-H (C23-C104) 22-96 144-200 261-321 367-425 22"-96" 144"-200" 261"-321" 367"-425" Intra-L (C23-C104) 23"-89" 135"-195" 32"-89" 135"-195" Inter-H-L (h 5-CL 126) 220-215' 220"-215" Inter-H-L (h 11, h 14) 226-226" 229-229"

N-glycosylation sites / Sites de N-glycosylation / Posiciones de N-glicosilación H CH2 N84.4: 297, 297"

artefenomelum

artefenomel 4-{2-{4-(cis-dispiro[adamantane-2,3'-[1,2,4]trioxolane-

5',1"-cyclohexane]-4"-yl)phenoxy]ethyl}morpholine

artéfénomel 4-{2-{4-(cis-dispiro[adamantane-2,3'-[1,2,4]trioxolane-

5',1"-cyclohexane]-4"-yl)phénoxy]éthyl}morpholine

artefenomel 4-{2-{4-(cis-diespiro[adamantano-2,3'-[1,2,4]trioxolano-

5',1"-ciclohexano]-4"-il)fenoxi]etil}morfolina

 $C_{28}H_{39}NO_5$

asapiprantum

2-[2-(oxazol-2-yl)-5-(4-{4-[(propanasapiprant

2-yl)oxy]benzenesulfonyl}piperazin-1-yl)phenoxy]acetic acid

asapiprant acide 2-[2-(oxazol-2-yl)-5-(4-{4-[(propan-

2-yl)oxy]benzènesulfonyl}pipérazin-1-yl)phénoxy]acétique

ácido 2-[2-(oxazol-2-il)-5-(4-{4-[(propanasapiprant

2-il)oxi]bencenosulfonil}piperazin-1-il)fenoxi]acético

 $C_{24}H_{27}N_3O_7S$

$$H_3C$$
 CH_3
 N
 N
 N
 N
 CO_2H

axelopranum

 $3-\{(1R,3r,5S)-8-(2-\{cyclohexylmethyl[(2S)-2,3$ axelopran

dihydroxypropanoyl]amino}ethyl)-8-azabicyclo[3.2.1]octan-

3-yl)benzamide

 $3-[(1R,3r,5S)-8-(2-\{(cyclohexylméthyl)[(2S)-2,3$ axélopran

dihydroxypropanoyl]amino}éthyl)-8-azabicyclo[3.2.1]octan-

3-yl]benzamide

3-{(1R,3r,5S)-8-(2-{ciclohexilmetil[(2S)-2,3axeloprán

dihidroxipropanoil]amino}etil)-8-azabiciclo[3.2.1]octan-3-il}benzamida

 $C_{26}H_{39}N_3O_4\\$

$$\begin{array}{c|c} & & & \\ &$$

basimglurantum

basimglurant 2-chloro-4-{2-[1-(4-fluorophenyl)-2,5-dimethyl-1*H*-imidazol-

4-yl]ethynyl}pyridine

basimglurant 2-chloro-4-{2-[1-(4-fluorophényl)-2,5-diméthyl-1*H*-imidazol-

4-yl]éthynyl}pyridine

basimglurant 2-cloro-4-{2-[1-(4-fluorofenil)-2,5-dimetil-1*H*-imidazol-4-il]etin-

1-il}piridina

 $C_{18}H_{13}CIFN_3$

binimetinibum

5-[(4-bromo-2-fluorophenyl)amino]-4-fluoro-N-(2-hydroxyethoxy)binimetinib

1-methyl-1*H*-benzimidazole-6-carboxamide

 $5\hbox{-}[(4\hbox{-bromo-}2\hbox{-fluorophényl})amino]-4\hbox{-fluoro-}N\hbox{-}(2\hbox{-hydroxy\acute{e}thoxy})-1\hbox{-m\acute{e}thyl-}1H\hbox{-benzimidazole-}6\hbox{-carboxamide}$ binimétinib

5-[(4-bromo-2-fluorofenil)amino]-4-fluoro-N-(2-hidroxietoxi)-1-metilbinimetinib

1H-benzoimidazol-6-carboxamida

$C_{17}H_{15}BrF_2N_4O_3$

ceralifimodum

ceralifimod

1-({6-[(2-methoxy-4-propylphenyl)methoxy]-1-methyl-3,4-dihydronaphthalen-2-yl}methyl)azetidine-3-carboxylic acid

céralifimod

acide 1-({6-[(2-méthoxy-4-propylphényl)méthoxy]-1-méthyl-3,4-dihydronaphtalén-2-yl}méthyl)azétidine-3-carboxylique

ceralifimod

ácido 1-({1-metil-6-[(2-metoxi-4-propilfenil)metoxi]-3,4-dihidronaftalen-2-il}metil)azetidina-3-carboxílico

C₂₇H₃₃NO₄

$$CO_2$$
F

ceritinibum

ceritinib

5-chloro-N²-{5-methyl-4-(piperidin-4-yl)-2-[(propan-2-yl)oxy]phenyl}- N^4 -[2-(propane-2-sulfonyl)phenyl]pyrimidine-2,4-diamine

céritinib

5-chloro-N²-{5-méthyl-4-(pipéridin-4-yl)-2-[(propan-2-yl)oxy]phényl}-N⁴-[2-(propane-2-sulfonyl)phényl]pyrimidine-2,4-diamine

ceritinib

5-cloro-N²-{5-metil-4-(piperidin-4-il)-2-[(propan-2-il)oxi]fenil}-N⁴-[2-(propano-2-sulfonil)fenil]pirimidina-2,4-diamina

 $C_{28}H_{36}CIN_5O_3S$

codrituzumabum # codrituzumab

immunoglobulin G1-kappa, anti-[Homo sapiens GPC3 (glypican 3)],

humanized monoclonal antibody; gamma1 heavy chain (1-445) [humanized VH (*Homo sapiens* IGHV1-46*01 (82.70%) -(IGHD)-IGHJ5*02) [8.8.8] (1-115) -*Homo* sapiens IGHG1*01 (CH1 (116-213, hinge (214-228), CH2 (229-338), CH3 (339-443), CHS (444-445)) (116-445)], (218-219')-disulfide with kappa light chain (1'-219') [humanized V-KAPPA (Homo sapiens IGKV2-28*01 (86.00%) -IGKJ2*01) [11.3.9] (1'-112') -Homo sapiens IGKC*01 (113'-219')]; dimer (224-224":227-227")-bisdisulfide

codrituzumab

codrituzumab

immunoglobuline G1-kappa, anti-[Homo sapiens GPC3 (glypicane 3)], anticorps monoclonal humanisé;

chaîne lourde gamma1 (1-445) [VH humanisé (Homo sapiens (Homo sapiens IGHV1-46*01 (82.70%) -(IGHD)-IGHJ5*02) [8.8.8] (1-115) -Homo sapiens IGHG1*01 (CH1 (116-213, charnière (214-228), CH2 (229-338), CH3 (339-443), CHS (444-445)) (116-445)], (218-219')-disulfure avec la chaîne légère kappa (1'-219') [V-KAPPA humanisé (Homo sapiens IGKV2-28*01 (86.00%) -IGKJ2*01) [11.3.9] (1'-112') -Homo sapiens IGKC*01 (113'-219')]; dimère (224-224":227-227")-bisdisulfure

inmunoglobulina G1-kappa, anti-[GPC3 (glipicano 3) de Homo sapiens], anticuerpo monoclonal humanizado;

cadena pesada gamma1 (1-445) [VH humanizado (Homo sapiens (Homo sapiens IGHV1-46*01 (82.70%) -(IGHD)-IGHJ5*02) [8.8.8] (1-115) -Homo sapiens IGHG1*01 (CH1 (116-213, bisagra (214-228), CH2 (229-338), CH3 (339-443), CHS (444-445)) (116-445)], (218-219')-disulfuro con la cadena ligera kappa (1'-219') [V-KAPPA humanizado (Homo sapiens IGKV2-28*01 (86.00%) -IGKJ2*01) [11.3.9] (1'-112') -Homo sapiens IGKC*01 (113'-219')];dímero (224-224":227-227")-bisdisulfuro

```
Heavy chain / Chaîne lourde / Cadena pesada
Heavy chain / Chaîne lourde / Cadena pesada QVQLVQSGAE VKKPGASVKV SCKASGYTFT DYEMHWVRQA PGQGLEWMGA 50 LDPKTGDTAY SQKFKGRVTL TADKSTSTAY MELSSLTSED TAVYYCTRFY 100 SYTYWGQGTL VTVSSASTKG PSVFPLAPSS KSTSGGTAAL GCLVKDYFPE 150 PVTVSWNSGA LTSGVHTFPA VLQSSGLYSL SSVVTVPSSS LGTCTYLCIVN 200 NHKPSNTKVD KKVEPKSCDK THTCPPCPAP ELLGGPSVFL FPPKPKDTLM 250 ISRTPEVTCV VVDVSHEDPE VKFNWYVDGV EVHNAKTKPR EQYNSTYRV 300 VSVLTVLHQD WINGKEYKCK VSNKALPAPI EKTISKAKGQ PREPQVTTLP 350 PSRDELTKNQ VSLTCLVKGF YPSDIAVEWE SNGQPENNYK TTPPVLDSDG 400 SFFLYSKLTV DKSRWQQGNV FSCSVMHEAL HNHYTQKSLS LSPGK 445
Light chain / Chaîne légère / Cadena ligera

DVVMTQSPLS LPVTPGEPAS ISCRSSQSLV HSNRNTYLHW YLQKPGQSPQ 50

LLIXKVSNRF SGVPDRFSGS GSCTDFTLKI SRVEAEDVCV YYCSQNTHVP 100

PTFGQGTKLE IKRTVAAPSV FIFPPSDEQL KSGTASVVCL LNNFYPREAK 150

VQMKVDNALQ SGNSQESVTE QDSKDSTYSL SSTLTLSKAD YEKHKVYACE 200

VTHQGLSSPV TKSFNRGEC 219
N-glycosylation sites / Sites de N-glycosylation / Posiciones de N-glicosilación
H CH2 N84.4:
```

coltuximabum ravtansinum # coltuximab ravtansine

immunoglobulin G1-kappa, anti-[Homo sapiens CD19 (B lymphocyte surface antigen B4, Leu-12)], chimeric monoclonal antibody conjugated to maytansinoid DM4;

295, 295"

gamma1 heavy chain (1-450) [Mus musculus VH (IGHV1-69*02 -(IGHD)-IGHJ4*01) [8.8.13] (1-120) -Homo sapiens IGHG1*01 (CH1 (121-218), hinge (219-233), CH2 (234-343), CH3 (344-448), CHS (449-450)) (121-450)], (223-211')-disulfide with kappa light chain (1'-211') [Mus musculus V-KAPPA (IGKV4-70*01 -IGKJ1*01) [5.3.7] (1'-104') -Homo sapiens IGKC*01 (105'-211')]; dimer (229-229":232-232")-bisdisulfide; conjugated, on an average of 3 to 4 lysyl, to maytansinoid DM4 [N°-deacetyl-N°-(4-mercapto-4-methyl-1-oxopentyl)-maytansine] via the reducible SPDB linker [Nsuccinimidyl 4-(2-pyridyldithio)butanoate] For the ravtansine part, please refer to the document "INN for

pharmaceutical substances: Names for radicals, groups and others"*

coltuximab ravtansine

coltuximab ravtansina

immunoglobuline G1-kappa, anti-[Homo sapiens CD19 (antigène de surface B4 des lymphocytes B, Leu-12)], anticorps monoclonal chimérique conjugué au maytansinoïde DM4; chaîne lourde gamma1 (1-450) [Mus musculus VH (IGHV1-69*02 -(IGHD)-IGHJ4*01) [8.8.13] (1-120) -Homo sapiens IGHG1*01 (CH1 (121-218), charnière (219-233), CH2 (234-343), CH3 (344-448), CHS (449-450)) (121-450)], (223-211')-disulfure avec la chaîne légère kappa (1'-211') [Mus musculus V-KAPPA (IGKV4-70*01 -IGKJ1*01) [5.3.7] (1'-104') -Homo sapiens IGKC*01 (105'-211')]; dimère (229-229":232-232")-bisdisulfure; conjugué, sur 3 à 4 lysyl en moyenne, au maytansinoïde DM4 [N2-déacétyl-N2-(4-mercapto-4-méthyl-1-oxopentyl)-maytansine] via le linker SPDB réductible [4-(2-pyridyldithio)butanoate de N-succinimidyle] Pour la partie ravtansine, veuillez-vous référer au document "INN for pharmaceutical substances: Names for radicals, groups and others"*.

inmunoglobulina G1-kappa, anti-[CD19 de Homo sapiens (antígeno de superficie B4 de los linfocitos B, Leu-12)], anticuerpo monoclonal quimérico conjugado con el maitansinoide DM4; cadena pesada gamma1 (1-450) [Mus musculus VH (IGHV1-69*02 -(IGHD)-İGHJ4*01) [8.8.13] (1-120) -Homo sapiens IGHG1*01 (CH1 (121-218), bisagrá (219-233), CH2 (234-343), CH3 (344-448), CHS (449-450)) (121-450)], (223-211')-disulfuro con la cadena ligera kappa (1'-211') [Mus musculus V-KAPPA (IGKV4-70*01 -IGKJ1*01) [5.3.7] (1'-104') -Homo sapiens IGKC*01 (105'-211')]; dímero (229-229":232-232")-bisdisulfuro;conjugado en 3 -4 restos lisil por término medio, con el maitansinoide DM4 [N2-desacetil-N2-(4-mercapto-4-metil-1-oxopentil)-maitansina] mediante un conector SPDB reducible [4-(2-piridilditio)butanoato de N-succinimidilo] La información sobre la ravtansina, la encontrarán en el documento "INN for pharmaceutical substances: Names for radicals, groups and others"*.

```
Heavy chain / Chaîne lourde / Cadena pesada
 QVQLVQPGAE VVKPGASVKL SCKTSGYTFT SNWMHWVKQA PGQGLEWIGE 50
IDPSDSYTNY NQNFQGKAKL TVDKSTSTAY MEVSSLRSDD TAVYYCARGS 100
DYYYAMDYW GQCTSVTVSS ASTKGESVFF LAPSSKSTSG GTAALGCLVK 150
DYFPEPVTVS WNSGALTSGV HTFPAVLQSS GLYSLSSVVT VPSSSLGTQT 200
YICNVNHKPS NTKVDKKVEP KSCDKTHTCP PCPAPELLGG PSVFLFPPKP 250
KOTIMISSTP EVTCVVVDVS HEDPEVKFNW YVDGVEVHNA KTRFREEQYN 350
STYRVVSVLT VLHQDWLNGK EVKCKVSNKA LPAPIEKTIS KAKGQPREPQ 350
VYTLPPSRDE LTKNQVSLTC LVKGFYPSDI AVEMESNGQP ENNYKTTPPV 400
LDSDGSFFLY SKLTVDKSRW QQGNVFSCSV MHEALHNHYT QKSLSLSPGK 450
```

```
Light chain / Chaîne légère / Cadena ligera
EIVLTQSPAI MSASPGERVT MTCSASSGVN YMHWYQQKPG TSPRRWIYDT 50
SKLASGVPAR FSGSGSGTDY SLTISSMEPE DAATYYCHQR GSYTFGGGTK 100
LEIKRTVAAP SVFIFPPSDE QLKSGTASVV CLLNNFYPRE AKVQWKVDNA 150
 LQSGNSQESV TEQDSKDSTY SLSSTLTLSK ADYEKHKVYA CEVTHQGLSS 200
PVTKSFNRGE C
```

Disulfide bridges location / Position des ponts disulfure / Posiciones de los puentes disulfuro Intra-H (C23-C104) 22-96 147-203 264-324 370-428 22"-96" 147"-203" 264"-324" 370"-428" Intra-L (C23-C104) 23"-87" 131"-191" 23""-87" 131"" Inter-H-L (h 5-CL 126) 223-211' 223"-211" Inter-H-H (h 11, h 14) 229-229" 232-232"

N-glycosylation sites / Sites de N-glycosylation / Posiciones de N-glicosilación H CH2 N84.4: 300, 300"

For the raviansine part, please refer to the document "INN for pharmaceutical substances: Names for radicals, groups and others"*
Pour la partie raviansine, veuillez vous référer au document "INN for pharmaceutical substances: Names for radicals, groups and others"*.

Para la fracción ravtansina, se pueden dirigir al documento "INN for pharmaceutical substances: Names for radicals, groups and others"*.

damoctocogum alfa pegolum

damoctocog alfa pegol

damoctocog alfa pégol

damoctocog alfa pegol

recombinant DNA derived pegylated B domain deleted human blood coagulation factor VIII (single protein chain) analogue, produced in BHK21 cells (glycoform alfa):

des-(743-1636)-[1804-[S-(1-{3-[(3-{2,3-bis[}\omega-

methoxypoly(oxyethylene)]propoxy}propyl)amino]-3-oxopropyl}- 2,5-dioxopyrrolidin-3-yl)-L-cysteine](K> \underline{C})]human coagulation factor

analogue du facteur de coagulation sanguine VIII humain amputé du domaine B (une seule chaîne protéique), produit par des cellules BHK21 à partir d'ADN recombinant (glycoforme alfa) : dès-(743-1636)-[1804-[S-(1-{3-[(3-{2,3-bis}[\omega-

méthoxypoly(oxyéthylène)]propoxy}propyl)amino]-3-oxopropyl}-2,5-dioxopyrrolidin-3-yl)-L-cystéine](K><u>C</u>)]facteur VIII de coagulation humain

análogo del factor VIII de coagulación humano privado del domanio B (una sola cadena proteica), producido por células BHK21 a partir de ADN recombinante (glicoforma alfa) : $des-(743-1636)-[1804-[S-(1-{3-[(3-{2,3-bis[}\omega-$

metoxipoli(oxietileno)]propoxi}propil)amino]-3-oxopropil}-

2,5-dioxopirrolidin-3-il)-L-cisteina](K><u>C</u>)]factor VIII de coagulación humano

Single chain protein / Proteine monocatenaria (1438 AA)
ATRRYYLGAV ELSWDYMGSD LGELPVDARF PPRVPKSFFF NTSVVYKKTL 50
FVEFTDHLEN LAKPRPPWMG LLGPTIQAEV YDTVVITLKN MASHPVSLHA 100
VGVSYWKASE GAEYDDTSQ REKEDDKYPF GSSHTYVWQV LKENGEMASD 150
PLCLTYSYLS HVDLVKDLNS GLIGALLVCR EGSLAKEKTQ TLHKFILLFA 200
VFDEGKSWHS ETKNSLMGDR DAASARAMPK MHTVNGYVMR SLPGLIGCHR 250
KSVYWHVIGM GTTEPVHSIF LEGHFLVRN HRQASLEISP ITFLTAGTLL 300
MDLQGFLLFC HISSHQHDGM EAYVKVDSCP EEPQLEMKNN EEAEDYDDDL 350
TDSEMDVNFF DDDNSPSFIQ IRSVAKKHPK TWVHYIAAEE EDWDYAPLVL 400
APDDRSYKSQ YLNNGPQRIG RRYKKVRFMA YTDETFKTRE AIGHESGLIG 450
PLLYGEVGDT LLIIFKNQAS RPYNIYPHGI TDVRPLYSRR LPKGVKHLKD 500
FVLLGPEFF YKWTVTUEDE PTKSPRCLT RYYSSFVNNE BULASGLIGF 550
LLICYKESVD QRGNQIMSDK RRVILFSVFD ENSSWLITEN IQRFLPNPAG 600
VFFSGYTFKH KMVYEDTLTL FFFSGETVFM SMENPGLWIL GCHNSDFRNR 700
GMTALLKVSS CDKNTGDYYE DSYEDISAYL LSKNNAIER SF 742
CRTTLQSDQE BIDYDDTISV EMKKEDFDLY SKENNAIERS FF 742
TRTTLQSDQE BIDYDDTISV EMKKEDFDLY DEDENGSPRS FQKKTRHYFI 1700
AAVERLMDYG MSSSPHVLRN RAQSGSVPQF KKVVYGEFTD GSFTQDLYNG 1750
ELNEHLGLLG PYIRAEVEDN IMVTFRNQAS RPYSFYSSLI SYEEDQRQGA 1800
EPPRCNFVKNE TERTYFKKVQ HHMAPTKDGF DCKAMAYFSD VDLEKDVHGS 1550
LLIGFLLVCHT NTLNPAHGRQ VTVQEFALFF TIEDETKSWY FTENMERNCR 1900
APCNIQMEDP TTKENYRFHA INSYIMDTLP GLVMAQDQRI RWYLLSMGSN 1950
ENHSIHFSG HYFTVKKKE YKMALYNLYP GVEFTVEMLPS KAGINWEVEC 2000
LIGEHLBAGM STLFLVYSNK CQTPLGMASG HIRDFQITAS QYGQMAPKL 2050
RTHYSGSIN AWSTKEPFSW IKVDLLAPMI HGIKTQGAR QKFSSLYISQ 2100
ATWSPSKARA HLQGRSNAWR PQNNAFRENU LONGOKYNTKU TGSTTYGDLYS 2250
LLTSYLDRY RESPONDER CHNOFFENU LONGOKYNTKE 2150
LLTSYLDRY RESPONDER CHNOFFENU LONGOKYNTE 2250
LLTSYLDRY QUSYOFARN PONDOKYNEW EVFOYNDES 2250
LLTSYLRIPP QSWVHQIALR MEVLGCEAQU LY 2332

Disulfide bridges location / Position des ponts disulfure / Posiciones de los puentes disulfuro 153-179 248-329 528-554 630-711 1832-1858 1899-1903 2021-2169 2174-2326

Modified residues / Résidus modifiés / Restos modificados

Glycosylation sites / Sites de glycosylation / Posiciones de glicosilación Asn-41 Asn-239 Asn-1810 Asn-2118 dasabuvirum

dasabuvir $N-(6-\{3-tert-butyl-5-[2,4-dioxo-3,4-dihydropyrimidin-1(2H)-yl]-$ 2-methoxyphenyl}naphthalen-2-yl)methanesulfonamide

N-(6-{3-tert-butyl-5-[2,4-dioxo-3,4-dihydropyrimidin-1(2H)-yl]dasabuvir

2-méthoxyphényl}naphtalén-2-yl)méthanesulfonamide

N-(6-{3-terc-butil-5-[2,4-dioxo-3,4-dihidropirimidin-1(2H)-il]dasabuvir 2-metoxifenil}naftalen-2-il)metanosulfonamida

 $C_{26}H_{27}N_{3}O_{5}S$

decoglurantum

decoglurant 5-[2-[7-(trifluoromethyl)-5-[4-(trifluoromethyl)phenyl]pyrazolo[1,5-

a]pyrimidin-3-yl]ethynyl]pyridin-2-amine

décoglurant 5-(2-{7-(trifluorométhyl)-5-[4-(trifluorométhyl)phényl]pyrazolo[1,5-

a]pyrimidin-3-yl}ethynyl)pyridin-2-amine

decoglurant 5-(2-{7-(trifluorometil)-5-[4-(trifluorometil)fenil]pirazolo[1,5-a]pirimidin-

3-il}etinil)piridin-2-amina

$$C_{21}H_{11}F_6N_5$$
 CF_3

dianexinum #

dianexin recombinant DNA derived annexin A5 dimer covalently linked by a 14 residues peptide linker, produced in Escherichia coli

(nonglycosylated):

L-methionyl-human annexin A5 fusion protein with glycyl-L-seryl-

 $\verb|L-leucyl-L-\alpha-g| utamyl-L-valyl-L-leucyl-L-phenylal anyl-\\$

L-glutaminylglycyl-L-prolyl-L-serylglycyl-L-lysyl-L-leucyl-human

dimère de l'annexine A5 liées de façon covalente par une chaîne dianexine

peptidique de 14 acides aminés, produit par Escherichia coli à partir

d'ADN recombinant (non glycosylé) :

L-méthionyl-annexine A5 humaine protéine de fusion avec la glycyl-

L-séryl-L-leucyl-L-α-glutamyl-L-valyl-L-leucyl-L-phénylalanyl-

L-glutaminylglycyl-L-prolyl-L-sérylglycyl-L-lysyl-L-leucyl-annexine A5

humaine

dianexina

dímero de la anexina A5 covalentemente unido por una cadena peptídica de 14 aminoácidos, producido por *Escherichia coli* a partir de ADN recombinante (no glicosilado):

L-metionil-anexina A5 humana proteína de fusión con la glicil-L-seril-L-leucil-L-α-glutamil-L-valil-L-leucil-L-fenilalanil-L-glutaminilglicil-L-prolil-L-serilglicil-L-lisil-L-leucil-anexina A5 humana

Sequence / Séquence / Secuencia

```
MAQVLRGTVT DPGGFDERAD AETLRKAMKG LGTDEESILT LLTSRSNAQR 50
QEISAAFKTI FGRDLLDDLK SELTGKFEKL IVALMKPSRL YDAYELKHAL 100
KGAGTNEKVL TEIIASRTPE ELRAIKQVYE EEYGSSLEDD VVGDTSGYYQ 150
RMLVVLLQAN RDPDAGIDEA QVEQDAQALF QAGELKWGTD EEKFITIFGT 200
RSVSHLRKVF DKYMTISGFQ IEETIDRETS GNLEQLLLAV VKSIRSIPAY 250
LAETLYYAMK GAGTDDHTLI RVMVSRSEID LFNIRKEFRK NFATSLYSMI 300
KGDTSGDYKK ALLLLCGEDD GSLEVLFQGP SGKLAQVURG TVTDFFGFDE 350
RADAETLRKA MKGLGTDEES ILTLLTSRSN AQRQEISAAF KTLFGRDLLD 400
DLKSELTGKF EKLIVALMKP SRLYDAYELK HALKGAGTNE KVLTEIIASR 450
TPEELRAIKQ VŸEEEYGSSL EDDVVGDTSG YYQRMLVVLL QANRDPDAGI 500
DEAQVEQDAQ ALFQAGELKW GTDEEKFITI FGTRSVSHLR KVFDKYMTIS 550
GFQIFETIDR ETSGNLEQLL LAVVKSIRSI PAYLAETLYY AMKGAGTDDH 600
TLIRVMVSRS EIDLFNIRKE FRKNFATSLY SMIKGDTSGD YKKALLLCG 650
```

Modified residues / Résidus modifiés / Restos modificados

dinutuximabum # dinutuximab

immunoglobulin G1-kappa, anti-ganglioside GD2, chimeric monoclonal antibody;

gamma1 heavy chain (1-443) [*Mus musculus* VH (IGHV1S135*01 - (IGHD)-IGHJ4*01) [8.8.6] (1-113) -*Homo sapiens* IGHG1*03 (CH1 (114-211), hinge (212-226), CH2 (227-336), CH3 (337-441), CHS (442-443)) (114-443)], (216-220')-disulfide with kappa light chain (1'-220') [*Mus musculus* V-KAPPA (IGKV1-110*01 -IGKJ5*01) 11.3.10] (1'-113') -*Homo sapiens* IGKC*01 (114'-220')]; dimer (222-222":225-225")-bisdisulfide

dinutuximab

immunoglobuline G1-kappa, anti-ganglioside GD2, anticorps monoclonal chimérique;

chaîne lourde gamma1 (1-443) [*Mus musculus* VH (IGHV1S135*01 - (IGHD)-IGHJ4*01) [8.8.6] (1-113) -*Homo sapiens* IGHG1*03 (CH1 (114-222), charnière (223-237), CH2 (238-347), CH3 (348-452), CH3 (453-454)) (125-454)], (216-220')-disulfure avec la chaîne légère kappa (1'-220') [*Mus musculus* V-KAPPA (IGKV1-110*01 - IGKJ5*01) 11.3.10] (1'-113') -*Homo sapiens* IGKC*01 (114'-220')]; dimère (222-222":225-225")-bisdisulfure

dinutuximab

inmunoglobulina G1-kappa, anti-gangliósido GD2, anticuerpo monoclonal quimérico; cadena pesada gamma1 (1-443) [*Mus musculus* VH

cadena pesada gamma 1 (1-443) [*Mus musculus* VH (IGHV1S135*01 -(IGHD)-IGHJ4*01) [8.8.6] (1-113) -*Homo sapiens* IGHG1*03 (CH1 (114-222), bisagra (223-237), CH2 (238-347), CH3 (348-452), CHS (453-454)) (125-454)], (216-220')-disulfuro con la cadena ligera kappa (1'-220') [*Mus musculus* V-KAPPA (IGKV1-110*01 -IGKJ5*01) 11.3.10] (1'-113') -*Homo sapiens* IGKC*01 (114'-220')]; dímero(222-222":225-225")-bisdisulfuro

Heavy chain / Chaîne lourde / Cadena pesada

EVQLLQSGPE	LEKPGASVMI	SCKASGSSFT	GYNMNWVRQN	IGKSLEWIGA	50
IDPYYGGTSY	NQKFKGRATL	TVDKSSSTAY	MHLKSLTSED	SAVYYCVSGM	100
EYWGQGTSVT	VSSASTKGPS	VFPLAPSSKS	TSGGTAALGC	LVKDYFPEPV	150
TVSWNSGALT	SGVHTFPAVL	QSSGLYSLSS	VVTVPSSSLG	TQTYICNVNH	200
KPSNTKVDKR	VEPKSCDKTH	TCPPCPAPEL	LGGPSVFLFP	PKPKDTLMIS	250
RTPEVTCVVV	DVSHEDPEVK	FNWYVDGVEV	HNAKTKPREE	QYNSTYRVVS	300
VLTVLHQDWL	NGKEYKCKVS	NKALPAPIEK	TISKAKGQPR	EPQVYTLPPS	350
				PPVLDSDGSF	400
FT.YSKT.TVDK	SRWOOGNVFS	CSVMHEALHN	HYTOKST.ST.S	PGK	443

Light chain / Chaîne légère / Cadena ligera

EIVMTQSPAT	LSVSPGERAT	LSCRSSQSLV	HRNGNTYLHW	YLQKPGQSPK	50
LLIHKVSNRF	SGVPDRFSGS	GSGTDFTLKI	SRVEAEDLGV	YFCSQSTHVP	100
PLTFGAGTKL	ELKRTVAAPS	VFIFPPSDEQ	LKSGTASVVC	LLNNFYPREA	150
KVQWKVDNAL	QSGNSQESVT	EQDSKDSTYS	LSSTLTLSKA	DYEKHKVYAC	200
EVTHOGLSSP	VTKSFNRGEC				220

Disulfide bridges location / Position des ponts disulfure / Posiciones de los puentes disulfuro Intra-H (C23-C104) 22-96 140-196 257-317 363-421 22"-96" 140"-196" 257"-317" 363"-421" Intra-L (C23-C104) 23'-93" 140'-200" 33"-93" 140"-200" Inter-H-L (h 5-CL 126) 216-220" 216"-220" Inter-H-H (h 11-h 14) 222-222" 225-225"

N-glycosylation sites / Sites de N-glycosylation / Posiciones de N-glicosilación H CH2 N84.4: 293, 293"

doravirinum

doravirine

doravirine

doravirina

 $3\text{-chloro-}5\text{-}(\{1\text{-}[(4\text{-methyl-}5\text{-}oxo\text{-}4,5\text{-}dihydro\text{-}1\text{-}1,2,4\text{-}triazol\text{-}1,2,4\text{-}triazol\text{-}1,2,4\text{-}triazol\text{-}2,4\text{-}1,2,4\text{-}triazol\text{-}2,4\text{-}1,2,4\text{-}triazol\text{-}2,4\text{-}1,2,4\text{-}triazol\text{-}2,4\text{-}1,2,4\text{-}triazol\text{-}2,4\text{-}1,2,4\text{-}triazol\text{-}2,4\text{-}1,2,4$ 3-yl)methyl]-2-oxo-4-(trifluoromethyl)-1,2-dihydropyridin-3-yl}oxy)benzonitrile

3-chloro-5-({1-[(4-méthyl-5-oxo-4,5-dihydro-1*H*-1,2,4-triazol-3-yl)méthyl]-2-oxo-4-(trifluorométhyl)-1,2-dihydropyridin-3-yl/oxy)benzonitrile

 $3\text{-cloro-}5\text{-}(\{1\text{-}[(4\text{-metil-}5\text{-}oxo\text{-}4,5\text{-dihidro-}1\text{-}1,2,4\text{-triazol-}3\text{-il})\text{metil}]\text{-}$ 2-oxo-4-(trifluorometil)-1,2-dihidropiridin-3-il}oxi)benzonitrilo

 $C_{17}H_{11}CIF_3N_5O_3$

eldelumabum # eldelumab

immunoglobulin G1-kappa, anti-[Homo sapiens CXCL10 (chemokine C-X-C motif ligand 10, 10 kDa interferon gamma-induced protein gamma-IP10, IP-10, INP10, small inducible cytokine B10, SCYB10)], Homo sapiens monoclonal antibody;gamma1 heavy chain (1-454) [Homo sapiens VH (IGHV3-33*01 (89.80%) -(IGHD)-IGHJ6*01) [8.8.17] (1-124) -IGHG1*01 (CH1 (125-222), hinge (223-237), CH2 (238-347), CH3 (348-452), CHS (453-454)) (125-454)], (227-216')disulfide with kappa light chain (1'-216') [Homo sapiens V-KAPPA (IGKV3-20*01 (100.00%) -IGKJ3*01) [7.3.10] (1'-109') -IGKC*01 (110'-216')]; dimer (233-233":236-236")-bisdisulfide

eldélumab

immunoglobuline G1-kappa, anti-[Homo sapiens CXCL10 (chémokine C-X-C motif ligand 10, protéine gamma-IP10 de 10 kDa induite par l'interféron gamma, IP-10, INP10, petite cytokine inductible B10, SCYB10)], Homo sapiens anticorps monoclonal; chaîne lourde gamma1 (1-454) [Homo sapiens VH (IGHV3-33*01 (89.80%) -(IGHD)-IGHJ6*01) [8.8.17] (1-124) -IGHG1*01 (CH1 (125-222), charnière (223-237), CH2 (238-347), CH3 (348-452), CHS (453-454)) (125-454)], (227-216')-disulfure avec la chaîne légère kappa (1'-216') [Homo sapiens V- KAPPA (IGKV3-20*01 (100.00%) - IGKJ3*01) [7.3.10] (1'-109') -IGKC*01 (110'-216')]; dimère (233-233":236-236")-bisdisulfure

eldelumab

inmunoglobulina G1-kappa, anti-[CXCL10 de *Homo sapiens* (quimioquina C-X-C motivo ligando 10, proteína gamma-IP10 de 10 kDa inducida por el interferón gamma, IP-10, INP10, pequeña citoquina inducible B10, SCYB10)], anticuerpo monoclonal de *Homo sapiens*;

cadena pesada gamma1 (1-454) [Homo sapiens VH (IGHV3-33*01 (89.80%) -(IGHD)-IGHJ6*01) [8.8.17] (1-124) -IGHG1*01 (CH1 (125-222), bisagra (223-237), CH2 (238-347), CH3 (348-452), CHS (453-454)) (125-454)], (227-216')-disulfuro con la cadena ligera kappa (1'-216') [Homo sapiens V-KAPPA (IGKV3-20*01 (100.00%) -IGKJ3*01) [7.3.10] (1'-109') -IGKC*01 (110'-216')]; dimero (233-233":236-236")-bisdisulfuro

```
Heavy chain / Chaine lourde / Cadena pesada
QMQLVESGGG VVQPGRSLRL SCTASGFTFS NNGMHWVRQA PGKGLEWVAV 50
IWEDGMNKFY VDSVKGRFTI SRDNSKNTLY LEMNSLRAED TAIYYCAREG 100
DGSGIYYYG MDVWGQGTTV TVSSASTKGP SVFPLAPSSK STSGGTARLG 150
CLVKDYFPEP VTVSWNSGAL TSGVHTFPAV LQSSGLYSLS SVVTVPSSSL 200
GTQTYICNN HKESNTKVDK RVEPKSCDKT HTCPCPAPE LLGGSBVFLF 250
PPKFKDTLMI SRTFEVTCVV VDVSHBDPEV KFWWYDGGV VHAARKFRE 300
EQYNSTYRVY SVLTVLHQDW LNGKEVKCKV SNKALPAPIE KITSKAKGQP 350
REPQVTTLPP SREEMTKNQV SLTCLVKGFY PSDIAVEWSS NGQPENNYKT 400
TPPVLDSDGS FFLYSKLTVD KSRWQQGNVF SCSVMHEALH NHYTQKSLSL 450
SPGK
Light chain / Chaine légère / Cadena ligera
EIVLTQSPGT LSLSPGERAT LSCRASQSVS SSYLAWYQQK PGQAPRLLIY 50
GASSRATGIP DRFSGSGST DFTLTISRLE PEDFAVYYCQ QYGSSPIFTF 100
GPGTKVDIKR TVAAPSVFIF PFSDEQLKSG TASVVCLLNN FYPREAKVQW 150
KVDNALQSGN SQESVTEQDS KDSTYSLSST LTLSKADYEK HKVYACEVTH 200
QGLSSPVTKS FNRGEC
Disulfide bridges location / Position des ponts disulture / Posiciones de los puentes disulfuro
Intra-H (C23-C104) 22-96 151-207 268-328 374"-432"

Intra-L (C23-C104) 22-96 151-207 268-328" 374"-432"

Intra-L (C23-C104) 23-89 136'-196"

EVEN H. LAS CH. 100. 23-23 16 23'' 186"''.
```

N-glycosylation sites / Sites de N-glycosylation / Posiciones de N-glicosilación H CH2 N84.4: 304, 304"

eluxadolinum

eluxadoline

5-({[(2S)-2-amino-3-(4-carbamoyl-

Inter-H-L (h 5-CL 126) 227-216' 227"-216 Inter-H-H (h 11, h 14) 233-233" 236-236"

2,6-dimethylphenyl)propanoyl][(1S)-1-(4-phenyl-1H-imidazol-

2-yl)ethyl]amino}methyl)-2-methoxybenzoic acid

éluxadoline

acide 5-({[(2S)-2-amino-3-(4-carbamoyl-

 $2,6-dim\acute{e}thylph\acute{e}nyl)propanoyl][(1S)-1-(4-ph\acute{e}nyl-1H-imidazol-1S)-1-(4-ph\acute{e}nyl-1H-i$

2-yl)éthyl]amino}méthyl)-2-méthoxybenzoïque

eluxadolina

ácido 5-({[(2S)-2-amino-3-(4-carbamoil-

2,6-dimetilfenil)propanoil][(1S)-1-(4-fenil-1H-imidazol-

2-il)etil]amino}metil)-2-metoxibenzoico

encorafenibum

encorafenib

methyl *N*-{(2S)-1-[(4-{3-[5-chloro-2-fluoro-3-(methanesulfonamido)phenyl]}-1-(propan-2-yl)-1*H*-pyrazol-4-yl}pyrimidin-2-yl)amino]propan-2-yl}carbamate

encorafénib

 $N-\{(2S)-1-[(4-\{3-[5-chloro-2-fluoro-3-(méthanesulfonamido)phényl]\}-1-(propan-2-yl)-1$H-pyrazol-4-yl}pyrimidin-2-yl)amino]propan-2-yl}carbamate de méthyle$

encorafenib

N-{(2S)-1-[(4-{3-[5-cloro-2-fluoro-3-(metanosulfonamido)fenil]}-1-(propan-2-il)-1*H*-pirazol-4-il}pirimidin-2-il)amino]propan-2-il}carbamato de metilo

C₂₂H₂₇CIFN₇O₄S

$$\begin{array}{c|c} CI & H & H & CH_3 & O \\ \hline \\ O & O & H_3C & N & H & CH_3 \\ \hline \\ H_3C & S & N & H_3C & CH_3 \\ \hline \\ & & & & & & \\ \end{array}$$

enfortumabum vedotinum

enfortumab vedotin

immunoglobulin G1-kappa, anti-[Homo sapiens PVRL4 (poliovirus receptor-related 4, nectin-4, nectin 4, PPR4, LNIR], Homo sapiens monoclonal antibody conjugated to auristatin E; gamma1 heavy chain (1-447) [Homo sapiens VH (IGHV3-48*02 (98.00%) -(IGHD)-IGHJ6*01) [8.8.10] (1-117) -IGHG1*03 (CH1 (118-215), hinge (216-230), CH2 (231-340), CH3 (341-445), CHS (446-447)) (118-447)], (220-214')-disulfide with kappa light chain (1'-214') [Homo sapiens V-KAPPA (IGKV1-12*01 (96.80%) -IGKJ4*01) [6.3.9] (1'-107') -IGKC*01 (108'-214')]; dimer (226-226":229-229")-bisdisulfide; conjugated, on an average of 3 to 4 cysteinyl, to monomethylauristatin E (MMAE), via a cleavable maleimidecaproyl-valyl-citrullinyl-p-aminobenzylcarbamate (mc-val-cit-PABC) linker For the vedotin part, please refer to the document "INN for pharmaceutical substances: Names for radicals, groups and others"*.

enfortumab védotine

enfortumab vedotina

immunoglobuline G1-kappa, anti-[Homo sapiens PVRL4 (membre 4 de la famille du récepteur du poliovirus, nectine-4, nectine 4, PPR4, LNIR], Homo sapiens anticorps monoclonal conjugué à l'auristatine E; chaîne lourde gamma1 (1-447) [Homo sapiens VH (IGHV3-48*02 (98.00%) -(IGHD)-IGHJ6*01) [8.8.10] (1-117) -IGHG1*03 (CH1 (118-215), charnière (216-230), CH2 (231-340), CH3 (341-445), CHS (446-447)) (118-447)], (220-214')-disulfure avec la chaîne légère kappa (1'-214') [Homo sapiens V- KAPPA (IGKV1-12*01 (96.80%) -IGKJ4*01) [6.3.9] (1'-107') -IGKC*01 (108'-214')]; dimère (226-226":229-229")-bisdisulfure; conjugué, sur 3 à 4 cystéinyl en moyenne, au monométhylauristatine E (MMAE), via un linker clivable maléimidecaproyl-valyl-citrullinyl-p-aminobenzylcarbamate (mc-val-cit-PABC)

Pour la partie védotine, veuillez-vous référer au document "INN for pharmaceutical substances: Names for radicals, groups and others"*.

inmunoglobulina G1-kappa, anti-[PVRL4 de *Homo sapiens* (miembro 4 de la familia del receptor de poliovirus, nectina-4, nectina 4, PPR4, LNIR], anticuerpo monoclonal de *Homo sapiens* conjugado con auristatina E:

cadena pesada gamma1 (1-447) [Homo sapiens VH (IGHV3-48*02 (98.00%) -(IGHD)-IGHJ6*01) [8.8.10] (1-117) -IGHG1*03 (CH1 (118-215), bisagra(216-230), CH2 (231-340), CH3 (341-445), CHS (446-447)) (118-447)], (220-214')-disulfuro con la cadena ligera kappa (1'-214') [Homo sapiens V-KAPPA (IGKV1-12*01 (96.80%) -IGKJ4*01) [6.3.9] (1'-107') -IGKC*01 (108'-214')]; dímero (226-226":229-229")-bisdisulfuro; conjugado, en 3- 4 restos cisteinil por término medio, con monometilauristatinea E (MMAE), mediante un conector escindible maleimidocaproil-valil-citrulinil-p-aminobencilcarbamato (mc-val-cit-PABC)

La información sobre la vedotina, la encontrarán en el documento "INN for pharmaceutical substances: Names for radicals, groups and others"*.

```
Heavy chain / Chaîne lourde / Cadena pesada
EVQLVESGGG LVQPGGSLRL SCAASGFTFS SYNMNWVRQA PGKGLEWVSY 50
ISSSSTIYY ADSVKGRFTI SRDNARNSLS LQWNSLRDED TAVYYCARAY 100
PSESSSTIYY ADSVKGRFTI SRDNARNSLS LQWNSLRDED TAVYYCARAY 100
PSEVTYSWNS GALTSCVHTF PAVLQSGLY SLSSCTYTYC 200
NVNHKPSNTK VDKRVEPKSC DKTHTCPECP APELLGGPSV FLFPRFKRDT 250
LMISRTPEVT CVVVDVSHED PEVKFRWYDD GVEVHNAKTK PREQVNSTY 300
RVVSVLTVLH QDMLNGKEYK CKVSNKALPA PIEKTISKAK GQPREPQVYT 350
LPPSREBMFK NOVSLTCLVK GFYPSDIAVE MESNGGPEN YKTTPPVLDS 400
DGSFFLYSKL TVDKSRWQQG NVFSCSVMHE ALHNHYTQKS LSLSPGK 447

Light chain / Chaîne lêgère / Cadena ligera
DIQMTGSPSS VSASVGDRVT ITCRASGGIS GWLAWYQQKP GKAPKFLIVA 50
ASTLOGOVES PREGSGSGTD FTLTISSLOP EDPATYYCQO ANSPPEPTEGG 100
GTKVEIKRYV AAPSVFIFPP SDEQLKSGTA SVVCLLNNFY PREAKVQWKV 150
DNALQSGNSQ ESVTEQDSKD STYSLSSTLT LSKADYEKHK VYACEVTHGG 200
LSSPVTKSFN RGEC 214

Disulfide bridges location / Position des ponts disulfure / Positiones de los puentes disulfuro Intra-H (C23-C104) 22-96 144-200 261-321 367-425

Intra-L (C23-C104) 22-96 144-200 261-321 367-425

Intra-L (C23-C104) 23-88 134'-194"

Inter-H-H (h 11, h 14) * 226-226' 229-229'
*Two or three of the inter-chain disulfide bridges are not present, an average of 3 to 4 cysteinyl being conjugated each to a drug linker.
*Pelux out rous des ponts disulfuro inter-catenarios, una media de 3 a 4 cisteinil está conjugada a conectores de principio activo.

N-glycosylation sites / Sites de N-glycosylation / Posiciones de N-glicosilación H CH2 N84.4:
297, 297''

For the vedotin part, please refer to the document "INN for pharmaceutical substances: Names for radicals, groups and others"*

Pour la partie védotine, veuillez vous réfèrer au document "INN for pharmaceutical substances: Names for radicals, groups and others"*

Para la fracción vedotina, se pueden dirigir al documento "INN for pharmaceutical substances: Names for radicals, groups and others"*
```

fevipiprantum

fevipiprant 2-(1-{[4-methanesulfonyl-2-(trifluoromethyl)phenyl]methyl}-2-methyl-

1H-pyrrolo[2,3-b]pyridin-3-yl)acetic acid

févipiprant acide 2-(1-{[4-méthanesulfonyl-2-(trifluorométhyl)phényl]méthyl}-

2-méthyl-1H-pyrrolo[2,3-b]pyridin-3-yl)acétique

fevipiprant ácido 2-(1-{[4-metanosulfonil-2-(trifluorometil)fenil]metil}-2-metil-

1*H*-pirrolo[2,3-*b*]piridin-3-il)acético

 $C_{19}H_{17}F_3N_2O_4S$

filanesibum

filanesib (2S)-2-(3-aminopropyl)-5-(2,5-difluorophenyl)-N-methoxy-N-methyl-

2-phenyl-1,3,4-thiadiazole-3(2H)-carboxamide

filanésib (2S)-2-(3-aminopropyl)-5-(2,5-difluorophényl)-N-méthoxy-N-méthyl-

2-phényl-1,3,4-thiadiazole-3(2H)-carboxamide

filanesib (2S)-2-(3-aminopropil)-5-(2,5-difluorofenil)-2-fenil-*N*-metil-*N*-metoxi-

1,3,4-tiadiazol-3(2H)-carboxamida

 $C_{20}H_{22}F_2N_4O_2S$

galunisertibum

galunisertib 4-[2-(6-methylpyridin-2-yl)-5,6-dihydro-4*H*-pyrrolo[1,2-*b*]pyrazol-

3-yl]quinoline-6-carboxamide

galunisertib 4-[2-(6-méthylpyridin-2-yl)-5,6-dihydro-4*H*-pyrrolo[1,2-*b*]pyrazol-

3-yl]quinoléine-6-carboxamide

galunisertib 4-[2-(6-metilpiridin-2-il)-5,6-dihidro-4*H*-pirrolo[1,2-*b*]pirazol-

3-il]quinolina-6-carboxamida

 $C_{22}H_{19}N_5O$

guselkumabum # auselkumab

immunoglobulin G1-lambda2, anti-[Homo sapiens IL23 (interleukin 23, IL-23)], Homo sapiens monoclonal antibody; gamma1 heavy chain (1-446) [Homo sapiens VH (IGHV5-51*01 (93.90%) -(IGHD)-IGHJ3*01 M123>L (112)) [8.8.10] (1-117) IGHG1*01 (CH1 (118-215), hinge (216-230), CH2 (231-340), CH3 (341-444), CHS (445-446)) (118-446)], (220-216')-disulfide with lambda light chain (1'-217') [Homo sapiens V-LAMBDA (IGLV1-40*01 (91.80%) -IGLJ2*01) [9.3.11] (1'-111') -IGLC2*01 (112'-217')]; dimer (226-226":229-229")-bisdisulfide

guselkumab

immunoglobuline G1-lambda2, anti-[Homo sapiens IL23 (interleukine 23, IL-23)], Homo sapiens anticorps monoclonal; chaîne lourde gamma1 (1-446) [Homo sapiens VH (IGHV5-51*01 (93.90%) -(IGHD)-IGHJ3*01 M123>L (112)) [8.8.10] (1-117) IGHG1*01 (CH1 (118-215), charnière (216-230), CH2 (231-340), CH3 (341-444), CHS (445-446)) (118-446)], (220-216')-disulfure avec la chaîne légère lambda (1'-217') [Homo sapiens V-LAMBDA (IGLV1-40*01 (91.80%) -IGLJ2*01) [9.3.11] (1'-111') -IGLC2*01 (112'-217')]; dimère (226-226":229-229")-bisdisulfure

guselkumab

inmunoglobulina G1-lambda2, anti-[IL23 (interleukina 23, IL-23) de Homo sapiens], anticuerpo monoclonal de Homo sapiens; cadena pesada gamma1 (1-446) [Homo sapiens VH (IGHV5-51*01 (93.90%) -(IGHD)-IGHJ3*01 M123>L (112)) [8.8.10] (1-117) -IGHG1*01 (CH1 (118-215), bisagra (216-230), CH2 (231-340), CH3 (341-444), CHS (445-446)) (118-446)], (220-216')-disulfuro con la cadena ligera lambda (1'-217') [Homo sapiens V-LAMBDA (IGLV1-40*01 (91.80%) -IGLJ2*01) [9.3.11] (1'-111') -IGLC2*01 (112'-217')]; dímero (226-226":229-229")-bisdisulfuro

```
Heavy chain / Chaîne lourde / Cadena pesada

EVQLVQSCAE VKKFGESLKI SCKGSGYSFS NYWIGWVRQM PGKGLEWMGI 50
IDPSNSYTRY SPSFQGQVTI SADKSISTAY LOWSSLKASD TAMYYCARWY 100
YKPFDVWGQG TLVTVSSAST KGPSVYPFLAP SSKSTSGGTA ALGCLVKDYF 150
PEPVTVSWNS GALTSGVHTF PAVLQSSGLY SLSSVVTVPS SSLGTQTYIC 200
NVNHKPSNTK VDKKVEPKSC DKTHTCPPCP APELLGGPSV FLFPFKPDT 250
LMISRTPEVT CVVVDVSHED PEVKFNWYVD GVEVHNAKYK PREEGYNSTY 300
RVVSVLTVLH QDWLNGKEYK CKVSNKALPA PIEKTISKAK GQPREPQVYT 350
LPPSRDELTK NQVSLTCLVK GFYPSDIAVE WESNGQPENN YKTTPFVLDS 400
DGSFFINSKL TVDKSROWOG NVPSCSVMHE ALHNHYTORS LSLSPE 446
```

Light chain / Chaîne légère / Cadena ligera
QSVLTQPPSV SGAPGQRVTI SCTGSSSNIG SGYDVHWYQQ LPGTAPKLLI 50
YGNSKRPSGV PDRFSGSKSG TSASLAITGL QSEDEADYYC ASWTDGLSLV 100
YGGGGTKLTV LGQPKAAPSV TLFPPSSEEL QANKATLVCL ISDFYPGAVT 150
VAWKADSSPV KAGVETTTPS KQSNNKYAAS SYLSLTPEQW KSHRSYSCQV 200
THEGSTVEKT VAPTECS 217

DGSFFLYSKL TVDKSRWQQG NVFSCSVMHE ALHNHYTQKS LSLSPG

N-glycosylation sites / Sites de N-glycosylation / Posiciones de N-glicosilación H CH2 N84.4: 297, 297"

idarucizumabum#

idarucizumab

immunoglobulin Fab G1-kappa, anti-[dagibatran], humanized monoclonal antibody;

VH-(CH1-hinge) gamma1 heavy chain (1-225) [humanized VH (Homo sapiens IGHV4-59*01 (82.30%) -(IGHD)-IGHJ4*01) [8.7.16] (1-122) -Homo sapiens IGHG1*01 (CH1 (123-220), hinge 1-5 (221-225)) (123-225)], (225-219')-disulfide with kappa light chain (1'-219') [humanized V-KAPPA (Homo sapiens IGKV2-30*01 (88.00%) -IGKJ4*01) [11.3.9] (1'-112') -Homo sapiens IGKC*01 (113'-219')]

idarucizumab

immunoglobuline Fab G1-kappa, anti-[dagibatran], anticorps monoclonal humanisé;

chaîne lourde VH-(CH1-charnière) gamma1 (1-225) [VH humanisé (Homo sapiens IGHV4-59*01 (82.30%) -(IGHD)-IGHJ4*01) [8.7.16] (1-122) -Homo sapiens IGHG1*01 (CH1 (123-220), charnière 1-5 (221-225)) (123-225)], (225-219')-disulfure avec la chaîne légère kappa (1'-219') [V-KAPPA humanisé (Homo sapiens IGKV2-30*01 (88.00%) -IGKJ4*01) [11.3.9] (1'-112') -Homo sapiens IGKC*01 (113'-219')]

idarucizumab

inmunoglobulina Fab G1-kappa, anti-[dagibatrán], anticuerpo monoclonal humanizado;

cadena pesada VH-(CH1-bisagra) gamma1 (1-225) [VH humanizado (Homo sapiens IGHV4-59*01 (82.30%) -(IGHD)-IGHJ4*01) [8.7.16] (1-122) -Homo sapiens IGHG1*01 (CH1 (123-220), bisagra 1-5 (221-225)) (123-225)], (225-219')-disulfuro con la cadena ligera kappa (1'-219') [V-KAPPA humanizado (Homo sapiens IGKV2-30*01 (88.00%) -IGKJ4*01) [11.3.9] (1'-112') -Homo sapiens IGKC*01 (113'-219')]

Heavy chain / Chaîne lourde / Cadena pesada

QVQLQESGPG	LVKPSETLSL	TCTVSGFSLT	SYIVDWIRQP	PGKGLEWIGV	50
IWAGGSTGYN	SALRSRVSIT	KDTSKNQFSL	KLSSVTAADT	AVYYCASAAY	100
YSYYNYDGFA	YWGQGTLVTV	SSASTKGPSV	FPLAPSSKST	SGGTAALGCL	150
VKDYFPEPVT	VSWNSGALTS	GVHTFPAVLQ	SSGLYSLSSV	VTVPSSSLGT	200
QTYICNVNHK	PSNTKVDKKV	EPKSC			225

Light chain / Chaîne légère / Cadena ligera

DVVMTQSPLS	LPVTLGQPAS	ISCKSSQSLL	YTDGKTYLYW	FLQRPGQSPR	50
RLIYLVSKLD	SGVPDRFSGS	GSGTDFTLKI	SRVEAEDVGV	YYCLQSTHFP	100
HTFGGGTKVE	IKRTVAAPSV	FIFPPSDEQL	KSGTASVVCL	LNNFYPREAK	150
VQWKVDNALQ	SGNSQESVTE	QDSKDSTYSL	SSTLTLSKAD	YEKHKVYACE	200
VTHOGLSSPV	TKSFNRGEC				219

Disulfide bridges location / Position des ponts disulfure / Posiciones de los puentes disulfuro Intra-H (C23-C104) 22-95 149-205 Intra-L (C23-C104) 23'-93' 139'-199' Inter-H-L (h 5-CL 126) 225-219'

N-glycosylation sites / Sites de N-glycosylation / Posiciones de N-glicosilación None - Aucun - Ninguno

ipafriceptum # ipafricept

fusion protein for immune applications (FPIA) comprising *Homo sapiens* FZD8 (frizzled family receptor 8, Frizzled-8) extracellular domain, fused with *Homo sapiens* immunoglobulin G1 Fc fragment; *Homo sapiens* FZD8 precursor fragment 28-158 (1-131) -*Homo sapiens* IGHG1*01 H-CH2-CH3 fragment (hinge 1-15 C5>S (136) (132-146), CH2 (147-256), CH3 (257-361), CHS (362-363)) (132-363); dimer (142-142':145-145')-bisdisulfide

ipafricept

protéine de fusion pour applications immunitaires (FPIA) comprenant le domaine extracellulaire d'*Homo sapiens* FZD8 (membre 8 de la famille de récepteurs frizzled, Frizzled-8), fusionné au fragment Fc de l'*Homo sapiens* immunoglobuline G1;

Homo sapiens FZD8 fragment 28-158 du précurseur (1-131) -Homo sapiens IGHG1*01 fragment H-CH2-CH3 (charnière 1-15 C5>S (136) (132-146), CH2 (147-256), CH3 (257-361), CHS (362-363)) (132-363); dimère (142-142':145-145')-bisdisulfure

ipafricept

proteína de fusión para aplicaciones inmunitarias (que comprende el dominio extracelular de FZD8 de Homo sapiens (miembro 8 de la familia de receptores frizzled, Frizzled-8), fusionado con el fragmento Fc de inmunoglobulina G1 de Homo sapiens; fragmento precursor 28-158 (1-131) de FZD8 de Homo sapiens -Homo sapiens IGHG1*01 fragmento H-CH2-CH3 (bisagra 1-15 C5>S (136) (132-146), CH2 (147-256), CH3 (257-361), CHS (362-363)) (132-363); dímero(142-142':145-145')-bisdisulfuro

Fused chain / chaine fusionnée / cadena fusionada
ASAKELACQE ITVPLCKGIG YNYTYMENOF NHDTQDEAGL EVHQFWPLVE 50
IQCSPDLKFF LCSMYTPICL EDYKKPLPPC RSVCERAKAG CAPLMRQYGF 100
AWEDRARCDR LPEQGAPDIL CMDYNRTDLT TEFKSSDKTH TCPFCFAPEL 150
LGGESVFLFP PKFKDTLMIS RTEPVTCVVV DVSHEDPEVK FNWYVDCVEV 200
HNAKTKAFREE QYNSTYLVUS VLTVLHQDWL NGKSFYCKVS NKALPAPIEK 250
TISKARGQPR EPQVYTLPPS RDELTKNQVS LTCLVKGFYP SDIAVEMESN 300
GQPENNYKTT PPVLDSDGSF FLYSKLTVDK SRWQQGNVFS CSVMHEALHN 350
HYTQKSLSLS PGK

N-glycosylation sites / Sites de N-glycosylation / Posiciones de N-glicosilación 22, 125, 22', 125': bi-, tri- and tetra-antennary oligosaccharides containing up to 4 sialic acids 213, 213' (CH2 N84.4): complex biantennary oligosaccharide

Post-translational modifications/ modifications post-traductionnelles / modificaciones post-traduccionales 363, 363': C-terminal K processed by carboxypeptidase-like activity

ledipasvirum

ledipasvir

lédipasvir

ledipasvir

 $methyl\ [(1S)-1-\{(1R,3S,4S)-3-[5-(9,9-difluoro-7-\{2-[(6S)-5-\{(2S)-2-(9,9-difluoro-7-\{2-(6S)-5-(9,9-difluoro-7-\{2-(9,9-difluoro-7-\{2-(9,9-difluoro-7-\{2-(9,9-difluoro-7-\{2-(9,9-difluoro-7-\{2-(9,9-difluoro-7-\{2-(9,9-difluoro-7-\{2-(9,9-difluoro-7-\{2-(9,9-difluoro-7-\{2-(9,9-difluoro-7-\{2-(9,9-difluoro-7-\{2-(9,9-difluoro-7-\{2-(9,9-difluoro-7-\{2-(9,9-difluoro-7-\{2-(9,9-difluoro-7-\{2-(9,9-difluoro-7-\{2-(9,9-difluoro-7-\{2-(9,9-difluoro-7-\{2-(9,9-difluoro-7-\{2-(9,9-difluoro-7-(9,9-$ [(methoxycarbonyl)amino]-3-methylbutanoyl}-5-azaspiro[2.4]hept-6-yl]-1*H*-imidazol-4-yl}-9*H*-fluoren-2-yl)-1*H*-benzimidazol-2-yl]-2-azabicyclo[2.2.1]heptane-2-carbonyl}-2-methylpropyl]carbamate

 $[(1S)-1-\{(1R,3S,4S)-3-[5-(9,9-difluoro-7-\{2-[(6S)-5-\{(2S)-2-(9,9-difluoro-7-\{2-(6S)-5-(9,9-difluoro-7-(9,9-d$ [(méthoxycarbonyl)amino]-3-méthylbutanoyl}-5-azaspiro[2.4]hept-6-yl]-1H-imidazol-4-yl}-9H-fluorén-2-yl)-1H-benzimidazol-2-yl]-2-azabicyclo[2.2.1]heptane-2-carbonyl}-2-méthylpropyl]carbamate de méthyle

 $[(1S)-1-\{(1R,3S,4S)-3-[5-(9,9-difluoro-7-\{2-[(6S)-5-\{(2S)-2-(9,9-difluoro-7-\{2-(6S)-5-(9,9-difluoro-7-(9,9-$ [(metoxicarbonil)amino]-3-metilbutanoil}-5-azaespiro[2.4]hept-6-il]-1H-imidazol-4-yl}-9H-fluoren-2-il)-1H-benzimidazol-2-il]-2-azabiciclo[2.2.1]heptano-2-carbonil}-2-metilpropil]carbamato de metilo

$C_{49}H_{54}F_2N_8O_6$

lexanopadolum

lexanopadol trans-6'-fluoro-N-methyl-4-phenyl-4',9'-dihydro-

3'H-spiro[cyclohexane-1,1'-pyrano[3,4-b]indol]-4-amine

trans-6'-fluoro-N-méthyl-4-phényl-4',9'-dihydrolexanopadol

3'H-spiro[cyclohexane-1,1'-pyrano[3,4-b]indol]-4-amine

trans-6'-fluoro-N-metil-4-fenil-4',9'-dihidro-3'H-espiro[ciclohexanolexanopadol

1,1'-pirano[3,4-b]indol]-4-amina

C23H25FN2O

liafensinum

liafensine 6-[(4S)-2-methyl-4-(naphthalen-2-yl)-1,2,3,4-tetrahydroisoquinolin-

7-yl]pyridazin-3-amine

6-[(4S)-2-méthyl-4-(naphtalén-2-yl)-1,2,3,4-tétrahydroisoquinolinliafensine

7-yl]pyridazin-3-amine

 $\hbox{$6-[(4S)-2-metil-4-(naftalen-2-il)-1,2,3,4-tetrahidroisoquinolin-7-il] piridazin-3-amina }$ liafensina

 $C_{24}H_{22}N_4$

margetuximabum

margetuximab

immunoglobulin G1-kappa, anti-[Homo sapiens ERBB2 (epidermal growth factor receptor 2, HER-2, p185c-erbB2, NEU, EGFR2)], chimeric monoclonal antibody;

gamma1 heavy chain (1-450) [Mus musculus VH (IGHV14-3*02 -(IGHD)-IGHJ4*01) [8.8.13] (1-120) - Homo sapien's IGHG1*01 (CH1 K120>R (217) (121-218), hinge (219-233), CH2 L1.2>V (238), F7>L (246), R83>P (295), Y85.2>L (303) (234-343), CH3 P83>L (399) (344-448), CHS (449-450)) (121-450)], (223-214')-disulfide with kappa light chain (1'-214') [Mus musculus V-KAPPA (IGKV6-17*01 - IGKJ1*01) [6.3.9] (1'-107') -Homo sapiens IGKC*01 (108'-214')]; dimer (229-229":232-232")-bisdisulfide

margétuximab immunoglobuline G1-kappa, anti-[Homo sapiens ERBB2 (récepteur 2 du facteur de croissance épidermique, HER-2, p185c-erbB2, NEU, EGFR2)], anticorps monoclonal chimérique; chaîne lourde gamma1 (1-450) [Mus musculus VH (IGHV14-3*02 -(IGHD)-IGHJ4*01) [8.8.13] (1-120) - Homo sapiens IGHG1*01 (CH1 K120>R (217) (121-218), charnière (219-233), CH2 L1.2>V (238),

F7>L (246), R83>P (295), Y85.2>L (303) (234-343), CH3 P83>L (399) (344-448), CHS (449-450)) (121-450)], (223-214')-disulfure avec la chaîne légère kappa (1'-214') [Mus musculus V-KAPPA (IGKV6-17*01 -IGKJ1*01) [6.3.9] (1'-107') -Homo sapiens IGKC*01 (108'-214')]; dimère (229-229":232-232")-bisdisulfure

margetuximab inmunoglobulina G1-kappa, anti-[ERBB2 de Homo sapiens (receptor 2 del factor de crecimiento epidérmico, HER-2, p185c-erbB2, NEU, EGFR2)], anticuerpo monoclonal quimérico;

cadena pesada gamma1 (1-450) [Mus musculus VH (IGHV14-3*02 -(IGHD)-IGHJ4*01) [8.8.13] (1-120) - Homo sapiens IGHG1*01 (CH1 K120>R (217) (121-218),bisagra (219-233), CH2 L1.2>V (238), F7>L (246), R83>P (295), Y85.2>L (303) (234-343), CH3 P83>L (399) (344-448), CHS (449-450)) (121-450)], (223-214')-disulfuro con la cadena ligera kappa (1'-214') [Mus musculus V-KAPPA (IGKV6-17*01 -IGKJ1*01) [6.3.9] (1'-107') -Homo sapiens IGKC*01 (108'-214')]; dímero (229-229":232-232")-bisdisulfuro

```
Heavy chain / Chaîne lourde / Cadena pesada

QVQLQQSGPE LVKPGASLKL SCTASGFNIK DTYIHWVKQR PEQGLEWIGR 50
IYPPNGYTRY DPKFQDKAFI TADTSSNTAY LQVSRLTSED TAVYYCSRWG 100
GDGFYAMDYW GQGASVTVSS ASTKGPSVFP LAPSSKSTSG GTAALGCLVK 150
DYFPEPPTVVS WNSGALTSGV HTFPAVLQSS GLYSLSSVVT VPSSSLGTQT 200
YICNVNHKPS NTKVDKRVEP KSCDKTHTCP PCPAPELVGG PSVFLLEPKP 250
KDTLMISRTP EVTCVVVDVS HEDPEVKFNW YDGVEVHNA KTKPPEEQYN 300
STLRVVSVLT VLHQDWLNGK EYKCKVSNKA LPAPIEKTIS KAKGQPREPQ 350
VYTLPPSRDE LTKNQVSLTC LVKGFYPSDI AVEWESNGQP ENNYKTTPLV 400
LDSDGSFFLY SKLTVDKSRW QQGNVFSCSV MHEALHNHYT QKSLSLSPGK 450
```

Light chain / Chaîne légère / Cadena ligera

Light Chain/Chaine Regiet Cadena ngeta
DIVMTQSHKF MSTSVGF/CAdena ngeta
DIVMTQSHKF MSTSVGF/CADENA TAVAWYQQKP GHSPKLLIYS
50
ASFRYTGVPD RFTGSRSGTD FTTTISSVQA EDLAVYYCQQ HYTTPFTFGG 100
GTKVEIKRTV AARSVFIFPP SDEQLKSGTA SVVCLLNNFY PREAKVQMKV 150
DNALQSGNSQ ESVTEQDSKD STYSLSSTLT LSKADYEKHK VYACEVTHQG 200 LSSPVTKSFN RGEC

Disulfide bridges location / Position des ponts disulfure / Posiciones de los puentes disulfuro Intra-H (C23-C104) 22-96 147-203 264-324 370-428 22"-96" 147"-203" 264"-324" 370"-428" Intra-L (C23-C104) 23"-88" 134"-194" 23"-88" 134"-194" Inter-H-L (h 5-CL 126) 223-214" 223"-214" Inter-H-H (h 11, h 14) 229-229" 232-232"

N-glycosylation sites / Sites de N-glycosylation / Posiciones de N-glicosilación H CH2 N84.4: 300, 300"

mavatrepum

2-[2-(2-{(1E)-2-(trifluoromethyl)phenyl]ethenyl}-1H-benzimidazolmavatrep

5-yl)phenyl]propan-2-ol

 $2-[2-(2-\{(1E)-2-(trifluorométhyl)phényl] éthényl\}-1 \\ \textit{H-}benzimidazol-nyl-1-(trifluorométhyl)phényl-1-(trifluorométhyl$ mavatrep

5-yl)phényl]propan-2-ol

mavatrep 2-[2-(2-{(1E)-2-(trifluorometil)fenil]etenil}-1H-benzoimidazol-

5-il)fenil]propan-2-ol

 $C_{25}H_{21}F_3N_2O$

$$\begin{array}{c} H_3C \\ H_3C \\ \end{array} \\ \begin{array}{c} OH \\ N \\ \end{array} \\ \begin{array}{c} H \\ N \\ \end{array} \\ \begin{array}{c} CF_3 \\ \end{array}$$

methylsamidorphani chloridum

methylsamidorphan chloride

(17*R*)-3-carbamoyl-17-(cyclopropylmethyl)-4,14-dihydroxy-17-methyl-6-oxomorphinan-17-ium chloride

chlorure de méthylsamidorphan

chlorure de (17*R*)-3-carbamoyl-17-(cyclopropylméthyl)-4,14-dihydroxy-17-méthyl-6-oxomorphinanium

cloruro de metilsamidorfano

cloruro de (17*R*)-3-carbamoil-17-(ciclopropilmetil)-4,14-dihidroxi-17-metil-6-oxomorfinanio

mirogabalinum

mirogabalin

 $\hbox{$[(1R,5S,6S)$-6-(aminomethyl)-3-ethylbicyclo} \hbox{$[3.2.0]$ hept-3-en-}\\$

6-yl]acetic acid

mirogabaline

6-yl]acétique

mirogabalina

ácido 2-[(1R,5S,6S)-6-(aminometil)-3-etilbiciclo[3.2.0]hept-3-en-6-il]acético

C₁₂H₁₉NO₂

neboterminum #

nebotermin

recombinant DNA derived L-methionyl-human bone morphogenetic protein 2 (BMP-2 or BMP-2A), produced in *Escherichia coli*

(nonglycosylated)

nébotermine

L-méthionyl-protéine 2 morphogénétique de l'os humaine (BMP-2 ou BMP-2A), produite par *Escherichia coli* (non glycosylée) à partir

d'ADN recombinant

nebotermina

L-metionil-proteína 2 morfogenética humana de hueso (BMP-2 o BMP-2A), producida por *Escherichia coli* (no glicosilada) a partir de

ADN recombinante

$C_{1152}H_{1776}N_{322}O_{330}S_{20} \\$

Monomer / Monomère / Monómero

QAKHKQRKRL KSSCKRHPLY VDFSDVGWND WIVAPPGYHA FYCHGCEPFP 50 LADHLNSTNH AIVQTLVNSV NSKIPKACCV PTELSAISML YLDENEKVVL 100 KNYQDMVVEG CGCR 114

Disulfide bridges location / Position des ponts disulfure / Posiciones de los puentes disulfuro 14-79 14'-79' 43-111 43'-111' 47-113 47'-113' 78-78'

nobiprostolanum

nobiprostolan

propan-2-yl (5E)-7-{(1R,2R,3R,5S)-2-[2-(2-heptyl-1,3-dioxolan-

2-yl)ethyl]-3,5-dihydroxycyclopentyl}hept-5-enoate

nobiprostolan

(5E)-7- $\{(1R,2R,3R,5S)$ -2- $[2-(2-heptyl-1,3-dioxolan-2-yl)\acute{e}thyl]$ -3,5-dihydroxycyclopentyl}hept-5-énoate de propan-2-yle

nobiprostolán

 $(5E) - 7 - \{(1R, 2R, 3R, 5S) - 2 - [2 - (2 - heptil - 1, 3 - dioxolan - 2 - il)etil] - (2A - il)etil - (2A -$ 3,5-dihidroxiciclopentil}hept-5-enoato de propan-2-ilo

C₂₇H₄₈O₆

ombitasvirum

ombitasvir

dimethyl N,N'-{[(2S,5S)-1-(4-tert-butylphenyl)pyrrolidene-2,5-diyl]bis-{[(4,1-phenyleneazanediyl)carbonyl][(2S)-pyrrolidine-2,1-diyl]}[(2S)-3-methyl-1-oxobutane-1,2-diyl])}biscarbamate

ombitasvir

N,N'-{[(2S,5S)-1-(4-tert-butylphényl)pyrrolidine-2,5-diyl]-bis-{[(4,1phénylèneazanediyl)carbonyl][(2S)-pyrrolidine-2,1-diyl]}[(2S)-3-méthyl-1-oxobutane-1,2-diyl]}biscarbamate de diméthyle

ombitasvir

N,N'-{[(2S,5S)-1-(4-terc-butilfenil)pirrolideno-2,5-diil]-bis-{[(4,1fenilenoazanodiil)carbonil][(2S)-pirrolidina-2,1-diil]}[(2S)-3-metil-1-oxobutano-1,2-diil])}biscarbamato de dimetilo

 $C_{50}H_{67}N_7O_8$

$$H_3C$$
 H_3C
 ### ontuxizumabum # ontuxizumab

immunoglobulin G1-kappa, anti-[Homo sapiens CD248 (endosialin, tumor endothelial marker 1, TEM1), humanized/chimeric monoclonal antibody;

gamma1 heavy chain (1-454) [chimeric VH (Homo sapiens IGHV4-59*04 (68.00%) -(IGHD)-IGHJ4*01) [8.8.17] (1-124) -Homo sapiens IGHG1*01 (CH1 (125-222), hinge (223-237), CH2 (238-347), CH3 S85.3>F (410) (348-452), CHS (453-454)) (125-454)], (227-215')disulfide with kappa light chain (1'-215') [humanized V-KAPPA (Homo sapiens IGKV1-33*01 (83.20%) -IGKJ1*01) [6.3.10] (1'-108') -Homo sapiens IGKC*01 (109'-215')]; dimer (233-233":236-236")bisdisulfide

ontuxizumab

immunoglobuline G1-kappa, anti-[Homo sapiens CD248 (endosialine, marqueur endothélial tumoral 1, TEM1)], anticorps monoclonal humanisé/chimérique;

chaîne lourde gamma1 (1-454) [VH chimérique (Homo sapiens IGHV4-59*04 (68.00%) -(IGHD)-IGHJ4*01) [8.8.17] (1-124) -Homo sapiens IGHG1*01 (CH1 (125-222), charnière (223-237), CH2 (238-347), CH3 S85.3>F (410) (348-452), CHS (453-454)) (125-454)], (227-215')-disulfure avec la chaîne légère kappa (1'-215') [V-KAPPA humanisé (Homo sapiens IGKV1-33*01 (83.20%) -IGKJ1*01) [6.3.10] (1'-108') -Homo sapiens IGKC*01 (109'-215')]; dimère (233-233":236-236")-bisdisulfure

ontuxizumab

inmunoglobulina G1-kappa, anti-[CD248 de Homo sapiens (endosialina, marcador endotelial tumoral 1, TEM1)], anticuerpo monoclonal humanizado/quimérico; cadena pesada gamma1 (1-454) [VH quimérico (Homo sapiens IGHV4-59*04 (68.00%) -(IGHD)-IGHJ4*01) [8.8.17] (1-124) -Homo sapiens IGHG1*01 (CH1 (125-222), bisagra (223-237), CH2 (238-347), CH3 S85.3>F (410) (348-452), CHS (453-454)) (125-454)],

(227-215')-disulfuro con la cadena ligera kappa (1'-215') [V-KAPPA humanizada (Homo sapiens IGKV1-33*01 (83.20%) -IGKJ1*01) [6.3.10] (1'-108') -Homo sapiens IGKC*01 (109'-215')]; dímero (233-233":236-236")-bisdisulfuro

Heavy chain / Chaîne lourde / Cadena pesada

```
Heavy chain / Chaîne lourde / Cadena pesada QVQLQESGPG LVRPSQTLSL TCTASGYTFT DYVIHWVKQP PGRGLEWIGY 50 INPYDDDTTY NQKFKGRVTM LVDTSSNTAY LRLSSVTAED TAVYYCARRG 100 NSYDGYFDYS MDYWGSGTPV TVSSASTKGF SVFPLAPSKS STSGGTAALG 150 CLVKDYFPEP VTVSWNSGAL TSCHTFPAV LQSSGLYSLS SVVTVPSSSL 200 GTQTYICNVN HKPSNTKVDK KVEPKSCDKT HTCPPCPAPE LLGGPSVFLF 250 PPKFKDTLMI SRTPEVTCVV VDVSHEDDEV KFNWYDDGVE LVNAKTKPRE 300 EQYNSTKVV SVLTVLHQDW LNKEYKCKV SNKALPAPIE KTISKAKGQP 350 REPQVYTLPP SRDELTKNQV SLTCLVKGFY PSDLAVEWS NGQPENNYKT 400 TPFVLDSDGF FFLYSKLTVD KSRWQGNVF SCSVMHEALH NHYTQKSLSL 450 SPGK
```

Light chain / Chaîne légère / Cadena ligera

DIQMTQSPSS	LSASVGDRVT	ITCRASQNVG	TAVAWLQQTP	GKAPKLLIYS	50
ASNRYTGVPS	RFSGSGSGTD	YTFTISSLQP	EDIATYYCQQ	YTNYPMYTFG	100
QGTKVQIKRT	VAAPSVFIFP	PSDEQLKSGT	ASVVCLLNNF	YPREAKVQWK	150
VDNALQSGNS	QESVTEQDSK	DSTYSLSSTL	TLSKADYEKH	KVYACEVTHQ	200
GLSSPVTKSF	NRGEC				215

```
Disulfide bridges location / Position des ponts disulfure / Posiciones de los puentes disulfuro Intra-H (C23-C104) 22-96 151-207 268-328 374-432 22"-96" 151"-207" 268"-328" 374"-432" Intra-L (C23-C104) 23'-88" 135'-195" 32"-88" 135"-195" Inter-H-L (h 5-CL 126) 227-215' 227"-215" Inter-H-H (h 11, h 14) 233-233" 236-236"
```

N-glycosylation sites / Sites de N-glycosylation / Posiciones de N-glicosilación H CH2 N84.4: 304, 304"

oreptacogum alfa (activatum)

oreptacog alfa (activated)

oreptacog alfa (activé)

oreptacog alfa (activado)

recombinant DNA derived human blood coagulation factor VIIa (two protein chains) analogue, produced in CHO cells (glycoform alfa): [10-L-glutamine(P>Q),32-L-glutamic acid(K>E),34-L-glutamic acid(A>E),36-L-glutamic acid(R>E),106-L-asparagine(T>N), 253-L-asparagine(V>N)]activated human coagulation factor VII (proconvertine, SPCA)

analogue du facteur de coagulation sanguine VIIa (deux chaînes protéiques) humain, produit par des cellules ovariennes de hamster chinois (CHO) à partir d'ADN recombinant (glycoforme alfa) : [10-L-glutamine(P>Q),32-L-acide glutamique(K>E),34-L-acide glutamique(A>E),36-L-acide glutamique(R>E), 106-L-asparagine(T>N),253-L-asparagine(V>N)]facteur de coagulation VII humain activé (proconvertine, SPCA)

análogo del factor VIIa de coagulación (dos cadenas proteicas) humano, producido por células ováricas de hamster chino (CHO) a partir de ADN recombinante (glicoforma alfa) : [10-L-glutamina(P>Q),32-L-ácido glutámico(K>E),34-L-ácido glutámico (A>E),36-L-ácido glutámico(R>E), 106-L-asparagina(T>N),253-L-asparagina(V>N)]factor de coagulación VII humano activado (proconvertina, SPCA)

Light chain / Chaîne légère / Cadedena ligera

ANAFLEELRQ	GSLERECKEE	QCSFEEAREI	FEDEEETKLF	WISYSDGDQC	50
ASSPCQNGGS	CKDQLQSYIC	FCLPAFEGRN	CETHKDDQLI	CVNENGGCEQ	100
YCSDH N GTKR	SCRCHEGYSL	LADGVSCTPT	VEYPCGKIPI	LEKR n askpq	150
GR					152

Heavy chain / Chaîne lourde / Cadena pesada

IVGGKVCP	KGECPWQVLL	LVNGAQLCGG	TLINTIWVVS	AAHCFDKIKN	200
WRNLIAVLGE	HDLSEHDGDE	QSRRVAQVII	PSTYVPGTTN	HDIALLRLHQ	250
PV N LTDHVVP	LCLPERTFSE	RTLAFVRFSL	VSGWGQLLDR	GATALELMVL	300
NVPRLMTQDC	LQQSRKVGDS	${\tt PNITEYMFCA}$	GYSDGSKDSC	KGDSGGPHAT	350
HYRGTWYLTG	IVSWGQGCAT	VGHFGVYTRV	SQYIEWLQKL	MRSEPRPGVL	400
LRAPFP					406

Disulfide bridges location / Position des ponts disulfure / Posiciones de los puentes disulfuro 17-22 50-61 55-70 72-81 91-102 98-11217-22 50-61 55-70 72-81 91-102 98-112 114-127 135-262 159-164 178-194 310-329 340-368

Modified residues / Résidus modifiés / Restos modificados

Glycosylation sites (S or N) / Sites de glycosylation (S ou N) / Posiciones de glicosilación (S o N) Ser-52 Ser-60 Asn-106 Asn-145 Asn-253 Asn-322

paclitaxelum trevatidum paclitaxel trevatide

short modified fragment of human amyloid beta A4 protein covalently linked to three molecules of paclitaxel through succinyl linkers: $N^{2.1}$, $N^{6.15}$ -tris{4-[(1S,2R)-1-benzamido-3-{[(2S,5R,7S,10R,13S)-10,12-bis(acetyloxy)-2-benzoyl-1,7-dihydroxy-9-oxo-5,20-epoxytax-11-en-13-yl]oxy}-3-oxo-1-phenylpropan-2-yl)oxy]-4-oxobutanoyl} $([318-L-threonine(P>\underline{T}^1),324-L-serine(C>S^7),325-L$ arginine(G>R⁸),327-L-lysine(N> \underline{K}^{10}),332-L-lysine(N> \underline{K}^{15})] human amyloid beta A4 protein precursor-(318-336)-peptide)

paclitaxel trévatide

fragment court et modifié de la protéine bêta A4 amyloïde humaine lié de façon covalente à trois molécules de paclitaxel par autant de succinyles : $N^{2.1}$, $N^{6.10}$, $N^{6.15}$ -tris{4-[(1S,2R)-1-benzamido-3-{[(2S,5R,7S,10R,13S)-1.5]}]

10,12-bis(acétyloxy)-2-benzoyl-1,7-dihydroxy-9-oxo-5,20-époxytax-11-en-13-yl]oxy}-3-oxo-1-phénylpropan-2-yl)oxy]-4-oxobutanoyl} ([318-L-thréonine(P> \underline{T}^1),324-L-sérine(C>S 1),325-L-arginine(G>R 8),327-L-lysine(N> \underline{K}^{10}),332-L-lysine(N> \underline{K}^{15})] précurseur de la protéine amyloïde bêta A4 humaine-(318-336)-peptide)

paclitaxel trevatida

fragmento corto y modificado de la proteína beta A4 amiloide humana unido covalentemente a tres moléculas de paclitaxel

mediante succinilos : $N^{2.1}, N^{6.15}$, $N^{6.15}$ -tris{4-[(1S,2R)-1-benzamido-3-{[(2S,5R,7S,10R,13S)-10,12-bis(acetiloxi)-2-benzoil-1,7-dihidroxi-9-oxo-5,20-epoxitax-11-en-13-il]oxi]-3-oxo-1-fenilpropan-2-il)oxi]-4-oxobutanoil} ([318-L-treonina(P> \mathbf{T}^1),324-L-serina(C> \mathbf{S}^7),325-L-arginina(G> \mathbf{R}^8),327-L-lisina(N> \mathbf{K}^{10}),332-L-lisina(N> \mathbf{K}^{15})) precursor de la proteína amiloide beta A4 humana-(318-336)-péptido

 $C_{257}H_{308}N_{32}O_{79}$

Peptide / Peptide / Péptido <u>TFFYGGSRGK</u> RNNFKTEEY 19

Modified residues / Résidus modifiés / Restos modificados

palbociclibum

6-acetyl-8-cyclopentyl-5-methyl-2-{[5-(piperazin-1-yl)pyridinpalbociclib 2-yl]amino}pyrido[2,3-d]pyrimidin-7(8H)-one

6-acétyl-8-cyclopentyl-5-méthyl-2-{[5-(pipérazin-1-yl)pyridinpalbociclib 2-yl]amino}pyrido[2,3-d]pyrimidin-7(8H)-one

palbociclib 6-acetil-8-ciclopentil-5-metil-2-{[5-(piperazin-1-il)piridin-2-il]amino}pirido[2,3-d]pirimidin-7(8H)-ona

 $C_{24}H_{29}N_{7}O_{2} \\$

panulisibum

2-(5-{(2*EZ*)-8-[6-amino-5-(trifluoromethyl)pyridin-3-yl]-2-(cyanoimino)-3-methyl-2,3-dihydro-1*H*-imidazo[4,5-c]quinolinpanulisib

1-yl}pyridin-2-yl)-2-methylpropanenitrile

panulisib 2-(5-{(2EZ)-8-[6-amino-5-(trifluorométhyl)pyridin-3-yl]-

2-(cyanoimino)-3-méthyl-2,3-dihydro-1*H*-imidazo[4,5-*c*]quinoléin-

1-yl}pyridin-2-yl)-2-methylpropanenitrile

2-(5-{(2EZ)-8-[6-amino-5-(trifluorometil)pyridin-3-il]-2-(cianoimino)panulisib

 $3\text{-metil-}2, 3\text{-dihidro-}1H\text{-imidazo}[4,5\text{-}c] \\ \text{quinolin-}1\text{-il} \\ \text{piridin-}2\text{-il})\text{-}$

2-metilpropanonitrilo

 $C_{27}H_{20}F_3N_9$

patisiranum patisiran

small interfering RNA (siRNA);

RNA duplex of guanylyl-(3' \rightarrow 5')-2'-O-methyluridylyl-(3' \rightarrow 5')-adenylyl-(3' \rightarrow 5')-adenylyl-(3' \rightarrow 5')-adenylyl-(3' \rightarrow 5')-2'-O-methylcytidylyl-(3' \rightarrow 5')-2'-O-methylcytidylyl-(3' \rightarrow 5')-guanylyl-(3' \rightarrow 5')-adenylyl-(3' \rightarrow 5')-adenylyl-(3' \rightarrow 5')-adenylyl-(3' \rightarrow 5')-adenylyl-(3' \rightarrow 5')-2'-O-methyluridylyl-(3' \rightarrow 5')-2'-O-methyluridylyl-(3' \rightarrow 5')-2'-O-methyluridylyl-(3' \rightarrow 5')-2'-O-methylcytidylyl-(3' \rightarrow 5')-2'-O-methylcytidylyl-(3' \rightarrow 5')-adenylyl-(3' \rightarrow 5')-adenylyl-(5' \rightarrow 3')-thymidylyl-(3' \rightarrow 5')-thymidine with thymidylyl-(5' \rightarrow 3')-thymidylyl-(5' \rightarrow 3')-cytidylyl-(5' \rightarrow 3')-adenylyl-(5' \rightarrow 3')-2'-O-methyluridylyl-(5' \rightarrow 3')-uridylyl-(5' \rightarrow 3')-uridylyl-(5' \rightarrow 3')-uridylyl-(5' \rightarrow 3')-uridylyl-(5' \rightarrow 3')-cytidylyl-(5' \rightarrow 3')-uridylyl-(5' \rightarrow 3')-cytidylyl-(5' \rightarrow 3')-adenylyl-(5' \rightarrow 3')-guanylyl-(5' \rightarrow 3')-guanylyl-(5' \rightarrow 3')-uridylyl-(5' \rightarrow 3')-uridylyl-(5' \rightarrow 3')-uridylyl-(5' \rightarrow 3')-guanylyl-(5' \rightarrow 3')-uridylyl-(5' \rightarrow 3')-uridylyl-(5' \rightarrow 3')-uridylyl-(5' \rightarrow 3')-guanylyl-(5' \rightarrow 3')-uridylyl-(5' \rightarrow 3')-uridylyl-(5' \rightarrow 3')-guanylyl-(5' \rightarrow 3')-uridylyl-(5' \rightarrow 3')-urid

patisiran

petit ARN interférant (siRNA);

duplex ARN du brin guanylyi-(3' \rightarrow 5')-2'-O-méthyluridylyi-(3' \rightarrow 5')-adénylyi-(3' \rightarrow 5')-adénylyi-(3' \rightarrow 5')-adénylyi-(3' \rightarrow 5')-adénylyi-(3' \rightarrow 5')-adénylyi-(3' \rightarrow 5')-guanylyi-(3' \rightarrow 5')-adénylyi-(3' \rightarrow 5')-guanylyi-(3' \rightarrow 5')-adénylyi-(3' \rightarrow 5')-adénylyi-(3' \rightarrow 5')-adénylyi-(3' \rightarrow 5')-2'-O-méthyluridylyi-(3' \rightarrow 5')-2'-O-méthyluridylyi-(3' \rightarrow 5')-2'-O-méthyluridylyi-(3' \rightarrow 5')-2'-O-méthyluridylyi-(3' \rightarrow 5')-2'-O-méthyluridylyi-(3' \rightarrow 5')-thymidylyi-(3' \rightarrow 5')-thymidylyi-(3' \rightarrow 5')-thymidylyi-(5' \rightarrow 3')-thymidylyi-(5' \rightarrow 3')-cytidylyi-(5' \rightarrow 3')-adénylyi-(5' \rightarrow 3')-guanylyi-(5' \rightarrow 3')-guanylyi-(5' \rightarrow 3')-uridylyi-(5' \rightarrow 3')-guanylyi-(5' \rightarrow 3')-uridylyi-(5' \rightarrow 3')-cytidylyi-(5' \rightarrow 3')-uridylyi-(5' \rightarrow 3')-cytidylyi-(5' \rightarrow 3')-cytidylyi-(5' \rightarrow 3')-guanylyi-(5' \rightarrow 3')-adénylyi-(5' \rightarrow 3')-guanylyi-(5' \rightarrow 3')-adénylyi-(5' \rightarrow 3')-guanylyi-(5' \rightarrow 3')-adénylyi-(5' \rightarrow 3')-adénylyi-(5' \rightarrow 3')-guanylyi-(5' \rightarrow 3')-guanylyi-(5' \rightarrow 3')-adénylyi-(5' \rightarrow 3')-adénylyi-(5' \rightarrow 3')-guanylyi-(5' \rightarrow 3')-guanylyi-(5' \rightarrow 3')-adénylyi-(5' \rightarrow 3')-adénylyi-(5' \rightarrow 3')-guanylyi-(5' \rightarrow 3')-guanylyi-(5' \rightarrow 3')-adénylyi-(5' \rightarrow 3')-adénylyi-(

patisirán

ARN interferente pequeño (siRNA);

ARN dúplex de la cadena guanilil-(3' \rightarrow 5')-2'-O-metiluridilil-(3' \rightarrow 5')-adenilil-(3' \rightarrow 5')-guanilil-(3' \rightarrow 5')-guanilil-(3' \rightarrow 5')-adenilil-(3' \rightarrow 5')-2'-O-metiluridilil-(3' \rightarrow 5')-2'-O-metiluridilil-(3' \rightarrow 5')-2'-O-metiluridilil-(3' \rightarrow 5')-2'-O-metiluridilil-(3' \rightarrow 5')-2'-O-metiluridilil-(3' \rightarrow 5')-timidilil-(3' \rightarrow 5')-timidilil-(3' \rightarrow 5')-timidilil-(5' \rightarrow 3')-adenilil-(5' \rightarrow 3')-2'-O-metiluridilil-(5' \rightarrow 3')-timidilil-(5' \rightarrow 3')-citidilil-(5' \rightarrow 3')-guanilil-(5' \rightarrow 3')-guanilil-(5' \rightarrow 3')-uridilil-(5' \rightarrow 3')-uridilil-(5' \rightarrow 3')-uridilil-(5' \rightarrow 3')-uridilil-(5' \rightarrow 3')-uridilil-(5' \rightarrow 3')-uridilil-(5' \rightarrow 3')-adenilil-(5' \rightarrow 3')-adenilil-(5' \rightarrow 3')-guanilil-(5' \rightarrow 3')-guanilil

$C_{412}H_{480}N_{148}O_{290}P_{40} \\$

(3'-5')G-<u>U</u>-A-A-<u>C-C</u>-A-A-G-A-G-<u>U</u>-A-<u>U</u>-<u>U-C-C</u>-A-<u>U</u>-dT-dT (5'-3')dT-dT-C-A-<u>U</u>-U-G-G-U-U-C-U-C-A-<u>U</u>-A-A-G-G-U-A

 $Modified \ nucleosides \ (\underline{C} \ and \ \underline{U}) \ / \ Nucleosides \ modifies \ (\underline{C} \ et \ \underline{U}) \ / \ Nucleosides \ modificados \ (\underline{C} \ y \ \underline{U})$

pegbovigrastimum

pegbovigrastim

recombinant DNA derived bovine granulocyte colony-stimulating factor (G-CSF) analogue, produced in Escherichia coli (nonglycosylated), covalently bonded to methoxy polyethylene glycol:

L-methionyl-[133- $\{4-(1-\{[2-(\{[\omega-$

methoxypoly(oxyethylene)]carbonyl}amino)ethoxy]imino}ethyl)-L-phenylalanine(T><u>F</u>)}]bovine granulocyte colony-stimulating factor (G-CSF)

pegbovigrastim

analogue du facteur de stimulation de colonies de granulocytes bovin, produit par Escherichia coli à partir d'ADN recombinant (non glycosylé), auquel est liée de façon covalente une chaîne méthoxypolyéthylèneglycol:

L-méthionyl-[133-{4-(1-{[2-({[ω-méthoxypoly(oxyéthylène]]carbonyl}amino)éthoxy]imino}éthyl)-L-phénylalanine(T><u>F</u>)}]facteur de stimulation des colonies de granulocytes (G-CSF) bovin

pegbovigrastim

análogo del factor bovino estimulante de colonias de granulocitos, producido por Escherichia coli a partir de ADN recombinante (no glicosilado), al cual se une covalentemente una cadena metoxipolietilenglicol:

L-metionil-[133- $\{4-(1-\{[2-(\{[\omega-$

metoxipoli(oxietileno)]carbonil}amino)etoxi]imino}etil)-

L-fenilalanina(T><u>F</u>)}]factor estimulante de colonias de granulocitos (G-CSF) bovino

 $C_{859}H_{1370}N_{236}O_{248}S_9$. $[C_2H_4O]_n$

Sequence / Séquence / Secuencia

TPLGPARSLP QSFLLKCLEQ VRKIQADGAE LQERLCAAHK LCHPEELML 50
RHSLGIPQAP LSSCSSQSLQ LTSCLNQLHG GLFLYQGLLQ ALAGISPELA 100
PTLDTLQLDV TDFATNIWLQ MEDLGAAPAV QPFQGAMPTF TSAFQRRAGG 150
VLVASQLHRF LELAYRGLRY LAEP 174

Disulfide bridges location / Position des ponts disulfure / Posiciones de los puentes disulfuro 36-42 64-74

Modified residue / Résidu modifié / Resto modificado

pegteograstimum

pegteograstim

recombinant DNA derived human granulocyte colony-stimulating pegteograstim factor (G-CSF) analogue, produced in Escherichia coli

(nonglycosylated), covalently bonded to methoxy polyethylene

glycol:

endo-139a-S-{(3RS)-1-[3-({3-[ω-

methoxypoly(oxyethylene)]propyl}amino)-3-oxopropyl]-2,5-dioxopyrrolidin-3-yl}-L-cysteine (->C 137)-des-(37-39)-[1-L-methionine(A>M),18-L-serine(C>S)]human granulocyte colony

stimulating factor (G-CSF, pluripoietin)

analogue du facteur humain de stimulation de colonies de pegtéograstim

granulocytes, produit par Escherichia coli à partir d'ADN recombinant (non glycosylé), auquel est lié de façon covalente une

chaîne méthoxypolyéthylèneglycol: endo-139a-S-{(3RS)-1-[3-({3-[ω-

méthoxypoly(oxyéthylène)]propyl}amino)-3-oxopropyl]-2,5-dioxopyrrolidin-3-yl}-L-cystéine(-> \underline{C}^{137})-dès-(37-39)-[1-L-méthionine(A>M),18-L-sérine(C>S)]facteur humain de

stimulation de colonies de granulocytes (G-CSF, pluripoïétine)

análogo del factor humano estimulante de colonias de granulocitos, producido por Escherichia coli a partir de ADN recombinante (no

glicosilado), al que se une covalentemente una cadena metoxipolietilenglicol:

endo-139a-S-{(3RS)-1-[3-({3-[}\omega-metoxipoli(oxietileno)]propil}amino)-3-oxopropil]-2,5-dioxopirrolidin-3-il}-L-cisteina(-> \underline{C}^{137})-des-(37-39)-[1-L-metionina(A>M),18-L-serina(C>S)]factor humano estimulante de colonias de granulocitos (G-CSF, pluripoyetina)

 $C_{859}H_{1360}N_{226}O_{249}S_9$. $[C_2H_4O]_n$

Sequence / Séquence / Secuencia

Sequence/Sequence/Secuencia
MTPLGPASSL PQSFLLKSLE QVRKIQGDGA ALQEKLCATY KLCHPEELVL 50
LGHSLGIPWA PLSSCPSQAL QLAGCLSQLH SGLFLYQGLL QALEGISFEL 100
GPTLDTLQLD VADFATTIWQ QMEELGMAPA LQPTQGCAMP AFASAFQRRA 150
GGVLVASHLQ SFLEVSYRVL RHLAQP 176

Disulfide bridges location / Position des ponts disulfure / Posiciones de los puentes disulfuro $37\text{-}43 \quad 65\text{-}75$

Modified residue / Résidu modifié / Resto modificado

pevonedistatum

 $[(1S,2S,4R)-4-(4-\{[(1S)-2,3-dihydro-1H-inden-1-yl]amino\}$ pevonedistat

7*H*-pyrrolo[2,3-*d*]pyrimidin-7-yl)-2-hydroxycyclopentyl]methyl

sulfamate

pévonédistat sulfamate de $[(1S,2S,4R)-4-(4-\{[(1S)-2,3-dihydro-1H-indén-$

1-yl]amino}-7H-pyrrolo[2,3-d]pyrimidin-7-yl)-

2-hydroxycyclopentyl]méthyle

pevonedistat sulfamato de (1S,2S,4R)-4-(4-{[(1S)-2,3-dihidro-1H-inden-

1-il]amino}-7H-pirrolo[2,3-d]pirimidin-7-il)-2-hidroxiciclopentil]metilo

$C_{21}H_{25}N_5O_4S$

ralimetinibum

ralimetinib 5-[2-tert-butyl-5-(4-fluorophenyl)-1H-imidazol-4-yl]-

3-(2,2-dimethylpropyl)-3*H*-imidazo[4,5-*b*]pyridin-2-amine

5-[2-tert-butyl-5-(4-fluorophényl)-1H-imidazol-4-yl]ralimétinib

3-(2,2-diméthylpropyl)-3*H*-imidazo[4,5-*b*]pyridin-2-amine

5-[2-terc-butil-5-(4-fluorofenil)-1H-imidazol-4-il]-3-(2,2-dimetilpropil)ralimetinib

 $3\dot{H}$ -imidazo[4,5- \dot{b}]piridin-2-amina

 $C_{24}H_{29}FN_6$

$$\begin{array}{c|c} H_3C & N & N & NH_2 \\ H_3C & CH_3 & N & CH_3 \\ \end{array}$$

remeglurantum

(6-bromopyrazolo[1,5-a]pyrimidin-2-yl)[(1R)-1-methylremeglurant

3,4-dihydroisoquinolin-2(1H)-yl]methanone

 $\label{eq:continuous} \begin{tabular}{ll} (6-bromopyrazolo[1,5-a]pyrimidin-2-yl)[(1R)-1-méthyl-3,4-dihydroisoquinoléin-2(1H)-yl]méthanone \end{tabular}$ réméglurant

remeglurant (6-bromopirazolo[1,5-a]pirimidin-2-il)[(1R)-1-metil-

3,4-dihidroisoquinolin-2(1*H*)-il]metanona

 $C_{17}H_{15}BrN_4O$

ricolinostatum

ricolinostat 2-(diphenylamino)-N-[7-(hydroxyamino)-7-oxoheptyl]pyrimidine-

5-carboxamide

ricolinostat 2-(diphénylamino)-N-[7-(hydroxyamino)-7-oxoheptyl]pyrimidine-

5-carboxamide

ricolinostat 2-(difenilamino)-N-[7-(hidroxiamino)-7-oxoheptil]pirimidina-

5-carboxamida

$C_{24}H_{27}N_5O_3$

rimegepantum

(5S,6S,9R)-5-amino-6-(2,3-difluorophenyl)-6,7,8,9-tetrahydrorimegepant

5*H*-cyclohepta[*b*]pyridin-9-yl 4-(2-oxo-2,3-dihydro-1*H*-imidazo[4,5-*b*]pyridin-1-yl)piperidine-1-carboxylate

4-(2-oxo-2,3-dihydro-1H-imidazo[4,5-b]pyridin-1-yl)pipéridine-1-carboxylate de (5S,6S,9R)-5-amino-6-(2,3-difluorophényl)rimégépant

6,7,8,9-tétrahydro-5*H*-cyclohepta[*b*]pyridin-9-yle

 $\begin{array}{l} 4\text{-}(2\text{-}oxo\text{-}2,3\text{-}dihidro\text{-}1H\text{-}imidazo[4,5\text{-}b]piridin\text{-}1\text{-}il)piperidina-}\\ 1\text{-}carboxilato de (5S,6S,9R)\text{-}5\text{-}amino\text{-}6\text{-}(2,3\text{-}difluorofenil)\text{-}} \end{array}$ rimegepant

6,7,8,9-tetrahidro-5*H*-ciclohepta[*b*]piridin-9-ilo

 $C_{28}H_{28}F_2N_6O_3\\$

ripasudilum

ripasudil 4-fluoro-5-{[(2S)-2-methyl-1,4-diazepan-1-yl]sulfonyl}isoquinoline

ripasudil 4-fluoro-5-{[(2S)-2-méthyl-1,4-diazépan-1-yl]sulfonyl}isoquinoléine

ripasudil 4-fluoro-5-{[(2S)-2-metil-1,4-diazepan-1-il]sulfonil}isoquinolina

 $C_{15}H_{18}FN_3O_2S$

riviciclibum

riviciclib $\hbox{2-(2-chlorophenyl)-5,7-dihydroxy-8-[(2R,3S)-2-(hydroxymethyl)-1]}$

1-methylpyrrolidin-3-yl]-4*H*-1-benzopyran-4-one

riviciclib $\hbox{2-(2-chloroph\'enyl)-5,7-dihydroxy-8-[(2R,3S)-2-(hydroxym\'ethyl)-1]}$

1-méthylpyrrolidin-3-yl]-4*H*-1-benzopyran-4-one

riviciclib 2-(2-clorofenil)-5,7-dihidroxi-8-[(2R,3S)-2-(hidroximetil)-

1-metilpirrolidin-3-il]-4*H*-1-benzopiran-4-ona

$C_{21}H_{20}CINO_5$

rivipanselum

rivipansel

 $\label{eq:continuous} \begin{tabular}{ll} (2S)-3-cyclohexyl-2-([(1R,2R,3S,5R)-2-[(6-deoxy-\alpha-L-galactopyranosyl)oxy]-3-(2,6-dioxo-1,2,3,6-tetrahydropyrimidin-4-carboxamido)-5-{13-[(3,6,8-trisulfonatonaphthalene-1-yl)amino]-6,13-dioxo-2,5-diaza-8,11-dioxatridecanoyl}cyclohexyl] {2-O-benzoyl-$\beta-D-galactopyranosid-3-O-yl})propanoic acid \end{tabular}$

rivipansel

acide (2S)-3-cyclohexyl-2-([(1R,2R,3S,5R)-2-[(6-déoxy- α -L-galactopyranosyl)oxy]-3-(2,6-dioxo-1,2,3,6-tétrahydropyrimidin4-carboxamido)-5-{13-[(3,6,8-trisulfonatonaphtalèn-1-yl)amino]-6,13-dioxo-2,5-diaza-8,11-dioxatridécanoyl}cyclohexyl] {2-O-benzoyl- β -D-galactopyranosid-3-O-yl})propanoïque

rivipansel

ácido (2S)-3-ciclohexil-2-([(1R,2R,3S,5R)-2-[(6-desoxi-α-l-galactopiranosil)oxi]-3-(2,6-dioxo-1,2,3,6-tetrahidropirimidin-4-carboxamido)-5-{13-[(3,6,8-trisulfonatonaftalen-1-il)amino]-6,13-dioxo-2,5-diaza-8,11-dioxatridecanoil}ciclohexil] {2-O-benzoil-β-D-galactopiranosid-3-O-il})propanoico

$C_{58}H_{74}N_6O_{31}S_3\\$

roniciclibum

roniciclib $cyclopropyl(4-\{[4-\{[(2R,3R)-3-hydroxybutan-2-yl]oxy\}-1-yl]oxy\}-1-yl]oxy\}-1-yl]oxy-1-yl[oxy-1-yl]oxy-1-yl[oxy-$

5-(trifluoromethyl)pyrimidin-2-yl]amino}phenyl)imino- λ^5 -sulfanone

 $cyclopropyl(4-\{[4-\{[(2R,3R)-3-hydroxybutan-2-yl]oxy\}$ roniciclib

5-(trifluorométhyl)pyrimidin-2-yl]amino}phényl)imino-λ⁵-sulfanone

ciclopropil(4-{[4-{[(2R,3R)-3-hidroxibutan-2-il]oxi}-5-(trifluorometil)pirimidin-2-il]amino}fenil)imino- λ^5 -sulfanona roniciclib

 $C_{18}H_{21}F_3N_4O_3S$

ropeginterferonum alfa-2b #

ropeginterferon alfa-2b

recombinant DNA derived human interferon alfa-2b with an added pegylated proline at its N-terminal, produced in Escherichia coli (nonglycosylated):

 $\{1-[(3RS)-3,7-bis\{[(\omega-$

methoxypoly(oxyethylene)carbonyl]amino}heptyl]-L-prolyl}human interferon alpha-2B

ropéginterféron alfa-2b

interféron alfa-2b humain auquel une proline pégylée a été rajoutée du coté N-terminal, produit par Escherichia coli (non glycosylé) à partir d'ADN recombinant :

{1-[(3RS)-3,7-bis{[(ω-

méthoxypoly(oxyéthylène)carbonyl]amino}heptyl]-L-prolyl}interféron alpha-2B humain

ropeginterferon alfa-2b

interferón alfa-2b humano con una prolina pegilada unida al extremo N-terminal, producido por Escherichia coli (no glicosilado) a partir de ADN recombinante:

 $\{1-[(3RS)-3,7-bis\{[(\omega-metoxipoli(oxietilen)carbonil]amino\}heptil]-$ L-prolil}interferón alfa-2B humano

 $C_{876}H_{1376}N_{232}O_{260}S_9[C_2H_4O]_{2n}\\$

Sequence / Séquence / Secuencia

CDLPQTHSLG SRRTLMLLAQ MRRISLFSCL KDRHDFGFPQ EEFGNQFQKA 50 ETIPVLHEMI QQIFNLFSTK DSSAAWDETL LDKFYTELYQ QLNDLEACVI 100 QGVGVTETPL MKEDSILAVR KYFQRITLYL KEKKYSPCAW EVVRAEIMRS 150 FSLSTNLQES LRSKE 1665

Disulfide bridges location / Position des ponts disulfure / Posiciones de los puentes disulfuro $1\text{-}98\ 29\text{-}138$

Modified residue / Résidu modifié / Resto modifica

Р 1-[(mPEG)2link]Prolyl

sacubitrilum

 $4-\{[(2S,4R)-1-([1,1'-biphenyl]-4-yl)-5-ethoxy-4-methyl-5-oxopentan$ sacubitril

2-yl]amino}-4-oxobutanoic acid

acide 4-{[(2S,4R)-1-([1,1'-biphényl]-4-yl)-5-éthoxy-4-méthyl5-oxopentan-2-yl]amino}-4-oxobutanoïque sacubitril

ácido 4-{[(2S,4R)-1-([1,1'-bifenil]-4-il)-5-etoxi-4-metil-5-oxopentan-2-il]amino}-4-oxobutanoico sacubitrilo

C24H29NO5

$$\begin{array}{c|c} O & H \\ H_3C & H \\ \end{array}$$

sarecyclinum

(4S,4aS,5aR,12aS)-4-(dimethylamino)-3,10,12,12a-tetrahydroxysarecycline

7-{[methoxy(methyl)amino]methyl}-1,11-dioxo-1,4,4a,5,5a,6,11,12a-octahydrotetracene-2-carboxamide

sarécycline (4S,4aS,5aR,12aS)-4-(diméthylamino)-3,10,12,12a-tétrahydroxy-

7-[[methoxy(methyl)amino]methyl)-1,11-dioxo-1,4,4a,5,5a,6,11,12a-octahydrotétracène-2-carboxamide

 $(4S,4aS,5aR,12aS)-4-(dimetilamino)-3,10,12,12a-tetrahidroxi-7-\{[metoxi(metil)amino]metil\}-1,11-dioxo-1,4,4a,5,5a,6,11,12a-octahidrotetraceno-2-carboxamida$ sareciclina

 $C_{24}H_{29}N_3O_8$

sarsageninum

sarsagenin (25S)-5β-spirostan-3β-ol

sarsagénine (25S)-5β-spirostan-3β-ol

sarsagenina (25S)-5β-espirostan-3β-ol $C_{27}H_{44}O_3$

sisapronilum

 $5-amino-1-[2,6-dichloro-4-(trifluoromethyl)phenyl]-4-[(1RS)-2,2-difluoro-1-(trifluoromethyl)cyclopropyl]-1\\ \textit{H-}pyrazole-3-carbonitrile}$ sisapronil

 $5-amino-1-[2,6-dichloro-4-(trifluorométhyl)phényl]-4-[(1RS)-2,2-difluoro-1-(trifluorométhyl)cyclopropyl]-1\\ H-pyrazole-3-carbonitrile$ sisapronil

sisapronilo 5-amino-1-[2,6-dicloro-4-(trifluorometil)fenil]-4-[(1RS)-2,2-difluoro-

1-(trifluorometil)ciclopropil]-1*H*-pirazol-3-carbonitrilo

 $C_{15}H_6CI_2F_8N_4$

smilageninum

smilagenin (25R)-5β-spirostan-3β-ol

smilagénine (25R)-5β-spirostan-3β-ol

esmilagenina (25R)-5β-espirostan-3β-ol

 $C_{27}H_{44}O_3$

tanurmotidum

tanurmotide human lymphocyte antigen 6K-(101-111)-peptide

antigène 6K lymphocytaire humain-(101-111)-peptide tanurmotide

tanurmotida antígeno 6K linfocitario humano-(101-111)-péptido

 $C_{51}H_{80}N_{14}O_{15}S$

Sequence / Séquence / Secuencia RYCNLEGPPI 10

tarextumabum

tarextumab

immunoglobulin G2-kappa, anti-[Homo sapiens NOTCH2 and NOTCH3], Homo sapiens monoclonal antibody; gamma2 heavy chain (1-441) [Homo sapiens VH (IGHV3-66*01 (93.90%) -(IGHD)-IGHJ6*01 T123>L (110)) [8.8.8] (1-115) IGHG2*01 (CH1 (116-213), hinge (214-225), CH2 (226-334), CH3 (335-439), CHS (440-441)) (116-441)], (129-215')-disulfide with kappa light chain (1'-215') [Homo sapiens V-KAPPA (IGKV3-20*02 (94.40%) -IGKJ1*01) [7.3.9] (1'-108') -IGKC*01 (109'-215')]; dimer (217-217":218-218":221-221":224-224")-tetrakisdisulfide

tarextumab

immunoglobuline G2-kappa, anti-[Homo sapiens NOTCH2 et NOTCH3], Homo sapiens anticorps monoclonal; chaîne lourde gamma2 (1-441) [Homo sapiens (IGHV3-66*01 (93.90%) -(IGHD)-IGHJ6*01 T123>L (110)) [8.8.8] (1-115) -ÌGHG2*01 (CH1 (116-213), charnière (214-225), CH2 (226-334), CH3 (335-439), CHS (440-441)) (116-441)], (129-215')-disulfure avec la chaîne légère kappa (1'-215') [Homo sapiens V-KAPPA (IGKV3-20*02 (94.40%) -IGKJ1*01) [7.3.9] (1'-108') -IGKC*01 (109'-215')]; dimère (217-217":218-218":221-221":224-224")tétrakisdisulfure

tarextumab

inmunoglobulina G2-kappa, anti-[NOTCH2 y NOTCH3 de Homo sapiens], anticuerpo monoclonal de Homo sapiens; cadena pesada gamma2 (1-441) [Homo sapiens (IGHV3-66*01 (93.90%) -(IGHD)-IGHJ6*01 T123>L (110)) [8.8.8] (1-115) -IGHG2*01 (CH1 (116-213), bisagra (214-225), CH2 (226-334), CH3 (335-439), CHS (440-441)) (116-441)], (129-215')-disulfuro con la cadena ligera kappa (1'-215') [Homo sapiens V-KAPPA (IGKV3-20*02 (94.40%) -IGKJ1*01) [7.3.9] (1'-108') -IGKC*01 (109'-215')]; dímero (217-217":218-218":221-221":224-224")-tetrakisdisulfuro

```
Heavy chain / Chaîne lourde / Cadena pesada

EVQLVESGGG LVQPGGSLRL SCAASGFTFS SSGMSWVRQA PGKGLEWVSV 50
IASSGSNTYY ADSVKGRFTI SRDNSKNTLY LQMNSLRAED TAVYYCARSI 100
FYTTWGGGTL VTVSSASTKG PSVFLLAFCS RSTBSTAAL GCLVKDYFPE 150
PVTVSWNSGA LTSGVHTFPA VLQSSGLYSL SSVVVTVPSNS FGTGTYTCVN 200
DHKPSNTKVD KTVERKCCVE CPPCPAPPVA GPSVFLFPPK PKDTLMISRT 250
PEVTCVVVDV SHEDPEVGR WYVDGVEVIN AKTKPREEGF RSTFRVVSVL 300
TVVHQDMLNG KEVKCKVSNK GLPAPIEKTI SKTKGOPREP QVYTLPSRE 350
EMTKNQVSLT CLVKGFYPSD IAVEWSNGQ PENNYKTTPP MLDSDGSFFL 400
YSKLTVDKSR WQQGNVFSCS VMHEALHNHY TQKSLSLSPG K 441
```

Light chain / Chaîne légère / Cadena ligera							
DIVLTQSPAT	LSLSPGERAT	LSCRASQSVR	SNYLAWYQQK	PGQAPRLLIY	50		
GASSRATGVP	ARFSGSGSGT	DFTLTISSLE	PEDFAVYYCQ	QYSNFPITFG	100		
QGTKVEIKRT	VAAPSVFIFP	PSDEQLKSGT	ASVVCLLNNF	YPREAKVQWK	150		
VDNALQSGNS	QESVTEQDSK	DSTYSLSSTL	TLSKADYEKH	KVYACEVTHQ	200		
GLSSPVTKSF	NRGEC				215		

Disulfide bridges location / Position des ponts disulfure / Posiciones de los puentes disulfuro

```
Distillate bridges location / Position despons distillate / Positiones de los Intra-H (C23-C104) 22-96 142-198 255-315 361-419"  

Intra-L (C23-C104) 23-89' 135'-195' 23"-89" 135''-195''  

Inter-H-L (CH1 10-CL 126) 129-215' 129''-215''  

Inter-H-H (h 4, h 5, h 8, h 11) 217-217'' 218-218'' 221-221'' 224-224''
```

N-glycosylation sites / Sites de N-glycosylation / Posiciones de N-glicosilación H CH2 N84.4: 291, 291"

taselisibum

2-methyl-2-(4-{2-[3-methyl-1-(propan-2-yl)-1*H*-1,2,4-triazol-5-yl]taselisib

5,6-dihydroimidazo[1,2-d][1,4]benzoxazepin-9-yl}-1H-pyrazol-

1-yl)propanamide

2-méthyl-2-(4-{2-[3-méthyl-1-(propan-2-yl)-1*H*-1,2,4-triazol-5-yl]tasélisib

5,6-dihydroimidazo[1,2-d][1,4]benzoxazépin-9-yl}-1H-pyrazol-

1-yl)propanamide

2-metil-2-(4-{2-[3-metil-1-(propan-2-il)-1*H*-1,2,4-triazol-5-yl]taselisib

5,6-dihidroimidazo[1,2-d][1,4]benzoxazepin-9-il}-1H-pirazol-

1-il)propanamida

 $C_{24}H_{28}N_8O_2$

$$\begin{array}{c|c} H_3C & N & O \\ N-N & CH_3 & N & CH_3 \\ \end{array}$$

technetii (^{99m}Tc) trofolastati chloridum technetium (^{99m}Tc) trofolastat chloride

 $(OC\text{-}6\text{-}33)\text{-tricarbonyl}\{(2S)\text{-}2\text{-}[(\{(1S)\text{-}1\text{-}carboxy\text{-}4\text{-}\{[(1S)\text{-}1\text{-}carboxy\text{-}5\text{-}(bis\{[\frac{1}{2}\text{-}(2\text{-}\{[bis(carboxymethyl)]amino}\}\text{-}2\text{-}oxoethyl)\text{-}1$$H\text{-}imidazol-$

2-yl-κ/N³]methyl}amino-κ/N)pentyl]amino}-4-oxobutyl]carbamoyl}amino)pentanedioic acid}(99mTc)technetium

chloride

chlorure de technétium (99mTc) trofolastat

chlorure de (99m Tc)technétium acide (OC-6-33)-tricarbonyl{(2S)-2-

[({(1S)-1-carboxy-4-{[(1S)-1-carboxy-5-(bis{[1-(2-

{[bis(carboxyméthyl)]amino}-2-oxoéthyl)-1H-imidazol-

2-yl-κ/N³]méthyl}amino-κ/N)pentyl]amino}-4-oxobutyl]carbamoyl}amino)pentanedioïque}

cloruro de tecnecio (99mTc) trofolastat

cloruro de ácido (OC-6-33)-tricarbonil{(2S)-2-[({(1S)-1-carboxi-4-{[(1S)-1-carboxi-5-(bis{[1-(2-{[bis(carboximetii)]amino}-2-oxoetil)-1*H*-imidazol-2-il-κ*N*³]metil}amino-κ*N*)pentil]amino}-

4-oxobutil]carbamoil}amino)pentanedioico}(99mTc)tecnecio

 $C_{40}H_{50}CIN_{10}O_{23}Tc$

topsalysinum

topsalysin

topsalysine

topsalisina

recombinant DNA derived proaerolysin, pore-forming protein, from *Aeromonas hydrophila*, with the furin site substituted with a prostate specific antigen (PSA), fusion protein with 6 histidines, produced in *Escherichia coli* (nonglycosylated):

[427-L-histidine(K>H),428-L-serine(V>S),429-L-serine(R>S),430-L-lysine(R>K),431-L-leucine(A>L),432-L-glutamine(R>Q)]proaerolysin *Aeromonas hydrophila* fusion protein with hexa-L-histidine

proaérolysine, protéine formant des pores, d'Aeromonas hydrophila dont le site furine est substitué par un antigène prostatique spécifique, protéine de fusion avec 6 histidines, produit par Escherichia coli à partir d'ADN recombinant (non glycosylé): [427-L-histidine(K>H),428-L-sérine(V>S),429-L-sérine(R>S),430-L-lysine(R>K),431-L-leucine(A>L),432-L-glutamine(R>Q)]proaérolysine d'Aeromonas hydrophila protéine de fusion avec l'hexa-L-histidine

proaerolisina, proteína formadora de poros, d'*Aeromonas hydrophila* cuyo sitio furina está substituido por un antígeno prostático específico, proteína de fusión con 6 histidinas, producida por *Escherichia coli* a partir de ADN recombinante (no glicosilado): [427-L-histidina(K>H),428-L-serina(V>S),429-L-serina (R>S),430-L-lisina(R>K),431-L-leucina(A>L),432-L-glutamina(R>Q)]proaerolisina d'*Aeromonas hydrophila* proteina de fusión con hexa-L-histidina

Sequence / Sequence / Secuencia AEPYYPDQLR LFSLGQCVCG DKYRPVNREE AQSVKSNIVG MMGQWQISGL 50 ANGWVIMGPG YNGEIKPGTA SNTWCYPTNP VTGEIFTLSA LDIPDGDEVD 100 VQWRLVHDSA NFIKPTSYLA HYLGYARVGG MISQYVGEMD DVTROEDGWV 150 IRGNNDGGCD GYRCGDKTAI KVSNFAYNLD PDSFKHGDVT QSDRQLVKTV 200 VGWAVNDSDT PQGSYDVTLR YDTATNWSKT NTYGLSEKVT TKNKFKWELV 250 GETELSIBIA ANGSWASQNG GSTTSLSQS VRPTVPARSK IPVKIELKKA 300 DISYPYEFKA DVSYDLTLSG FLRWGGNAWY THPDNRPNNN HTFVIGPYKD 350 KASSIRYQMD KRYIPGEVKW WDNNWTIQQN GLSTMQNNLA RVLRPVRAGI 400 TGDFSABSQF AGNIEIGAPV PLAADSHSSK LQSVDGAGGG LRLEIPLDAQ 450 ELSGLGFNNV SLSVTPAANQ HHHHHH

Disulfide bridges location / Position des ponts disulfure / Posiciones de los puentes disulfuro 19-75 $\,$ 159-164

tosatoxumabum

tosatoxumab

immunoglobulin G1-lambda2, anti-[*Staphylococcus aureus* alphatoxin (alpha-hemolysin, alpha-HL, hly, hla)], *Homo sapiens* monoclonal antibody;gamma1 heavy chain (1-451) [*Homo sapiens* VH (IGHV5-51*01 (81.60%) -(IGHD)-IGHJ1*01 L123>M (116)) [8.8.14] (1-121) -IGHG1*01 (CH1 (122-219), hinge (220-234), CH2 (235-344), CH3 (345-449), CHS (450-451)) (122-451)], (224-216')-disulfide with lambda light chain (1'-217') [*Homo sapiens* V-LAMBDA (IGLV1-44*01 (93.90%) -IGLJ1*01) [8.3.12] (1'-111') -IGLC1*01 (112'-217')]; dimer (230-230":233-233")-bisdisulfide

immunoglobuline G1-lambda2, anti-[Staphylococcus aureus toxine alpha (hémolysine alpha, HL-alpha, hly, hla)], Homo sapiens anticorps monoclonal;

chaîne lourde gamma1 (1-451) [Homo sapiens VH (IGHV5-51*01 (81.60%) -(IGHD)-IGHJ1*01 L123>M (116)) [8.8.14] (1-121) - IGHG1*01 (CH1 (122-219), charnière (220-234), CH2 (235-344), CH3 (345-449), CHS (450-451)) (122-451)], (224-216')-disulfure avec la chaîne légère lambda (1'-217') [Homo sapiens V-LAMBDA (IGLV1-44*01 (93.90%) -IGLJ1*01) [8.3.12] (1'-111') -IGLC1*01 (112'-217')]; dimère (230-230":233-233")-bisdisulfure

tosatoxumab

tosatoxumab

inmunoglobulina G1-lambda2, anti-[toxina alfa de Staphylococcus aureus (hemolisina alfa, HL-alfa, hly, hla)], anticuerpo monoclonal de

gamma1 (1-451) [Homo sapiens VH (IGHV5-51*01 (81.60%) -(IGHD)-IGHJ1*01 L123>M (116)) [8.8.14] (1-121) -cadena pesada (224-216')-disulfuro con la cadena ligera lambda (1'-217') [Homo sapiens (IGLV1-44*01 (93.90%) -IGLJ1*01) [8.3.12] (1'-111') -IGLC1*01 (112'-217')]; dímero (230-230":233-233")-bisdisulfuro

```
Heavy chain / Chaîne lourde / Cadena pesada

EVQMVQSGAE VKKPGEPLKI SCKGSGYKFG THWIGWVRQR PGKGLEWMGI 50
IHPADSETKY SPSFQGQVSF SADKSSNTAY LHWSTLRASD TAMYYCARRS 100
GSSSWYALDF WGGTMYTVS SASTKGFSVF PLAPSSKSTS GGTAALGCLV 150
KDYFPEPVTV SWNSGALTSG VHTFPAVLOS SGLYSLSSVV TVPSSSLGTQ 200
TYICNVNHKP SNTKVDKRVE PKSCDKTHTC PPCPAPELLG GPSVFLFPPK 250
PKDTLMISRT PEVTCVVVVDV SHEDPEVKFN WYVDGVEVHN AKTKPREEQY 300
NSTYRVVSVL TVLHQDWLNG KEVKCKVSNK ALPAPIEKTI SKAKGQFREP 350
QVYTLPPSRE EMTKNQVSLT CLVKGFYPSD IAVEWSNGQ PENNYKTTPP 400
VLDSDGSFFL YSKLTVDKSR WQQGNVFSCS VMHEALHNHY TQKSLSLSPG 450
K
```

Light chain / Chaîne légère / Cadena ligera

```
Legin Chain / Chaine Regere / Cadena Ilgera
QSVLTQSPSA SGTPGQRVTI SCSGGSSNIG SNTVNNYQQF PGAAPKLLIY 50
TNNQRPSGVP DRRSGRKSGT SASLAISGLQ SEDEADYYCA TWDDSLNGLY 100
VFGGTRXVTV LGQPKANPTV TLFPFSSEEL QANKATLVCL ISDFYPGAVT 150
VAWKADGSPV KAGVETTKPS KQSNNKYAAS SYLSLTPEQW KSHRSYSCQV 200
THEGSTVEKT VAPTECS 217
```

N-glycosylation sites / Sites de N-glycosylation / Posiciones de N-glicosilación H ČH2 N84.4:

tovetumabum # tovetumab

immunoglobulin G2-kappa, anti-[Homo sapiens PDGFRA (plateletderived growth factor receptor alpha subunit, PDGFR2, CD140a)], Homo sapiens monoclonal antibody;

gamma2 heavy chain (1-446) [Homo sapiens VH (IGHV3-11*01 (98.00%) -(IGHD)-IGHJ6*01) [8.8.13] (1-120) -IGHG2*01 (CH1 (121-218), hinge (219-230), CH2 (231-339), CH3 (340-444), CHS (445-446)) (121-446)], (134-215')-disulfide with kappa light chain (1'-215') [Homo sapiens V-KAPPA (IGKV1-39*01 (89.50%) -IGKJ5*01 1126>M (107)) [6.3.10] (1'-108') -IGKC*01 (109'-215')]; dimer (222-222":223-223":226-226":229-229")-tetrakisdisulfide

tovétumab

immunoglobuline G2-kappa, anti-[Homo sapiens PDGFRA (sousunité alpha du récepteur du facteur de croissance dérivé des plaquettes, PDGFR2, CD140a)], Homo sapiens anticorps monoclonal;

chaîne lourde gamma2 (1-446) [Homo sapiens VH (IGHV3-11*01 (98.00%) -(IGHD)-IGHJ6*01) [8.8.13] (1-120) -IGHG2*01 (CH1 (121-218), charnière (219-230), CH2 (231-339), CH3 (340-444), CHS (445-446)) (121-446)], (134-215')-disulfure avec la chaîne légère kappa (1'-215') [Homo sapiens V-KAPPA (IGKV1-39*01 (89.50%) -IGKJ5*01 I126>M (107)) [6.3.10] (1'-108') -IGKC*01 (109'-215')]; dimère (222-222":223-223":226-226":229-229")-tétrakisdisulfure

tovetumab

inmunoglobulina G2-kappa, anti-[PDGFRA de Homo sapiens (subunidad alfa del receptor del factor de crecimiento derivado de las plaquetas, PDGFR2, CD140a)], anticuerpo monoclonal de Homo sapiens;

cadena pesada gamma2 (1-446) [Homo sapiens VH (IGHV3-11*01 (98.00%) -(IGHD)-IGHJ6*01) [8.8.13] (1-120) -IGHG2*01 (CH1 (121-218), bisagra (219-230), CH2 (231-339), CH3 (340-444), CHS (445-446)) (121-446)], (134-215')-disulfuro con la cadena ligera kappa (1'-215') [Homo sapiens V-KAPPA (IGKV1-39*01 (89.50%) -IGKJ5*01 I126>M (107)) [6.3.10] (1'-108') -IGKC*01 (109'-215')]; dímero (222-222":223-223":226-226":229-229")-tetrakisdisulfuro

Heavy chain / Chaîne lourde / Cadena pesada

QVQLVESGGG	LVKPGGSLRL	SCAASGFTFS	DYYMNWIRQA	PGKGLEWVSY	50
ISSSGSIIYY	ADSVKGRFTI	SRDNAKNSLY	LQMNSLRAED	TAVYYCAREG	100
RIAARGMDVW	GQGTTVTVSS	ASTKGPSVFP	LAPCSRSTSE	STAALGCLVK	150
				VPSSNFGTQT	
YTCNVDHKPS	NTKVDKTVER	KCCVECPPCP	APPVAGPSVF	LFPPKPKDTL	250
				REEQFNSTFR	
VVSVLTVVHQ	DWLNGKEYKC	KVSNKGLPAP	IEKTISKTKG	QPREPQVYTL	350
PPSREEMTKN	QVSLTCLVKG	FYPSDIAVEW	ESNGQPENNY	KTTPPMLDSD	400
GSFFLYSKLT	VDKSRWOOGN	VFSCSVMHEA	LHNHYTOKSL	SLSPGK	446

Light chain / Chaîne légère / Cadena ligera

DIQMTQSPSS	LSASVGDRVS	ITCRPSQSFS	RYINWYQQKP	GKAPKLLIHA	50
ASSLVGGVPS	RFSGSGSGTD	FTLTISSLQP	EDFATYYCQQ	TYSNPPITFG	100
QGTRLEMKRT	VAAPSVFIFP	PSDEQLKSGT	ASVVCLLNNF	YPREAKVQWK	150
VDNALQSGNS	QESVTEQDSK	DSTYSLSSTL	TLSKADYEKH	KVYACEVTHQ	200
GLSSPVTKSF	NRGEC				215

```
Disulfide bridges location / Position des ponts disulfure / Posiciones de los puentes disulfuro Intra-H (C23-C104) 22-96 147-203 260-320 366-424 2"-2"-96" 147"-203" 260"-320" 366"-424"  
Intra-L (C23-C104) 23"-88" 135"-195"  
23"-88" 135"-195"  
Inter-H-L (CH1 10-CL 126) 134-215' 134"-215"  
Inter-H-H (h 4, h 5, h 8, h 11) 222-222" 223-223" 226-226" 229-229"
```

N-glycosylation sites / Sites de N-glycosylation / Posiciones de N-glicosilación H CH2 N84.4: 296, 296"

ubrogepantum

ubrogepant

(3'S)-N-[(3S,5S,6R)-6-methyl-2-oxo-5-phenyl-1-(2,2,2-trifluoroethyl)piperidin-3-yl]-2'-oxo-

1',2',5,7-tetrahydrospiro[cyclopenta[b]pyridine-6,3'-pyrrolo[2,3b]pyridine]-3-carboxamide

ubrogépant

(3'S)-N-[(3S,5S,6R)-6-méthyl-2-oxo-5-phényl-1-(2,2,2-trifluoroéthyl)pipéridin-3-yl]-2'-oxo-

1',2',5,7-tétrahydrospiro[cyclopenta[b]pyridine-6,3'-pyrrolo[2,3b]pyridine]-3-carboxamide

ubrogepant

(3'S)-N-[(3S,5S,6R)-6-metil-2-oxo-5-fenil-1-(2,2,2-trifluoroetil)piperidin-3-il]-2'-oxo-

1',2',5,7-tetrahidrospiro[ciclopenta[b]piridina-6,3'-pirrolo[2,3b]piridina]-3-carboxamida

 $C_{29}H_{26}F_3N_5O_3$

valbenazinum

valbenazine

(2*R*,3*R*,11b*R*)-9,10-dimethoxy-3-(2-methylpropyl)-1,3,4,6,7,11b-hexahydro-2*H*-pyrido[2,1-a]isoquinolin-2-yl L-valinate

valbénazine

L-valinate de (2*R*,3*R*,11b*R*)-9,10-diméthoxy-3-(2-méthylpropyl)-1,3,4,6,7,11b-hexahydro-2*H*-pyrido[2,1-*a*]isoquinoléin-2-yle

valbenazina

L-valinato de (2R,3R,11bR)-9,10-dimetoxi-3-(2-metilpropil)-1,3,4,6,7,11b-hexahidro-2H-pirido[2,1-a]isoquinolein-2-ylo

 $C_{24}H_{38}N_2O_4$

$$H_3CO$$
 H_2N
 H_3CO
 H_3CO
 H_3CO
 H_3CO
 H_3CO
 H_3CO
 H_3CO
 H_3CO
 H_3CO

vantictumabum # vantictumab

immunoglobulin G2-lambda, anti-[Homo sapiens frizzled family receptor (FZD), including FZD1, FZD2, FZD5, FZD7 and FZD8)], Homo sapiens monoclonal antibody; gamma2 heavy chain (1-443) [Homo sapiens VH (IGHV3-23*04 (90.80%) -(IGHD)-IGHJ6*01 T123>L (113)) [8.8.11] (1-118) - IGHG2*01 (CH1 (119-216), hinge (217-228), CH2 (229-337), CH3 (338-441), CHS (442-443)) (119-443)], (132-212')-disulfide with lambda light chain (1'-213') [Homo sapiens V-LAMBDA (IGLV3-25*02 (81.60%) -IGLJ2*01) [6.3.10] (1'-107') -IGLC2*01 (108-213')]; dimer (220-220":221-221":224-224":227-227")-tetrakisdisulfide

vantictumab

immunoglobuline G2-lambda, anti-[Homo sapiens récepteur de la famille frizzled (FZD), incluant FZD1, FZD2, FZD5, FZD7 et FZD8)], Homo sapiens anticorps monoclonal; chaîne lourde gamma2 (1-443) [Homo sapiens VH (IGHV3-23*04 (90.80%) -(IGHD)-IGHJ6*01 T123>L (113)) [8.8.11] (1-118) - IGHG2*01 (CH1 (119-216), charnière (217-228), CH2 (229-337), CH3 (338-441), CHS (442-443)) (119-443)], (132-212')-disulfure avec la chaîne légère lambda (1'-213') [Homo sapiens V-LAMBDA (IGLV3-25*02 (81.60%) -IGLJ2*01) [6.3.10] (1'-107') -IGLC2*01 (108'-213')]; dimère (220-220":221-221":224-224":227-227")-tétrakisdisulfure

vantictumab

inmunoglobulina G2-lambda, anti-[receptor de la familia frizzled (FZD) de $Homo\ sapiens$, incluyendo FZD1, FZD2, FZD5, FZD7 et FZD8)], anticuerpo monoclonal de $Homo\ sapiens$; cadena pesada gamma2 (1-443) [$Homo\ sapiens\ VH\ (IGHV3-23*04\ (90.80\%)\ -(IGHD)\ -IGHJ6*01\ T123>L\ (113)) [8.8.11]\ (1-118)\ -IGHG2*01\ (CH1\ (119-216)\ bisagra\ (217-228)\ CH2\ (229-337)\ CH3\ (338-441)\ CHS\ (442-443))\ (119-443)], (132-212')\ -disulfuro\ con la cadena ligera lambda\ (1'-213')\ [<math>Homo\ sapiens\ V-LAMBDA\ (IGLV3-25*02\ (81.60\%)\ -IGLJ2*01)\ [6.3.10]\ (1'-107')\ -IGLC2*01\ (108'-213')];$ dímero (220-220'':221-221'':224-224'':227-227'')-tetrakisdisulfuro

	Heavy chain / Chaine ioune / Cadena pesada EVQLIVESGGG LVQPGGSLRL SCAASGFTFS HYTLSWVRQA PGKGLEWVSV 50 ISGDGSYTYY ADSVKGRFTI SSDNSKNTLY LQMNSLRAED TAVYYCARNF 100 IKYYFANWGQ GTLVTVSSAS TKGPSVFPLA PCSRSTSEST AALGCLVKDY 150 FPEPVTVSWN SGALTSGVHT FFAVLQSSGL YSLSSVVTVP SSNFGTQTYT 200 CNVDHKPSNT KVDKTVERKC CVECPPCPAP PVAGPSVFLF PPKPKDTIMI 250 SRTEEVTCVV VDVSHEDPEV QFNWYVDGVE VHNAKTKPRE EQFNSTFRVV 300 SVLTVVHQDW LNGKEYKCKV SNKGLPAPIE KTISKTKGQP REPQVYILPP 350 SREEMTKNQV SLTCLVKGFY PSDIAVEWES NGGPENNYKT TPPMLDSDGS 400 FFLYSKLTVD KSRWQQGNVF SCSVMHEALH NHYTQKSLSL SPG 443
	Light chain / Chaîne légère / Cadena ligera DIELTQPPSV SVAPGQTARI SCSGDNIGSF YVHWYQQKPG QAPVLVIYDK 50 SNRPSGIPER FSGSNSGNTA TLTISCTQAE DEADYYCQSY ANTLSLVFGG 100 GTKLTVLQGP KAAPSVTLFP PSSEELQANK ATLVCLISDF YPGAVTVAWK 150 ADSSPVKAGV ETTTPSKQSN NKYAASSYLS LTPEQWKSHR SYSCQVTHEG 200 STVEKTVAPT ECS 213
	Disulfide bridges location / Position des ponts disulfure / Posiciones de los puentes disulfuro Intra-H (C23-C104) 22-96 145-201 258-318 364-422 22"-96" 145"-201" 258"-318" 364"-422" Intra-L (C23-C104) 22"-87" 135"-194" 22"-87" 135"-194" Inter-H-L (CH1 10-CL 126) 132-212' 132"-212" Inter-H-H (h 4, h 5, h 8, h 11) 220-220" 221-221" 224-224" 227-227"
	N-glycosylation sites / Sites de N-glycosylation / Posiciones de N-glicosilación H CH2 N84.4: 294, 294"
vatiquinonum vatiquinone	2-[(3 <i>R</i> ,6 <i>E</i> ,10 <i>E</i>)-3-hydroxy-3,7,11,15-tetramethylhexadeca-6,10,14-trien-1-yl]-3,5,6-trimethylcyclohexa-2,5-diene-1,4-dione
vatiquinone	2-[(3 <i>R</i> ,6 <i>E</i> ,10 <i>E</i>)-3-hydroxy-3,7,11,15-tétraméthylhexadéca-6,10,14-trién-1-yl]-3,5,6-triméthylcyclohexa-2,5-diène-1,4-dione
vatiquinona	2-[(3 <i>R</i> ,6 <i>E</i> ,10 <i>E</i>]-3-hidroxi-3,7,11,15-tetrametilhexadeca-6,10,14-trien-1-il]-3,5,6-trimetilciclohexa-2,5-dieno-1,4-diona
	$C_{29}H_{44}O_3$
	H_3C CH_3
vedroprevirum	
vedroprevir	1-{[(2S,4R)-1-{(2S)-2-[({[(1R,3r,5S)-bicyclo[3.1.0]hexan-3-yl]oxy}carbonyl)amino]-3,3-dimethylbutanoyl}-4-((8-chloro-7-[2-(morpholin-4-yl)ethoxy]-2-{2-[(propan-2-yl)amino]-1,3-thiazol-4-yl}quinolin-4-yl)oxy]pyrrolidin-2-yl]carbonylamino}-2-ethylcyclopropane-1-carboxylic acid
védroprévir	acide 1-{[(2S,4R)-1-{(2S)-2-[({[(1R,3r,5S)-bicyclo[3.1.0]hexan-3-yl]oxy}carbonyl)amino]-3,3-diméthylbutanoyl}-4-((8-chloro-7-[2-(morpholin-4-yl)éthoxy]-2-{2-[(propan-2-yl)amino]-1,3-thiazol-4-yl}quinoléin-4-yl)oxy]pyrrolidin-2-yl]carbonylamino}-2-éthylcyclopropane-1-carboxylique
vedroprevir	ácido 1-{[(2S,4R)-1-{(2S)-2-[({[(1R,3r,5S)-biciclo[3.1.0]hexan-3-il]oxi}carbonil)amino]-3,3-dimetilbutanoil}-4-((8-cloro-7-[2-(morfolin-4-il)etoxi]-2-{2-[(propan-2-il)amino]-1,3-tiazol-4-il}quinolin-4-il)oxi]pirrolidin-2-il]carbonilamino}-2-etilciclopropano-1-carboxílico

Heavy chain / Chaîne lourde / Cadena pesada

$C_{45}H_{60}CIN_7O_9S$

vericiguatum

vericiguat

methyl [4,6-diamino-2-{5-fluoro-1-[(2-fluorophenyl)methyl]-1*H*-pyrazolo[3,4-*b*]pyridin-3-yl}pyrimidin-5-yl]carbamate

vériciguat

[4,6-diamino-2-{5-fluoro-1-[(2-fluorophényl)méthyl]-1H-pyrazolo[3,4-b]pyridin-3-yl}pyrimidin-5-yl]carbamate de méthyle

vericiguat

 $\textit{N-} \{4,6-\text{diamino-}2-[5-\text{fluoro-}1-[(2-\text{fluorofenil})\text{metil}]-1\textit{H-}pirazolo[3,4-\textit{b}]-1\text{-}(2-\text{fluorofenil})\text{metil}]-1\text{-}(3-\text{fluoro-}1-[(2-\text{fluorofenil})\text{metil}]-1\text{-}(3-\text{fluoro-}1-[(2-\text{fluorofenil})\text{metil}]-1\text{-}(3-\text{fluoro-}1-[(2-\text{fluorofenil})\text{metil}]-1\text{-}(3-\text{fluoro-}1-[(2-\text{fluorofenil})\text{metil}]-1\text{-}(3-\text{fluoro-}1-[(2-\text{fluorofenil})\text{metil}]-1\text{-}(3-\text{fluoro-}1-[(2-\text{fluorofenil})\text{metil}]-1\text{-}(3-\text{fluoro-}1-[(2-\text{fluorofenil})\text{metil}]-1\text{-}(3-\text{fluoro-}1-[(2-\text{fluorofenil})\text{metil}]-1\text{-}(3-\text{fluoro-}1-[(2-\text{fluorofenil})\text{metil}]-1\text{-}(3-\text{fluoro-}1-[(2-\text{fluorofenil})\text{metil}]-1\text{-}(3-\text{fluoro-}1-[(2-\text{fluorofenil})\text{metil}]-1\text{-}(3-\text{fluoro-}1-[(2-\text{fluorofenil})\text{metil}]-1\text{-}(3-\text{fluoro-}1-[(2-\text{fluorofenil})\text{metil}]-1\text{-}(3-\text{fluoro-}1-[(2-\text{fluorofenil})\text{metil}]-1\text{-}(3-\text{fluoro-}1-[(2-\text{fluorofenil})\text{metil}]-1\text{-}(3-\text{fluoro-}1-[(2-\text{fluoro-}1-[(2-\text{fluorofenil})\text{metil}]-1\text{-}(3-\text{fluoro-}1-[(2-\text{fluo$ piridin-3-il]pirimidin-5-il}carbamato de metilo

 $C_{19}H_{16}F_2N_8O_2\\$

vilaprisanum

vilaprisan

 $20,20,21,21,21\mbox{-pentafluoro-17-hydroxy-} 11\beta-[4-(methanesulfonyl)phenyl]-19-nor-17\alpha-pregna-4,9-dien-3-one$

vilaprisan

20,20,21,21,21-pentafluoro-17-hydroxy-11 β -[4-(méthanesulfonyl)phényl]-19-nor-17 α -prégna-4,9-dién-3-one

vilaprisán

 $20,\!20,\!21,\!21,\!21\text{-pentafluoro-}17\text{-hidroxi-}11\beta\text{-[}4\text{-(metanosulfonil)fenil]}\text{-}$ 19-nor-17 α -pregna-4,9-dien-3-ona

 $C_{27}H_{29}F_5O_4S$

voruciclibum

2-[2-chloro-4-(trifluoromethyl)phenyl]-5,7-dihydroxy-8-[(2R,3S)-2-(hydroxymethyl)-1-methylpyrrolidin-3-yl]voruciclib

4H-1-benzopyran-4-one

2-[2-chloro-4-(trifluoromethyl)phenyl]-5,7-dihydroxyvoruciclib

8-[(2R,3S)-2-(hydroxymethyl)-1-methylpyrrolidin-3-yl]-

4*H*-1-benzopyran-4-one

2-[2-cloro-4-(trifluorometil)fenil]-5,7-dihidroxivoruciclib

8-[(2R,3S)-2-(hidroximetil)-1-metilpirrolidin-3-il]-4H-1-benzopiran-

4-ona

 $C_{22}H_{19}CIF_3NO_5$

[#] Electronic structure available on Mednet: http://mednet.who.int/

[#] Structure électronique disponible sur Mednet: http://mednet.who.int/ # Estructura electrónica disponible en Mednet: http://mednet.who.int/

^{*} http://www.who.int/entity/medicines/services/inn/Radical_Book_2012.pdf

AMENDMENTS TO PREVIOUS LISTS MODIFICATIONS APPORTÉES AUX LISTES ANTÉRIEURES MODIFICACIONES A LAS LISTAS ANTERIORES

Recommended International Nonproprietary Names (Rec. INN): List 1 (Chron. Wld Hith Org., Vol. 9, No 6, 1955)

p. 190 delete insert

methacholinii chloridum methacholini chloridum methacholinium chloride methacholine chloride

Dénominations communes internationales recommandées (DCI rec.): Liste 1 (Chron. Org. mond. Santé, Vol. 9, No 6, 1955)

p. 206 supprimer insérer

methacholinii chloridum chlorure de méthacholinium chlorure de méthacholinium chlorure de méthacholine

Denominaciones Comunes Internacionales Recomendadas (DCI Rec.): Lista 1 (Crón. Org. mund. Salud, Vol. 9, No 6, 1955)

p. 209 suprimáse insertese

methacholinii chloridummethacholini chloridumcloruro de metacoliniocloruro de metacolina

Recommended International Nonproprietary Names (Rec. INN): List 3 (Chron. Wld Hith Org., Vol. 13, No. 12, 1959)

p. 463 delete insert

acetylcholinii chloridum acetylcholini chloridum

p. 465 delete insert

cholinii chloridum cholini chloridum

p. 470 delete insert

 nitricholinii perchloras
 nitricholini perchloras

 nitricholinium perchlorate
 nitricholine perchlorate

Dénominations communes internationales recommandées (DCI rec.): Liste 3 (Chron. Org. mond. Santé, Vol. 13, No. 12, 1959)

p. 482 supprimer insérer

acetylcholinii chloridum acetylcholini chloridum

Recommended INN: List 71

p. 484 supprimer insérer

cholinii chloridum cholini chloridum

p. 489 supprimer insérer

nitricholinii perchlorasnitricholini perchlorasperchlorate de nitricholiniumperchlorate de nitricholine

Denominaciones Comunes Internacionales Recomendadas (DCI Rec.): Lista 3 (Crón. Org. mund. Salud, Vol. 13, No. 12, 1959)

p. 496 suprimáse insertese

acetylcholinii chloridum acetylcholini chloridum

p. 498 suprimáse insertese

cholinii chloridum cholini chloridum

p. 503 suprimáse insertese

nitricholinii perchloras nitricholini perchloras perclorato de nitricolinio perclorato de nitrocolina

Recommended International Nonproprietary Names (Rec. INN): List 4 (Chron. Wld Hlth Org., Vol. 16, No. 3, 1962)

p. 103 delete insert

cholinii gluconascholini gluconascholinium gluconatecholine gluconate

Dénominations communes internationales recommandées (DCI rec.): Liste 4 (Chron. Org. mond. Santé, Vol. 16, No. 3, 1962)

p. 114 supprimer insérer

cholinii gluconas
gluconate de cholinium
gluconate de cholinium

Denominaciones Comunes Internacionales Recomendadas (DCI Rec.): Lista 4 (Crón. Org. mund. Salud, Vol. 16, No. 3, 1962)

p. 154 suprimáse insertese

cholinii gluconas gluconato de colinio gluconato de colina

Recommended International Nonproprietary Names (Rec. INN): List 62 Dénominations communes internationales recommandées (DCI Rec.): Liste 62 Denominaciones Comunes Internacionales Recomendadas (DCI Rec.): Lista 62 (WHO Drug Information, Vol. 23, No. 3, 2009)

p. 258 & ramucirumabum

259

ramucirumab ramucirumab ramucirumab replace the description and the structure by the following ones remplacer la description et la structure par les suivantes sustitúyase la descripción y la estructura por los siguientes

immunoglobulin G1-kappa, anti-[Homo sapiens KDR (kinase insert domain receptor, vascular endothelial growth factor receptor 2, VEGFR2, VEGF-R2, FLK1, CD309) extracellular domain], Homo sapiens monoclonal antibody; gamma1 heavy chain (1-446) [Homo sapiens VH (IGHV3-21*01(99.00%) -(IGHD)-IGHJ3*02) [8.8.9] (1-116) - IGHG1*03 (CH1 F5>L (125), hinge (215-229), CH2 (230-339), CH3 (340-444), CHS (445-446)) (117-446)], (219-214')-disulfide with kappa light chain (1'-214') [Homo sapiens V-KAPPA (IGKV1-12*01 (85.30%) -IGKJ4*01 E125>D (105)) [6.3.9] (1'-107') -IGKC*01 (108'-214')]; dimer (225-225":228-228")-bisdisulfide

immunoglobuline G1-kappa, anti-[*Homo sapiens* KDR (récepteur à domaine insert kinase, récepteur 2 du facteur de croissance endothélial vasculaire, VEGFR2, VEGF-R2, FLK1, CD309) domaine extracellulaire], *Homo sapiens* anticorps monoclonal:

chaîne lourde gamma1 (1-446) [Homo sapiens VH (IGHV3-21*01 (99.00%) -(IGHD)-IGHJ3*02) [8.8.9] (1-116) -IGHG1*03 (CH1 F5>L (125), charnière (215-229), CH2 (230-339), CH3 (340-444), CHS (445-446)) (117-446)], (219-214')-disulfure avec la chaîne légère kappa (1'-214') [Homo sapiens V-KAPPA (IGKV1-12*01 (85.30%) - IGKJ4*01 E125>D (105)) [6.3.9] (1'-107') -IGKC*01 (108'-214')]; dimère (225-225":228-228")-bisdisulfure

inmunoglobulina G1-kappa, anti-[Homo sapiens KDR (receptor con dominio insertkinasa, receptor 2 del factor de crecimiento endotelial vascular, VEGFR2, VEGF-R2, FLK1, CD309) dominio extracelular], Homo sapiens anticuerpo monoclonal; cadena pesada gamma1 (1-446) [Homo sapiens VH (IGHV3-21*01 (99.00%) - (IGHD)-IGHJ3*02) [8.8.9] (1-116) -IGHG1*03 (CH1 F5>L (125), bisagra (215-229), CH2 (230-339), CH3 (340-444), CHS (445-446)) (117-446)], (219-214')-disulfuro con la cadena ligera kappa (1'-214') [Homo sapiens V-KAPPA (IGKV1-12*01 (85.30%) - IGKJ4*01 E125>D (105)) [6.3.9] (1'-107') -IGKC*01 (108'-214')]; dímero (225-225":228-228")-bisdisulfuro

Error! Objects cannot be created from editing field codes.

Recommended International Nonproprietary Names (Rec. INN): List 67 Dénominations communes internationales recommandées (DCI Rec.): Liste 67 Denominaciones Comunes Internacionales Recomendadas (DCI Rec.): Lista 67 (WHO Drug Information, Vol. 26, No. 1, 2012)

p. 91 **upamostatum**

upamostat upamostat upamostat replace the chemical name by the following one remplacer le nom chimique par le suivant sustitivyase el nombre químico por el siguiente ethyl 4-{(2S)-3-{3-[(E)-N'-hydroxycarbamimidoyl]phenyl}-2-[2,4,6-tri(propan-2-yl)benzenesulfonamido]propanoyl}piperazine-1-carboxylate}

4-{(2S)-3-{3-[(*E*)-*N*'-hydroxycarbamimidoyl]phényl}-2-[2,4,6-tri(propan-2-yl)benzènesulfonamido]propanoyl}pipérazine-1-carboxylate d'éthyle

4-{(2S)-3-{3-[(*E*)-*N*-hidroxicarbamimidoil]fenil}-2-[2,4,6-tri(propan-2-il)bencenosulfonamido]propanoil}piperazina-1-carboxilato de etilo

Recommended International Nonproprietary Names (Rec. INN): List 69

Dénominations communes internationales recommandées (DCI Rec.): Liste 69 Denominaciones Comunes Internacionales Recomendadas (DCI Rec.): Lista 69 (WHO Drug Information, Vol. 27, No. 1, 2013)

p. 82 tenapanorum

tenapanor ténapanor tenapanor replace the chemical name by the following one remplacer le nom chimique par le suivant sustitúyase el nombre químico por el siguiente

N,N-(10,17-dioxo-3,6,21,24-tetraoxa-9,11,16,18-tetraoxahexacosane-1,26-diyl)bis{3-[(4*S*)-6,8-dichloro-2-methyl-1,2,3,4-tetrahydroisoquinolin-4-vllbenzenesulfonamide}

N,N'-(10,17-dioxo-3,6,21,24-tétraoxa-9,11,16,18-tétraazahexacosane-1,26-diyl)bis{3-[(4S)-6,8-dichloro-2-méthyl-1,2,3,4-tétrahydroisoquinoléin-4-yl]benzènesulfonamide}

N,N-(10,17-dioxo-3,6,21,24-tetraoxa-9,11,16,18-tetraazahexacosano-1,26-diyl)bis{3-[(4S)-6,8-dicloro-2-metil-1,2,3,4-tetrahidroisoquinolin-4-il]bencenosulfonamida}

Recommended International Nonproprietary Names (Rec. INN): List 70 Dénominations communes internationales recommandées (DCI Rec.): Liste 70 Denominaciones Comunes Internacionales Recomendadas (DCI Rec.): Lista 70 (WHO Drug Information, Vol. 27, No. 3, 2013)

p. 306 polatuzumabum vedotinum

. & 307 polatuzumab vedotin polatuzumab védotine polatuzumab vedotina replace the description by the following one remplacer la description par la suivante sustitúyase la descripción por la siguiente

immunoglobulin G1-kappa auristatin E conjugate, anti-[Homo sapiens CD79B (immunoglobulin-associated CD79 beta)], humanized monoclonal antibody conjugated to auristatin E:

gamma1 heavy chain (1-447) [humanized VH (Homo sapiens IGHV3-23*04 (76.50%) - (IGHD)-IGHJ4*01) [8.8.10] (1-117) -Homo sapiens IGHG1*03 (CH1 R120>K (214) (118-215), hinge (216-230), CH2 (231-340), CH3 (341-445), CHS (446-447)) (118-447)], (220-218')-disulfide with kappa light chain (1'-218') [humanized V-KAPPA (Homo sapiens IGKV1-39*01 (85.90%) -IGKJ1*01) [10.3.9] (1'-111') -Homo sapiens IGKC*01 (112'-218')]; dimer (226-226":229-229")-bisdisulfide; conjugated, on an average of 3 to 4 cysteinyl, to monomethylauristatin E (MMAE), via a cleavable maleimidocaproyl-valyl-citrullinyl-p-aminobenzyloxycarbonyl (mc-val-cit-PABC) type linker

For the vedotin part, please refer to the document "INN for pharmaceutical substances: Names for radicals, groups and others"*.

immunoglobuline G1-kappa conjuguée à l'auristatine E, anti-[Homo sapiens CD79B (CD79 bêta associé à l'immunoglobuline)], anticorps monoclonal humanisé conjugué à l'auristatine E:

chaîne lourde gamma1 (1-447) [VH humanisé (Homo sapiens IGHV3-23*04 (76.50%) -(IGHD)-IGHJ4*01) [8.8.10] (1-117) -Homo sapiens IGHG1*03 (CH1 R120>K (214) (118-215), charnière (216-230), CH2 (231-340), CH3 (341-445), CHS (446-447)) (118-447)], (220-218')-disulfure avec la chaîne légère kappa (1'-218') [V-KAPPA humanisé (Homo sapiens IGKV1-39*01 (85.90%) -IGKJ1*01) [10.3.9] (1'-111') -Homo sapiens IGKC*01 (112'-218')]; dimère (226-226":229-229")-bisdisulfure; conjugué, sur 3 à 4 cystéinyl en moyenne, au monométhylauristatine E (MMAE), via un linker clivable de type maléimidocaproyl-valyl-citrullinyl-p-aminobenzyloxycarbonyl (mc-val-cit-PABC)

Pour la partie védotine, veuillez vous référer au document "INN for pharmaceutical substances: Names for radicals, groups and others"*.

inmunoglobulina G1-kappa conjugada con auristatina E, anti-[Homo sapiens CD79B (CD79 beta associado a la inmunoglobulina)], anticuerpo monoclonal humanizado conjugado con auristatina E;

cadena pesada gamma1 (1-447) [VH humanizado (*Homo sapiens* IGHV3-23*04 (76.50%) -(IGHD)-IGHJ4*01) [8.8.10] (1-117) -*Homo sapiens* IGHG1*03 (CH1 R120>K (214) (118-215), bisagra (216-230), CH2 (231-340), CH3 (341-445), CHS

(446-447)) (118-447)], (220-218')-disulfuro con la cadena ligera kappa (1'-218') [V-KAPPA humanizado (*Homo sapiens* IGKV1-39*01 (85.90%) -IGKJ1*01) [10.3.9] (1'-111') -*Homo sapiens* IGKC*01 (112'-218')]; dímero (226-226":229-229")-bisdisulfuro; conjuguado, en 3 a 4 restos cisteinil por término medio, con monometilauristatina E (MMAE), mediante un vínculo escindible maleimidocaproil-valil-citrullinil-p-aminobenziloxicarbonil (mc-val-cit-PABC)

Para la fracción vedotina se pueden referir al documento "INN for pharmaceutical substances: Names for radicals, groups and others"*.

p. 313 **sofosbuvirum**

sofosbuvir sofosbuvir sofosbuvir replace the structure by the following one remplacer la structure par la suivante sustitúyase la estructura por la siguiente

Procedure and Guiding Principles / Procédure et Directives / Procedimientos y principios generales

The text of the Procedures for the Selection of Recommended International Nonproprietary Names for Pharmaceutical Substances and General Principles for Guidance in Devising International Nonproprietary Names for Pharmaceutical Substances will be reproduced in proposed INN lists only.

Les textes de la Procédure à suivre en vue du choix de dénominations communes internationales recommandées pour les substances pharmaceutiques et des Directives générales pour la formation de dénominations communes internationales applicables aux substances pharmaceutiques seront publiés seulement dans les listes des DCI proposées.

El texto de los *Procedimientos de selección de denominaciones comunes internacionales recomendadas para las sustancias farmacéuticas* y de los *Principios generales de orientación para formar denominaciones comunes internacionales para sustancias farmacéuticas* aparece solamente en las listas de DCI propuestas.

Ropeginterferon alfa-2b ベスレミ皮下注 250 μg シリンジ ベスレミ皮下注 500 μg シリンジ

第1部 申請書等行政情報及び添付文書に関する情報

1.10 毒薬・劇薬の指定審査資料のまとめ

ファーマエッセンシアジャパン株式会社

1.10 毒薬・劇薬の指定審査資料のまとめ

Ropeginterferon alfa-2b

略号一覧表

略語・用語	内容
AESI	adverse event of special interest:特に注目すべき有害事象
ALT	アラニンアミノトランスフェラーゼ
APTT	活性化部分トロンボプラスチン時間
TEAE	treatment emergent adverse event:治験薬投与下に発現した有害事象
P1101	ropeginterferon alfa-2b; AOP2014

1.10 毒薬・劇薬の指定審査資料のまとめ

Ropeginterferon alfa-2b

	·~
П	- <i>*</i>
ш	

		頁
略号一	- 覧表	2
1.10	毒薬・劇薬の指定審査資料のまとめ	4

1.10 毒薬・劇薬の指定審査資料のまとめ

1.10 毒薬・劇	薬の指定審査資料のまとめ
化学名・別名	ロペグインターフェロン アルファ-2b (以下 P1101) は、分子量約 60 kDa の組換え型プロリン-インターフェロン アルファ-2b (Pro-IFN alfa-2b、以下 P1040) と二分岐型メトキシポリエチレングリコール (mPEG) の共有結合体である。 P1040 は 166 個のアミノ酸配列で構成される分子量約 19 kDa の非グリコシル化ポリペプチドであり、分子量 40 kDa の二分岐型 mPEG 部分が N 末端プロリン残基に結合して分子量約 60 kDa の P1101 となる。 別名:ロペグインターフェロン アルファ-2b (遺伝子組換え)とその製剤
構造式	H ₃ C O NH H H N protein H ₃ C O NH H N N N N N N N N N N N N N N N N
	タンパク質部分のアミノ酸配列は、以下の通り(Cys-Cys 間の実線はジスルフィド結合を示す)。 PCDLPQTHSL GSRRTLMLLA QMRRISLFSC LKDRHDFGFP QEEFGNQFQK AETIPVLHEM IQQIFNLFST KDSSAAWDET LLDKFYTELY QQLNDLEACV
	IQGVGVTETP LMKEDSILAV RKYFQRITLY LKEKKYSPCA WEVVRAEIMR SFSLSTNLQE SLRSKE
効能・効果	真性多血症 (既存治療が効果不十分又は不適当な場合に限る)
用法・用量	通常、成人には、ロペグインターフェロン アルファ-2b (遺伝子組換え) (インターフェロン アルファ-2b (遺伝子組換え) として) $1 = 100 \mu g$ (他の細胞減少療法薬を投与中の場合は $50 \mu g$) を開始用量とし、 $2 $ 週に $1 = 10 \mu g$ を超えないこと。
劇薬等の指定	
市販名及び有効成分・分量	原体:ロペグインターフェロン アルファ-2b (遺伝子組換え) 製剤:ベスレミ皮下注 250 μg シリンジ (1 シリンジ中、ロペグインターフェロン アルファ-2b (遺伝子組換え) 250μg* 含有) 製剤:ベスレミ皮下注 500 μg シリンジ (1 シリンジ中、ロペグインターフェロン アルファ-2b (遺伝子組換え) 500μg* 含有) *インターフェロン アルファ-2b (遺伝子組換え) として

毒性

単回投与毒性†

, , ,,,,,,,,,,,,,,,,,,,,,,,,,,,,,,,,,,,			
動物種	性別	投与経路	概略の致死量(mg/kg)
ラット	雌雄	皮下	≥20

†: 単回投与毒性試験は実施しなかったが、ラット及びカニクイザルを用いた反復投与毒性試験(CTD4.2.3.2.2、CTD4.2.3.2.3)をもとに急性毒性を評価した。ラット及びカニクイザルともに急性毒性症状(一般状態観察における所見)及び死亡例は認められなかった。

反復投与毒性

動物種	投与	投与	投与量	無毒性量	主な所見
	期間	経路	(mg/kg)	(mg/kg)	
ラット	14 日 間 (2 回/ 週)	皮下	0.2、2、20	≥20 (無影響 量)	すべての動物は計画屠殺時まで生存した。わずかな臨床症状がみられたが散発的で投与に起因するものではなかった。
ラット	13 週 間 (1 回/ 週)	皮下	0.4, 1.4, 4	4	臨床症状、体重、摂餌量、血液 学的検査、生化学的検査、尿検 査、臓器重量、剖検、病理組織 学的検査において、新規のペグ 部分を含め被験物質に関連し た変化は認められなかった。投 与部位に剖検及び病理組織学 的所見がみられたが、溶媒対照 群と比べ程度及び頻度に差は なく、また回復性が認められ た。
カニクイザル	14 日間(2回/週)	皮下	2、6.75	<2	すで生存であった。 で生存便であった。 で生存便であった。 を立た。 で生存便であった。 をはないた。 をするののののではない。 をするののではないではないではないではないではないではないではないでであった。 をするのではないではないではないではないではないではないででであった。 との方ではなびはないではないではないではないではないではないででででであった。 との方ではないではないではないではないでは、 は、当時ではないでのではできないではないではないではないではないではないではないではないではないでは、 との方にはないではないではないではないでは、 との方にはないないではないではないではないではないでは、 との方にはないないではないではないではないでは、 との方にはないないではないではないでは、 との方にはないないないでは、 との方にはないないないではないないでは、 との方にはないないないでは、 との方にはないないないでは、 との方にはないないないないないでは、 との方にはないないないないないでは、 との方にはないないないないないないないないないないないないないないないないないないない
カニクイザル	4 週 間 (2回/ 週)	皮下	0.67、2、 6.75	6.75	すべての動物が計画屠殺時まで生存した。6.75 mg/kg 投与群の雄に非形状便(5/5 例) 又は液状便(2/5 例) がみられた。

	すべての P1101 投与群で定性			
	的評価による摂餌量の低下が			
	みられ、頻度は高用量群で最も			
	高かった。			
	割検において肉眼的所見又は			
	かった。肉眼的に明らかな皮膚			
	刺激性はみられなかったが、病			
	理組織学検査においてすべて			
	の投与群の投与部位で、P1101			
	投与に起因する免疫細胞浸潤			
	(多くはリンパ球及びマクロ			
	ファージの血管周囲浸潤) が認			
	められた。			
	すべての P1101 投与群で中和			
	抗体の産生が認められた。			
副作用	日本人の真性多血症患者を対象とした多施設共同、単群、非盲検、第II相試験に			
	おいて、P1101 が投与された全29 例(100.0%) に、治験薬投与下の有害事象(TEAE)			
	が計 292 件発現した。そのうち、185 件の TEAE が「治験薬との関連あり」と評			
	価された。比較的よくみられた治験薬と関連のある TEAE (発現率 20%超) は、			
	脱毛症、疲労、インフルエンザ様疾患、尿中β2ミクログロブリン増加、アラニ			
	ンアミノトランスフェラーゼ (ALT) 増加であった。重度の TEAE の発現はなく、			
	ンアミノトランスフェラーゼ (ALT) 増加であった。重度の TEAE の発現はなく、 いずれの TEAE もグレード 2 以下であった(軽度又は中等度)。			
	ンアミノトランスフェラーゼ (ALT) 増加であった。重度の TEAE の発現はなく、いずれの TEAE もグレード 2 以下であった(軽度又は中等度)。 死亡例はなく、重篤な有害事象は 1 例(3.4%)に 1 件(胃腸炎:中等度、治験薬			
	ンアミノトランスフェラーゼ (ALT) 増加であった。重度の TEAE の発現はなく、いずれの TEAE もグレード 2 以下であった(軽度又は中等度)。 死亡例はなく、重篤な有害事象は 1 例(3.4%)に 1 件(胃腸炎:中等度、治験薬との関連なし)のみ、試験中止に至った治験薬と関連のある TEAE は 1 例(3.4%)			
	ンアミノトランスフェラーゼ (ALT) 増加であった。重度の TEAE の発現はなく、いずれの TEAE もグレード 2 以下であった(軽度又は中等度)。 死亡例はなく、重篤な有害事象は 1 例(3.4%)に 1 件(胃腸炎:中等度、治験薬との関連なし)のみ、試験中止に至った治験薬と関連のある TEAE は 1 例(3.4%)に軽度の無痛性甲状腺炎 1 件のみ発現した。減量に至った治験薬と関連のある			
	ンアミノトランスフェラーゼ (ALT) 増加であった。重度の TEAE の発現はなく、いずれの TEAE もグレード 2 以下であった(軽度又は中等度)。 死亡例はなく、重篤な有害事象は 1 例 (3.4%) に 1 件 (胃腸炎:中等度、治験薬との関連なし)のみ、試験中止に至った治験薬と関連のある TEAE は 1 例 (3.4%) に軽度の無痛性甲状腺炎 1 件のみ発現した。減量に至った治験薬と関連のある TEAE は 2 例 (6.9%) に 6 件 (脱毛症、好中球減少症が各 2 件、ALT 増加、アス			
	ンアミノトランスフェラーゼ (ALT) 増加であった。重度の TEAE の発現はなく、いずれの TEAE もグレード 2 以下であった(軽度又は中等度)。 死亡例はなく、重篤な有害事象は 1 例 (3.4%) に 1 件 (胃腸炎:中等度、治験薬との関連なし)のみ、試験中止に至った治験薬と関連のある TEAE は 1 例 (3.4%) に軽度の無痛性甲状腺炎 1 件のみ発現した。減量に至った治験薬と関連のある TEAE は 2 例 (6.9%) に 6 件 (脱毛症、好中球減少症が各 2 件、ALT 増加、アスパラギン酸アミノトランスフェラーゼ [AST] 増加が各 1 件)発現した。特に注			
	ンアミノトランスフェラーゼ (ALT) 増加であった。重度の TEAE の発現はなく、いずれの TEAE もグレード 2 以下であった(軽度又は中等度)。 死亡例はなく、重篤な有害事象は 1 例 (3.4%) に 1 件 (胃腸炎:中等度、治験薬との関連なし) のみ、試験中止に至った治験薬と関連のある TEAE は 1 例 (3.4%) に軽度の無痛性甲状腺炎 1 件のみ発現した。減量に至った治験薬と関連のある TEAE は 2 例 (6.9%) に 6 件 (脱毛症、好中球減少症が各 2 件、ALT 増加、アスパラギン酸アミノトランスフェラーゼ [AST] 増加が各 1 件) 発現した。特に注目すべき有害事象 (AESI) は 9 例 (31.0%) に 10 件発現したが、日本人特有に発			
	ンアミノトランスフェラーゼ (ALT) 増加であった。重度の TEAE の発現はなく、いずれの TEAE もグレード 2 以下であった(軽度又は中等度)。 死亡例はなく、重篤な有害事象は 1 例(3.4%)に 1 件(胃腸炎:中等度、治験薬との関連なし)のみ、試験中止に至った治験薬と関連のある TEAE は 1 例(3.4%)に軽度の無痛性甲状腺炎 1 件のみ発現した。減量に至った治験薬と関連のある TEAE は 2 例(6.9%)に 6 件(脱毛症、好中球減少症が各 2 件、ALT 増加、アスパラギン酸アミノトランスフェラーゼ [AST] 増加が各 1 件)発現した。特に注目すべき有害事象(AESI)は 9 例(31.0%)に 10 件発現したが、日本人特有に発現した事象はなかった。			
会社	ンアミノトランスフェラーゼ (ALT) 増加であった。重度の TEAE の発現はなく、いずれの TEAE もグレード 2 以下であった(軽度又は中等度)。 死亡例はなく、重篤な有害事象は 1 例 (3.4%) に 1 件 (胃腸炎:中等度、治験薬との関連なし) のみ、試験中止に至った治験薬と関連のある TEAE は 1 例 (3.4%) に軽度の無痛性甲状腺炎 1 件のみ発現した。減量に至った治験薬と関連のある TEAE は 2 例 (6.9%) に 6 件 (脱毛症、好中球減少症が各 2 件、ALT 増加、アスパラギン酸アミノトランスフェラーゼ [AST] 増加が各 1 件) 発現した。特に注目すべき有害事象 (AESI) は 9 例 (31.0%) に 10 件発現したが、日本人特有に発			

CTD No 資料番号	著者	表 題	実施場所 (国内/海外)	掲載誌・その他	評価/ 参考の別
3.2.S.1 一般1	青報 (Ropeginterfer	on alfa-2b、PharmaEssentia Corporation)			
3.2.S.1.1	PharmaEssentia Corporation	Nomenclatrure	海外	社内資料	評価
3.2.S.1.1.1	NA	International Nonproprietary Names for Pharmaceutical Substances (INN) Recommended INN: List 71	-	WHO Drug Information, Vol.28, No. 1n 2014	参考
3.2.S.1.1.2	NA	医薬品の一般的名称について 令和3年8月17日	-	薬食審査発第 0817第1号	参考
3.2.S.1.2	PharmaEssentia Corporation	Structure	海外	社内資料	評価
3.2.S.1.3	PharmaEssentia Corporation	General Properties	海外	社内資料	評価
3.2.S.2 製造	(Ropeginterferon al	fa-2b、PharmaEssentia Corporation)			
3.2.S.2.1	PharmaEssentia Corporation	Manufacturer	海外	社内資料	評価
3.2.S.2.2	PharmaEssentia Corporation	Description of Manufacturing Process and Process Controls	海外	社内資料	評価
3.2.S.2.3	PharmaEssentia Corporation	Control of Materials	海外	社内資料	評価
3.2.S.2.4	PharmaEssentia Corporation	Control of Critical Steps and Intermediates	海外	社内資料	評価
3.2.S.2.5	PharmaEssentia Corporation	Process Validation and/or Evaluation	海外	社内資料	評価
3.2.S.2.6.1	PharmaEssentia Corporation	manuf-process-development	海外	社内資料	評価
3.2.S.2.6.1.1	PharmaEssentia Corporation	Critical Quality Attribute (CQA) and Critical Process Parameter (CPP) Identification for P1101 Drug Substance and Process (STR-17-041)	海外	社内資料	評価
3.2.S.2.6.1.2	PharmaEssentia Corporation	Identification and Critical Assessment of Quaility Attributes in *PEG中間体 (P1100) (PEC-CHEM-SR-026-01)	海外	社内資料	評価
3.2.S.2.6.2	PharmaEssentia Corporation	PEC Technical package	海外	社内資料	評価

CTD No 資料番号	著者	表題	実施場所 (国内/海外)	掲載誌・その他	評価/ 参考の別
3.2.S.2.6.2.1	PharmaEssentia Corporation	P1099 Shipping Validation Protocol(PEC-P-VP-021)	海外	社内資料	評価
3.2.S.2.6.2.2	PharmaEssentia Corporation	CoA of Raw Materials Used in the Manufacturing Process	海外	社内資料	評価
3.2.S.2.6.2.3	PharmaEssentia Corporation	CoA and Analytical Report of and and	海外	社内資料	評価
3.2.S.2.6.2.4	PharmaEssentia Corporation	Summary Report of Process Vallidation Protocol- (P1099)(PEC-CHEM-VP-003-01-S)	海外	社内資料	評価
3.2.S.2.6.2.5	PharmaEssentia Corporation	Process Vallidation Protocol- 003) (P1099)(PEC-CHEM-VP-	海外	社内資料	評価
3.2.S.2.6.2.6	PharmaEssentia Corporation	Critical Quality Attribute(CQA)and Critical Process Parameter(CPP) Identification for *P1099	海外	社内資料	評価
3.2.S.2.6.2.7	PharmaEssentia Corporation	PEC-P-VP-006(Summary Report) Summary of Process Validation: Manufacturing *PEG中間体	海外	社内資料	評価
3.2.S.2.6.2.8	PharmaEssentia Corporation	Assessment and Control of Mutagenic Impurities in P1100(PEC-CHEM-SR-025)	海外	社内資料	評価
3.2.S.2.6.2.9	PharmaEssentia Corporation	Summary Report of Analytical Method Validation for commercial Assay to Quan ti tati ve detennination of Bacterial Endotoxin (PEC-QC-VP-021-01-D-S-1901)	海外	社内資料	評価
3.2.S.2.6.2.10	PharmaEssentia Corporation	Summary Report of Analytical Method Validation of a Commercial Assay for Content in PEGs Samples(PEC-QC-VP-032-01-S)	海外	社内資料	評価
3.2.S.2.6.2.11	PharmaEssentia Corporation	Summary Report of Analytical Method Verification for Microbial Enumeration Test(PEC-QC-VP-035-01-S)	海外	社内資料	評価
3.2.S.2.6.2.12	PharmaEssentia Corporation	Autosampler(PEC-QC-VP-062-01-S)	海外	社内資料	評価
3.2.S.2.6.2.13	PharmaEssentia Corporation	Summary Report of Analytical Method Validation for Identity and Purity of *PEG中間体 (P 1100) by RP-HP LC ELSD(PEC-QC-VP-063-01-S)	海外	社内資料	評価

CTD No 資料番号	著者	表題	実施場所 (国内/海外)	掲載誌・その他	評価/ 参考の別
3.2.S.2.6.2.14	PharmaEssentia Corporation	Summary Report of Analytical method validation for the analysis of Purity for (PEC-QC-VP-063-02-S-1801)	海外	社内資料	評価
3.2.S.2.6.2.15	PharmaEssentia Corporation	Summary Report of Analytical Method Validation for Aldehyde Terminal Activityof *PEG中間体 (P1100) by RP-HPLC with UV(PEC-QC-VP-064-01-S)	海外	社内資料	評価
3.2.S.2.6.2.16	PharmaEssentia Corporation	Summary Report of Analytical Method Validation for Molecular Weight and Polydispersity Index of PEGs Sampleby Chromatography(PEC-QC-VP-068-01-S)	海外	社内資料	評価
3.2.S.2.6.2.17	PharmaEssentia Corporation	Summary Report of Analytical Method Validation for *PEG中間体 (PEC-QC-VP-078-01-S)	海外	社内資料	評価
3.2.S.2.6.2.18	PharmaEssentia Corporation	Summary Report of One-Year Stability Study for the Effect of *PEG中間体 with Elevated Content on the Stability of P1101 (PEC-CHEM-SR-020-01)	海外	社内資料	評価

CTD No 資料番号	著者	表 題	実施場所 (国内/海外)	掲載誌・その他	評価/ 参考の別
3.2.S.3 特性	(Ropeginterferon al	fa-2b、PharmaEssentia Corporation)			
3.2.S.3.1	PharmaEssentia Corporation	Elucidation of Structure and Other Characteristics	海外	社内資料	評価
3.2.S.3.2	PharmaEssentia Corporation	Impurities	海外	社内資料	評価
3.2.S.4 原薬の)管理(Ropeginterfe	eron alfa-2b、PharmaEssentia Corporation)			
3.2.S.4.1.1	PharmaEssentia Corporation	Specification	海外	社内資料	評価
3.2.S.4.1.2	PharmaEssentia Corporation	P1040 Intermediate Product Specification and Analitical Report (T W01-QC -SPF-000060)	海外	社内資料	評価
3.2.S.4.2.1	PharmaEssentia Corporation	Analytical Procedures	海外	社内資料	評価
3.2.S.4.2.1.1	PharmaEssentia Corporation	Visual examination (PEC-QC-AM-019)	海外	社内資料	評価
3.2.S.4.2.1.2	PharmaEssentia Corporation	IEX-HPLC for P1101 (TW01-QC-AM-000005)	海外	社内資料	評価
3.2.S.4.2.1.3	PharmaEssentia Corporation	Peptide Mapping by Reversed-Phase Liquid Chromatograpy for Ropeginterferon alfa-2b (P1101) (PEC-QC-AM-006)	海外	社内資料	評価
3.2.S.4.2.1.4	PharmaEssentia Corporation	SDS-PAGE Analysis with for P1101 (PEC-QC-AM-107)	海外	社内資料	評価
3.2.S.4.2.1.5	PharmaEssentia Corporation	SE-HPLC for P1101 (PEC-QC-AM-003)	海外	社内資料	評価
3.2.S.4.2.1.6	PharmaEssentia Corporation	RP-HPLC for P1101 (PEC-QC-AM-017)	海外	社内資料	評価
3.2.S.4.2.1.7	PharmaEssentia Corporation	*不純物0 in the P1101 DS by A Colorimetric Method (TW01-QC-AM-000094)	海外	社内資料	評価
3.2.S.4.2.1.8	PharmaEssentia Corporation	Host Cell Protains in P1040 with ELISA (TW01-QC-AM-000108)	海外	社内資料	評価
3.2.S.4.2.1.9	PharmaEssentia Corporation	Residual Host Cell DNA for P1040 (PEC-QC-AM-112)	海外	社内資料	評価

CTD No 資料番号	著者	表 題	実施場所 (国内/海外)	掲載誌・その他	評価/ 参考の別
3.2.S.4.2.1.10	PharmaEssentia Corporation	Free PEG related species in P1101 by RP-HPLC-ELSD (TW01-QC-AM-000073)	海外	社内資料	評価
3.2.S.4.2.1.11	PharmaEssentia Corporation	Potency Determination for P1101 with Cytopathic Effect (CPE) Assay (PEC-QC-AM-119)	海外	社内資料	評価
3.2.S.4.2.1.12	PharmaEssentia Corporation	Protein Concentration Determination of P1101 by UV nm (PEC-QC-AM-026)	海外	社内資料	評価
3.2.S.4.2.1.13	PharmaEssentia Corporation	Limulus Amebocyte Lysate (LAL) Assay for the Detection of Bacterial Endotoxin (PEC-QC-AM-002)	海外	社内資料	評価
3.2.S.4.2.1.14	PharmaEssentia Corporation	Microbial Enumeration Test of Non-Sterile Products (TW01-QC-AM-000030)	海外	社内資料	評価
3.2.S.4.2.1.15	PharmaEssentia Corporation	Meaurement of pH (PEC-QC-AM-057)	海外	社内資料	評価
3.2.S.4.2.1.16	PharmaEssentia Corporation	Meaurement of Osmolality (PEC-QC-AM-021)	海外	社内資料	評価
3.2.S.4.2.1.17	PharmaEssentia Corporation	Determination of (per procuts by reversed-phase HPLC (PEC-QC-AM-032)	海外	社内資料	評価
3.2.S.4.2.2.1	PharmaEssentia Corporation	Peptide Mapping by RP—HPLC for P1040 (TW01-QC-AM-000072)	海外	社内資料	評価
3.2.S.4.2.2.2	PharmaEssentia Corporation	SDS-PAGE for the Analysis of P1040 Intermediate Product (TQ01-QC-AM-00078)	海外	社内資料	評価
3.2.S.4.2.2.3	PharmaEssentia Corporation	IEF Electrophresis Analysis of P1040 Intermediate Product (T W01-QC - AM-000009)	海外	社内資料	評価
3.2.S.4.2.2.4	PharmaEssentia Corporation	SE-HPLC Assay for Proline-Interferon alfa-2b (P1040 (TW01-QC-AM-000018)	海外	社内資料	評価
3.2.S.4.2.2.5	PharmaEssentia Corporation	High Performance Ion-exchange Chromatograpy (IEX-HPLC) Assay for P1040 (TW01-QC-AM-000014)	海外	社内資料	評価
3.2.S.4.2.2.6	PharmaEssentia Corporation	RP-HPLC Assay for Proline-Interferon alfa-2b(P1040) (TW01-QC-AM-000016)	海外	社内資料	評価

CTD No 資料番号	著者	表 題	実施場所 (国内/海外)	掲載誌・その他	評価/ 参考の別
3.2.S.4.2.2.7	PharmaEssentia Corporation	An Assay for the Determination of in P1040 (TW01-QC-AM-000015)	海外	社内資料	評価
3.2.S.4.2.2.8	PharmaEssentia Corporation	Determination of *不純物H Residual in P1040 by RP-HPLC (TW01-QC-AM-000010)	海外	社内資料	評価
3.2.S.4.2.2.9	PharmaEssentia Corporation	Residucal *不純物I content in P1040 with ELISA (TW01-QC-AM-000115)	海外	社内資料	評価
3.2.S.4.2.2.10	PharmaEssentia Corporation	Determination of *不純物」Residual in P1040 by RP-HPLC (TW01-QC-AM-000011)	海外	社内資料	評価
3.2.S.4.2.2.11	PharmaEssentia Corporation	Determination of residual *不純物Lin P1040 Intermediate Product by RP-HPLC (TW01-QC-AM-000054)	海外	社内資料	評価
3.2.S.4.2.2.12	PharmaEssentia Corporation	Determination of residual *不純物M in P1040 Intermediate Product by RP-HPLC (TW01-QC-AM-000055)	海外	社内資料	評価
3.2.S.4.2.2.13	PharmaEssentia Corporation	Potency Dermination for P1040 with Cyropathic Effect (CPE) Assay (TW01-QC-AM-000118)	海外	社内資料	評価
3.2.S.4.2.2.14	PharmaEssentia Corporation	Protein Concentration Determination of P1040 by UV nm (TW01-QC-AM-000066)	海外	社内資料	評価
3.2.S.4.3.1	PharmaEssentia Corporation	Validation of Analytical Procedures	海外	社内資料	評価
3.2.S.4.3.1.1	PharmaEssentia Corporation	Summary Report of Analytical Method Validation for P1101 IEX-HPLC (PEC-QC-VP-030)	海外	社内資料	評価
3.2.S.4.3.1.2	PharmaEssentia Corporation	interferon alpha-2b (P1101) (PEC-QC-VP-038)	海外	社内資料	評価
3.2.S.4.3.1.3	PharmaEssentia Corporation	Summary Report of Analytical Method Validation for SDS-PAGE Analysis of Pl 101 (PEC-QC-VP-073)	海外	社内資料	評価
3.2.S.4.3.1.4	PharmaEssentia Corporation	Summary Report of Analytical Method Validation for P1101 SE-HPLC (PEC-QC-VP-020)	海外	社内資料	評価
3.2.S.4.3.1.5	PharmaEssentia Corporation	Summary Report of Analytical Method Validation for Pl 101 RP-HPLC (PEC-QC-VP-029)	海外	社内資料	評価
3.2.S.4.3.1.6	PharmaEssentia Corporation	Summary Report of Analytical Method Validation of the Quantitation Test for Residual *不純物0 in P1104 (2.00 mg/ mL) by a Method (PEC-QC-VP-067)	海外	社内資料	評価

CTD No 資料番号	著者	表 題	実施場所 (国内/海外)	掲載誌・その他	評価/ 参考の別
3.2.S.4.3.1.7	PharmaEssentia Corporation	Summary Report of Analytical Method Verification for Host Cell Proteins in P 1040 with ELISA (PEC-QC-VP-076)	海外	社内資料	評価
3.2.S.4.3.1.8	PharmaEssentia Corporation	[Real-Time qPCR (PEC-QC-VP-095)	海外	社内資料	評価
3.2.S.4.3.1.9	PharmaEssentia Corporation	Summary Report of Analytical Method Validation for the Analysis of in PEG-P-IFN alfa-2b (P1101) using a Reversed-Phase HPLC Column with ELSD Detector (PEC-QC-VP-034)	海外	社内資料	評価
3.2.S.4.3.1.10	PharmaEssentia Corporation	Summaru Report of Analytical Method Validation for CPE Antiviral Assay of P1101 (PEC-QC-VP-086)	海外	社内資料	評価
3.2.S.4.3.1.11	PharmaEssentia Corporation	Summary Report of Analytical Method Validation for PEG-P-IFN alfa-2b (PI 101) Protein Concentration Determination by UV mm Absorbance (PEC-QC-VP-003)	海外	社内資料	評価
3.2.S.4.3.1.12	PharmaEssentia Corporation	Summary Report of Analytical Method Validation for Bacterial Endotoxin with TW01-QC-VP-124S)	海外	社内資料	評価
3.2.S.4.3.1.13	PharmaEssentia Corporation	Summary Report of Analytical Method Verification for Microbial Enumeration Test (PEC-QC-VP-035)	海外	社内資料	評価
3.2.S.4.3.1.14	PharmaEssentia Corporation	Summary Report of Analytical Method Validation for the Determination of () in Pl 101 Drug Substance/ Drug Product by Reversed-Phase HPLC (PEC-QC-VP-014)	海外	社内資料	評価
3.2.S.4.3.2.1	PharmaEssentia Corporation	Summary Report of Analytical method validation for Isoelectric focusing (IEF) electrophoresis of P 1040 (PEC-QC-VP-025)	海外	社内資料	評価
3.2.S.4.3.2.2	PharmaEssentia Corporation	Summary Report of Analytical Method Validation for Peptide Mapping by Reversed-Phase High-Performance Liquid Chromatography for Interferon Alpha-2b (P1040)(PEC-QC-VP-037)	海外	社内資料	評価
3.2.S.4.3.2.3	PharmaEssentia Corporation	Summary Report of Analytical Method Validation for Pl 040 SOS-PAGE analysis (PEC-QC-VP-065)	海外	社内資料	評価
3.2.S.4.3.2.4	PharmaEssentia Corporation	Summary Report of Analytical Method Validation for the Analysis of Interferon alpha-2b (Pl 040) Using a Size-Exclusion HPLC Column and UV Detection(PEC-OC-VP-043)	海外	社内資料	評価
3.2.S.4.3.2.5	PharmaEssentia Corporation	C D (CA 1.1 1M.1 1M.11.1 C D1040 11 IEW IDIC	海外	社内資料	評価
3.2.S.4.3.2.6	PharmaEssentia Corporation	Summary Report of Analytical Method Validation for P1040 RP-HPLC(PEC-QC-VP-027)	海外	社内資料	評価

CTD No 資料番号	著者	表 題	実施場所 (国内/海外)	掲載誌・その他	評価/ 参考の別
3.2.S.4.3.2.7	PharmaEssentia Corporation	Summary Report of Analytical Method Validation of An Assay for () in P 1040 (PEC-QC-VP-049)	海外	社内資料	評価
3.2.S.4.3.2.8	PharmaEssentia Corporation	Summary Report of Analytical Method Validation for *不純物H in PI 040 (PEC-QC-VP-012)	海外	社内資料	評価
3.2.S.4.3.2.9	PharmaEssentia Corporation	Summary Report of Analytical Method Validation for Residual *不純物I in P 1040 with ELISA kit (PEC-QC-VP-089)	海外	社内資料	評価
3.2.S.4.3.2.10	PharmaEssentia Corporation	Summary Report of Analytical Method Validation for Residual *不純物J in P1040 (PEC-QC-VP-013)	海外	社内資料	評価
3.2.S.4.3.2.11	PharmaEssentia Corporation	Summary Report of Analytical Method Validation for Residual *不純物L in P 1040 by Reversed-phase HPLC (PEC-QC-VP-016)	海外	社内資料	評価
3.2.S.4.3.2.12	PharmaEssentia Corporation	Summary Report of Analytical Method Validation for Residual *不純物M in Pl 040 by Reverse-phase HPLC (PEC-QC-VP-015)	海外	社内資料	評価
3.2.S.4.3.2.13	PharmaEssentia Corporation	Summary Report of Analytical Method Validation for CPE Antiviral Assay of P1040 (PEC-QC-VP-087)	海外	社内資料	評価
3.2.S.4.3.2.14	PharmaEssentia Corporation	Summary Report of Analytical Method Validation for Pro-IFN alfa-2b (Pl 040) Protein Concentration Determination by UV mm Absorbance (PEC-QC-VP-022)	海外	社内資料	評価
3.2.S.4.4	PharmaEssentia Corporation	Batch Analysis	海外	社内資料	評価
	PharmaEssentia Corporation	1	海外	社内資料	評価
3.2.S.5 標準品	スは標準物質(Ro	peginterferon alfa-2b、PharmaEssentia Corporation)			
3.2.S.5	PharmaEssentia Corporation		海外	社内資料	評価
3.2.S.5.1	PharmaEssentia Corporation	Characterizations of Proline-interferon alfa-2b (P1040) Reference Standard Lot	海外	社内資料	評価
3.2.S.5.2	PharmaEssentia Corporation		海外	社内資料	評価
3.2.S.5.3	PharmaEssentia Corporation	Characterizations of Ropeginterferon alfa-2b (P1101) Reference Standard Lot	海外	社内資料	評価

CTD No 資料番号	著者	表題	実施場所 (国内/海外)	掲載誌・その他	評価/ 参考の別
3.2.S.5.4	PharmaEssentia Corporation	Characterizations of Ropeginterferon alfa-2b (P1101) Reference Standard Lot	海外	社内資料	評価
3.2.S.5.5	PharmaEssentia Corporation	Characterizations of P1101 Reference Standard Lot	海外	社内資料	評価
3.2.S.6 容器及	なび施栓系(Ropegi	nterferon alfa-2b、PharmaEssentia Corporation)			
3.2.S.6	PharmaEssentia Corporation	Container Closure Systems	海外	社内資料	評価
3.2.S.6.1		Certificate of Analysis (PTED Coated silcone seal)	海外	社内資料	参考
3.2.S.7 安定性	(Ropeginterferon	alfa-2b、PharmaEssentia Corporation)			
3.2.S.7.1	PharmaEssentia Corporation	Stability Summary and Conclurions	海外	社内資料	評価
3.2.S.7.2	PharmaEssentia Corporation	Post-Approval Stability Protocol and Stability Commitment	海外	社内資料	評価
3.2.S.7.3	PharmaEssentia Corporation	Stability Data	海外	社内資料	評価

CTD No 資料番号	著者	表 題	実施場所 (国内/海外)	掲載誌・その他	評価/ 参考の別				
3.2.P.1 製剤	3.2.P.1 製剤及び処方(Besremi Inj、Injection)								
3.2.P.1	PharmaEssentia Corporation	Description and Composition of the DP	海外	社内資料	評価				
3.2.P.2 製剤	開発の経緯(Besre	emi Inj、Injection)							
3.2.P.2	PharmaEssentia Corporation	pharmaceutical-development	海外	社内資料	評価				
3.2.P.3 製造	(Besremi Inj、Inje	ection)							
3.2.P.3.1	PharmaEssentia Corporation	Manufacturer	海外	社内資料	評価				
3.2.P.3.2	PharmaEssentia Corporation	Batch Formula	海外	社内資料	評価				
3.2.P.3.3.1	PharmaEssentia Corporation	Manufacturing Process and Controls (for Bulk)	海外	社内資料	評価				
3.2.P.3.3.2	PharmaEssentia Japan	製造(国内	社内資料	評価				
3.2.P.3.4	PharmaEssentia Corporation	Controls of Critical Steps and Intermediates	海外	社内資料	評価				
3.2.P.3.5	PharmaEssentia Corporation	Process Validation and/or Evaluation	海外	社内資料	評価				
3.2.P.3.5.1	PharmaEssentia Corporation	Process Validaiton Protocol for Manufacture Process in Filling Plant (TW01-FP-VP-00005)	海外	社内資料	評価				
3.2.P.3.5.2	PharmaEssentia Corporation	Summary Report of Process Validation for manufacture Process in Filling Plant (PEC-FP-VP-005-01-S-1901)	海外	社内資料	評価				
3.2.P.3.5.3	PharmaEssentia Corporation	Summary Report of Process Validation for Manufacture Process in Filling plant –P1101–250mcg_0.5mL(PEC-FP-VP-012-01-S-2001)	海外	社内資料	評価				
3.2.P.4 添加	ı剤の管理(Besrem	ni Inj、Injection)							
3.2.P.4.1	PharmaEssentia Corporation	Control of Excipients	海外	社内資料	評価				

CTD No 資料番号	著者	表 題	実施場所 (国内/海外)	掲載誌・その他	評価/ 参考の別
3.2.P.4.1.1	PharmaEssentia Corporation	Specifications	海外	社内資料	評価
3.2.P.4.2	-	Attachement Excipiets monograph	海外	社内資料	参考
3.2.P.4.3	-	Attachement Supplier CoA	海外	社内資料	参考
3.2.P.5 製剤	lの管理(Besremi I	nj、Injection)			
3.2.P.5.1	PharmaEssentia Corporation	Control Drug Product	海外	社内資料	評価
3.2.P.5.2	PharmaEssentia Corporation	Analytical Procedures	海外	社内資料	評価
3.2.P.5.2.1	PharmaEssentia Corporation	SOP Sterility test (PEC-QC-AM-122)	海外	社内資料	評価
3.2.P.5.2.2	PharmaEssentia Corporation	SOP Particulate matter (PEC-QC-AM-132)	海外	社内資料	評価
3.2.P.5.2.3	PharmaEssentia Corporation	SOP Extractable Volume Test for Product(PEC-QC-AM-129)	海外	社内資料	評価
3.2.P.5.3	PharmaEssentia Corporation	Validation of Analytical Procedure	海外	社内資料	評価
3.2.P.5.3.1	PharmaEssentia Corporation	Summary Rerpot of Analytical Method Validation for Sterility Test membrane filtration (pec-qc-vp-090)	海外	社内資料	評価
3.2.P.5.4	PharmaEssentia Corporation	Batch Analyses	海外	社内資料	評価
3.2.P.5.5	PharmaEssentia Corporation	Characte risation of Impurities	海外	社内資料	評価
3.2.P.5.6	PharmaEssentia Corporation	Justification of Specification	海外	社内資料	評価
3.2.P.6 標準	品又は標準物質(I	Besremi Inj、Injection)			

CTD No 資料番号	著者	表 題	実施場所 (国内/海外)	掲載誌・その他	評価/ 参考の別
3.2.P.6	PharmaEssentia Corporation	Reference Standards	海外	社内資料	評価
3.2.P.7 容器	₿及び施栓系(Besr				
3.2.P.7	PharmaEssentia Corporation	Container Closure System (PEC test data)	海外	社内資料	評価
3.2.P.7.1		Certificate of Conformance (Hypak CSF1MLL)	海外	社内資料	参考
3.2.P.7.2		Certificate of Analysis (Hypak BSCF1MLL)	海外	社内資料	参考
3.2.P.7.3		添付文書 (Hypak Package Incert)	国内	社添付文書	参考
3.2.P.7.4		ディスポーザブル注射針が添付文書	国内	添付文書	参考
3.2.P.7.5		シリンジ部材	国内	社内文書	評価
3.2.P.7.6.1		Validation Executive summary report (Sterilization for All SCF Barrels. Report No; VESR-WI-052-18-FR rev1)	海外	社内資料	参考
3.2.P.7.6.2		Validation Executive summary report (Sterilization for All SCF Barrels. Report No; VESR-WI-058-18-FR rev1)	海外	社内資料	参考
3.2.P.7.6.3		Validation Executive summary report (Sterilization for All SCF Barrels. Report No; VESR-WI-033-19-FR rev1)	海外	社内資料	参考
3.2.P.7.6.4		Validation Executive summary report (Sterilization Report for . No; VESR-SGH18168-VERS.CO 0 rev02)	海外	社内資料	参考
3.2.P.7.6.5		Validation Executive summary report (Sterilization for WW1 cycle for Report No; VESR-SE.RAV17-015Arev4.PC rev02)	海外	社内資料	参考
3.2.P.7.6.6		Validation Executive summary report (Ethlene Oxide Sterilization for and Report No; VESR-WI-066-17 FR rev 1)	海外	社内資料	参考

CTD No 資料番号	著者	表 題	実施場所 (国内/海外)	掲載誌・その他	評価/ 参考の別
3.2.P.7.6.7		Customer Change Notification Communication, Dissipation Curve Validation for all BDM-PS sites and Subcontractors On and product ranges	海外	社内資料	参考
3.2.P.7.6.8		Quality Statement (Silicone – YAKUKI 327 TESTING SUMMARY)	海外	社内資料	参考
3.2.P.7.6.9		DESIGN SUPPORTIVE DATA WITH ACCEPTANCE CRITERIABD BARREL	海外	社内資料	参考
3.2.P.7.7		篏合性試験報告書	国内	社内資料	参考
3.2.P.8 安定	E性(Besremi Inj、I	njection)			
3.2.P.8.1	PharmaEssentia Corporation	Stability Summary	海外	社内資料	評価
3.2.P.8.2	PharmaEssentia Corporation	Post-Approval Stability Protocol and Stability Commitment	海外	社内資料	評価
3.2.P.8.3	PharmaEssentia Corporation	Stability Data	海外	社内資料	評価

3.3 参考文献

CTD No 資料番号	l 27	表 題	掲載誌・その他	引用 CTD No.
3.3-1	Jończyk E, Kłak M, Międzybrodzki R, GórskiA.	The influence of external factors on bacteriophagesreview.	Folia Microbiol (Praha). 2011;56(3):191-200.	2.3.A.2

3.2.A その他

CTD No 資料番号	著者	表 題	実施場所 (国内/海外)	掲載誌・その他	評価/ 参考の別
3.2.A.1.1	PharmaEssentia Corporation	Facilities and Equipment Overview- PEC Taichung (DS)	海外	社内資料	評価
3.2.A.1.2	PharmaEssentia Corporation	Facilities and Equipment Overview (DP)	海外	社内資料	評価
3.2.A.1.3	PharmaEssentia Corporation	Facilities and Equipment Overview- PEC Taipei	海外	社内資料	評価
3.2.A.2	PharmaEssentia Corporation	Adventitious Agents Safety Evaluation	海外	社内資料	評価

CTD No 資料番号	著者	表 題	実施期間	実施場所 (国内/海外)	掲載誌・	評価/ 参考の別
4.2.1 薬	· 理試験				•	
4.2.1.1 🕏	め力を裏付ける試験					
(4.2.2.2-1参	参照)					
4.2.1.2 畐	削次的薬理試験					
該当なし						
4.2.1.3 ⅓	安全性薬理試験					
4.2.1.3.1		No. 7975-106 Effects of PEG INF alpha 2b on Cloned hERG Potassium Channels Expressed in Human Embryonic Kidney Cells	20 年 ~ 月	海外	_	評価
4.2.1.3.2		No. 2872-001 PEG-INF α2b (P1101) Electrocardiographic investigations on single-lead ECG's using radio-telemetry in the conscious cynomolgus monkey following intravenous administration	20 年 月~ 20 年 月	海外	_	評価
4.2.1.3.3		No. 2872-002 PEG-IFN α 2b (P1101): Effects on General Activity, Behaviour and Body Temperature in the Rat Following Subcutaneous Administration	20 年 月	海外	_	評価
4.2.1.3.4		No. 2872-004 PEG-IFN α 2b: Measurement of Respiratory Parameters in the Freely Moving Conscious Rat Using Whole Body Plethysmography	20 年 月	海外	_	評価
4.2.1.4	· 薬力学的薬物相互作用詞	式験				
該当なし						

CTD No 資料番号	著者	表 題	実施期間	実施場所 (国内/海外)	掲載誌・	評価/ 参考の別		
4.2.2 菜	奖物動態試験							
CTD No 資料番号	著者	表 題	実施期間	実施場所 (国内/海外)	掲載 誌・そ の他	評価/ 参考の別		
4.2.2.1 5	分析法及びバリデーシ :	ョン報告書						
4.2.2.1.1		No. MV 44108-08-18 Immunoassay Method Validation for the Quantitative Determination of Pl 101 Concentration in the Cynomolgus Monkey Sera	20 年 月	海外	_	評価		
4.2.2.1.2		No. MV 44108-08-19 Immunoassay Validation for the Detection of Anti-PllOl Antibody in the Cynomolgus Monkey Sera	20 年 月	海外	_	評価		
4.2.2.1.3	PharmaEssentia Corp.	No. PEC-V0002 Method Validation Report: P1101 Dose Formulation Analysis by SEC-HPLC	20 年 ~ 月	海外	_	評価		
4.2.2.1.4	PharmaEssentia Corp.	No. PEC-V0004 Method Validation Report: UV nm for Determination of Protein Concentration in P1101 Drug Product	20 年 月	海外	_	評価		
4.2.2.2 吸収								
4.2.2.2.1		No. 44104-08-242 A Pharmacokinetic and Pharmacodynamic Study of P1101 versus Pegasys in Male Cynomolgus Monkeys	20 年 月~ 月	海外	_	評価		
4.2.2.3 5	4.2.2.3 分布							
該当なし								

第4部(モジュール4) 非臨床試験報告書 添付資料一覧

CTD No 資料番号	著者	表 題	実施期間	実施場所 (国内/海外)	掲載誌・その他	評価/ 参考の別	
4.2.2.4 f	け謝						
4.2.2.4.1		No. RD-S1909-12 In Vitro Study for Evaluating Potential of TA-19- 172(Ropeginterferon alfa-2b (P1101)) on CYP450 Induction	20 年 ~ 月	海外	_	評価	
4.2.2.4.2		No. 8417-482 In Vitro Study for Evaluating Direct Inhibitory Potential of P1101 on Cytochrome P450 Enzymes in Human Liver Microsomes	20 年 月	海外	_	評価	
4.2.2.4.3		No. 8417-483 In Vitro Study for Evaluating Time-Dependent Inhibitory Potential of P1101 on Cytochrome P450 Enzymes in Human Liver Microsomes	20 年 月	海外	_	評価	
4.2.2.5 排泄							
該当なし							

CTD No 資料番号	著者	表 題	実施期間	実施場所 (国内/海外)	掲載誌・その他	評価/ 参考の別			
4.2.3 毒	4.2.3 毒性試験								
CTD No 資料番号	著者	表 題	実施期間	実施場所 (国内/海外)	掲載誌・その他	評価/ 参考の別			
4.2.3.1 単	— 単回投与毒性試験								
(4.2.3.2-1参	参照)								
4.2.3.2 万	⊽復投与毒性試験 ▼				1				
4.2.3.2.1		No. 511-20060035 13-Week Subcutaneous Toxicity and Toxicokinetic Study with a 4-Week Recovery in RatsRopeginterferon alpha-2b (P1101)	20 年 月~ 20 年 月	海外	_	評価			
4.2.3.2.2		No. 7975-100 Single and Multiple-Dose Subcutaneous Injection Pilot Toxicity Study with PEG-INF α 2b in Rats	20 年 月~ 20 年 月	海外	_	参考			
4.2.3.2.3		No. 7975-102 Escalating Dose Range-Finding Study and a 7-Day Repeat Dose Toxicity Study with PEG-INF α 2b in Cynomolgus Monkeys	20 年 月~20 年 月	海外	_	参考			
4.2.3.2.4		No. 7975-101 4-Week Subcutaneous Injection Toxicity and Toxicokinetic Study with PEG-INF α 2b in Cynomolgus Monkeys with a 4-Week Recovery Period	20 年 月~ 20 年 月	海外	_	評価			
4.2.3.2.5		No. 44103-08-300 A 14-Day Repeat-Dose Subcutaneous Toxicity Study with Toxicokinetics and Immunogenicity of P 1101 in Cynomolgus Monkeys	20 年 月	海外	_	評価			
4.2.3.2.6		No. 7975-107 2-Week Subcutaneous Administration Toxicity, Toxicokinetics and Immunogenicity Bridging Study of Two Lots of P1101 in Cynomolgus Monkeys	20 年 月 ~ 20 年 月	海外	_	評価			

CTD No 資料番号	4	表 題	実施期間	実施場所 (国内/海外)	掲載誌・	評価/ 参考の別		
4.2.3.3 ì	<u></u> 貴伝毒性試験				•			
4.2.3.3.1	In Vitro 試験							
4.2.3.3.1.1		No. 7975-104 Salmonella-Escherichiacoli / Mammalian-Microsome Reverse Mutation Assay with a Confirmatory Assay	20 年 ~ 月	海外	_	評価		
4.2.3.3.1.2		No. 7975-105 Effect of PEG-INF a 2b on Chromosomal Aberrations in Chinese Hamster Ovary (CHO) Cells	20 年 月~20 年 月	海外	_	評価		
4.2.3.3.2	In Vivo 試験							
該当なし								
4.2.3.4	がん原性試験							
該当なし								
4.2.3.5	生殖発生毒性試験							
4.2.3.5.1	受胎能及び着床までの)初期胚発生に関する試験						
該当なし								
4.2.3.5.2 胚・胎児発生に関する試験								
4.2.3.5.2.1		No. SBL462-004 Study for Effects on Embryo-Fetal Development in Cynomolgus Monkeys Subcutaneously Administered P1101	20 年 月~	国内	_	評価		
4.2.3.5.3 出生前及び出生後の発生並びに母体の機能に関する試験								
該当なし	該当なし							

CTD No 資料番号	著者	表 題	実施期間	実施場所 (国内/海外)	掲載誌・その他	評価/ 参考の別
4.2.3.5.4	新生児を用いた試験		•			
該当なし						
4.2.3.6 扂	弱所刺激性試験					
該当なし						
4.2.3.7	その他の毒性試験					
該当なし						

CTD No 資料番号	著者·表題·出典
4.3-1	Enright BP, Compton DR, Collins N, Davis T, McIntyre BS. Comparative effects of interferon alpha-2b and pegylated interferon alpha-2b on menstrual cycles and ovarian hormones in cynomolgus monkeys. Birth Defects Res B Dev Reprod Toxicol. 2009;86(1):29-39.
4.3-2	Griesshammer M, Gisslinger H, Mesa R. Current and future treatment options for polycythemia vera. Ann Hematol. 2015;94(6):901-10.
4.3-3	Hasan S, Lacout C, Marty C, Cuingnet M, Solary E, Vainchenker W, et al. JAK2V617F expression in mice amplifies early hematopoietic cells and gives them a competitive advantage that is hampered by IFNα. Blood. 2013;122(8):1464-77.
4.3-4	Huntsinger dW. OECD and USA GLP applications. Ann Ist Super Sanita. 2008;44(4):403-6.
4.3-5	Jamieson CH, Gotlib J, Durocher JA, Chao MP, Mariappan MR, Lay M, et al. The JAK2 V617F mutation occurs in hematopoietic stem cells in polycythemia vera and predisposes toward erythroid differentiation. Proc Natl Acad Sci U S A. 2006;103(16):6224-9.
4.3-6	Kiladjian JJ, Cassinat B, Chevret S, Turlure P, Cambier N, Roussel M, et al. Pegylated interferon-alfa-2a induces complete hematologic and molecular responses with low toxicity in polycythemia vera. Blood. 2008;112(8):3065-72.
4.3-7	Kiladjian JJ, Giraudier S, Cassinat B. Interferon-alpha for the therapy of myeloproliferative neoplasms: targeting the malignant clone. Leukemia. 2016;30(4):776-81.
4.3-8	Mullally A, Bruedigam C, Poveromo L, Heidel FH, Purdon A, Vu T, et al. Depletion of Jak2V617F myeloproliferative neoplasm-propagating stem cells by interferon-α in a murine model of polycythemia vera. Blood. 2013;121(18):3692-702.
4.3-9	Mullally A, Lane SW, Ball B, Megerdichian C, Okabe R, Al-Shahrour F, et al. Physiological Jak2V617F expression causes a lethal myeloproliferative neoplasm with differential effects on hematopoietic stem and progenitor cells. Cancer Cell. 2010;17(6):584-96.
	Summary of Product Characteristics Pegasys Solution for Injection
4.3-10	https://www.ema.europa.eu/en/documents/product-information/pegasys-epar-product-information_en.pdf (参照2023-01-11)
4.3-11	Quintás-Cardama A, Kantarjian H, Manshouri T, Luthra R, Estrov Z, Pierce S, et al. Pegylated interferon alfa-2a yields high rates of hematologic and molecular response in patients with advanced essential thrombocythemia and polycythemia vera. J Clin Oncol. 2009;27(32):5418-24.
4.3-12	Stauffer Larsen T, Iversen KF, Hansen E, Mathiasen AB, Marcher C, Frederiksen M, et al. Long term molecular responses in a cohort of Danish patients with essential thrombocythemia, polycythemia vera and myelofibrosis treated with recombinant interferon alpha. Leuk Res. 2013;37(9):1041-5.
4.3-13	Stein BL, Oh ST, Berenzon D, Hobbs GS, Kremyanskaya M, Rampal RK, et al. Polycythemia Vera: An Appraisal of the Biology and Management 10 Years After the Discovery of JAK2 V617F. J Clin Oncol. 2015;33(33):3953-60.
4.3-14	Gisslinger H, Zagrijtschuk O, Buxhofer-Ausch V, Thaler J, Schloegl E, Gastl GA, et al. Ropeginterferon alfa-2b, a novel IFNα-2b, induces high response rates with low toxicity in patients with polycythemia vera. Blood. 2015;126(15):1762-9.

CTD No 資料番号	著者·表題·出典
4.3-15	McDonald TA, Zepeda ML, Tomlinson MJ, Bee WH, Ivens IA. Subcutaneous administration of biotherapeutics: current experience in animal models. Curr Opin Mol Ther. 2010;12(4):461-70.
4.3-16	ICH S6 (R1) Guideline: Preclinical Safety Evaluation of Biotechnology-Derived Pharmaceuticals; July 1997. https://www.pmda.go.jp/files/000156471.pdf (参照2023-01-11)
4.3-17	World Health Organization. Expert Committee on Biological Standardization, Geneva, 17 to 21 November 2003. A Recommendation from the Standards Committee of the International Society for Interferon and Cytokine Research to Adopt a Standard Method for the Calculation and Reporting of the Results of Interferon Neutralizing Antibody Tests. WHO/BS/03.1980. https://apps.who.int/iris/bitstream/handle/10665/68496/WHO_BS_03.1980.pdf?sequence=1&isAllowed=y (参照2023-01-11)
4.3-18	FDA draft guidance. October 2017. U.S. Department of Health and Human Services, Food and Drug Administration (FDA), Center for Drug Evaluation and Research (CDER). In vitro metabolism- and transporter-mediated drug-drug interaction studies. Guidance for industry. https://www.fda.gov/files/drugs/published/In-Vitro-Metabolismand-TransporterMediated-Drug-Drug-Interaction-Studies-Guidance-for-Industry.pdf (参照2023-01-11)
4.3-19	Hamidi M, Azadi A, Rafiei P. Pharmacokinetic consequences of pegylation. Drug Deliv. 2006;13(6):399-409.
4.3-20	Brassard DL, Grace MJ, Bordens RW. Interferon-alpha as an immunotherapeutic protein. J Leukoc Biol. 2002;71(4):565-81.
4.3-21	Corssmit EP, de Metz J, Sauerwein HP, Romijn JA. Biologic responses to IFN-alpha administration in humans. J Interferon Cytokine Res. 2000;20(12):1039-47.
4.3-22	Grace M, Youngster S, Gitlin G, Sydor W, Xie L, Westreich L, et al. Structural and biologic characterization of pegylated recombinant IFN-alpha2b. J Interferon Cytokine Res. 2001;21(12):1103-15.
4.3-23	Lipi ä inen T, Peltoniemi M, Sarkhel S, Yrjönen T, Vuorela H, Urtti A, et al. Formulation and stability of cytokine therapeutics. J Pharm Sci. 2015;104(2):307-26.
4.3-24	Laubach JP, Fu P, Jiang X, Salter KH, Potti A, Arcasoy MO. Polycythemia vera erythroid precursors exhibit increased proliferation and apoptosis resistance associated with abnormal RAS and PI3K pathway activation. Exp Hematol. 2009;37(12):1411-22.
4.3-25	Sakatoku K, Nakashima Y, Nagasaki J, Nishimoto M, Hirose A, Nakamae M, et al. Immunomodulatory and direct activities of ropeginterferon alfa- 2b on cancer cells in mouse models of leukemia. Cancer Sci. 2022;113(7):2246-57.
4.3.26	Verger E, Soret-Dulphy J, Maslah N, Roy L, Rey J, Ghrieb Z, et al. Ropeginterferon alpha-2b targets JAK2V617F-positive polycythemia vera cells in vitro and in vivo. Blood Cancer J. 2018;8(10):94.
4.3-27	Kumaran J, Wei L, Kotra LP, Fish EN. A structural basis for interferon-alpha-receptor interactions. FASEB J. 2007;21(12):3288-96.
4.3-28	de Weerd NA, Samarajiwa SA, Hertzog PJ. Type I interferon receptors: biochemistry and biological functions. J Biol Chem. 2007;282(28):20053-7.
4.3-29	Platanias LC. Mechanisms of type-I- and type-II-interferon-mediated signalling. Nat Rev Immunol. 2005;5(5):375-86.

CTD No 資料番号	著者・表題・出典
4.3-30	Samarajiwa SA, Forster S, Auchettl K, Hertzog PJ. INTERFEROME: the database of interferon regulated genes. Nucleic Acids Res. 2009;37(Database issue):D852-7.
4.3-31	Katayama T, Nakanishi K, Nishihara H, Kamiyama N, Nakagawa T, Kamiyama T, et al. Type I interferon prolongs cell cycle progression via p21WAF1/CIP1 induction in human colon cancer cells. Int J Oncol. 2007;31(3):613-20.
4.3-32	Eguchi H, Nagano H, Yamamoto H, Miyamoto A, Kondo M, Dono K, et al. Augmentation of antitumor activity of 5-fluorouracil by interferon alpha is associated with up-regulation of p27Kip1 in human hepatocellular carcinoma cells. Clin Cancer Res. 2000;6(7):2881-90.
4.3-33	Parker BS, Rautela J, Hertzog PJ. Antitumour actions of interferons: implications for cancer therapy. Nat Rev Cancer. 2016;16(3):131-44.
4.3-34	Biron CA, Sonnenfeld G, Welsh RM. Interferon induces natural killer cell blastogenesis in vivo. J Leukoc Biol. 1984;35(1):31-7.
4.3-35	Biron CA, Nguyen KB, Pien GC, Cousens LP, Salazar-Mather TP. Natural killer cells in antiviral defense: function and regulation by innate cytokines. Annu Rev Immunol. 1999;17:189-220.
4.3-36	Zitvogel L, Galluzzi L, Kepp O, Smyth MJ, Kroemer G. Type I interferons in anticancer immunity. Nat Rev Immunol. 2015;15(7):405-14.
4.3-37	Sandrelli A, De Fabritiis P, Di Nucci GD, Simone F, Di Matteo G, Mandelli F. In vitro antitumor effect of LAK cells and alpha interferon in combination on tumor cell lines. J Biol Regul Homeost Agents. 1992;6(3):93-8.
4.3-38	Milosevic Feenstra JD, Nivarthi H, Gisslinger H, Leroy E, Rumi E, Chachoua I, et al. Whole-exome sequencing identifies novel MPL and JAK2 mutations in triple-negative myeloproliferative neoplasms. Blood. 2016;127(3):325-32.
4.3-39	Chen E, Mullally A. How does JAK2V617F contribute to the pathogenesis of myeloproliferative neoplasms? Hematology Am Soc Hematol Educ Program. 2014;2014(1):268-76.
4.3-40	Lu M, Zhang W, Li Y, Berenzon D, Wang X, Wang J, et al. Interferon-alpha targets JAK2V617F-positive hematopoietic progenitor cells and acts through the p38 MAPK pathway. Exp Hematol. 2010;38(6):472-80.
4.3-41	Aranaz P, Hurtado C, Erquiaga I, Miguéliz I, Ormazábal C, Cristobal I, et al. CBL mutations in myeloproliferative neoplasms are also found in the gene's proline-rich domain and in patients with the V617FJAK2. Haematologica. 2012;97(8):1234-41.
4.3-42	Rao TN, Hansen N, Stetka J, Luque Paz D, Kalmer M, Hilfiker J, et al. JAK2-V617F and interferon-α induce megakaryocyte-biased stem cells characterized by decreased long-term functionality. Blood. 2021;137(16):2139-51.
4.3-43	Edahiro Y, Ohishi K, Gotoh A, Takenaka K, Shibayama H, Shimizu T, et al. Efficacy and safety of ropeginterferon alfa-2b in Japanese patients with polycythemia vera: an open-label, single-arm, phase 2 study. Int J Hematol. 2022;116(2):215-27.
	Gisslinger H, Klade C, Georgiev P, Krochmalczyk D, Gercheva-Kyuchukova L, Egyed M, et al. Ropeginterferon alfa-2b versus standard therapy for polycythaemia vera (PROUD-PV and CONTINUATION-PV): a randomised, non-inferiority, phase 3 trial and its extension study. Lancet Haematol. 2020;7(3):e196-e208.
4 3-45	Pardanani A, Lasho TL, Finke C, et al. Prevalence and clinicopathologic correlates of JAK2 exon 12 mutations in JAK2V617F-negative polycythemia vera. Leukemia. 2007; 21(9):1960-1963.

CTD No 資料番号	著者·表題·出典
/1 3 /16	Vannucchi AM, Antonioli E, Guglielmelli P, et al. Clinical correlates of JAK2V617F presence or allele burden in myeloproliferative neoplasms: a critical reappraisal. Leukemia. 2008; 22(7):1299-1307.

5.2 全臨床試験一覧表

CTD No 資料番号		実施期間	実施場所 (国内/海外)	掲載誌・その他	評価/ 参考の別
5.2	全臨床試験一覧表	-	-	社内資料	_

CTD No 資料番号	著者	表 題	実施期間	実施場所 (国内/海外)	掲載誌・	評価/ 参考の別	
5.3.1 生物薬剤学試験報告書							
5.3.1.1 バイオアベイラビリティ(BA)試験報告書							
該当資料な	2L						
5.3.1.2 比	比較BA試験及び生	物学的同等性(BE)試験報告書					
該当資料な	2L						
5.3.1.3 <i>Ir</i>	n Vitro-In Vivoの関	 連を検討した試験報告書					
該当資料な	2 L						
5.3.1.4 生	上物学的及び理化学	学的分析法検討報告書					
5.3.1.4-1		105048ABCM VALIDATION OF AN ENZYME- LINKED IMMUNOASSAY (ELISA) FOR THE DETERMINATION OF P1101 IN HUMAN SERUM	20 年 月~20 年 月	海外	_	参考	
5.3.1.4-2		SOP ANI 10018.01 Determination of P1101 in Human Serum over a Concentration Range of 312.5 to 40000 pg/mL using Enzyme Linked Immunosorbent Assay (ELISA)	20 年 月	海外	_	参考	
5.3.1.4-3		97153TVI VALIDATION OF AN ENZYME-LINKED IMMUNOSORBENT ASSAY (ELISA) METHOD FOR THE DETERMINATION OF PEGYLATED INTERFERON ALPHA 2A (PEGASYS) IN HUMAN SERUM	20 年 月	海外	_	参考	
5.3.1.4-4		SOP ANI 9775.01 Determination of Pegylated Interferon alpha 2a (Pegasys) in Human Serum over a Concentration Range of 312.5 to 40000 pg/mL using Enzyme Linked Immunosorbent Assay (ELISA)	20 年 月	海外		参考	

5.3 臨床試験報告書

CTD No 資料番号	著者	表 題	実施期間	実施場所 (国内/海外)	掲載誌・	評価/ 参考の別
5.3.1.4-5	ł	MB98A2(Validation- Immunogenicity) MITHRA BIOINDUSTRY BIOANALYTICAL METHOD VALIDATION REPORT	20 年 月~20 年 月	海外	_	参考
5.3.1.4-6		MV 44108-10-44 Immunoassay Method Validation for the Detection of Neopterin in the Human Serum Samples	20 年 月~	海外	_	参考
5.3.1.4-7		114517 Method Validation: ELISA for the detection of anti-PEG-P-IFNa-2bantibodies (Screening and Confirmation assay)	20 年 月~ 20 年 月	海外	_	参考
5.3.1.4-8		990319 Antiviral Neutralization Bioassay Development for Detection of Antibodies to PEG-IFN a 2b in Human Seruin	20 年 月	海外	_	参考
5.3.1.4-9		MV 44108-10-43 VALIDATION OF AN ENZYME- LINKED IMMUNOASSAY (ELISA) FOR THE DETERMINATION OF P1101 IN HUMAN SERUM	20 年 月	海外	_	参考
5.3.1.4-10		14-3173 Partial validation: Detection of PEG-P-IFNa-2b in human serum	20 年 月~ 20 年 月	海外	_	参考
5.3.1.4-11		MB98A2(Bioanalytical- Immunogenicity) Determination of Anti-PllOl in Human Serum Samples by Enzyme-linked Immunosorbant Assay	20 年 月~	海外	_	参考
5.3.2 ヒ	ト生体試料を用い	た薬物動態関連の試験報告書			_	
5.3.2.1 血漿蛋白結合試験報告書						

5.3.2.1 血漿蛋白結合試験報告書

該当資料なし

CTD No 資料番号	著者	表 題	実施期間	実施場所 (国内/海外)	掲載誌・	評価/ 参考の別	
5.3.2.2 肝代謝及び薬物相互作用試験報告書							
5.3.2.2-1		Covance 8417-482 Report In Vitro Study for Evaluating Direct Inhibitory Potential of P1101 on Cytochrome P450 Enzymes in Human Liver Microsomes	20 年 月	海外	_	参考	
5.3.2.2-2		Covance 8417-483 Report In Vitro Study for Evaluating Time-DependentInhibitory Potential of P1101 on Cytochrome P450 Enzymes in Human Liver Microsomes	20 年 月	海外	_	参考	
5.3.2.2-3	()	RILD RDS1909-12 Report In Vitro Study for Evaluating Potential of TA-19-172 (Ropeginterferon alfa-2b (P1101)) on CYP450 Induction	20 年 月~	海外	_	参考	

CTD No 資料番号	著者	表 題	実施期間	実施場所 (国内/海外)	掲載誌・	評価/ 参考の別		
5.3.2.3 他	也のヒト生体試料で	を用いた試験報告書						
該当資料な	? L							
5.3.3 臨月	末薬物動態(PK)	試験報告書						
5.3.3.1 俊	5.3.3.1 健康被験者におけるPK及び初期忍容性試験報告書							
5.3.3.1-1	PharmaEssentia Corp.	A Phase I Bridging Study to Investigate and Compare the Safety, Tolerability, Pharmacokinetics and Pharmacodynamics of Four Single Ascending doses of Ropeginterferon alfa-2b (P1101) in Healthy Japanese and Healthy Caucasian Subjects (A17-102 Study)	2018年5月~ 2019 年 7月	国内	_	評価		
5.3.3.1-2	PharmaEssentia Corp.	A Single-Dose, Dose-Escalation Phase I Clinical Study Aimed to Assess the Safety, Tolerability, Pharmacokinetics and Pharmacodynamics of Ropeginterferon alfa-2b (P1101) in Healthy Chinese Adult Subjects with PEGASYS [®] 180 μg Dose as a Positive Control (A17-101 Study)	20 年 月~ 月	海外	_	参考		
5.3.3.1-3	PharmaEssentia Corp.	Phase I, Randomized Double-Blind, Active Control, Single Dose Escalation Study of PEG P-IFN-2b (P1101) in Healthy Adult Male Subjects (A09-102 Study)	2009年11月~ 2010年6月	海外	_	参考		
5.3.3.2 患	諸におけるPK及	- び初期忍容性試験報告書						
該当資料な	該当資料なし							
5.3.3.3 内因性要因を検討したPK試験報告書								
該当資料なし								
5.3.3.4 夕	ト因性要因を検討し	ったPK試験報告書						
該当資料な	ì.							

CTD No 資料番号	著者	表 題	実施期間	実施場所 (国内/海外)	掲載誌・その他	評価/ 参考の別		
5.3.3.5 ポピュレーションPK試験報告書								
5.3.3.5-1	PharmaEssentia Japan K.K.	#0242-1 POPULATION PHARMACOKINETIC ANALYSIS FOR ROPEGIFNA-2B IN HEALTHY SUBJECTS AND PATIENTS WITH POLYCYTHEMIA VERA OF JAPANESE AND NON-JAPANESE ETHNICITY	20 年 月	海外	_	評価		
5.3.3.5-2	PharmaEssentia USA LLC.	#0158-1 POPULATION PHARMACOKINETIC ANALYSIS FOR ROPEGINTERFERON ALFA-2B	20 年 月	海外	_	参考		
5.3.3.5-3	PharmaEssentia Corp.	#0158-2 PHARMACOKINETIC-PHARMACODYNAMIC ANALYSIS FOR THE EFFECT OF ROPEGINTERFERON ALFA-2BON HEMATOLOGYENDPOINTSIN POLYCYTHEMIA VERAPATIENTS	20 年 月	海外	_	参考		
5.3.3.5-4	PharmaEssentia Corp.	#0165 PHARMACOKINETIC-PHARMACODYNAMIC SAFETY AND ADDITIONAL EFFICACY ASSESSMENTS FOR ROPEGINTERFERONALFA-2B AND UPDATED SIMULATIONS TO SUPPORT DOSE JUSTIFICATION FOR TREATMENT OF POLYCYTHEMIA VERA	20 年 月	海外	_	参考		
5.3.3.5-5	PharmaEssentia Corp.	#0186 SUMMARIZATION OF THE EFFECT OF RENAL AND HEPATIC FUNCTION ON THE PHARMACOKINETICS OF ROPEGINTERFERON ALFA-2B IN HEALTHY SUBJECTS AND PATIENTS WITH POLYCYTHEMIA VERA	20 年 月	海外	_	参考		

CTD No 資料番号	著者	表 題	実施期間	実施場所 (国内/海外)	掲載誌・	評価/ 参考の別		
5.3.4 臨月	k薬力学(PD)試	験報告書						
5.3.4.1 健康被験者におけるPD試験及びPK/PD試験報告書								
該当資料な	こし							
5.3.4.2	者におけるPD試	験及びPK/PD試験報告書						
該当資料な	: L							
5.3.5 有效	効性及び安全性試験	族報告書						
5.3.5.1 申	ま請する適応症に 関	引する比較対照試験報告書 -						
5.3.5.1-1	AOP Orphan Pharmaceuticals AG	A randomized, open-label, multicenter, controlled, parallel arm, phase III study assessing the efficacy and safety of AOP2014 vs. Hydroxyurea in patients with Polycythemia Vera (PROUD-PV Study)	2013年 月~ 2016年 月	海外	_	評価		
5.3.5.1-2.1	AOP Orphan Pharmaceuticals AG	Clinical Study Report on the Longitudinal Evaluation of AOP2014 in Comparison to a Control Group (Standard First Line Treatment) through 24 Months of Treatment (CONTINUATION-PV Study)	2014年11月~	海外	Lancet Hematol. 2020;7: e196-208	評価		
5.3.5.1-2.2	AOP Orphan Pharmaceuticals AG	Clinical Study Report on the Longitudinal Evaluation of AOP2014 in Comparison to a Control Group (Standard First Line Treatment) through 36 Months of Treatment (CONTINUATION-PV Study)	2014年11月~	海外	Lancet Hematol. 2020;7: e196-208	評価		
5.3.5.2 非	対照試験報告書							

CTD No 資料番号	著者	表 題	実施期間	実施場所 (国内/海外)	掲載誌・	評価/ 参考の別
5.3.5.2-1	PharmaEssentia Japan K.K.	Phase 2 single arm study of efficacy and safety of P1101 for polycythemia vera (PV) patients for whom the current standard of treatment is difficult to apply (A19-201 Study)	2019年12月~ 2021年 2 月	国内	_	評価
5.3.5.2-2	AOP Orphan Pharmaceuticals AG	An open-label, prospective, multicentre, phase I/II dose escalation study to determine the maximum tolerated dose and to assess the safety and efficacy of P1101, PEG-Proline-Interferon α-2b in patients with Polycythaemia Vera (PEGINVERA Study)	2010年9月~ 2018年1月	海外	_	評価
5.3.5.2-3	AOP Orphan Pharmaceuticals AG	An open-label, single arm, Phase III study to assess the self-administration of AOP2014 using a pre-filled pen, developed for the treatment of Polycythaemia Vera patients (PEN-PV Study)	2015年6月~ 2015年	海外	_	参考
5.3.5.3 複	夏数の試験成績を係	併せて解析した報告書				
5.3.5.3-1	PharmaEssentia Corp.	AN INTEGRATED LONG-TERM ASSESSMENT OF ROPEGINTERFERON ALFA-2b IN THE TREATMENT OF POLYCYTHEMIA VERA	20 年 月	海外	_	参考
5.3.5.3-2	PharmaEssentia Corp.	Integrated Summary of Safety (ISS)	20 年 月	海外	_	参考
5.3.5.3-3	PharmaEssentia Corp.	INTEGRATED SUMMARY OF IMMUNOGENICITY (ISI)	20 年 月	海外	_	参考

CTD No 資料番号	著者	表 題	実施期間	実施場所 (国内/海外)	掲載誌・	評価/ 参考の別
5.3.5.4 7	その他の試験報告割					
5.3.5.4-1	PharmaEssentia Corp.	Bioreseach Information (bimo)	_	海外	_	参考
5.3.5.4-2	PharmaEssentia Corp.	Ropeginterferon alfa-2b Prefilled SyringeHuman Factors Validation Study Report	_	海外	_	参考
5.3.5.4-3	PharmaEssentia Corp.	PharmaEssentia Besremi Ropeginterferon alfa-2b Prefilled Syringe Human Factors Engineering Submission Report	20 年 月	海外	_	参考
5.3.5.4-4	PharmaEssentia Corp.	Use-Related Risk Analysis for PharmaEssentia Ropeginterferon al	_	海外	_	参考
5.3.6 市則	仮後の使用経験に	関する報告書			_	_
5.3.6-1	AOP Orphan Pharmaceuticals AG	PERIODIC SAFETY UPDATE REPORT #1	20 年 月~ 20 年 月	海外	_	_
5.3.6-2	AOP Orphan Pharmaceuticals AG	PERIODIC SAFETY UPDATE REPORT #2	20 年 月~ 20 年 月	海外	_	_
5.3.6-3	AOP Orphan Pharmaceuticals AG	PERIODIC SAFETY UPDATE REPORT #3	20 年 月~ 20 年 月	海外	_	_
5.3.6-4	PharmaEssentia Corp.	Periodic Benefit-Risk Evaluation Report/Periodic Safety Update Report #1	20 年 月~ 20 年 月	海外	_	_
5.3.6-5	PharmaEssentia Corp.	Periodic Benefit-Risk Evaluation Report/Periodic Safety Update Report #2	20 年 月~ 20 年 月	海外	_	
5.3.6-6	PharmaEssentia Corp.	Periodic Benefit-Risk Evaluation Report/Periodic Safety Update Report #3	20 年 月~ 20 年 月	海外	_	_

CTD No 資料番号	著者・表題・出典
5.4-1	Alvarado Y, Cortes J, Verstovsek S, et al. Pilot study of pegylated interferon-alpha 2b in patients with essential thrombocythemia. Cancer Chemother. Pharmacol. 2003; 51(1):81-86.
5.4-2	Ania BJ, Suman VJ, Sobell JL, et al. Trends in the incidence of polycythemia vera among Olmsted County, Minnesota residents, 1935-1989. Am J Hematol. 1994; 47(2):89-93.
5.4-3	Antonioli E, Guglielmelli P, Pancrazzi A, et al. Clinical implications of the JAK2 V617F mutation in essential thrombocythemia. Leukemia. 2005; 19(10):1847-1849.
5.4-4	Arber DA, Orazi A, Hasserjian R, et al. The 2016 revision to the World Health Organization classification of myeloid neoplasms and acute leukemia. Blood. 2016; 127(20):2391-2405.
5.4-5	Asmana Ningrum R. Human interferon alpha-2b: a therapeutic protein for cancer treatment. Scientifica. 2014; 2014:970315.
5.4-6	Austin R, Straube J, Bruedigam C, et al. Distinct effects of ruxolitinib and interferon-alpha on murine JAK2V617F myeloproliferative neoplasm hematopoietic stem cell populations. Leukemia. 2020; 34(4):1075-1089.
5.4-7	Balsat M, Etienne M, Elhamri M, et al. Successful pregnancies in patients with BCR-ABL-positive leukemias treated with interferon-alpha therapy during the tyrosine kinase inhibitors era. Eur J Haematol. 2018; 101(6):774-780.
5.4-8	Barbui T. The leukemia controversy in myeloproliferative disorders: Is it a natural progression of disease, a secondary sequela of therapy, or a combination of both? Semin. Hematol. 2004; 41(2 Suppl 3):15-17.
5.4-9	Barbui T, Barosi G, Birgegard G, et al. Philadelphia-negative classical myeloproliferative neoplasms: critical concepts and management recommendations from European LeukemiaNet. J Clin Oncol. 2011; 29(6):761-770.
5.4-10	Barbui T, Ghirardi A, Masciulli A, et al. Second cancer in Philadelphia negative myeloproliferative neoplasms (MPN-K). A nested case-control study. Leukemia. 2019; 33(8):1996-2005.
5.4-11	Barbui T, Tefferi A, Vannucchi AM, et al. Philadelphia chromosome-negative classical myeloproliferative neoplasms: revised management recommendations from European LeukemiaNet. Leukemia. 2018; 32(5):1057-1069.
5.4-12	Barbui T, Vannucchi AM, Finazzi G, et al. A reappraisal of the benefit-risk profile of hydroxyurea in polycythemia vera: A propensity-matched study. Am J Hematol. 2017; 92(11):1131-1136.

5.4-13	Barosi G. An Immune Dysregulation in MPN. Curr Hemato Malig Rep. 2014; 9(4):331-339.
5.4-14	Barosi G, Besses C, Birgegard G, et al. A unified definition of clinical resistance/intolerance to hydroxyurea in essential thrombocythemia: results of a consensus process by an international working group. Leukemia. 2007; 21(2):277-280.
5.4-15	Barosi G, Birgegard G, Finazzi G, et al. Response criteria for essential thrombocythemia and polycythemia vera: result of a European LeukemiaNet consensus conference. Blood. 2009; 113(20):4829-4833.
5.4-16	Baxter EJ, Scott LM, Campbell PJ, et al. Acquired mutation of the tyrosine kinase JAK2 in human myeloproliferative disorders. Lancet. 2005; 365(9464):1054-1061.
5.4-17	Bose P and Verstovsek S. Updates in the management of polycythemia vera and essential thrombocythemia. Ther Adv Hematol. 2019; 10:2040620719870052.
5.4-18	Bristol-Myers Squibb. Prescribing information, HYDREA® (hydroxyurea) capsules, for oral use. rev. Dec 2019.
5.4-19	Brochmann N, Flachs EM, Christensen AI, et al. Anxiety and depression in patients with Philadelphia-negative myeloproliferative neoplasms: a nationwide population-based survey in Denmark. Clin Epidemiol. 2019; 11:23-33.
5.4-20	Bruno R, Sacchi P, Scagnolari C, et al. Pharmacodynamics of peginterferon alpha-2a and peginterferon alpha-2b in interferon-naive patients with chronic hepatitis C: a randomized, controlled study. Aliment Pharmacol Ther. 2007; 26(3):369-376.
5.4-21	Bywater M, Austin R, Straube J, et al. Distinct effects of ruxolitinib and interferon-alpha on JAK2V617F myeloproliferative neoplasm hematopoietic stem cell populations. Exp Hematol. 2019; 76:S60.
5.4-22	Campbell PJ, MacLean C, Beer PA, et al. Correlation of blood counts with vascular complications in essential thrombocythemia: analysis of the prospective PT1 cohort. Blood. 2012; 120(7):1409-1411.
5.4-23	Cario H. Childhood polycythemias/erythrocytoses: classification, diagnosis, clinical presentation, and treatment. Ann Hematol. 2005; 84(3):137-145.
5.4-24	Cario H, McMullin MF and Pahl HL. Clinical and hematological presentation of children and adolescents with polycythemia vera. Ann Hematol. 2009; 88(8):713-719.
5.4-25	Elliott MA and Tefferi A. Interferon-alpha therapy in polycythemia vera and essential thrombocythemia. Semin Thromb Hemost. 1997;23(5):463-472.

5.4-26	Falchi L, Newberry KJ and Verstovsek S. New Therapeutic Approaches in Polycythemia Vera. Clin Lymphoma Myeloma Leuk. 2015; 15:S27-S33.
5.4-27	Ferrari A, Carobbio A, Masciulli A, et al. Clinical outcomes under hydroxyurea treatment in polycythemia vera: a systematic review and meta-analysis. Haematologica. 2019: 104(12):2391-2399.
5.4-28	Finelli C, Gugliotta L, Gamberi B, et al. Relief of intractable pruritus in polycythemia vera with recombinant interferon alfa. Am J Hematol. 1993; 43(4):316-318.
5.4-29	Gisslinger H, Buxhofer-Ausch V, Thaler J, et al. Long Term Efficacy and Safety Results and Analysis of Dose Correlations from the Phase I/II Peginvera Study of Ropeginterferon Alfa-2b, a Novel IFNa-2b, in Polycythemia Vera Patient. Blood. 2015; 126(23):4056.
5.4-30	Gisslinger H, Klade C, Georgiev P, et al. Ropeginterferon alfa-2b versus standard therapy for polycythaemia vera (PROUD-PV and CONTINUATION-PV): a randomised, non-inferiority, phase 3 trial and its extension study. Lancet Haematol. 2020; 7(3):e196-e208.
5.4-31	Gisslinger H, Ludwig H, Linkesch W, et al. Long-term interferon therapy for thrombocytosis in myeloproliferative diseases. Lancet. 1989; 1(8639):634-637.
5.4-32	Glue P, Fang JW, Rouzier-Panis R, et al. Pegylated interferon-alpha2b: pharmacokinetics, pharmacodynamics, safety, and preliminary efficacy data. Hepatitis C Intervention Therapy Group. Clin Pharmacol Ther. 2000; 68(5):556-567.
5.4-33	Griesshammer M, Gisslinger H and Mesa R. Current and future treatment options for polycythemia vera. Ann Hematol. 2015; 94(6):901-910.
5.4-34	Griesshammer M, Kiladjian J-J and Besses C. Thromboembolic events in polycythemia vera. Ann Hematol. 2019; 98(5):1071-1082.
5.4-35	Guglielmelli P, Barosi G, Specchia G, et al. Identification of patients with poorer survival in primary myelofibrosis based on the burden of JAK2V617F mutated allele. Blood. 2009; 114(8):1477-1483.
5.4-36	Gull I, Samra ZQ, Aslam MS, et al. Heterologous expression, immunochemical and computational analysis of recombinant human interferon alpha 2b. SpringerPlus. 2013; 2(1):264.
5.4-37	Hanft VN, Fruchtman SR, Pickens CV, et al. Acquired DNA mutations associated with in vivo hydroxyurea exposure. Blood. 2000; 95(11):3589-3593.
5.4-38	Hasselbalch HC. Perspectives on the increased risk of second cancer in patients with essential thrombocythemia, polycythemia vera and myelofibrosis. Eur J Haematol. 2015a; 94(2):96-98.

5.4-39	Hasselbalch HC and Björn ME. MPNs as Inflammatory Diseases: The Evidence, Consequences, and Perspectives. Mediators Inflamm. 2015b; 2015:102476.
5.4-40	Hasselbalch HC and Holmström MO. Perspectives on interferon-alpha in the treatment of polycythemia vera and related myeloproliferative neoplasms: minimal residual disease and cure? Semin. Immunopathol. 2019; 41(1):5-19.
5.4-41	Hoffman-La Roche. Prescribing information, PEGASYS® (peginterferon alfa-2a) injection, for subcutaneous use. rev. Oct 2017.
5.4-42	Ianotto JC, Curto-Garcia N, Lauermanova M, et al. Characteristics and outcomes of patients with essential thrombocythemia or polycythemia vera diagnosed before 20 years of age: a systematic review. Haematologica. 2019; 104(8):1580-1588.
5.4-43	ICH Q5E. Guidance for Industry: Q5E Comparability of Biotechnological/ Biological Products Subject to Changes in Their Manufacturing Process. 2005.
5.4-44	ICH S6. Guidance for Industry: S6 Preclinical Safety Evaluation of Biotechnology-Derived Pharmaceuticals. 1997.
5.4-45	Iglay K, Cao X, Mavros P, et al. Systematic Literature Review and Meta-analysis of Medication Adherence With Once-weekly Versus Once-daily Therapy. Clin Ther. 2015; 37(8):1813-1821.
5.4-46	Jabbour E, Kantarjian H, Cortes J, et al. PEG-IFN-alpha-2b therapy in BCR-ABL-negative myeloproliferative disorders: final result of a phase 2 study. Cancer. 2007; 110(9):2012-2018.
5.4-47	James C, Ugo V, Le Couédic JP, et al. A unique clonal JAK2 mutation leading to constitutive signalling causes polycythaemia vera. Nature. 2005; 434(7037):1144-1148.
5.4-48	Jamieson CH, Gotlib J, Durocher JA, et al. The JAK2 V617F mutation occurs in hematopoietic stem cells in polycythemia vera and predisposes toward erythroid differentiation. Proc Natl Acad Sci USA. 2006; 103(16):6224-6229.
5.4-49	Kiladjian JJ, Cassinat B, Chevret S, et al. Pegylated interferon-alfa-2a induces complete hematologic and molecular responses with low toxicity in polycythemia vera. Blood. 2008; 112(8):3065-3072.
5.4-50	Kiladjian JJ, Chevret S, Dosquet C, et al. Treatment of polycythemia vera with hydroxyurea and pipobroman: final results of a randomized trial initiated in 1980. J Clin Oncol. 2011a; 29(29):3907-3913.
5.4-51	Kiladjian JJ, Giraudier S and Cassinat B. Interferon-alpha for the therapy of myeloproliferative neoplasms: targeting the malignant clone. Leukemia. 2016; 30(4):776-781.

5.4-52	Kiladjian JJ, Klade C, Georgiev P, et al. Thromboembolic Risk Reduction and High Rate of Complete Molecular Response with Long-Term Use of Ropeginterferon Alpha-2b in Polycythemia Vera: Results from a Randomized Controlled Study. Blood. 2019; 134(Suppl 1):553.
5.4-53	Kiladjian JJ, Mesa RA and Hoffman R. The renaissance of interferon therapy for the treatment of myeloid malignancies. Blood. 2011b; 117(18):4706-4715.
5.4-54	Kiladjian JJ, Soret-Dulphy J, Resche-Rigon M, et al. Ruxopeg, a Multi-Center Bayesian Phase 1/2 Adaptive Randomized Trial of the Combination of Ruxolitinib and Pegylated Interferon Alpha 2a in Patients with Myeloproliferative Neoplasm (MPN)-Associated Myelofibrosis. Blood. 2018; 132(Suppl 1):581.
5.4-55	Kirkwood JM, Bender C, Agarwala S, et al. Mechanisms and management of toxicities associated with high-dose interferon alfa-2b therapy. J Clin Oncol. 2002; 20(17):3703-3718.
5.4-56	Kishimoto H and Maehara M. Compliance and persistence with daily, weekly, and monthly bisphosphonates for osteoporosis in Japan: analysis of data from the CISA. Arch Osteoporos. 2015; 10:231.
5.4-57	Kissova J, Ovesna P, Penka M, et al. Second malignancies in philadelphia-negative myeloproliferative neoplasms-single-center experience. Anticancer Res. 2014; 34(5):2489-2496.
5.4-58	Klatt C, Krüger I, Zey S, et al. Platelet-RBC interaction mediated by FasL/FasR induces procoagulant activity important for thrombosis. J Clin Invest. 2018; 128(9):3906-3925.
5.4-59	Kralovics R, Passamonti F, Buser AS, et al. A gain-of-function mutation of JAK2 in myeloproliferative disorders. N Engl J Med. 2005; 352(17):1779-1790.
5.4-60	Kralovics R, Teo SS, Li S, et al. Acquisition of the V617F mutation of JAK2 is a late genetic event in a subset of patients with myeloproliferative disorders. Blood. 2006; 108(4):1377-1380.
5.4-61	Landolfi R, Di Gennaro L, Barbui T, et al. Leukocytosis as a major thrombotic risk factor in patients with polycythemia vera. Blood. 2007; 109(6):2446-2452.
5.4-62	Langer C, Lengfelder E, Thiele J, et al. Pegylated interferon for the treatment of high risk essential thrombocythemia: results of a phase II study. Haematologica. 2005; 90(10):1333-1338.
5.4-63	Larsen TS, Iversen KF, Hansen E, et al. Long term molecular responses in a cohort of Danish patients with essential thrombocythemia, polycythemia vera and myelofibrosis treated with recombinant interferon alpha. Leuk Res. 2013; 37(9):1041-1045.
5.4-64	Larsen TS, Moller MB, de Stricker K, et al. Minimal residual disease and normalization of the bone marrow after long-term treatment with alpha-interferon2b in polycythemia vera. A report on molecular response patterns in seven patients in sustained complete hematological remission. Hematology. 2009; 14(6):331-334.

5.4-65	Levine RL and Gilliland DG. JAK-2 mutations and their relevance to myeloproliferative disease. Curr Opin Hematol. 2007; 14(1):43-47.
5.4-66	Levine RL, Wadleigh M, Cools J, et al. Activating mutation in the tyrosine kinase JAK2 in polycythemia vera, essential thrombocythemia, and myeloid metaplasia with myelofibrosis. Cancer Cell. 2005; 7(4):387-397.
5.4-67	Lim Y, Lee JO and Bang SM. Incidence, Survival and Prevalence Statistics of Classical Myeloproliferative Neoplasm in Korea. J Korean Med Sci. 2016; 31(10):1579-1585.
5.4-68	Liu CH, Liang CC, Lin JW, et al. Pegylated interferon alpha-2a versus standard interferon alpha-2a for treatment-naïve dialysis patients with chronic hepatitis C: a randomised study. Gut. 2008; 57(4):525-530.
5.4-69	Liu E, Jelinek J, Pastore YD, et al. Discrimination of polycythemias and thrombocytoses by novel, simple, accurate clonality assays and comparison with PRV-1 expression and BFU-E response to erythropoietin. Blood. 2003; 101(8):3294-3301.
5.4-70	Lundberg P, Karow A, Nienhold R, et al. Clonal evolution and clinical correlates of somatic mutations in myeloproliferative neoplasms. Blood. 2014; 123(14):2220-2228.
5.4-71	Lussana F and Rambaldi A. Inflammation and myeloproliferative neoplasms. J Autoimmun. 2017; 85:58-63.
5.4-72	Luxon BA, Grace M, Brassard D, et al. Pegylated interferons for the treatment of chronic hepatitis C infection. Clin Ther. 2002; 24(9):1363-1383.
5.4-73	Marcellino B, Hoffman R and Mascarenhas J. Does hydroxycarbamide therapy really induce leukemic transformation in patients with essential thrombocythemia? Leuk Res. 2019; 76:94-95.
5.4-74	Marchioli R, Finazzi G, Landolfi R, et al. Vascular and neoplastic risk in a large cohort of patients with polycythemia vera. J Clin Oncol. 2005; 23(10):2224-2232.
5.4-75	Marchioli R, Finazzi G, Specchia G, et al. Cardiovascular events and intensity of treatment in polycythemia vera. N Engl J Med. 2013; 368(1):22-33.
5.4-76	Marchioli R, Finazzi G, Specchia G, et al. The CYTO-PV: A Large-Scale Trial Testing the Intensity of CYTOreductive Therapy to Prevent Cardiovascular Events in Patients with Polycythemia Vera. Thrombosis. 2011; 2011:794240.
5.4-77	Masarova L, Bose P and Verstovsek S. The Rationale for Immunotherapy in Myeloproliferative Neoplasms. Curr Hematol Malig Rep. 2019; 14(4):310-327.

5.4-78	Masarova L, Patel KP, Newberry KJ, et al. Pegylated interferon alfa-2a in patients with essential thrombocythaemia or polycythaemia vera: a post-hoc, median 83 month follow-up of an open-label, phase 2 trial. Lancet Haematol. 2017; 4(4):e165-e175.
5.4-79	Mascarenhas J, Kosiorek HE, Prchal JT, et al. Results of the Myeloproliferative Neoplasms - Research Consortium (MPN-RC) 112 Randomized Trial of Pegylated Interferon Alfa-2a (PEG) Versus Hydroxyurea (HU) Therapy for the Treatment of High Risk Polycythemia Vera (PV) and High Risk Essential Thrombocythemia (ET) (Poster presentation). Blood. 2018; 132:Abst 577.
5.4-80	Massaro P, Foa P, Pomati M, et al. Polycythemia vera treated with recombinant interferon-alpha 2a: evidence of a selective effect on the malignant clone. Am J Hematol. 1997; 56(2):126-128.
5.4-81	Maze D, Kazi S, Gupta V, et al. Association of Treatments for Myeloproliferative Neoplasms During Pregnancy With Birth Rates and Maternal Outcomes: A Systematic Review and Meta-analysis. JAMA Netw Open. 2019; 2(10):e1912666.
5.4-82	McFarland DC, Polizzi H, Mascarenhas J, et al. Psychological Symptoms Among Patients With BCR-ABL-Negative Myeloproliferative Neoplasms. J Natl Compr Canc Netw. 2016; 14(12):1563-1570.
5.4-83	McLornan D, Percy M and McMullin MF. JAK2 V617F: a single mutation in the myeloproliferative group of disorders. Ulster Med J. 2006; 75(2):112-119.
5.4-84	McMullin MF. Reducing the burden of MPN. Blood. 2019; 134(18):1483-1484.
5.4-85	Mehta J, Wang H, Iqbal SU, et al. Epidemiology of myeloproliferative neoplasms in the United States. Leuk Lymphoma. 2014; 55(3):595-600.
5.4-86	Meira LB, Bugni JM, Green SL, et al. DNA damage induced by chronic inflammation contributes to colon carcinogenesis in mice. J Clin Invest. 2008; 118(7):2516-2525.
5.4-87	Merck. Prescribing Information, PEGINTRON® (peginterferon alfa-2b) injection, for subcutaneous use. rev. Aug 2019.
5.4-88	Merck. Prescribing information, SYLATRON™ (peginterferon alfa-2b) for injection, for subcutaneous use. rev. Dec 2018.
5.4-89	Mesa R, Vannucchi AM, Yacoub A, et al. The efficacy and safety of continued hydroxycarbamide therapy versus switching to ruxolitinib in patients with polycythaemia vera: a randomized, double-blind, double-dummy, symptom study (RELIEF). Br J Haematol. 2017; 176(1):76-85.
5.4-90	Mesa RA, Su Y, Woolfson A, et al. Development of a symptom assessment in patients with myelofibrosis: qualitative study findings. Health Qual Life Outcomes. 2019; 17(1):61.

5.4-91	Messora C, Bensi L, Vecchi A, et al. Cytogenetic conversion in a case of polycythaemia vera treated with interferon-alpha. Br J Haematol. 1994; 86(2):402-404.
5.4-92	Michiels JJ and Juvonen E. Proposal for revised diagnostic criteria of essential thrombocythemia and polycythemia vera by the Thrombocythemia Vera Study Group. Semin Thromb Hemost. 1997; 23(4):339-347.
5.4-93	Mondello P, Di Mirto C, Cuzzocrea S, et al. Interferon Alpha Has a Strong Anti-tumor Effect in Philadelphia-negative Myeloproliferative Neoplasms. Clin Lymphoma Myeloma Leuk. 2019; 19(8):e489-e495.
5.4-94	Mullally A, Bruedigam C, Poveromo L, et al. Depletion of Jak2V617F myeloproliferative neoplasm-propagating stem cells by interferon-α in a murine model of polycythemia vera. Blood. 2013; 121(18):3692-3702.
5.4-95	Mullally A, Lane SW, Ball B, et al. Physiological Jak2V617F expression causes a lethal myeloproliferative neoplasm with differential effects on hematopoietic stem and progenitor cells. Cancer Cell. 2010; 17(6):584-596.
5.4-96	Muller EW, de Wolf JT, Egger R, et al. Long-term treatment with interferon-alpha 2b for severe pruritus in patients with polycythaemia vera. Br J Haematol. 1995; 89(2):313-318.
5.4-97	National Comprehensive Cancer Network. NCCN Clinical Practice Guidelines in Oncology: Myeloproliferative Neoplasms Version 2.2019.
5.4-98	National Heart Lung and Blood Institute. Polycythemia Vera. 2021. Retrieved Oct 2021, from https://www.nhlbi.nih.gov/health-topics/polycythemia-vera
5.4-99	Pamuk GE, Turgut B, Vural Ö, et al. Metastatic squamous cell carcinoma of the skin in chronic myeloid leukaemia: complication of hydroxyurea therapy. Clin Lab Haematol. 2003; 25(5):329-331.
5.4-100	Pardanani A, Lasho TL, Finke C, et al. Prevalence and clinicopathologic correlates of JAK2 exon 12 mutations in JAK2V617F-negative polycythemia vera. Leukemia. 2007; 21(9):1960-1963.
5.4-101	Passamonti F, Griesshammer M, Palandri F, et al. Ruxolitinib for the treatment of inadequately controlled polycythaemia vera without splenomegaly (RESPONSE-2): a randomised, open-label, phase 3b study. Lancet Oncol. 2017; 18(1):88-99.
5.4-102	Passamonti F, Rumi E, Pietra D, et al. A prospective study of 338 patients with polycythemia vera: the impact of JAK2 (V617F) allele burden and leukocytosis on fibrotic or leukemic disease transformation and vascular complications. Leukemia. 2010; 24(9):1574-1579.
5.4-103	Pedersen RK, Andersen M, Knudsen TA, et al. Data-driven analysis of JAK2V617F kinetics during interferon-alpha2 treatment of patients with polycythemia vera and related neoplasms. Cancer Med. 2020; 9(6):2039-2051.

5.4-104	Perner F, Perner C, Ernst T, et al. Roles of JAK2 in Aging, Inflammation, Hematopoiesis and Malignant Transformation. Cells. 2019; 8(8):854.
5.4-105	Quintás-Cardama A, Abdel-Wahab O, Manshouri T, et al. Molecular analysis of patients with polycythemia vera or essential thrombocythemia receiving pegylated interferon α-2a. Blood. 2013; 122(6):893-901.
5.4-106	Quintás-Cardama A, Kantarjian H, Manshouri T, et al. Pegylated interferon alfa-2a yields high rates of hematologic and molecular response in patients with advanced essential thrombocythemia and polycythemia vera. J Clin Oncol. 2009; 27(32):5418-5424.
5.4-107	Raedler LA. Diagnosis and Management of Polycythemia Vera: Proceedings from a Multidisciplinary Roundtable. Am Health Drug Benefits. 2014; 7(7 Suppl 3):S36-S47.
5.4-108	Rampal R, Al-Shahrour F, Abdel-Wahab O, et al. Integrated genomic analysis illustrates the central role of JAK-STAT pathway activation in myeloproliferative neoplasm pathogenesis. Blood. 2014; 123(22):e123-e133.
5.4-109	Rungjirajittranon T, Owattanapanich W, Ungprasert P, et al. A systematic review and meta-analysis of the prevalence of thrombosis and bleeding at diagnosis of Philadelphia-negative myeloproliferative neoplasms. BMC Cancer. 2019; 19(1):184.
5.4-110	Samuelsson J, Hasselbalch H, Bruserud O, et al. A phase II trial of pegylated interferon alpha-2b therapy for polycythemia vera and essential thrombocythemia: feasibility, clinical and biologic effects, and impact on quality of life. Cancer. 2006; 106(11):2397-2405.
5.4-111	Scagnolari C, Bellomi F, Trombetti S, et al. Expression of biomarkers of interferon type I in patients suffering from chronic diseases. Clin Exp Immunol. 2007; 147(2):270-276.
5.4-112	Schering. Prescribing information, INTRON® (Interferon alfa-2b) A, Interferon alfa-2b recombinant for injection. rev. May 2018.
5.4-113	Scott LM, Tong W, Levine RL, et al. JAK2 exon 12 mutations in polycythemia vera and idiopathic erythrocytosis. N Engl J Med. 2007; 356(5):459-468.
5.4-114	Shammo JM and Stein BL. Mutations in MPNs: prognostic implications, window to biology, and impact on treatment decisions. Hematology Am Soc Hematol Educ Program. 2016; 2016(1):552-560.
5.4-115	Silver RT. Recombinant interferon-alpha for treatment of polycythaemia vera (Letter to the Editor). Lancet. 1988; 2(8607):403.
5.4-116	Singh A and Xu Y-J. The Cell Killing Mechanisms of Hydroxyurea. Genes. 2016; 7(11):99.
5.4-117	Srour SA, Devesa SS, Morton LM, et al. Incidence and patient survival of myeloproliferative neoplasms and myelodysplastic/myeloproliferative neoplasms in the United States, 2001-12. Br J Haematol. 2016; 174(3):382-396.

5.4-118	Stein BL, Oh ST, Berenzon D, et al. Polycythemia vera: An appraisal of the Biology and Management 10 Years After the Discovery of JAK2 V617F. J Clin Oncol. 2015; 33(33):3953-3960.
5.4-119	Szuber N, Mudireddy M, Nicolosi M, et al. 3023 Mayo Clinic Patients with Myeloproliferative Neoplasms: Risk-Stratified Comparison of Survival and Outcomes Data Among Disease Subgroups. Mayo Clin Proc. 2019; 94(4):599-610.
5.4-120	Tefferi A. Polycythemia vera: a comprehensive review and clinical recommendations. Mayo Clin Proc. 2003; 78(2):174-194.
5.4-121	Tefferi A and Barbui T. Polycythemia vera and essential thrombocythemia: 2019 update on diagnosis, risk-stratification and management. Am J Hematol. 2019; 94(1):133-143.
5.4-122	Tefferi A, Guglielmelli P, Larson DR, et al. Long-term survival and blast transformation in molecularly annotated essential thrombocythemia, polycythemia vera, and myelofibrosis. Blood. 2014; 124(16):2507-2513; quiz 2615.
5.4-123	Tefferi A, Lasho TL, Huang J, et al. Low JAK2V617F allele burden in primary myelofibrosis, compared to either a higher allele burden or unmutated status, is associated with inferior overall and leukemia-free survival. Leukemia. 2008; 22(4):756-761.
5.4-124	Tefferi A, Lasho TL, Schwager SM, et al. The clinical phenotype of wild-type, heterozygous, and homozygous JAK2V617F in polycythemia vera. Cancer. 2006; 106(3):631-635.
5.4-125	Tefferi A and Pardanani A. Myeloproliferative Neoplasms: A Contemporary Review. JAMA Oncol. 2015; 1(1):97-105.
5.4-126	Tefferi A, Rumi E, Finazzi G, et al. Survival and prognosis among 1545 patients with contemporary polycythemia vera: an international study. Leukemia. 2013; 27(9):1874-1881.
5.4-127	Tefferi A and Spivak JL. Polycythemia vera: scientific advances and current practice. Semin Hematol. 2005; 42(4):206-220.
5.4-128	Tefferi A, Thiele J, Orazi A, et al. Proposals and rationale for revision of the World Health Organization diagnostic criteria for polycythemia vera, essential thrombocythemia, and primary myelofibrosis: recommendations from an ad hoc international expert panel. Blood. 2007; 110(4):1092-1097.
5.4-129	Tefferi A and Vardiman JW. Classification and diagnosis of myeloproliferative neoplasms: the 2008 World Health Organization criteria and point-of-care diagnostic algorithms. Leukemia. 2008; 22(1):14-22.
5.4-130	Teofili L, Foà R, Giona F, et al. Childhood polycythemia vera and essential thrombocythemia: does their pathogenesis overlap with that of adult patients? Haematologica. 2008; 93(2):169-172.

5.4-131	Theocharides A, Passweg JR, Medinger M, et al. The allele burden of JAK2 mutations remains stable over several years in patients with myeloproliferative disorders. Haematologica. 2008; 93(12):1890-1893.
5.4-132	Titmarsh GJ, Duncombe AS, McMullin MF, et al. How common are myeloproliferative neoplasms? A systematic review and meta-analysis. Am J Hematol. 2014; 89(6):581-587.
5.4-133	Usui N. JSH guideline for tumors of hematopoietic and lymphoid tissues-lukemia: 4. Chronic myelogenous leukemia (CML)/myeloproliferative neoplasms (MPN). Int J Hematol. 2017; 106(5):591-611.
5.4-134	Utke Rank C, Weis Bjerrum O, Larsen TS, et al. Minimal residual disease after long-term interferon-alpha2 treatment: a report on hematological, molecular and histomorphological response patterns in 10 patients with essential thrombocythemia and polycythemia vera. Leuk Lymphoma 2016; 57(2):348-354.
5.4-135	Vainchenker W and Kralovics R. Genetic basis and molecular pathophysiology of classical myeloproliferative neoplasms. Blood. 2017; 129(6):667-679.
5.4-136	Vannucchi AM. Insights into the pathogenesis and management of thrombosis in polycythemia vera and essential thrombocythemia. Intern Emerg Med. 2010; 5(3):177-184.
5.4-137	Vannucchi AM, Antonioli E, Guglielmelli P, et al. Prospective identification of high-risk polycythemia vera patients based on JAK2(V617F) allele burden. Leukemia. 2007; 21(9):1952-1959.
5.4-138	Vannucchi AM, Antonioli E, Guglielmelli P, et al. Clinical correlates of JAK2V617F presence or allele burden in myeloproliferative neoplasms: a critical reappraisal. Leukemia. 2008; 22(7):1299-1307.
5.4-139	Vannucchi AM, Kiladjian JJ, Griesshammer M, et al. Ruxolitinib versus Standard Therapy for the Treatment of Polycythemia Vera. N Engl J Med. 2015; 372(5):426-435.
5.4-140	Vardiman JW, Harris NL and Brunning RD. The World Health Organization (WHO) classification of the myeloid neoplasms. Blood. 2002; 100(7):2292-2302.
5.4-141	Verger E, Soret-Dulphy J, Maslah N, et al. Ropeginterferon alpha-2b targets JAK2V617F-positive polycythemia vera cells in vitro and in vivo. Blood Cancer J. 2018; 8(10):94.
5.4-142	Walton BL, Lehmann M, Skorczewski T, et al. Elevated hematocrit enhances platelet accumulation following vascular injury. Blood. 2017; 129(18):2537-2546.
5.4-143	Wasserman LR. The treatment of polycythemia. A panel discussion. Blood. 1968; 32(3):483-487.

-	· · · ·
5.4-144	Wolach O, Sellar RS, Martinod K, et al. Increased neutrophil extracellular trap formation promotes thrombosis in myeloproliferative neoplasms. Sci Transl Med. 2018; 10(436):eaan8292.
5.4-145	Wolanskyj AP, Lasho TL, Schwager SM, et al. JAK2 mutation in essential thrombocythaemia: clinical associations and long-term prognostic relevance. Br J Haematol. 2005; 131(2):208-213.
5.4-146	World Health Organization. ATC/DDD Index 2019. 2019a.
5.4-147	World Health Organization. International Nonproprietary Names (INN) for biological and biotechnological substances (a review). WHO/EMP/RHT/TSN/2019.1. 2019b. Retrieved Oct 2021, from https://www.who.int/medicines/services/inn/BioReview2019.pdf?ua=1
5.4-148	Yacoub A, Mascarenhas J, Kosiorek H, et al. Pegylated interferon alfa-2a for polycythemia vera or essential thrombocythemia resistant or intolerant to hydroxyurea. Blood. 2019; 134(18):1498-1509.
5.4-149	Abraham AK, Kagan L, Kumar S, et al. Type I interferon receptor is a primary regulator of target -mediated drug disposition of interferon-β in mice. J. Pharmacol. Exp. Ther. 2010; 334(1):327-332.
5.4-150	Antonioli E, Guglielmelli P, Pieri L, et al. Hydroxyurea-related toxicity in 3,411 patients with Ph'-negative MPN. Am. J. Hematol. 2012; 87(5):552-554.
5.4-151	AOP Pharmaceuticals. Besremi Summary of Product Characteristics. 2019.
5.4-152	Baker DP, Lin EY, Lin K, et al. N-terminally PEGylated human interferon-β-1a with improved pharmacokinetic properties and in vivo efficacy in a melanoma angiogenesis model. Bioconjug. Chem. 2006; 17(1):179-188.
5.4-153	Barosi G, Birgegard G, Finazzi G, et al. A unified definition of clinical resistance and intolerance to hydroxycarbamide in polycythaemia vera and primary myelofibrosis: results of a European Leukemia Net (ELN) consensus process. Br J Haematol. 2010; 148(6):961-963.
5.4-154	Barosi G, Tefferi A, Besses C, et al. Clinical end points for drug treatment trials in BCR-ABL1-negat ive classic myeloproliferative neoplasms: consensus statements from European LeukemiaNET (ELN) and Internation Working Group-Myeloproliferative Neoplasms Research and Treatment (IWG-MRT). Leukemia. 2015; 29(1):20-26.
5.4-155	Bertozzi I, Bogoni G, Biagetti G, Duner E, Lombardi AM, Fabris F, et al. Thromboses and hemorrhages are common in MPN patients with high JAK2V617F allele burden. Ann Hematol. 2017;96(8):1297-302.
5.4-156	Biogen. Prescribing information for PLEGRIDY®. rev 07/2019.
5.4-157	Bjelland I, Dahl AA, Haug TT, Neckelmann D. The validity of the Hospital Anxiety and Depression Scale. An updated literature review. J Psychosom Res. 2002 Feb;52(2):69-77. Review.
5.4-158	Bocci V, Pacini A, Pessina GP, et al. Metabolism of interferon: hepatic clearance of native and desialylated interferon. J. Gen. Virol. 1977; 35(3):525-534.

5.4-159	Brennan BJ, Xu ZX and Grippo JF. Evaluation of the absolute bioavailability of pegylated interferon alfa-2a after subcutaneous administration to healthy male volunteers: an open-label, randomized, parallel-group study. Clin. Ther. 2012; 34(9):1883-1891.
5.4-160	Bukowski RM, Tendler C, Cutler D, et al. Treating cancer with PEG Intron: pharmacokinetic profile and dosing guidelines for an improved interferonalpha-2b formulation. Cancer 2002; 95(2):389-396.
5.4-161	Cervantes F. Management of essential thrombocythemia. Hematology Am Soc Hematol Educ Program. 2011; 2011:215-221.
5.4-162	Crowley J and Ankerst DP. Handbook of statistics in clinical oncology. Second Edition, Boca Raton, Chapman & Hall/CRC Press, 2005.
5.4-163	Daud AI, Xu C, Hwu WJ, et al. Pharmacokinetic/pharmacodynamic analysis of adjuvant pegylated interferon α-2b in patients with resected high-risk melanoma. Cancer Chemother. Pharmacol. 2011; 67(3):657-666.
5.4-164	Dayneka NL, Garg V and Jusko WJ. Comparison of four basic models of indirect pharmacodynamic responses. J. Pharmacokinet. Biopharm. 1993; 21(4):457-478.
5.4-165	Drugs@FDA. FDA-Approved Drug Products. 2019; https://www.accessdata.fda.gov/scripts/cder/daf/. Accessed 2019.
5.4-166	FDA. Guidance for Industry: Estimating the Maximum Safe Starting Dose in Initial Clinical Trials for Therapeutics in Adult Healthy Volunteers. July 2005.
5.4-167	FDA. Guidance for Industry: Immunogenicity Assessment for Therapeutic Protein Products. August 2014.
5.4-168	FDA. Guidance for Industry: Immunogenicity Testing of Therapeutic Protein Products - Developing and Validating Assays for Anti-Drug Antibody Detection. January 2019.
5.4-169	FDA. Guidance for Industry: In Vitro Metabolism- and Transporter- Mediated Drug-Drug Interaction Studies. October 2017.
5.4-170	FDA. Guidance for Industry: Pharmacokinetics in Patients with Impaired Hepatic Function - Study Design, Data Analysis, and Impact on Dosing and Labeling. May 2003.
5.4-171	FDA. Guidance for Industry: Pharmacokinetics in Patients with Impaired Renal Function - Study Design, Data Analysis, and Impact on Dosing and Labeling. March 2010.
5.4-172	FDA. Guidance for Industry: S6 Preclinical Safety Evaluation of Biotechnology-Derived Pharmaceuticals. July 1997.
5.4-173	Fishburn CS. The pharmacology of PEGylation: balancing PD with PK to generate novel therapeutics. J. Pharm. Sci. 2008; 97(10):4167-4183.
5.4-174	Foster GR. Review article: pegylated interferons: chemical and clinical differences. Aliment. Pharmacol. Ther. 2004; 20(8):825-830.
5.4-175	Garay RP and Labaune JP. Immunogenicity of polyethylene glycol (PEG). The Open Conference Proceedings Journal 2011; 2:104-107.
5.4-176	Grimm SW, Einolf HJ, Hall SD, et al. The conduct of in vitro studies to address time-dependent inhibition of drug-metabolizing enzymes: a perspective of the pharmaceutical research and manufacturers of America. Drug Metab. Dispos. 2009; 37(7):1355-1370.
5.4-177	Gupta S, Jen J, Kolz K, et al. Dose selection and population pharmacokinetics of PEG-Intron in patients with chronic myelogenous leukaemia. Br. J. Clin. Pharmacol. 2006; 63(3):292-299.
5.4-178	Gupta SK, Pittenger AL, Swan SK, et al. Single-dose pharmacokinetics and safety of pegylated interferon-α2b in patients with chronic renal dysfunction. J. Clin. Pharmacol. 2002; 42(10):1109-1115.
5.4-179	Harris JM, Martin NE and Modi M. Pegylation: a novel process for modifying pharmacokinetics. Clin. Pharmacokinet. 2001; 40(7):539-551.
5.4-180	Hu X, Cui Y, White J, et al. Pharmacokinetics and pharmacodynamics of peginterferon beta-1a in patients with relapsing-remitting multiple sclerosis in the randomized ADVANCE study. Br. J. Clin. Pharmacol. 2015; 79(3):514-522.

5.4-181	Hu X, Miller L, Richman S, et al. A novel PEGylated interferon beta-1a for multiple sclerosis: safety, pharmacology, and biology. J. Clin. Pharmacol. 2012; 52(6):798-808.
5.4-182	Ivens IA, Baumann A, McDonald TA, et al. PEGylated therapeutic proteins for haemophilia treatment: a review for haemophilia caregivers. Haemophilia 2013; 19(1):11-2
5.4-183	Jen JF, Glue P, Ezzet F, et al. Population pharmacokinetic analysis of pegylated interferon alfa-2b and interferon alfa-2b in patients with chronic hepatitis C. Clin. Pharmacol. Ther. 2001; 69(6):407-421.
5.4-184	Kiladjian JJ, Cassinat B, Turlure P, et al. High molecular response rate of polycythemia vera patients treated with pegylated interferon alpha-2a. Blood. 2006; 108(6):2037-2040.
5.4-185	Kraus MR, Schäfer A, Csef H, Scheurlen M. Psychiatric side effects of pegylated interferon alfa-2b as compared to conventional interferon alfa-2b in patients with chronic hepatitis C. World J Gastroenterol. 2005 Mar 28;11(12):1769-74.
5.4-186	Mager DE and Jusko WJ. General pharmacokinetic model for drugs exhibiting target -mediated drug disposition. J. Pharmacokinet. Pharmacodyn. 2001; 28(6):507-532.
5.4-187	Mager DE and Krzyzanski W. Quasi-equilibrium pharmacokinetic model for drugs exhibiting targetmediated drug disposition. Pharm. Res. 2005; 22(10):1589-1596.
5.4-188	Matthews SJ and McCoy C. Peginterferon alfa-2a: a review of approved and investigational uses. Clin. Ther. 2004; 26(7):991-1025.
5.4-189	McDonald TA, Zepeda ML, Tomlinson MJ, et al. Subcutaneous administration of biotherapeutics: current experience in animal models. Curr. Opin. Mol. Ther. 2010; 12(4):461-470.
5.4-190	Meibohm B and Zhou H. Characterizing the impact of renal impairment on the clinical pharmacology of biologics. J. Clin. Pharmacol. 2012; 52(1 Suppl):54S-62S.
5.4-191	Miyachi N, Zagrijtschuk O, Kang L, et al. Pharmacokinetics and pharmacodynamics of ropeginterferon alfa-2b in healthy Japanese and Caucasian subjects after single subcutaneous administration. Clin Drug Investig. 2021; 41(4):391-404.
5.4-192	Nissen MH, Larsen JK, Plesner T, Olesen BK, Ernst P. α-interferon induces enhanced expression of HLAABC antigens and β-2-microglobulin in vivo and in vitro in various subsets of human lymphoid cells. Clin Exp Immunol. 1987;69(3):632-638.
5.4-193	Olssøn I, Mykletun A and Dahl A. The hospital anxiety and depression rating scale: A cross -sectional study of psychometrics and case finding abilities in general practice. BMC Psychiatry. 2005, 5:46.
5.4-194	Parasuraman S, DiBonaventura M, Reith K, et al. Patterns of hydroxyurea use and clinical outcomes among patients with polycythemia vera in real-world clinical practice: a chart review. Exp Hematol Oncol 2016; 5:3.
5.4-195	Pepinsky RB, LePage DJ, Gill A, et al. Improved pharmacokinetic properties of a polyethylene glycolmodified form of interferon-β-1a with preserved in vitro bioactivity. J. Pharmac ol. Exp. Ther. 2001; 297(3):1059-1066.
5.4-196	Remes K, Tienhaara A, Pelliniemi TT. Effects of Alpha-Interferon on Serum Beta-2-Microglobulin. Leuk Lymphoma. 1996;21(3-4):233-238.
5.4-197	Rodriguez GI, Kuhn JG, Weiss GR, et al. A bioavailability and pharmacokinetic study of oral and intravenous hydroxyurea. Blood 1998; 91(5):1533-1541.

5.4-198	Shirane S, Araki M, Morishita S, Edahiro Y, Sunami Y, Hironaka Y, et al. Consequences of the JAK2V617F allele burden for the prediction of transformation into myelofibrosis from polycythemia vera and essential thrombocythemia. Int J Hematol. 2015;101(2):148-53.
5.4-199	Snaith RP. The Hospital Anxiety and Depression Scale. Health Qual Life Outcomes. 2003 Aug 1;1:29.
5.4-200	Sumpio BE, Ernstoff MS and Kirkwood JM. Urinary excretion of interferon, albumin, and β2-microglobulin during interferon treatment. Cancer Res. 1984; 44(8):3599-3603
5.4-201	Talpaz M, O'Brien S, Rose E, et al. Phase 1 study of polyethylene glycol formulation of interferon α-2B (Schering 54031) in Philadelphia chromosome-positive chronic myelogenous leukemia. Blood 2001; 98(6):1708-1713.
5.4-202	Vugmeyster Y, Harrold J and Xu X. Absorption, distribution, metabolism, and excretion (ADME) studies of biotherapeutics for autoimmune and inflammatory conditions. AAPS J 2012; 14(4):714-727.
5.4-203	Webster R, Didier E, Harris P, et al. PEGylated proteins: evaluation of their safety in the absence of definitive metabolism studies. Drug Metab. Dispos. 2007; 35(1):9-16.
5.4-204	Yarbro JW. Further studies on the mechanism of action of hydroxyurea. Cancer Res. 1968; 28(6):1082-1087.
5.4-205	FDA Guidance for Industry: Clinical Trial Endpoints for the Approval of Cancer Drugs and Biologics, 2018.